

# Neues Jahrbuch für Mineralogie, Geologie und Paläontologie

Unter Mitwirkung einer Anzahl von Fachgenossen

herausgegeben von

**R. Brauns,**   **F. Broili,**   **E. Hennig,**   **E. Kaiser**  
in Bonn        in München        in Tübingen        in München

---

Referate.

II. Allgemeine Geologie, Petrographie, Lagerstättenlehre.

Redaktion: E. Kaiser.

---

**Jahrgang 1930.**

---



STUTT GART 1930

E. Schweizerbart'sche Verlagsbuchhandlung  
(Erwin Nägele) G. m. b. H.

Neues Jahrbuch  
für Mineralogie, Geologie und  
Paläontologie

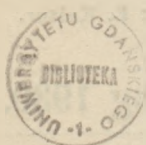
Verlag von Ernst Klett, Stuttgart  
Herausgegeben von  
Dr. H. Scharbert, Stuttgart  
Dr. H. Scharbert, Stuttgart

---

Alle Rechte, auch das der Übersetzung, vorbehalten.

---

Printed in Germany.



C 11 8916



Druck von Ernst Klett, Stuttgart.

~~Biblioteka Główna  
Gdańskiej  
Katedr~~

## Stoffübersicht 1930.

	Seite
<b>Petrographie</b> . . . . .	1, 465
Allgemeines . . . . .	1, 465
Eruptivgesteine . . . . .	4, 466
Sedimentgesteine (s. unter allgemeiner Geologie)	
Metamorphose, Kristalline Schiefer . . . . .	8
Radioaktivität der Gesteine. . . . .	9, 476
 <b>Regionale Petrographie</b> <sup>1</sup> . . . . .	 10, 477
Skandinavien . . . . .	477
Polen . . . . .	479
Rußland (einschl. Russisch Asien) . . . . .	482
Deutsches Reich . . . . .	10, 514
Britische Inseln . . . . .	14, 528
Frankreich (und Korsika). . . . .	531
Iberische Halbinsel. . . . .	533
Italien . . . . .	534
Schweiz . . . . .	36
Böhmische Masse und ihre Randgebiete . . . . .	43, 536
Ostalpen . . . . .	47
Ungarisches Becken und seine Randgebiete. . . . .	561
Karpathen. . . . .	566
Balkan-Halbinsel. . . . .	57, 572
Asien . . . . .	577
Atrika . . . . .	595
Nordamerika . . . . .	604
Mittelamerika . . . . .	59
Südamerika . . . . .	59, 607
Australien . . . . .	67
Atlantisches Gebiet. . . . .	613
Pazifisches Gebiet . . . . .	614
Arktisches Gebiet . . . . .	621

---

<sup>1</sup> Die systematisch wichtigeren Arbeiten sind meist nicht unter „Regionales“ untergebracht.

	Seite
Petrographisch-tektonisches Grenzgebiet . . . . .	70
Lagerstättenlehre . . . . .	93
Allgemeines . . . . .	93
A. Magmatisch bedingte Lagerstätten . . . . .	95
Allgemeines . . . . .	95
Liquidmagmatische Lagerstätten . . . . .	103
Pegmatite als Rohstoffträger . . . . .	105
Kontaktpneumatolytische Lagerstätten . . . . .	107
Pneumatolytische Lagerstätten . . . . .	108
Pneumatolytisch-hydrothermale Übergangslagerstätten . . . . .	111
Hydrothermale Lagerstätten . . . . .	113
Hydrothermale Verdrängungslagerstätten . . . . .	126
B. Lagerstätten des äußeren Kreislaufs . . . . .	142
Allgemeines . . . . .	142
Verwitterungslagerstätten (Oxydationszone von Erzlagerstätten; Tonerde- und Silikatlagerstätten; Eisen- und Manganerz- Verwitterungslagerstätten; Konzentrationslagerstätten in ariden Becken). . . . .	145
Sedimentäre Lagerstätten (Seifen; andere mechanisch bedingte Lagerstätten; marine Ausscheidungslagerstätten; Phosphat- lagerstätten; Salzlagerstätten . . . . .	147
Lagerstätten der Kaustobiolithe . . . . .	155
a) Kohlegesteine . . . . .	155
1. Allgemeines . . . . .	155
2. Regionales . . . . .	161
b) Öllagerstätten . . . . .	172
1. Allgemeines . . . . .	172
2. Entstehung . . . . .	187
3. Geophysikalische Untersuchung . . . . .	191
4. Chemische und physikalische Verhältnisse . . . . .	194
5. Auftreten des Erdöles im allgemeinen . . . . .	204
6. Regionales zu Öllagerstätten . . . . .	206
Allgemeines . . . . .	206
Europa . . . . .	206
Nordamerika . . . . .	219
Südamerika . . . . .	245
Afrika . . . . .	247
Asien . . . . .	247
Regionales zur Erzlagerstättenlehre <sup>2</sup> . . . . .	252

<sup>2</sup> Vieles, das sich in der systematischen Lagerstättenlehre unterbringen ließ, ist unter „Regionales“ nicht aufgeführt.

	Seite
Allgemeine Geologie . . . . .	273, 625
Allgemeines . . . . .	273, 625
Kontinente und Ozeane . . . . .	273, 627
Niveauperänderungen . . . . .	287, 632
Tektonik . . . . .	294, 633
Vulkanotektonik . . . . .	310, 640
Geophysik . . . . .	319, 642
Erdbeben . . . . .	339, 648
Vulkanismus . . . . .	347, 655
Geochemie (allgemein) . . . . .	364, 662
Klima und geologische Vorgänge . . . . .	366, 681
Wind und seine Wirkungen . . . . .	385
Wasser und seine Wirkungen . . . . .	386, 690
1. Allgemeines; Untersuchungsmethoden . . . . .	386, 690
2. Oberflächenwasser; Erosion . . . . .	390, 693
3. Unterirdisches Wasser . . . . .	393, 695
a) Grundwasser und Quellen . . . . .	393, 695
b) Artesische Quellen . . . . .	405, 700
4. Tiefenwasser (einschl. Mineralquellen) . . . . .	409, 701
5. Auflösung und Absatz . . . . .	406, 711
6. Technisch-hydrologische Fragen . . . . .	713
Eis und seine Wirkungen . . . . .	414, 715
Verwitterungslehre (einschl. Bodenkunde) . . . . .	726
1. Allgemeines . . . . .	726
2. Heutige Verwitterung . . . . .	729
3. Fossile Verwitterung . . . . .	748
4. Bodenkunde <sup>3</sup> . . . . .	758
Das Meer und seine Wirkungen . . . . .	437
Diagenese . . . . .	439
Sedimentgesteine . . . . .	443, 768
 Angewandte Geologie . . . . .	 785
Allgemeines . . . . .	785
Tunnelgeologie . . . . .	786
Erd- und Grundbaugeologie . . . . .	786
Technische Gesteinsuntersuchung (einschl. Bausteine und ihre Verwitterung) . . . . .	794
Technologisch-wichtige Mineralstoffe . . . . .	814

<sup>3</sup> Nur einige geologisch wichtigere Arbeiten werden besprochen.





# Inhalt.

## Alphabetisches Verzeichnis der referierten Abhandlungen.

(Diejenigen Titel, die am Schlusse mit einem (L) versehen sind, bedeuten  
die nur als Literatur aufgeführten, nicht referierten Arbeiten.)

	Seite
Adams, C. E.: Earthquakes in New-Zealand . . . . .	344
Adams, Frank Dawson: The geology of Ceylon . . . . .	579
Adams, L. H. and R. E. Gibson: The Elastic Properties of Certain Basic Rocks and of Their Constituent Minerals . . . . .	648
Agafonoff, V.: Les zones des sols de France (L) . . . . .	763
— Sur quelques sols rouges de Cochinchine . . . . .	745
Agamennone, G.: Il periodo sismico nell'Appennino Ligure-Parmentense dall'ottobre 1927 all'agosto 1928 (L) . . . . .	340
Ahlfeld, F.: Die Anitmonitlagerstätte von Acora, Südperu . . . . .	119
— Die Metallprovinz der Ostanden Boliviens . . . . .	266
— Die Zinnerzgrube Uncia-Llallagua (Bolivien) . . . . .	111
Ahlmann, H. W.: On the formation of Hoarfrost and its relation to glacial growth . . . . .	414
Ahrens, W.: Beiträge zur Kenntnis der Phonolithe und Trachyte im Laacher-See-Gebiet. . . . .	514
— Die Tuffe des Nördlinger Rieses und ihre Bedeutung für das Gesamtproblem (L) . . . . .	527
— Die Verbreitung des mittelhheinischen alluvialen Bimssteins und daraus folgende Rückschlüsse auf den Eruptionsmechanismus (L) . . . . .	350
Ahrens, W. und Alfred Bentz: Der „Traß“ des Nördlinger Rieses im Vergleich mit den übrigen deutschen Traßvorkommen . . . . .	527
Akkersdijk, M. E.: Het Tenggercalderaprobleem. (Das Tenggercalderaprobleem.) . . . . .	359
— The caldera of the Tengger-mountain (L) . . . . .	662
Alabyschew, W.: Sapropel-(Gyttja-)Fund im Rayon des ewigen Gefrierens in Ostjakutein . . . . .	431
Aleschkow, A.: Ein rezenter Gletscher im nördlichen Ural . . . . .	726
Alfano, G. B. und J. Friedländer: Die Geschichte des Vesuvus. Illustriert nach gleichzeitigen Urkunden (L) . . . . .	351
Alferow, W. A.: Benoi (Nordkaukasien) (L) . . . . .	218
Allam, F.: Beitrag zur Kenntnis der Beeinflussung der Dispersität des Tones durch Elektrolyte . . . . .	774
Allen, E. T.: The classification of the hot areas in the Yellowstone Park and the causes of their development. Abstract (L) . . . . .	345
Allen, Victor T.: Anauxite from the Ione formation of California (L) . . . . .	439
— Petrography of the Weathered Zones of Glacial Deposits (L) . . . . .	734

	Seite
Alonso de Illera, A.: Die Verteilung der landwirtschaftlichen Hauptbodenarten und der Bodentypen in Spanien (L) . . . . .	763
American Geographical Society: Millionth Map of Hispanic America; S. F. 19, Iquique, publ. under the patronage of F. C. WALCOTT, S. G. 19, Atacama, publ. under the patr. of J. GREENOUGH, 1927 . . . . .	368
Ampferer, Otto: Ergebnisse der geologischen Forschungsreisen in Westserbien (L) . . . . .	636
Anderson, Robert J.: The Russian Bauxite Deposits . . . . .	750
Andersson, O.: Bredakra randdelta, ett säreget blekingst naturlandskap. (Die Randdelta von Bredakra, eine sonderartige Naturlandschaft in Blekinge.) (L) . . . . .	424
Andrade, J. F. de, junior: Aguas Thermaes Radioactivas de Caldas da Imperatriz (Estado de S. Catharina). . . . .	413
Angel, Franz: Gesteinskundliche und geologische Beiträge zur Kenntnis der Schobergruppe in Osttirol . . . . .	80
Angel, Franz und A. Rusch: Chemisch-petrographische Untersuchungen an Gesteinen der Stubalpe (Steiermark) . . . . .	58
Angel, F. und W. Schenk: Chemisch-petrographische Studien über den Gleinalmkern . . . . .	47
Antevs, Ernst: The Last Glaciation . . . . .	415
Antropoff, A. von und M. von Stackelberg: Die Häufigkeit der Elemente in der Erdkruste . . . . .	365
Archangelskij, A. D.: Wo und wie sind neue Erdölfelder in der U.d.S.S.R. zu suchen? . . . . .	216
Aslau-Zumpart, G.: Die Gasbohrungen in Transsylvanien (Rumänien) (L) . . . . .	214
Atanasiu, Jon: Réponse à M. l'ing. G. CANTACUZENE . . . . .	194
Aubert de la Rue, Edgar: Sur la constitution géologique de l'île Heard . . . . .	624
Ault, I. P.: Form of the Slope of Wake-Island (L) . . . . .	307
Ault, I. P. und F. M. Soule: New Data on the Bottom Contour of the South-Pacific Ocean from Soundings taken on Board the Carnegie October 1928 to March 1929 . . . . .	307
Babet, V.: Sur les roches cristallophylliennes du Mayombe, Afrique équatoriale française. . . . .	595
Backofen, K.: Einheitliche Schichtenverzeichnisse im Ingenieurbaufach . . . . .	791
— Gleitflächen bei Rutschungen im Ton (L) . . . . .	792
— Klassifizierung und einheitliche Bezeichnung loser Bodenarten in der Bautechnik . . . . .	790
Bärtling, Richard: Das Verhältnis zwischen Sedimentation und Tektonik im Ruhrbezirk (L) . . . . .	464
— Die jüngeren Bodenbewegungen am Niederrhein von 1921 bis 1927 . . . . .	289
Bahurin, J.: Proceedings of the Magnetic Section of the Institute of Practical Geophysics in 1927. . . . .	336
— The Magnetic Field of Bodies of Regular Form from the Magnetometrical Point of View . . . . .	335
Bain, G. W.: The graphite deposits of Louisa, Quebec . . . . .	110
Baker, A. A.: The northward extension of the Sheridan coal field, Big Horn and Rosebud counties, Montana . . . . .	165
Baker, Ch. L.: Panuco oil field, Mexico . . . . .	243
— Possible distillation of oil from organic sediments . . . . .	190
Baker, W.: Oklahomas deepest test . . . . .	235
Baku Fields follow american developments and practice (L) . . . . .	218
Ball, J.: Problems of the Libyan desert (L) . . . . .	384
Bancroft, D. H.: Mississippi now attracting attention . . . . .	236
— See active play in North Arkansas . . . . .	236



	Seite
Bandat, H. v.: Ueber die Genese von Helium in Erdgasen . . . . .	190
Barbour, George P.: Origin of the Bedford Augengneis . . . . .	475
— The loess in China . . . . .	769
Baren, J. van: A complete chemical analysis of water from the Little Bitter Lake, Suez Canal, Africa . . . . .	695
— Microscopical, physical and chemical studies of limestones and limestone-soils from the east indian archipelago . . . . .	765
Barrell, J.: On Continental Fragmentation and the Geological Bearing of the Moons Surficial Features . . . . .	275
Barret, W. M.: Magnetometer practice in the field . . . . .	329
Bartel, E.: Das Oelvorkommen von Jabtonica . . . . .	211
Bartels, W.: Mitteilung über ein Heliumvorkommen . . . . .	210
Barth, Tom.: Die Temperatur der Anatexis des Urgebirges im südlichen Norwegen (L) . . . . .	8
— Ueber die Sagandite und ihre Entstehung durch Syntexe von Dolomitgesteinen . . . . .	470
Bastl, F.: Feststellung von Erdkrustenbewegungen im oberen Lechtale und Flexengebiete . . . . .	287
Bauer, C. M.: Gas a big factor in the Texas Panhandle . . . . .	231
Beck, P.: Vorläufige Ergebnisse einer geotechnischen Voruntersuchung über die in den Kantonen Bern, Unterwalden, Luzern, Solothurn, Aargau und Baselland verwendeten Straßenschotter . . . . .	813
Becker, Hans: Das Zwischengebirge von Frankenberg in Sachsen . . . . .	86
Becker, W. und F. Macht: Geologisch-petrographische Untersuchungen an bautechnisch verwendbaren schlesischen Graniten . . . . .	805
Beckström, R. C.: Properties of producing oil sand . . . . .	197
Beckström, R. C. and F. M. van Tuyl: Compaction as a cause of the migration of petroleum . . . . .	198
Beckwith, R. H.: A faulted Peneplane in Fergana: a Review and Diskussion (L) . . . . .	639
Beecher, C. E.: Repressuring during early stages of development . . . . .	181
Behrend, Fritz und Georg Berg: Chemische Geologie (L) . . . . .	364
Beljankin, D. S.: Materialien zur Beschreibung der Gesteine der Kalbin-Kette . . . . .	512
Bement, A.: Illinois coal: A non-technical account of its occurrence, production and preparation . . . . .	165
Bemmelen, R. W. van: Het Caldera Probleem. (Das Caldera-problem) . . . . .	348
— The origin of Lake Toba (North Sumatra) . . . . .	354
Bennett, H. H.: Some comparisons of the properties of humid-tropical and humid-temperate american soils; with special reference to indicated relations between chemical composition and physical properties . . . . .	767
Bentz, A.: Neue geologische Aufschlüsse im Erdölvrevier von Hänigsen-Nienhagen . . . . .	207
Berg, G.: Einige grundsätzliche Bemerkungen zu den Erscheinungen der nordischen Vereisung am Sudetenrande . . . . .	724
— Geologische Bedingungen für die Abgrenzung von Quellenschutzbezirken . . . . .	409
Berger, Ernst: Relative Schwerkraftmessungen nach der Referenzmethode mit drahtloser Fernsteuerung der Koinzidenzapparate (L) . . . . .	320
Bergquist, St. G.: The Occurence of Glauconite in the Hermansville Formation of Alger County, Michigan . . . . .	784
Bergström, J.: Die Wasserwerke der schwedischen Städte . . . . .	392
Bernauer, F.: Geologische Wirkungen des Neckareisganges im Frühjahr 1929 (L) . . . . .	720
Berndt: Küstensenkungsmessungen. . . . .	291

	Seite
Berry, E. W.: An eocene tropical forest in the peruvian desert . . . . .	384
Bertrand, L.: Sur le métamorphisme général des terrains secondaires dans certaines parties des Pyrénées . . . . .	531
Biese: Ueber einige Höhlen der Schwäbischen Alb . . . . .	408
Bieske: Welcher artesische Brunnen besitzt die größte Ueberflamenge? . . . . .	405
Biguell, L. G. E.: Deepest and shallowest oil sands . . . . .	231
— Discuss oil mine shaft at Bartlesville . . . . .	224
— Oklahoma City pool has problems . . . . .	235
— Practical use of pressure control (L) . . . . .	178
— Russian oil men describes methods . . . . .	217
— Sand study becoming more important . . . . .	195
Bilharz, A.: Der Badener Granit (L) . . . . .	522
— Die Vorkommen des Michelbacher Porphyrs bei Baden-Baden (L) . . . . .	522
— Hornsteingänge bei Gaggenau im Murgtal . . . . .	753
Billinghurst, S. H.: Mineral Analysis of some Ordovician Rocks from Carnarvonshire . . . . .	528
Björlykke, K. O.: Bodenprofile aus Svalbard (Spitzbergen) (L) . . . . .	428
Blacks, M.: Great Bahama Bank, a Modern shelf Lagoon . . . . .	783
Blackwelder, Eliot: Mudflow as a Geologic Agent in Semiarid Mountains . . . . .	369
— Origin of the Desert Basins of Southwest United States . . . . .	384
— Sandblast action in relation to the glaciers of the Sierra Nevada . . . . .	385
— Striated Boulders as Evidence of Glacial Erosion . . . . .	721
Blake, G. S.: Geology and Water Resources of Palestina (L) . . . . .	405
Black, E.: Handbuch der Bodenlehre. — I. Bd.: Die naturwissenschaftlichen Grundlagen der Lehre von der Entstehung des Bodens (L) . . . . .	726
— II. Bd.: Die Verwitterungslehre und ihre klimatologischen Grundlagen (L) . . . . .	726
— III. Bd.: Die Lehre von der Verteilung der Bodenarten an der Erdoberfläche. Regionale und zonale Bodenlehre. (L) . . . . .	726
— V. Bd.: Der Boden als oberste Schicht der Erdoberfläche (L) . . . . .	727
— VI. Bd.: Die physikalische Beschaffenheit des Bodens (L) . . . . .	727
— Die physikalische Verwitterung (L) . . . . .	370
— Nochmals zur Frage der Entstehung der Terra rossa als Lösungsrückstand mariner Kalkgesteine . . . . .	735
Black, E. und H. Keesee: Ein Beitrag zur Kenntnis der Zusammensetzung montenegrinischer Bodenarten . . . . .	735
Blanchhorn, M.: Der marine Ursprung des Toten Meeres und seiner Salze (L) . . . . .	377
— Kali im Toten Meer (L) . . . . .	377
— Neue Erdbeben in Jerusalem (L) . . . . .	341
Blumenthal, M.: Bergwanderungen und Bergstudien auf der Insel Lombok (L) . . . . .	359
— Bilder vom Werden eines Berges. Die Staukuppen-Eruption des Galungung auf Westjava (L) . . . . .	359
— Der Klut (Ostjava), sein Eruptions- und Katastrophentypus und die getroffenen Präventivmaßnahmen (L) . . . . .	359
Bock: Zur Altersfrage der Dachsteinhöhlen . . . . .	407
Böhne: Ueberblick über die Erzlagerstätten Persiens und den derzeitigen Stand von Gewinnung und Verhüttung . . . . .	261
Boerema, J.: Report of seismological researches in the Netherlands East Indies (L) . . . . .	654
Börger, Helmut: Untersuchung der tektonischen Verhältnisse in der Umgebung von Ibbenbüren unter besonderer Berücksichtigung der Gesteinsklüfte (L) . . . . .	297

Seite

Bogojavlensky, L.: Definition of Radium in Russian Orthites of different Origin . . . . .	336
— Radioactivity of Ash of Some Oil Rocks . . . . .	337
Bogojavlensky, L. and A. Lomakin: Anomalies of the Penetrating Earth Radiations in the Ookhta Oil Bearing Region . . . . .	336
Boncev, Stefan: Pourquoi le versant nord du Balkan occidental et le versant sud du Balkan central sont-ils plus abrupts que les versants respectifs opposés? (L) . . . . .	298
Bonsdorff, Ilmari: Das Theorem von CLAIRAUT und die Massenverteilung im Erdinnern . . . . .	321
Bontschew, G.: Verteilung der Bodentypen Bulgariens und der europäischen Türkei (L) . . . . .	763
Borchert, H.: Magmatische Differentiationsprozesse . . . . .	466
Born, A.: Ueber Druckschieferung im varistischen Gebirgskörper . . . . .	70
— Zum Bau Bussisch-Zentral-Asiens (L) . . . . .	639
Boswell, P. F. and R. Blanchard: Cellular structure in limonite . . . . .	145
Bothé, A. Chr. D.: De asfaltgesteenten van het eiland Boeton, hun voorkomen en economische beteekenis. [Die Asphaltgesteine der Insel Boeton, ihr Vorkommen und ihre wirtschaftliche Bedeutung]	247
Bourgart, Jacques et M. E. Denaeyer: Sur les caractères lithologiques des roches intrusives du Massif Central saharien . . . . .	596
Bourcart, J. et V. Malycheff: Premiers résultats de recherches sur les sables du Sahara (L) . . . . .	374
Bradley, W. H.: Neue Beobachtungen über Algen als Urmaterialien der Bogheadkohlen und -schiefer (L) . . . . .	159
— Shore phases of the Green River formation in Northern Sweetwater County, Wyoming. . . . .	234
Brandenthaler, R. R., G. Wade, W. S. Morris: Natural flow and gas lift experience . . . . .	196
Branson, E. B.: Some Observations on the Geography and Geology of Middle-Eastern Costa Rica . . . . .	661
Branson, E. B. and W. A. Tarr: Columnar Structures in Limestone Compared with Buttress Structure in Volcanic Agglomerate . . . . .	450
— New types of columnar and buttress structures . . . . .	733
Branton, E. B.: Triassic-Jurassic „Red Beds“ of the Rocky Mountain Region . . . . .	377
Braun-Blanquet, J. u. H. Jenny: Vegetationsentwicklung und Bodenbildung in der alpinen Stufe der Zentralalpen (L) . . . . .	763
Bredberg, L. E.: Many new pools in Permian Basin (L) . . . . .	227
— Most phenomenal well in the world. . . . .	227
Breddin, H.: Die Bruchfaltentektonik des Kreidedeckgebirges im nordwestlichen Teil des rheinisch-westfälischen Steinkohlenbeckens . . . . .	299
— Die Wasserverhältnisse des Deckgebirges im niederrheinisch-westfälischen Steinkohlenbezirk. . . . .	397
Brewer, Ch., jr.: Genetic relationship of oil reservoirs to shore-line deposits . . . . .	205
Brockmann, Chr.: Das Brackwasser der Flußmündungen als Heimat und Vernichter des Lebens . . . . .	458
Broderrick, T. M.: Zoning in Michigan Copper deposits and its significance. . . . .	117
Brouwer, A. H.: Production of trachyte and phonolite from pyroxene andesitic magma associated with limestone . . . . .	5
— Verbreitung von Alkaligesteinen auf Java . . . . .	588
Brown, Ch. W. and E. K. Gedney: Problems Connected With a Unique Occurrence of Syenite in New England . . . . .	605



	Seite
Brown, Levi S.: The occurrence of leucoxene in some of the permian Mid-Continent sediments (L) . . . . .	463
Brown, Th. C.: Climatic Conditions when Coal Beds were Formed	160
Browne, W. R. and H. P. White: Alkalinization and other deuteric phenomena in the Saddleback trachybasalt at Port Kembla . .	69
Brown, W.: Zur Frage der Verwässerung von Erdöllagerstätten . .	189
Brüche, R. und G. Sattler: Das Pregelwasserwerk der Stadt Königsberg i. Pr. . . . .	697
Brüggen, J.: Zur Glazialgeologie der chilenischen Anden . . . .	435
Bryan, Kirk: Change in plant associations by change in ground water level . . . . .	373
— Date of channel trenching (arroyo cutting) in the Arid Southwest (L) . . . . .	373
— Glacial climate in non glaciated regions . . . . .	414
— Origin of rock tanks and charcos (L) . . . . .	374
Bryan, K. and E. C. La Rue: Persistence of features in an arid landscape. The Navajo Twins, Utah (L) . . . . .	688
Bryan, W. H.: Fossil Laterite from Southern Queensland . . . .	757
Bucher, W. H.: Cryptovolcanic regions . . . . .	362
Buddington, A. F.: Geology of Hyder and vicinity, Southeastern Alaska (L) . . . . .	266
— Granite phacoliths and their contact zones in the northwest Adirondacks (L) . . . . .	363
Budnikoff, Peter P.: Gipslagerstätten in Rußland . . . . .	152
Bücher, Chr.: Die Wiesbadener Wassergewinnungsanlagen in Schierstein a. Rh. unter besonderer Berücksichtigung der in 1921 bis 1924 durchgeführten Um- und Ergänzungsbauten zur Erzeugung künstlichen Grundwassers. . . . .	695
Büchler, F.: Die Bedeutung des Phosphorgehaltes für die Erklärung der Fusitbildung . . . . .	159
Bühler, G. und V. Skock: Technische Angaben über einige Bohrungen, welche in der Nähe der Stadt Solikamsk bei Aufschlußarbeiten auf Kalisalze niedergebracht wurden (L) . . . . .	152
Burger: Wald und Wasserhaushalt. . . . .	390
BurkARTH, E.: Art und Ausdehnung zentraler ländlicher Wasserversorgungen in Württemberg und Baden . . . . .	697
Burmeister, F.: Erdmagnetische Landesaufnahme von Bayern. . .	327
Burri, K.: Kritische Zusammenfassung unserer Kenntnisse über die Differentiationstypen postmesozoischer Vulkangebiete . . . . .	6
Burt, Frederick A.: Capsular silica (L) . . . . .	439
Busch, A.: Neue Beiträge zur Frage der Bodensenkung in Nordfriesland . . . . .	291
Busik, A. (Saratow): Ueber den Stand der Erforschung des unteren Wolgagebietes. . . . .	259
Butler, B. S. and W. S. Burbank: The copper deposits of Michigan	114
Butts, Ch.: Fensters in the Cumberland Overthrust Block in Southwestern Virginia . . . . .	305
Byerly, P.: Nature of the first motion of two earthquakes . . . .	340
Cadle, A.: The California oil industry in 1927 (L) . . . . .	239
Cadman, J.: Large potential oil fields have been defined in Persia and Iraq . . . . .	247
Cadman, W. K.: World records in oil production . . . . .	219
Callahan, W. H. and W. H. Newhouse: A study of the magnetic orebody at Cornwall, Pennsylvania . . . . .	107
Campbell, M. R.: Geomorphic value of river gravel . . . . .	694
Campodónico, C. T.: Erhaltung der Brunnen in einem regelmäßigen und dauernden Eruptionszustand (L) . . . . .	184



	Seite
Canaval, R.: Bemerkungen über die Erzkvorkommen in der Umgebung von Finkenstein bei Villach (L) . . . . .	255
— Das Erzkvorkommen nächst der Großglockner-Hochalpenstraße (L) . . . . .	255
— Das Goldvorkommen von Walzentritten und Räderzeche bei Weißbriach im Gitschtal (Kärnten) (L) . . . . .	255
— Das Graphitvorkommen von Klammberg bei Feld am Brennsee nächst Radentheim in Kärnten (L) . . . . .	255
— Zur Frage der Goldgewinnung aus den Gefällen des Goldfeldes der Ostalpen (L) . . . . .	255
Cantacuzene, S. G.: Note relative à la proposition de M. le géologue JOAN ATANASIU de contrôler l'occlusion des eaux aux sondes par des mensuration thermiques . . . . .	194
Cantuniari, St.: Cercetări petrografice și tehnologice asupra unor probe de tuf dacitic dela Govora și Ocnița (Jud. Vâlcea). (Petrographische und technologische Untersuchung einiger Dacituffe von Govora und Ocnița, Jud. Vâlcea, Oltenien) . . . . .	571
— Gneisul dela Carcaliu (Jud. Tulcea, Dobrogea). (Der Gneis von Carcaliu, . . .) . . . . .	59
— Lexic mineralogic-petrografic german-francez-român. (Mineralogisch-petrographisches Wörterbuch, deutsch-französisch-rumänisch.) . . . . .	465
— Nomenclatura in Mineralogie și Petrografie . . . . .	465
— Notă asupra unor roce verzi dela Circeaci (Jud. Constanța, Dobrogea). (Notiz über einige Grünsteine von Circeaci) . . . . .	813
Capps, S. R.: The Skwentna Region, Alaska (L) . . . . .	265
Cargill, Hilde K., L. Hawkes and Julia A. Ledebour: The major intrusions of South-Eastern Iceland . . . . .	621
Carstens, C. W.: En petrografisk undersøkelse av bygningsmaterialet i Trondhjems domkirke . . . . .	807
Cartwright, Lon. D.: Sedimentation of the Pico Formation in the Ventura Quadrangle, California (L) . . . . .	463
— Subsurface correlation methods in Permian Basin (L) . . . . .	227
Cassidy, H. E.: Applying the air gas lift to Roumania's production problems (L) . . . . .	214
Casteras, Marcel: Sur la structure des montagnes du Gar et du Cagire (L) . . . . .	636
Cayeux, L.: Les Roches Sédimentaires de France (Roches Siliceuses) — Origine éolienne de l'Ergeron des environs de Paris (L) . . . . .	778
— . . . . .	386
Chadwick, G. H.: Anorthosite Outlier Near Wells, New York (L) . . . . .	605
Chamberlin, R. T.: Instrumental work on the nature of glacier motion . . . . .	720
Charlesworth, J. K.: The glacial retreat from Central and Southern Ireland (L) . . . . .	725
— The glacial retreat in Jar Connacht (L) . . . . .	724
— The readvance, marginal kamemoraine of the South of Scotland, and some later stages of retreat (L) . . . . .	724
Chency, M. G.: Gravitational theory of orogeny reconsidered . . . . .	310
Chitani, Y.: The geology of the Futatsui oil field, prefecture of Akita . . . . .	251
— The geology of the Noshiro oil field, Prefecture of Akita . . . . .	250
— The geology of the Ogashima oil field, prefecture of Akita . . . . .	251
— The geology of the Takanosu oil field, Prefecture of Akita . . . . .	250
Chudoba, Karl: Der Phonolith von Oberschaffhausen und seine Einschlüsse . . . . .	525
Cissarz, Arnold: Petrographische Untersuchungen von Sedimentgesteinen aus Nowaja Semlja und deren metamorphe Umwandlungen (L) . . . . .	464

	Seite
Clapp, F. G.: Oil Fields of Persia and Mesopotamia (L) . . . . .	247
Clar, Eberhard: Ein Beitrag zur Kenntnis der Blei-Zinkerzlagertstätte von Schönstein (Šoštan) bei Cilli (Celje), Jugoslavien . .	132
— Mikroskopische Untersuchungen an der Magnesitlagerstätte von Kraubath in Steiermark (L) . . . . .	126
Clark, F. R.: Economic Geology of the Castlegate, Wellington, and Sunnyside quadrangles, Carbon County, Utah . . . . .	165
Clark, St. K., J. I. Daniels, J. T. Richards: Logging Rotary wells from drill cuttings . . . . .	174
Claypool, C. B. and W. V. Howard: Method of examining calcareous well cuttings . . . . .	195
Clerici, E.: Bibliography of Italian Studies in Sedimentary Petrology (L) . . . . .	443
Cloos, H.: Bau und Bewegung der Gebirge in Nordamerika, Skandinavien und Mitteleuropa . . . . .	312
— Die jungen Plateaugranite in Südwestafrika (L) . . . . .	601
— Künstliche Gebirge . . . . .	295
Codârcea, A.: Contribuțiuni la studiul petrografic al rocilor eruptive și sisturilor cristaline dela Racovăț (Jud. Mehedinți). (Beiträge zum petrographischen Studium der Eruptivgesteine und kristallinen Schiefer von Racovăț, Jud. Mehedinți, Südkarpathen) . . . . .	571
Codazzi, Ricardo Lleras: Notas adicionales sobre los Minerales y las Rocas de Colombia . . . . .	607
Coert, J. H.: Some notes about soils derived from the Keloet-Volcano (L) . . . . .	765
Coleman, A. P.: Long Range Correlation of Varves . . . . .	416
Coleman, A. P., E. S. Moore, T. L. Walker: The Sudbury Nickel Intrusive. Contributions to Canadian Mineralogy. 1929 . .	604
Collet, Leon W.: The Alps and WEGENER'S Theory (L) . . . . .	280
Colony, R. J. and Joseph H. Sinclair: The Lavas of the volcanic Sumaco, Eastern Ecuador, South America. . . . .	65
Comber, N. M.: An Introduction to the Scientific Study of the Soil (L) . . . . .	758
Conrad, V.: Bemerkungen zum Neuseelandbeben vom 16. Juni 1929	343
— Einsätze in Fernbebendiagrammen . . . . .	343
Convering, M. van: Courses of drill holes . . . . .	176
Cooperative drilling to develop Delta concessions of Venezuela (L)	245
Core studies and well spacing . . . . .	184
Cornelius, H. P.: Ueber Vorkommen von Helsinkit im Albulamassiv . . . . .	42
— Zur Altersbestimmung der Adamello- und Bergeller Intrusion . .	73
Correns, Carl W.: Bestimmung der Brechungsexponenten in Gemengen feinkörniger Minerale und von Kolloiden (L) . . . . .	466
— Ueber einen Basalt vom Boden des Atlantischen Ozeans und seine Zersetzungsrinde . . . . .	775
Couvreur: Craie bréchoïde de Plaisir (Seine-et-Oise) (L) . . . . .	778
Cox, E. R.: Determine efficiency of absorber (L) . . . . .	178
Cramer: Druckleitungsformen durch reine Gesteinsauflösung . . . .	408
Credner, W.: Zinnlagerstätten und Zinnbergbau in Siam . . . . .	108
Crosby, W. O.: Certain aspects of glacial erosion . . . . .	417
Cuyler, R. H.: Caliche as a Fault Indicator (L) . . . . .	638
Czermak, Fr.: Einige Bemerkungen zur Frage der „Tiefenstufen“ bei der Gesteinsumprägung . . . . .	8
Czoernig-Czernhausen: Basalthöhlen: Die Zwerglöcher bei Karlsbad . . . . .	407
Daly, R. A.: Rocks of the Bushveld Igneous Complex, Transvaal (L)	601
— Swinging sealevel of the ice-age . . . . .	416

	Seite
D a n n e n b e r g, A.: Die Verbreitung, Ausbildung und tektonischen Verhältnisse der flözführenden Unteren Kreide (Wealden) im westlichen Kanada (Prov. Alberta und Brit. Columbia) . . . . .	164
— Das Erdöl in der Provinz Hannover . . . . .	206
D a v i s, W.: Gas seeps and paraffine dirt showed the way . . . . .	237
— Home of „Gator“ and Water Lily opened for oil by science . . . . .	191
— Repressuring semi-flush properties . . . . .	183
— The Osages and their oil . . . . .	230
— Wild catters will seek oil in Louisiana maritime zone (L) . . . . .	237
D a y, Artur L.: Some causes of volcanic activity . . . . .	656
— The Year's volcanological publications. Abstract (L) . . . . .	348
D e e c k e, W.: Der Basalt von Mahlberg bei Orschweier (Breisgau) . . . . .	522
— Der Kaiserstuhl als geologisch-tektonischer Körper (L) . . . . .	640
— Zur Entstehung der Kare . . . . .	420
D e l é t a n g, Luis F.: La „Salina del Bebedero“ y sus relaciones con el sistema hidrográfico „Andino“ o del „Desaguadero“ (L) . . . . .	154
D e m a y, A.: Sur le rôle tectonique des granites et granulites du pourtour occidental du bassin houiller de Saint-Étienne . . . . .	317
— Sur les gneiss granulitiques du Pyfara et du synclinal de Saint-Marcel dans les Cevennes septentrionales . . . . .	532
D e t e r m i n a t i o n of geothermical gradients on oil structures . . . . .	192
D e u b e l, F.: Orogenetische und magmatische Vorgänge im Paläozoicum Thüringens (L) . . . . .	87
D e u x i è m e Rapport des Travaux de la Commission fédérale du Combustible (L) . . . . .	164
D i e h l, Otto: Die geologisch-bodenkundlichen Verhältnisse des hessischen Riedes . . . . .	762
— Ueber einen Basaltdurchbruch südwestlich Messel unweit Darmstadt. . . . .	520
D i e m, Karl und zahlreiche Mitarbeiter: Oesterreichisches Bäderbuch . . . . .	701
D i e n e m a n n, W. und O. B u r r e: Die zutzbaren Gesteine Deutschlands und ihre Lagerstätten mit Ausnahme der Kohlen, Erze und Salze. II. Bd. Feste Gesteine, bearbeitet von W. A H R E N S, O. B U R R E, W. D I E N E M A N N, F. M I C H E L S (L) . . . . .	794
D i e S c h u r f b o h r u n g e n auf Erdöl in der U.d.S.S.R. . . . .	217
D i n g e r, K.: Ueber die Herkunft des Strontiums in den Schichten des unteren Muschelkalks und des Röt in der Umgebung von Jena . . . . .	448
D i s p l a c e m e n t of oil in sands by solutions . . . . .	177
D i t t l e r, E.: Die Bauxitlagerstätte von Gánt in Westungarn . . . . .	737
D i x e y, F. and W. Campbell Smith: The Rocks of the Lupata Gorge and the North Side of the Lower Zambesi . . . . .	601
D o b b i n, C. E., H. W. H o o t s, C. H. D a n e und E. T. H a n c o c k: Geology of the Rock Creek oil field and adjacent areas, Carbon and Albany Counties, Wyoming . . . . .	234
D o n a t h, M.: Neuere Beobachtungen an den Basalten von Ostritz in Sachsen mit Einschlüssen fossiler Baumstämme (L) . . . . .	514
D o r n, P.: Zur Kenntnis des nordöstlichen Vorrieses (L) . . . . .	298
D o u b l e, I. S.: The Microscopic Characters of Certain Horizons of the Upper Chalk (L) . . . . .	780
D o u v i l l é, H.: Le Pic de Rébenacq et ses roches éruptives . . . . .	531
D o y e n, A.: Heavy minerals in Lower Tertiary sands of Campine (L) . . . . .	780
— Sur la distribution des éléments lourds dans les sables heersiens (L) . . . . .	780
— Sur la distribution des éléments lourds dans quelques sédiments anciens (L) . . . . .	780
D r e s c h e r, Fritz: Eruptivgesteine der Insel Flores . . . . .	590



	Seite
Drescher, F. K.: Ueber Mikroklinholoblasten mit Grundgewebs- einschlüssen, Internregelung von Biotit und einige diesbezügliche genetische Erwägungen . . . . .	81
Drilling and production in U.S. and abroad . . . . .	219
Drobyschew, D.: Sur les houilles de Daghestan septentrional (L)	164
Drolz, H.: Der Kohlensäurewassereinbruch beim Teufen des Friedrich- Schachtes in Zabřeh a. d. Oder . . . . .	410
Drygalski, E. von: Die Gliederung der Eisformen . . . . .	718
Dubrisay, René, Trillat, Jean und Astier: Sur les suspensions de Kaolin dans divers milieux (L) . . . . .	727
Dunk, K. von der: Perlschnüre und Knopfreiher als Oberflächen- formen eines Sandstrandes unter der Einwirkung des Windes . . . . .	457
Duparc, L. und E. Molly: Les gisements platinifères du Birbir (Abyssinie) . . . . .	104
— — Sur la présence de la Kényite sur le plateau Abyssin . . . . .	600
— — Sur la Tokéite, une nouvelle roche d'Abyssinie . . . . .	600
Duwensee: Die oberschlesische Bleizinkerzlagertätte auf Grund der Ergebnisse der geologischen Untersuchung der Deutsch-Blei- scharleygrube . . . . .	126
Duzee, E. N. van: Effects of choking Hendricks wells . . . . .	184
— Effects of choking wells in Winkler County, Texas (L) . . . . .	230
Earle, Kenneth W.: Geological Notes on the Island of Dominica, B. W. I. . . . .	59
Eaton, J. E.: What these geologists are and are not . . . . .	172
Eberl, B.: Die Eiszeitenfolge im nördlichen Alpenvorlande. Ihr Ab- lauf, ihre Chronologie auf Grund der Aufnahmen im Bereiche des Lech- und Illergletschers (L) . . . . .	423
— Zur Gliederung und Zeitrechnung des alpinen Glazials . . . . .	721
Eberle, Georg: Ein einfaches Mittel, um Tierspuren zu erhalten . . . . .	384
Ebers, Edith: Warum entstehen Drumlins nicht aus Gletscherspalten? (L)	418
Eckermann, Harry von: A find of boulders of Helsinkite in the parish of Alfta . . . . .	478
Effects of shutting in offset wells (L) . . . . .	176
Ehrat, H.: Die tätigen Vulkane des Gunung Api (Sangean) bei Bima, Niederländisch-Indien . . . . .	354
— Geologisch-mijnbouwkundige onderzoekingen op Flores (L) . . . . .	586
Ehrat, Henri: Sur la nature et l'origine des sols de Madagascar . . . . .	766
Ehrenberg, H.: Sedimentpetrographische Untersuchungen an Nebengesteinen der Aachener Steinkohlenvorkommen . . . . .	463
Eichinger, A.: Die Entstehung der Roterden und Laterite . . . . .	736
Eigenbrodt, H.: Das Wasserwerk der Stadt Baku . . . . .	714
Ein neuer österreichischer Normalblattentwurf für Naturasphalte und Erdölasphalte . . . . .	204
Eisfelder, H.: Das Vorkommen des Kupferkieses auf den Gängen der Blei-Zinkerzformation (L) . . . . .	120
Eliel, L. T.: Putting wings on geologists mule . . . . .	172
Elissew, N.: Ueber die Spilite vom See Segosero . . . . .	492
Emmons, R. C.: Notes on the precipitation of calcium-carbonate — Studies in Mineral Separation in a Finely Devided State . . . . .	455
Emmons, W. H.: Relations of metalliferous lode systems to igneous intrusives . . . . .	95
— The origin of the deposits of sulphide ores of the Mississippi Valley . . . . .	118
— The state and density of solutions depositing metalliferous veins . . . . .	98
Emszt, K.: Die chemische Analyse der lauen Quellen von Dunaal- más . . . . .	710
Erb, L.: Ueber die Bodenverhältnissc der Viehweiden im Hochschwarz- wald (L) . . . . .	762



	Seite
Errulat, F.: Erdmagnetische Messungen im Gebiete der Freien Stadt Danzig . . . . .	329
— Profilaufnahmen an einer erdmagnetischen Störung in Ostpreußen . . . . .	644
Eskola, Pentti: Beobachtungen über die Glazialbildungen in der Gegend der Wasserscheide zwischen dem Bargusin und der oberen Angara in Transbaikalien . . . . .	432
— Jänisjärvi ja Lappajärvi, Suomen „tulivuorijärvet“. (Die Seen Jänisveri und Lappajärvi, die „Vulkanseen“ Finnlands) (L) . . . . .	424
Estadística de Petroleo de la Republica Argentina durante el año 1928 . . . . .	247
Evans, J. R.: Bottom hole cementing gives data on size of shot holes (L) . . . . .	176
Evans, O. F.: Old beach markings in the western Wichita Mountains . . . . .	380
Fabiansky: Der bergmännische Abbau der Erdöllager (L) . . . . .	173
Faust, J.: Stratigraphie und Tektonik des Silberger Revieres bei Müsen (Siegerland) . . . . .	121
Fels, Edwin: Das Problem der Karbildung in den Ostalpen . . . . .	418
Fenneman, N. M.: Resource Survey of the Commercial Club of Cincinnati . . . . .	814
Ferguson, H. G.: The mining districts of Nevada . . . . .	265
Fersmann, A. E.: Die Schriftstruktur der Granitpegmatite und ihre Entstehung (L) . . . . .	8
— Geochemische Migration der Elemente und deren wissenschaftliche und wirtschaftliche Bedeutung . . . . .	663
— Sur la composition chimique de la terre et des météorites (L) . . . . .	364
Fiala, Fr.: Die petrographischen Verhältnisse des Kreideuntergrundes in der südöstlichen Umgebung von Proseč . . . . .	550
Field, R. M.: Paleocyanography of Limestone Seas . . . . .	784
Finály, St.: Irrigation of the „Hungarian Plain“ . . . . .	692
Fire hazard caused by sulphur oils . . . . .	200
Fischer, G.: Ueber Genese und zukünftige Abbaumöglichkeit der mitteldevonischen Roteisenerze der Gegend von Brilon . . . . .	149
— Zum Problem der Schieferung. Bemerkungen zu AXEL BORN'S Arbeit „Ueber Druckschieferung im varistischen Gebirgskörper“ (L) . . . . .	72
Fischer, Walter: Zu T. BARTH'S Bemerkungen über die Natur des Schriftgranits (L) . . . . .	474
Fisher, L. W.: Origin of chromite deposits . . . . .	103
Fleet, W. F. and F. S. Smithson: On the occurrence of Dark Apatite in some British Rocks . . . . .	26
Fliegel, G.: Der Thermalsprudel von Bad Kolberg in Thüringen . . . . .	707
Flörke, W.: Ein neues Phonolithvorkommen im Vogelsberg . . . . .	518
Flözübersichtskarte des oberschlesischen Steinkohlenbeckens 1: 50 000. Herausgegeben vom Preußischen Oberbergamt in Breslau 1926 (L) . . . . .	163
Flores, L. E.: Teorias y experimentos sobre el origen del petroleo . . . . .	190
Flores de Moraes Rego, L. und Djalma Guimarães: Estudo geol. e petrogr. da jazida de magnetita de Anitapolis, Estado de Sta. Catharina . . . . .	611
Flügel: Kritische Untersuchungen über die Theorie der Grundwasserbewegung und ihre Anwendung auf die vollkommenen Brunnen . . . . .	393
Foehr, K.: Ueber eine neue Hypothese als Ursache der Eiszeit (L) . . . . .	414
Foerster, Hermann: Beiträge zur tektonischen Deutung der Kluftsysteme im sächsischen Quadergebirge . . . . .	83

	Seite
Forchheimer, Ph.: Zur Grundwasserbewegung nach isothermischen Kurvenscharen (L) . . . . .	393
Fordham, W. H.: Metode pentru identificarea zacamintelor de petrol. (Methoden zur Feststellung von Erdöllagerstätten) (L) . . . . .	205
Foreman, F.: Hydrothermal experiments on solubility, hydrolysis and oxidation of iron and copper sulphides . . . . .	113
Foshag, William F.: Mineralogy and Geology of Cerro Mercado Durango, Mexico (L) . . . . .	65
Fossilie, Steinar: Gleichgewichtsverhältnisse bei einigen Titaneisenerzen (L) . . . . .	103
Frank, M.: Das Wandern der „tektonischen“ Vortiefe in den Alpen (L) . . . . .	298
Frank-Kameneckij, A. et N. Vaksberg: La source minérale de Gonja dans la région de l'Amour . . . . .	411
Frebold, G.: Erzlagerstättenkunde . . . . .	93
Freie, A. J.: Sedimentation in the Anadarko basin (L) . . . . .	783
Freise, E. W.: Oelbohrungen in Brasilien. . . . .	247
Frenguelli, J.: Acerca del origen de los salares de la región de los desiertos de la Puna y de Atacama . . . . .	377
Freyberg, B. v.: Ein System der Verwitterungs- und sedimentären Lagerstätten . . . . .	142
Friedl, K.: Das Erdölgebiet von Mraznica in Polen . . . . .	211
— Neue Pionierbohrungen in den polnischen Erdölgebieten . . . . .	210
— Ueber die österreichischen Erdölvorkommen . . . . .	208
Frosterus, B.: Der finnländische Topfstein als alkalifestes Ofenmaterial. (Täljstens-och Besläktade Bergarters tekniska Betydelse för Finsk Industri) . . . . .	816
Führer, G.: Mooruntersuchungen in den Kreisen Angerburg und Darkehmen (1917—1920) (L) . . . . .	163
Fujiwhara, Sakuhei und Takeo Takayama: On the Mechanism of the Great Sagami Bay Earthquake on September 1, 1923 . . . . .	341
Fulda, E.: Die Entstehung der deutschen Zechsteinsalze, heutige und frühere Anschauungen (L) . . . . .	150
— Tiefbohrergebnisse im Zechstein von Halle und Merseburg . . . . .	151
— Zum Problem des Kupferschiefers . . . . .	146
Gabriel, A. and E. P. Cox: A staining method for the quantitative determination of certain rock minerals . . . . .	2
Gäbert, C.: Ausgewählte Kapitel über Grundwasserhältnisse des mitteldeutschen Industriebezirks, ihre Beziehungen zu Wasserversorgung und Bergbau . . . . .	399
— Winke für Gemeinden und Städte bei Bohrungen nach Wasser . . . . .	714
Gaertner, H. R. v.: Deckenbau im Karnischen Variscikum (L) . . . . .	636
Gärtner, K.: Ueber die Selbstentzündung der Kohlen . . . . .	158
Gallwitz, H.: Beobachtungen an Glazialbildungen bei Demitz (Lausitz) (L) . . . . .	423
Gams, H.: Die Fortschritte der Seestratigraphie . . . . .	776
Gas—Oil ratio and its control . . . . .	185
Gawel, A.: Ueber die chemisch-mineralogische Zusammensetzung roter und grüner eocäner Schiefertone der Ostkarpathen . . . . .	449
Gealy, W. B.: Use of Mercury for determination of volume of rock specimens in Russell porosity apparatus. . . . .	443
Geer, G. de: Geochronology, as Based on Solar Radiation, and its Relation to Archeology . . . . .	715
Gellert, J. F.: Die bulgarischen Erdbeben im Frühjahr 1928 (L) . . . . .	340
Gensler, Karl: Zur Stratigraphie und Chemie des Mittleren Muschelkalks in Franken (L) . . . . .	777
Geophysical field methods discussed by engineers and geologists . . . . .	192

	Seite
Georgalas: Les hydrocarbures naturels en Grèce (L) . . . . .	215
Geßner, H.: Der WIEGNER'sche Schlämmapparat und seine praktische Anwendung (L) . . . . .	758
Geszti, J.: Zur Frage der Entstehung der Kontinente und Ozeane . . . . .	286
Ghirin, S. and A. Popov: An Essay of Comparison of the Results of Magnetometrical and Gravimetrical Surveys of Ferriferous Quarzites in the District of Krivoy Rog . . . . .	337
Ghosh, P. K.: On the Biotite-bearing greenstones and on a rhyolitic pumice in the metamorphic aureole of the Falmouth Granite (L) . . . . .	528
Giles, A. W.: Peat as a Climatic Indicator . . . . .	690
Gillson, J. L.: On the origin of the Alkaline Rocks . . . . .	5
Gillson, J. L. and R. M. Williams: Contact metamorphism of the Ellsworth schist near Blue Hill, Maine . . . . .	108
Gilluly, J.: Geology and oil and gas prospects of part of the San Rafael Swell, Utah . . . . .	234
Ginejko-Savická, A.: Ueber den Granitporphyr, Amphibolgesteine und Quarzgänge aus der Umgebung von Pelhrimov . . . . .	552
Ginsberg, A. G. und A. I. Zvetkov: Andesit-Basalt von Armenien als Material für fassierten Guß . . . . .	500
Ginsburg, I. und I. Hecker: Die Quarzsande und ihre Anwendung in der Glasfabrikation . . . . .	818
Gisolf, W. F.: Zur graphischen Darstellung von Gesteinsanalysen . . . . .	2
Glock, W. S.: Development of Drainage Systems (L) . . . . .	693
Göhringer, A.: Die Ursachen von gesetzmäßig-abnormen Flußgefällen, insbesondere im mittleren Schwarzwald bei Triberg . . . . .	693
Götte, A.: Die Kieserzlagertstätten bei Sparneck im Fichtelgebirge unter besonderer Berücksichtigung ihrer Genesis (L) . . . . .	252
Götzinger, G.: Die Neukonstruktion des Reliefs des Ostrau-Karviner Steinkohlengebirges und des subkarpathischen Hoffnungsgebietes (L) . . . . .	163
Goldschmidt, V. M.: Die Naturgeschichte der Eisenfamilie . . . . .	364
Golubiatnikow, W.: The Berekey Oil Region (L) . . . . .	218
— The detailed geological map of the Apsheron peninsula 1 : 21 000 (L) . . . . .	247
Golyer, E. de: Origin of North American Salt Domes (L) . . . . .	154
Goodrich, H. B.: Pioneers had crooked hole problems . . . . .	176
Gornostajew, N. N.: Ueber neue Gesetze der mikroperthitischen Verwachsungen von Feldspat und Quarz (L) . . . . .	8
Gorsky, V. A.: Geofizičko istraživanje naših boksita. (Geophysikalische Untersuchung des jugoslavischen Bauxites) . . . . .	334
Gortani, M.: Le linee orotettoniche delle Alpi Carniche. I. (L) . . . . .	636
Gothan, W.: Die Begrenzung der Begriffe Steinkohle, Braunkohle, Torf . . . . .	155
Gothan, W., K. Pietzsch, W. Petrascheck: Verhandlungsbericht . . . . .	155
Gottfried, C.: Beobachtungen über die Kontaktverhältnisse des Granites von Mont'Orfano (Oberitalien) . . . . .	78
— Die Mineralien der Adamellogruppe I. (L) . . . . .	9
— Ueber kontaktmetamorphe Gesteine des Baitonegebietes in der Adamellogruppe (Italien) . . . . .	534
Gotthard, Jar.: Die Serpentinorkommnisse in der Umgebung von Kácov an der Sázava . . . . .	560
Gould, Ch. N.: Scientist doesnt pretend to find oil . . . . .	172
Graber, H. V.: Bemerkungen zu S. v. BUBNOFF's „Werdegang einer Eruptivmasse“ (L) . . . . .	73
— Fortschritte der geologischen und petrographischen Untersuchungen am hercynischen Donaubruch . . . . .	44



	Seite
Gradual shut down is necessary for successful reopening (L) . . .	176
Grahmann, Rudolf: Die diluvialen Flußläufe Westsachsens und ihre Beziehungen zu den Grundwasserströmen (L) . . . . .	399
— „Grundwasserverhältnisse“ in der Erläuterung zu Blatt Riesa—Strehla (Nr. 16) der geologischen Karte von Sachsen 1: 25 000. II. Aufl. 1927 . . . . .	399
— Ueber die Ausdehnung der Vereisungen Norddeutschlands und ihre Einordnung in die Strahlungskurve . . . . .	723
Graton, L. C. and S. C. Davidson: Microscopical interpretation of folded structures . . . . .	99
Greenly, E. and F. S. Wallis: The Origin of the Old Red Sandstone of Anglesey (L) . . . . .	377
Gregory, J. W.: The geological history of the Atlantic Ocean (Presid. Address) (L) . . . . .	280
— Water Divining (L) . . . . .	639
— The structure of Asia (L) . . . . .	692
Greig, J. W., E. S. Shepherd and H. E. Merwin: Melting granite and basalt in the laboratory . . . . .	474
Grenet, G.: Balance d'induction de HUGHES pour la détermination de la susceptibilité des roches . . . . .	326
Grengg, R.: Ueber die Bewertung von natürlichen Gesteinen für bautechnische Zwecke . . . . .	796
— Zum Begriff Festigkeit bei natürlichen Gesteinen . . . . .	801
— Zur Frage der petrographischen Charakterisierung von Bausteinen . . . . .	795
Gretzinger, W.: 10 000 Foot Wells . . . . .	239
Grewe, Hubert: Die rationelle Analyse der feuerfesten Tone durch Schwefelsäureaufschluß . . . . .	774
Grinlinton, John L.: The Former Glaciation of the East Lidar Valley, Kashmir (L) . . . . .	437
Gripp, K.: Beiträge zur Geologie von Spitzbergen . . . . .	425
— Glaziologische und geologische Ergebnisse der Hamburgischen Spitzbergen-Expedition 1927 . . . . .	426
Gripp, K. und E. Todtmann: Die Endmoräne des Green Bay-Gletschers auf Spitzbergen (L) . . . . .	425
Groß, E.: Die Gewinnung von Grundwasser und seine künstliche Erzeugung . . . . .	713
Grout, F. R.: Ages and differentiation series of batholiths near the Minnesota-Ontario boundary . . . . .	363
— Anorthosite and Granite as Differentiates of a Diabase Sill on Pigeon Point, Minnesota (L) . . . . .	605
Groves, A. W.: An Igneous Conglomerate at Woolley, Devon . . . . .	528
— The identification of dumortierite as grains; dumortierite in Cornish granite (L) . . . . .	14
Grozescu, H.: Morfologia Văii Lotrului. (Zur Morphologie des Lotrutals, Südkarpathen) (L) . . . . .	725
Grün, R.: Traß und Sandmehl als Mörtelzusatz . . . . .	815
Gruse, W. A.: Petroleum and its products . . . . .	194
Guerassimow, A.: Les roches jurassiques modifiées par le métamorphisme du contact dans la vallée de la Malka . . . . .	493
Gugenberger, Odomar: Geologische Studien aus Ueberetsch mit besonderer Berücksichtigung glazialer Fragen . . . . .	421
Guidinger, E. F.: Repressuring in gasolin-production (L) . . . . .	178
Gulmarães, Djalma: Wolframita e cassiterita, Municipio de Encruzilhada . . . . .	110
Gutenberg, B.: Das Rheinlandbeben vom 13. Dezember 1928 . . . . .	340
— Die Erdbeben im Lichte der physikalischen Erdgeschichte . . . . .	648
— Hypothesen über die Entwicklung der Erde (L) . . . . .	319



	Seite
Gutenberg, B.: Lehrbuch der Geophysik, unter Mitwirkung von E. A. ANSEL, J. BARTELS, H. BENNDORF, A. BORN, F. LINKE, A. SIEBERG, A. WEGENER, L. WEICKMANN (L) . . . . .	319
— Theorie der Erdbebenwellen; Beobachtungen; Bodenunruhe (L) . . . . .	339
Guttstadt: Die Böschungsrutschungen im Rosengartener Einschnitt der Eisenbahnlinie Berlin—Frankfurt (Oder) . . . . .	792
Haalck, H.: Die Verwendung der Elektrizität zur Erforschung des Untergrundes . . . . .	329
— Ueber das Vorhandensein einer magnetischen Wirkung durch rotierende Massen und die Ursache des Erd- und Sonnenmagnetismus (L) . . . . .	644
Haan, W. de: De Mangani-breccie (L) . . . . .	359
Haas, J. O. and C. R. Hoffmann: La situation géothermique du bassin pétrolière de Péchelbronn . . . . .	330
— Sur l'existence de mouvements tertiaires en direction varisque dans la plaine d'Alsace septentrionale. . . . .	289
Hackl, O.: Chemische Unterscheidung von Erdölgasen und anderen Erdgasen. . . . .	199
Hadding, Assar: The first rains and their geological significance . . . . .	625
Häberle, D.: Neue Diabas-Steinbrüche im Nordpfälzer Bergland (bei Kirchheimbolanden) . . . . .	809
— Unterirdische Gewinnung von Schleifsteinen bei Queidersbach (Rheinpfalz) . . . . .	814
Häferkorn, H. E.: Sand Movement, Beaches, and Kindred Subjects. A Bibliography . . . . .	627
Hager, G.: Die Methoden zur Untersuchung der Bodenkolloide und ihrer Eigenschaften (L) . . . . .	758
Hallimond, A. F.: The formula of glauconite (L) . . . . .	445
Hamn, F.: Ueber die drohende Bodenaustrocknung Deutschlands . . . . .	692
Hanna, G. D.: An early reference . . . . .	190
— The Monterey shale of California . . . . .	239
Hanzawa, S.: Preliminary Report on Marine Deposits from the Southwestern North Pacific Ocean (L) . . . . .	464
Harrar, N. J.: Solvent affects of certain organic acids upon oxides of iron. . . . .	142
Hares, C. J.: Geology and lignite resources of the Marmarth field, South-western North Dakota. . . . .	165
Hardison, H. C. and W. W. Warner: Fragment surveys check crooked holes. . . . .	175
— Overcoming crooked holes (L) . . . . .	175
Harloff, Ch. E. A.: Over het kruipen van den bodem in het Noordelijk deel van het Regentschap Bandjarnegara. (Ueber Erdfließen im nördlichen Teil der Regentschaft Bandjarnegara) . . . . .	746
— Over radiolarienhoudende gesteenten in het Praetertiair von Loh Oelo (Midden-Java). (Ueber radiolarienhaltende Gesteine im Prätertiär von Loh Oelo, Mitteljava) (L) . . . . .	782
Harrasowitz, H.: Bleichungsvorgänge . . . . .	730
Hartwig, G.: Die Aufschlüsse des Verbindungsquerschlages „Siegfried-Giesen“ — „Rössing-Barnten“, ein Querprofil durch den Sarstedter Salzpfeiler . . . . .	151
Hasemann, W. P.: A theorie of proper spacing of wells . . . . .	185
Hatch, F. X.: An introduction to the study of ore deposits (L) . . . . .	93
Hauptverband deutscher Höhlenforscher. „Die Alpina dell Giulie“ in der Tiefe des Schachtes von Verco. (518 m unter der Erde bei Canale d'Isonzo) . . . . .	408
Hawkes, Leonard: On a partially fused quartz-felsparrock and on glomero-granular texture. . . . .	473

	Seite
Hawkins, A. C.: Halite and glauberite cavities and included minerals from central New Jersey (L) . . . . .	154
Hayes, A. O.: Further studies of the origin of the Wabana iron ore of Newfoundland . . . . .	149
Hayslip, V. H.: Hydrogen Sulphide Gas peril in Panhandle and Permian Basin . . . . .	230
Hazard, D. L.: Terrestrial magnetism in the twentieth century . . . . .	644
Heald, K. C.: Determination of geothermal gradients . . . . .	323
Heck, N. H.: Earthquake of the United States. Exclusive of the Pacific Region (L) . . . . .	344
— Earthquake Investigations in the United States . . . . .	654
— Progress of Seismological Investigations in the United States, January 1, 1925 to June 30, 1927 (L) . . . . .	344
Hecker, O. and O. Meisser: Irdische Schwere . . . . .	320
Heide, F.: Beiträge zur Mineralogie und Petrographie der Rhön. 2. Der Phonolith von Unter-Rupsroth bei der Milsburg . . . . .	518
Heiland, C. A.: Annotated Bibliography of Geophysical Prospecting (L) . . . . .	319
— Development in science of geophysics . . . . .	319
Heiland, C. A., Ch. Henderson and J. A. Malkosky: Geophysical Investigations at Caribou, Colo. . . . .	338
Heilquellen, klimatische Kurorte und Sanatorien der Schweiz . . . . .	701
Heim, Arnold: Die artesischen Quellen der Bahreininseln im Persischen Golf (L) . . . . .	406
Heine, W. und H. Obpacher: Verschiedene Anwendungsgebiete elektrischer Untergroundforschung . . . . .	329
Heise, W.: Rhombenporphyr als Gesteinstypus und als Geschiebe (L) . . . . .	474
Heiskanen, W.: Ueber die Elliptizität des Erdäquators . . . . .	320
Helium plant at Amarillo operates at line pressure . . . . .	226
Henglein, M.: Die Gesteine des Harzes, unter besonderer Berücksichtigung der Gegend von Harzburg . . . . .	10
— Ueber die Entstehung und Ausbildungsweise der Quarzporphyre an der Bergstraße bei Dossenheim, Schriesheim und Weinheim . . . . .	13
Henkel, L.: Der Wasserhaushalt der Rhone . . . . .	391
Herold, St. C.: Analytical principles of the production of oil, gas and water from wells . . . . .	205
— Jamin action-what it is and how it affects production of oil and gas . . . . .	195
Heroy, W. B.: Rock pressure . . . . .	183
Herrmann, R.: Die Erdtemperaturen in hannoverschen Oelfeldern. Ein Beitrag zur Erdölgeologie . . . . .	192
Hertel, F. W.: Ventura Avenue Oil Field, Ventura County, California . . . . .	241
Heß von Wichdorff, H.: Die Thüringer Dachschieferindustrie . . . . .	810
Hewett, D. F.: Two Tertiary Epochs of Thrust-Faulting in the Mohave Desert, California (L) . . . . .	306
Hibsch, J. E.: Erläuterungen zur Geologischen Karte der Umgebung von Brüx . . . . .	536
— Ueber Quarz- und Granitporphyr von Teplitz in Nordböhmen . . . . .	46
Hiebenthal, F.: Chemisch-petrographische Studien an norddeutschen Bitumengesteinen verschiedenen Alters . . . . .	200
Hiebleitner, Gustav: Das Bergbaugbiet (Pb, Zn, S, Au, Ag) von Janjevo am Amselfeld in Nordmazedonien, SHS. . . . .	123
— Das Nickelkobalterzvorkommen Zinkwand-Vöttern in den Niederen Tauern bei Schladming . . . . .	123
Hildebrand, E.: Der Aufbau des Wellenkalkes. Ein Beitrag zur Frage seiner allgemeinen Bildungsbedingungen (L) . . . . .	463
Hill, R. T.: Transcontinental Structural Digression . . . . .	306

	Seite
Hinds, N. E. A.: Maui Volcano, Hawaii . . . . .	363
— Wave-cut platforms in Hawaii . . . . .	437
Hirmer, Max: Ueber Vorkommen und Verbreitung der Dolomitknollen und deren Flora (L) . . . . .	159
Hirschi, H.: Okklusion der Radiumemanation in Gesteinslösungen	9
— Radioaktivität der Intrusivgesteine des Aarmassivs (Fortsetzung)	10
— Thormineral aus Lithiumpegmatit von Camp Harding bei Embudo, New Mexico (L) . . . . .	8
Hirschi, H. und F. de Quervain: Beiträge zur Petrographie von Baja californica (Mexiko) (Fortsetzung) . . . . .	64
Hisazumi, Hisakichi: Informe geologico preliminar de la parte norte del Estado de Sinaloa . . . . .	242
— Informe preliminar acerca la geologia petrolera de la zona comprendida entre los rios Tuxpan y Misantla, en los Estados de Puebla y Veracruz . . . . .	242
Hobbs, W. H.: Climatic zones and periods of glaciation . . . . .	414
— Glacial History of Southwestern Greenland . . . . .	424
— The cause of earthquakes, especially those of the eastern United States . . . . .	651
Hodgson, E. A.: Bibliography of Seismology (L) . . . . .	339
Hövig, P.: Contactmetamorfe ijereretsen aan de Salo Talimbangan en de Salo Pebatoean (Centraal Celebes). [Kontaktmetamorphe Eisenerze am Salo Talimbangan und Salo Pebatoean (Zentralcelebes)] . . . . .	108
Hoffmann, Frederick L.: Earthquake Hazards and Insurance (L) . . . . .	359
Hoffmeister, J. E.: Erosion of Elevated Fringing Coral Reefs	784
Hoffmeister, J. E., H. S. Ladd and H. L. Alling: Falcon Island . . . . .	363
Hoffmann, Elise und Friedrich Morton: Neue Beiträge zur Kenntnis des prähistorischen Bergbaues im Hallstätter Salzberge (L)	151
Holler: Die Ermittlung der Wasserführung von Grundwasserströmen aus Pumpversuchsergebnissen . . . . .	396
Holler, K.: Zeolith in Eruptivgesteinen . . . . .	525
Holmes, Arthur and H. F. Harwood: The tholeiite dikes of the north of England . . . . .	15
Holmsen, Gunnar: Et hittil upaa-aktet grundvandsforraad i vore lertrakter. (Ein bisher unbeachteter Grundwasservorrat unserer Lehmegenden) . . . . .	403
— Lerfaldene ved Kokstad, Gretnes og Braa. (Die Lehmfälle bei Kokstad, Gretnes und Braa [Norwegen]) . . . . .	404
Holtedah, Olaf: A „Pipe-Rock“ in the Upper Carboniferous of Bear Island . . . . .	449
Hoots, H. W.: Oil shale in a producing oil field in California . . . . .	239
Hopfner, F.: Die Reduktion von BRUNS-BOWIE . . . . .	322
— Erdmagnetische Messungen in der Lichtenwörther Gegend und am Steinfeld in Niederösterreich . . . . .	328
— Ueber die Wirkung der Undulationen auf die Größe der scheinbaren Schwerkraftstörung . . . . .	323
— Zur Begründung der Lehre von der Isostasie . . . . .	322
— Die Eötvössche Drehwaage und ihre Eignung für die praktische Geologie (L) . . . . .	320
Hoppe, W.: Beiträge zur Geologie und Petrographie des Buntsandsteins im Odenwald. II. Petrographie. 2. Die Gemengteile des Buntsandsteins und die Gesteine der einzelnen Buntsandsteinstufen . . . . .	461
— Die technische Untersuchung und Verwendbarkeit von Basalten der Rhön und Diabasen des Ostthüringer Schiefergebirges . . . . .	803



	Seite
Hoppe, W.: Untersuchungen über Verwitterung und Bodenbildung des Muschelkalkes der Umgebung von Jena . . . . .	745
Hormitzky, H.: Ueber den neuen artesischen Brunnen von Szolnok	700
Horn, Gunnar und Anders K. Orvin: Geology of Bear Island with special reference to the coal deposits, and with an account of the history of the island (L) . . . . .	164
Horusitzky, H.: Die artesischen Brunnen der Distrikte von Kapuvár und Csorna im Komitat Sopron . . . . .	405
Hradil, G.: Ueber „Dirschenit“ und die Verbreitung des Bitumengehaltes im Oelschiefer von Seefeld in Tirol . . . . .	208
Hradil, G. und H. v. Talsler: Die Oelschiefer Tirols . . . . .	207
Hubbard, G. D. and Ch. G. Wilder: Validity of the Indicators of Ancient Climates . . . . .	682
Hubbert, M. K. and F. A. Melton: Gravity anomalies and petroleum exploration . . . . .	192
Huber, H.: Bemerkungen über die Bestimmung des Titans und Eisens in Gesteinen . . . . .	466
Hülßenbeck, P. und W. Geyger: Die geoelektrischen Untersuchungsmethoden mit Wechselstrom nach der Sondenmethode .	330
Hünerwadel, Friedrich Marcus: Die Eruptivgesteine von Nord-Mittel-Soembawa (Niederländisch-Indien) . . . . .	590
Hulin, C. D.: Structural control of ore deposition . . . . .	96
Hume, G. S.: Oil and gas in Western Canada . . . . .	242
Hume, W. F., H. F. Harwood and H. L. Riley: Notes on some Analyses of Egyptian Metamorphic Rocks (Schists) . . .	597
Hummel, I. N.: Der scheinbare spezifische Widerstand bei vier planparallelen Platten . . . . .	329
Hummel, Karl: Beziehungen der Mineralquellen Deutschlands zum jungen Vulkanismus . . . . .	704
Hunkel, H.: Zur Streitfrage der direkten Auffindung von Erdöl-lagerstätten mit Hilfe elektrischer Verfahren . . . . .	191
Ihering, H. v.: Klima und Flora von Patagonien im Wandel der Zeit	688
Imamura, A.: On the chronic and acute earth-tiltings in the Kii Peninsula . . . . .	342
— On the Seismic Activity of the Kwantô District . . . . .	343
Ingram, T. R.: Little Buffalo Basin may get play . . . . .	238
— Testing Piceance Creek anticline . . . . .	224
Ishimoto, Mishio: Sur le mécanisme de la production des ondes sismiques . . . . .	339
Iswestija Instituta Prikladnoi Geofisiki . . . . .	335
Iwanow, A.: Die Bork-Usiaksche Kupferlagerstätte im südlichen Ural. Vorl. Bericht . . . . .	256
Jacob, Charles: Sur le métamorphisme des calcaires et sur la structure du versant nord-pyrénéen . . . . .	531
Jaeger, F.: Die Gewässer Afrikas, insbesondere ihre vom Klima bestimmten Eigenschaften (L) . . . . .	367
— Probleme der klimatischen Grenzen in Afrika (L) . . . . .	367
Jaeger, Wilhelm: Der Gebirgsbau des sächsischen Vogtlandes und dessen Erzlagerstätten (L) . . . . .	112
Jagggar, T. A.: Volcano research of the United States Geological Survey . . . . .	362
Jahn, A.: Die Mineralien der Flußspatgrube „Ludwig Vereinigt Feld“ zu Schönbrunn bei Oelsnitz i. V. mit Bemerkungen über die Ausscheidungsfolge derselben und den Trachtwechsel der Flußspatkristalle (L) . . . . .	112
Jannert, H.: Neue Methoden zur Bestimmung der wichtigsten physikalischen Grundkonstanten des Bodens (L) . . . . .	758

	Seite
Jeffreys, H.: The Earth (L) . . . . .	319
Jekelius, E.: Ueber das Vorkommen von kristallinen Schiefen im Valea Cerbului Busteni . . . . .	305
Jelin, J.: Der gegenwärtige Stand der wissenschaftlich-technologi- schen Kenntnis der Erdöle der U. d. S.S.R. . . . .	215
Jemtschujnikoff: Le type de la stratification entrecroisée, comme caractéristique de l'origine des sédiments . . . . .	450
Jenny, Hans: An equation of state for soil nitrogen . . . . .	761
— Gesetzmäßige Beziehungen zwischen Bodenhumus und Klima . . . . .	762
— Hochgebirgsböden . . . . .	434
— Klima und Klimabodentypen in Europa und in den Vereinigten Staaten von Nordamerika . . . . .	760
— Relation of temperature to the amount of nitrogen in soils . . . . .	760
— The nitrogen content of the soil as related to the precipitation- evaporation ratio . . . . .	761
Jensen, J., McDowell Graves, W. D. Gould, M. L. Gwin: Analysis of Santa Fe Springs Field . . . . .	224
Jensen, J. and G. D. Robertson: Development in Southern California since 1923 . . . . .	240
Jérémine, E. und P. Fallot: Sur la présence d'une variété de Jumillit aux environs de Calasparra, Province de Murcie . . . . .	533
Jizuka, Y.: The geology of the Daishaka oil field, prefecture of Aomori . . . . .	250
— The geology of the Oishida oil field, prefecture of Yamagata . . . . .	251
— The geology of the Shinjo oil fields, prefecture of Yamagata . . . . .	250
Joanițiu, E.: Données et appréciations sur les travaux d'explo- ration . . . . .	214
Jongmans, W. J.: Algemene Bouw van het Limburgsche Kar- boon. I (L) . . . . .	163
— Jaarverslag van den directeur van het Geologisch Bureau voor het Nederlandsche Mijngebiet over het jaar 1926 (L) . . . . .	163
— Stratigraphie van het Karboon in het algemeen en van Limburg in het Bijzonder (L) . . . . .	163
Jonas, A. J.: Structure of the Metamorphic Belt of the Central Appalachians . . . . .	637
Jones, V. H.: Contributions to the Mississippi Delta by Sediments of the Red River . . . . .	783
Judinson, P.: Die wichtigsten Strukturerscheinungen der Rohstoffe für Silikatsteine (L) . . . . .	776
Judson, S. A.: Résumé of discoveries and developments in North- eastern Texas in 1928 . . . . .	231
Jüngst, H.: Zur Sedimentation des Meeressandes im Mainzer Becken (L) . . . . .	462
Jung, H.: Die provinziale Stellung der permischen Eruptivgesteine des Thüringer Waldes (L) . . . . .	10
Jung, J. und P. Geoffroy: Sur l'efficacité de la méthode de prospection magnétique pour la recherche de failles dans l'Oligocène d'Alsace . . . . .	331
Jung, K.: Zur Bestimmung von Lage und Ausdehnung einfacher Massenformen unter Verwendung von Gradient und Krümmungs- größe (L) . . . . .	335
Junker, H.: Die Zinnerzvorkommen im Eibenstocker Granitmassiv	109
Kästner, Fritz und Fritz K. Mayer: Röntgenographische Studien an Kaolin und Tonen . . . . .	728
Kahler, Franz: Die Therme von Reifnitz am Wörther See . . . . .	709
Kaiser, Erich: Die junge terrestre Sedimentation in Süd- und Südwestafrika . . . . .	374

	Seite
Kaiser, Erich: Ueber eine Grundfrage der natürlichen Verwitterung und die chemische Verwitterung der Bausteine im Vergleich mit der in der freien Natur . . . . .	729
Kanton, M. I.: Ueber eine Phosphoritlagerstätte im Ural (L) . .	150
Katsutada, Sezawa: Further Studies on Rayleigh-waves having some Azimuthal Distribution (L) . . . . .	339
Kauenhoven, W.: Oil Fields of Germany . . . . .	206
— Ueber den Zusammenhang zwischen Erdöl- und Salzstockbildung in Nordwestdeutschland . . . . .	204
Kayser, E.: The inland ice (L) . . . . .	424
Keith, A.: Recently Determined Overthrusts in the Appalachians	306
— Structural Symmetry in North America . . . . .	280
Keil, J.: Electrometry Applied to the Experiments of Technical Soil-Melioration . . . . .	336
Keller, Hermann: Ausländische Wasserwirtschaft (L) . . . . .	386
— Gegenwartsfragen der Wasserversorgung . . . . .	395
— Wassergewinnung in heißen Ländern . . . . .	386
Kemmerling, G. L. L.: De active vulkanen van den Nederlandsch Indischen Archipel in 1928/29. (Die tätigen Vulkane des Niederländisch-Indischen Archipels in den Jahren 1928—1929).	659
— Vulkanen van Flores. (Vulkane von Flores) . . . . .	360
Keränen, J. und H. Odelsjö: Magnetic Measurements in the Baltic Sea. South Quarken and Northern Coast of the Baltic Sea	328
Kern, Ch. E.: Cost of producing Helium gas . . . . .	226
Kerner-Marilaun, Fritz: Ein sehr bemerkenswerter Fall von Siallitbildung in einem mediterranen Gebirgsklima (L) . . . . .	784
Kerr, Paul F.: Kaolinite from a Brooklyn subway tunnel (L) . .	727
Kettner, R. und Fr. Slavík: Neues Profil im Algonkium und Cambrium von Teřovice . . . . .	551
Kieslinger, A.: Die Färbemethoden in der Gesteinsuntersuchung	799
— Die Lavanttaler Störungszone (L) . . . . .	298
— Geologie und Petrographie der Koralpe. V. Marmorvorkommen im Bereich des Kartenblattes Deutschlandsberg—Wolfsberg . .	49
— Geologie und Petrographie der Koralpe. VII. Eklogite und Amphibolite . . . . .	49
— Geologie und Petrographie der Koralpe. VIII. Paragesteine . .	51
— Geologie und Petrographie der Koralpe. IX. Der Bau der Koralpe und seine Beziehungen zu den Nachbargebieten . . . . .	52
— Verwitterungserscheinungen an Wiener Monumentalbauten . . . .	805
Kindle, E. M.: A comparative study of different types of thermal stratification in lakes and their influence on the formation of marl	455
— The Intertidal Zone of the Wash, England . . . . .	780
Kirikov, A.: To the Knowledge of the radioactiveness in Sewiretchie . . . . .	477
Kirsch, Gerhard: Geologie und Radioaktivität: Die radioaktiven Vorgänge als geologische Uhren und geophysikalische Energiequellen (L) . . . . .	476
Kirsten, Eberhard: Der geologische Bau des Gebietes zwischen Eine und Hakel . . . . .	300
Kitson, H. W.: Experiments in Shear-Zone Folding . . . . .	296
Klähn, Hans: Ermittlung des relativen Alters des südlichen Rheintalgrabens (L) . . . . .	297
— Junge Tektonik in den Südvogesen (L) . . . . .	289
Klebensberg, R. v.: Der Sommer 1928 und die Gletscher . . . .	416
— Neue Aufschlüsse im Gelände der Höttinger Breccie . . . . .	421
Klemm, G.: Chemische Analysen permischer und postpermischer Gesteine des Odenwaldes . . . . .	522



	Seite
Klemm, G.: Ueber die Diabase (sog. Gabbros) der Böllsteiner Höhe und ihre Beziehungen zu schiefrigen, z. T. geröllführenden Amphiboliten . . . . .	521
— Ueber einen gemischten Augitminette-Kersantit-Gang an der Steinmauer bei Heppenheim a. d. B. . . . .	521
Klingner, Fritz-Erdmann: Die Verknüpfung der magmatogenen Lagerstätten Südamerikas mit den großtektonischen Einheiten . . . . .	100
— Ein siallitisches Verwitterungsprofil der Jurazeit aus Oberösterreich . . . . .	755
— Ueber das Ergebnis einer auf Erdöl angesetzten Kernbohrung bei Winetsham im oberösterreichischen Innkreis . . . . .	209
Klute, Fritz: Die Bedeutung der Depression der Schneegrenze für eiszeitliche Probleme (L) . . . . .	718
— Können Polverschiebungen und Strahlungskurve von M. MILANKOVIC die letzte Vereisung erklären? . . . . .	716
— Verschiebung der Klimagebiete der letzten Eiszeit . . . . .	683
Knappen, R. S.: Geology and mineral resources of the Aniakchak District, Alaska (L) . . . . .	266
Knauer, J.: Glazialgeologische Ergebnisse aus dem Isargletschergebiet . . . . .	721
Knight, S. H.: Festoon Cross Lamination (L) . . . . .	768
Knoch, K.: Die Klimafaktoren und Uebersicht der Klimazonen der Erde (L) . . . . .	366
Knoche, W.: Der „Austrocknungswert“ als klimatischer Faktor . . . . .	686
— Jahres-, Januar- und Juli-Niederschlagskarte der Republik Chile (L) . . . . .	367
Kober, L.: Der Bau der Erde. Einführung in die Geotektonik (L) . . . . .	295
— Der Hallstätter Salzberg . . . . .	301
— Die Bauelemente der Ost- und Südkarpathen (L) . . . . .	636
— Zur Großgliederung der Dinariden (L) . . . . .	298
Kobert, Karl: Ueber sehr huminsäurereiches Wasser aus einer Des-sauer Tiefbohrung . . . . .	709
Koch, Lauge: Contributions to the Glaciology of North Greenland (L) . . . . .	424
— Die Grundwasserträger des Niederelbegebietes . . . . .	398
Köhler, A.: Zur Kenntnis der Ganggesteine im niederösterreichischen Waldviertel . . . . .	43
Koehler, R.: Beobachtungen an Profilen auf See-Eis . . . . .	720
Köhn, M.: Beiträge zur Theorie und Praxis der mechanischen Boden-analyse (L) . . . . .	759
Koehne, W.: Wie wirken Einsickerung, unterirdische Kondensation und Grundluftspannung auf das Grundwasser? . . . . .	393
Kölbi, L.: Die Tektonik des Grenzgebietes zwischen West- und Ost-sudeteten . . . . .	45
Koenigsberger, J.: Bestimmung magnetischer Suszeptibilitäten von Gesteinen u. Mineralien in schwachen magnetischen Feldern (L) . . . . .	327
— Granitintrusion und Kluftmineralien . . . . .	38
— Zur Erforschung der ersten 100 km Erdkruste . . . . .	643
Koepfel, P. Dr. Robert, S. J.: Palästina. Die Landschaft in Karten und Bildern . . . . .	367
Kolderup, Niels-Henr.: En vestnorsk kistforende kvartskeratofyr. (Ein westnorwegischer, kiesführender Quarzkeratophyr) . . . . .	477
Kolenko, B. S.: Petrographische Skizzen der Gesteine aus den Aufschlüssen der zirkumbaikalischen Eisenbahn zwischen den Stationen Baikal und Kultuk. II. Plagioklas-calcitischer Mikropegmatitoid . . . . .	513
Komischan, J. S.: On the geology of the Tuja-mujun region (Ferghana) (L) . . . . .	476
Konno, E.: The geology and geological structure of the Western Marginal region of the Heijo coal-fields, Korea . . . . .	171

	Seite
Koolhoven, W. C. B. en W. A. J. Aernout: De ertsafzettingen von Simau (Res. Benkoelen). [Die Erzlagerstätten von Simau (Residentschaft Benkoelen)] . . . . .	124
Koopmans, R. G.: Voorloopig verslag over het onderzoek der Dolomietknollen uit de Domaniële Mijn (L) . . . . .	163
Korn, Doris: Tektonische und gefügeanalytische Untersuchungen im Grundgebirge des Böllsteiner Odenwaldes (L) . . . . .	77
Koßmat, Franz: Bemerkungen zur Entwicklung des Dinaridenproblems (L) . . . . .	636
— Beiträge zur Kenntnis der Lausitzer Störung und ihrer Vorgeschichte (L) . . . . .	298
Kostilewa, E.: Talk . . . . .	257
— Zirkonium . . . . .	106
Kotô, Bundjirô: The Iwatsuki Seismic Zone . . . . .	654
— The Iwatsuki Seismic Zone as a Factor of the Habitual Tokyo Earthquake . . . . .	654
— The Physiographic Division of Pacific North America . . . . .	306
Kouzmine, Alexis M.: Matériaux pour la division du période glaciaire dans la région de Kouznetzki-Altaï (L) . . . . .	431
Kouznetzoff, G. A.: La structure géologique du gisement de fer d'Abakan (Sibérie centrale) (L) . . . . .	131
Kranz, W.: Gründung von schwingenden Maschinen und anderen Bauwerken (L) . . . . .	793
— Wünschelrute und ingenieurtechnische Geologie . . . . .	785
— Ursachen und Folgen der Katastrophen am 24. Juli 1908 beim Lötschbergtunnelbau . . . . .	786
Kräusel, R. und P. Range: Beiträge zur Kenntnis der Karroformation Deutsch-Südwest-Afrikas . . . . .	600
Kräutner, Th.: Die Spuren der Eiszeit in den Ost- und Südkarpathen	429
Kraus, E. Riga: Das Wachstum der Kontinente nach der Zyklustheorie	285
— Der geomechanische Typus der Mittelrheinischen Masse und der orogene Zyklus . . . . .	299
— Die tektonische Geburt von Erdöl und Kohle . . . . .	633
— Ueber Eisschubberge . . . . .	720
— Ueber Schichtkrümmungen . . . . .	781
— Ueber Schwimmspuren im Sediment . . . . .	781
Krauß, H. E.: Chemische Untersuchungen über rote Triasmergel .	446
Kreji-Graf, K.: Die rumänischen Erdöllagerstätten . . . . .	212
— Ueber die Entstehung des rumänischen Erdöls . . . . .	214
Krenkel, E.: Der Diamant und seine Gewinnung (L) . . . . .	103
Krestew, Kr.: Die Forschungsergebnisse der Erdbeben in Bulgarien (L)	653
Kreutz, S. und M. Jurek: O opadzie pytu w Polsce w roku 1928. (Der Staubfall in Südpolen von Ende April 1928) . . . . .	385
Krige, L. J.: An interesting sandstone dyke in the Old Granite of Ermelo . . . . .	296
Krische, P.: Das Kali. Die Gewinnung, Verarbeitung und Verwertung der Kalisalze, ihre Geschichte und wirtschaftliche Bedeutung (L) . . . . .	150
Krol, L. H.: Plooiingsrichtingen in het Mesozoicum van West-(Centraal- en Zuid-Oost-?) Borneo (L) . . . . .	640
— Radiolarienhoudende gesteenten van Borneo. (Radiolarienführende Gesteine von Borneo) (L) . . . . .	782
Krotov, B. P.: On the fluorite deposits on the shores of the North Dvina river and their genesis (L) . . . . .	112
Krotow, B.: Ueber einige Diluvialgeschiebe aus dem Gouv. Wiatka	493
Krueger, H. K. E.: Ueber eine sog. Basaltbreccie in der Kreide-Tertiär-Formation von Westgrönland . . . . .	623

	Seite
Krumbach, G.: Einführung in die Erdbebenkunde . . . . .	648
— Zur Frage der Laufzeitkurven . . . . .	652
Krusch, P.: Die Entstehung des Erdöls, verwandter Kohlenwasserstoffe und gewisser Kohlenvorkommen . . . . .	187
Kténas, Const. A.: Les limites de la région mixte égéenne. Essai de synthèse géologique . . . . .	573
— Nouvelles recherches sur les caractères pétrochimiques de la caldeira de Santorin. (Neue Untersuchungen über den petrochemischen Charakter der Caldera von Santorin) . . . . .	575
— Sur le caractère alcalin de laves des volcans d'Antiparos (Cyclades)	576
Kühnel, Joh.: Geologie des Berchtesgadener Salzberges (L) . . . . .	151
Kuennen, Ph. H.: Voorloopig resultaat van een onderzoek van de G. Penanggoengan bij Soerabaia. (Vorläufiges Ergebnis einer Untersuchung des G. Penanggoengan bei Soerabaia) (L) . . . . .	660
Küpper, H.: Die Sammlung „Technische Geologie“ an der Lehrkanzel für Geologie, Boden- und Geländeformenkunde der Technischen Hochschule in Wien . . . . .	785
Kunitz, W.: Die volumetrische Phasenanalyse mittels der Zentrifuge, eine neue Methode zur quantitativen Gesteinsbestimmung (L) . . . . .	466
— Die volumetrische Phasenanalyse mittels der Zentrifuge, eine neue Methode zur quantitativen Gesteinsbestimmung . . . . .	443
Kusnetzow, J. G.: Materialien zur Petrographie vom Mugodschar-Gebirge (südl. Ural) . . . . .	511
Labuncov, A. (Labountow): La fersmannite — un nouveau minéral des Monts Chibines (L) . . . . .	492
Lacey, J. M.: Hydrology and Ground Water (L) . . . . .	386
Lacroix, A.: La composition des laves basaltiques de l'Indochine	591
— Les pegmatoides des roches volcaniques à facies basaltique . . . . .	469
— Nouvelles observations sur les laves des îles Marquises et de l'île Tubuai (Polynésie australe) . . . . .	618
— Nouvelles observations sur les laves des îles Sous-le-Vent de l'Archipel de la Société . . . . .	614
— Sur la constitution des laves de l'île Mahetia (Archipel de la Société) . . . . .	617
— Sur une nouvelle région de roches intrusives néphéliniques à Madagascar . . . . .	602
— Sur un nouveau Type alumineux de pagodite (L) . . . . .	727
Laggally, M.: Die Zähigkeit des Gletschereises und die Tiefe der Gletscher . . . . .	719
— Versuch einer Theorie der Spaltenbildung in Gletschern . . . . .	416
Lahee, F. H.: Clay Creek Dome, Washington County, Texas . . . . .	230
Lahee, F. H.: Crooked holes — causes and effects (L) . . . . .	175
— Crooked holes next important problem (L) . . . . .	174
Lamar, J. E.: Relation of Texture to the Development of Porosity by Weathering . . . . .	734
Lamster, J. C.: Een „uitbarsting“ van de modderwel Késangâ op Java. (Eine „Eruption“ der Salse Késangâ auf Java) . . . . .	660
Lance, R. D.: La route et les matériaux français de viabilité . . . . .	813
Landes, Kenneth K.: Sequence of mineralization in the Keystone, South Dakota, pegmatites (L) . . . . .	8
— Volcanic ash in Kansas . . . . .	362
Langecker, F.: Erdölartige Spuren in der Kohle . . . . .	206
Lannefors, N. A.: Informe sobre las minas de estaño de Mazán y algunos otros trabajos mineros en la Sierra de Velasco (Provincia de la Rioja) (L) . . . . .	272
— Las Minas de Hierro de Lagunillas (Departamento de Rosario de Lerma, Provincia de Salta) (L) . . . . .	272



	Seite
Lannefors, N. A.: Las minas de Hierro de Visvil (Provincia de Catamarca). Informe Minero (L) . . . . .	272
Laroux, Ed.: Le tunnel de l'Ave Maria. Observations géologiques et hydrologiques sur le plateau et la falaise au sud de Boulogne-sur-Mer (L) . . . . .	403
Larsen, Esper S.: The temperatures of magmas . . . . .	4
Lațiu V. N.: Birefrința feldspatilor plagioclași din seria andesinei și studiul microscopic al rocilor cu andesina, din Transilvania . . . . .	58
Laubenheimer, A.: Kaolinbergbau im nordwestsächsischen Porphyrgbiet. . . . .	741
Laubmann, H.: Ueber Mineralklüfte im Fichtelgebirge und Bayerischen Walde (L) . . . . .	526
Laue, A. C.: Solvent denudation overestimated — geological age underestimated . . . . .	392
Laue, A. C., R. B. Newcombe and W. A. Thomas: Geological Significance of Water Analysis . . . . .	692
Lautensach, Herm.: Eiszeitstudien in der Serra da Estrela (Portugal) . . . . .	428
Lawson, A. C.: A Glimpse of Australia . . . . .	726
Lebedef, P. I.: Tuffartige Laven von Alagez . . . . .	499
Lee, J. S.: Some Characteristic Structural Types in Eastern Asia and their Bearing upon the Problem of Continental Movements (L) . . . . .	639
Lee, J. S. and Y. T. Chao: Classification and Correlation of palaeozoic coal-bearing Formations in North China (L) . . . . .	171
Lees, G. M.: Salzgletscher in Persien (L) . . . . .	154
— The Chert Beds of Palestine (L) . . . . .	459
Leggette, Max: The Preparation of thin sections of friable rock . . . . .	2
Lehmann, E.: Der Basalt von Stöffel (Westerwald) und seine essexitisch-thermalithischen Differentiate . . . . .	515
Lehmann, H.: Die Gesteinsklüfte des östlichen Harzvorlandes . . . . .	301
Lehmann, O.: Das Tote Gebirge als Hochkarst (L) . . . . .	408
Lehr- und Forschungsanstalt für Gartenbau in Berlin-Dahlem. Moorversuchsfelder der Anstalt in Großbeeren. Versuche betr. Entwässerung . . . . .	387
Leigh, R. E.: Trinidad drillers develop method of handling high pressures . . . . .	245
Leighton, M. M., P. Mac Clintock and H. R. Wanless: Further Work on the Profiles of Weathering of the glacial Drift Sheets of Illinois and their Application to the Study of the Underclays of Coal . . . . .	747
Leiningen, W. Graf zu: Die Roterde (Terra Rossa) als Lösungsrückstand mariner Kalkgesteine . . . . .	734
Lengyel, E.: Der genetische Zusammenhang zwischen den Graniten und Gneisen . . . . .	475
— Der Aetnaausbruch im Jahre 1928 und sein Gestein . . . . .	351
Leonardon, E. G. & Sh. F. Kelly: Exploring for Ore by Potential Methods . . . . .	645
Lepez, P.: Das Kupfer- und Chromvorkommen im Serpentin von Jawornitza in Nordgriechenland . . . . .	255
Lepez, L.: Die Chromlagerstätte Fteri in Nordgriechenland . . . . .	104
Leppla, A.: Die geologischen Voraussetzungen für die Errichtung von Talsperren in Deutschland und die Durchführung geologischer Vorarbeiten bei ihrer Planung (L) . . . . .	785
Leuchs, Kurt: Alte und junge Gebirge in Turkestan (L) . . . . .	639
— Die Bedeutung alter Massen für Lage und Struktur jüngerer Kettengebirge (L) . . . . .	295
— Ordos und seine Randketten, ein Beitrag zur tektonischen Entwicklung von Ostasien (L) . . . . .	639

	Seite
Leuchs, Kurt: Rahmenfaltung im Fränkischen Triasbecken (L) . . . . .	295
Lilley, E. R.: Definition of waste and conservation (L) . . . . .	186
— The geology of petroleum and natural gas . . . . .	172
Linck, G.: Die Schutzrinden . . . . .	372
Linck, G. und E. Köhler: Chemische Untersuchung eines böhmischen Letten . . . . .	445
— Chemische Untersuchung zweier Tone aus der Umgebung von Landsberg a. d. W. . . . .	446
Lindgren, W.: Magmas, dikes and veins . . . . .	96
Lindsly, B. E.: Oil recovery by use of heated gas . . . . .	178
Link, Th. A.: En échelon tension fissures and faults . . . . .	296
Linstow, O. von: Beitrag zur Entstehung und Verbreitung des Feuersteins . . . . .	460
— Bodenanzeigende Pflanzen . . . . .	759
— Die im Mitteldevon auftretenden Mineralquellen am Westrand der Russisch-Galizischen Tafel . . . . .	708
— Jugendliche Bodenbewegungen im Bereiche der Weser am Fuße des Sollings . . . . .	290
Little, A. D.: The romance of Carbon . . . . .	662
Lobeck, Reinh.: Die Wasserversorgung von Paris als Beispiel neuzeitlicher Wasserwerkserweiterungen . . . . .	402
Lodotschnikow, W. N.: Étude microscopique des roches de la région comprise entre le Dary-dag et la partie ouest de la chaîne de Karabakh occidental (Transcaucasie) . . . . .	501
— Materialien zur Petrographie des westlichen Teils der nördlichen Abhänge vom russischen Tarbagatai . . . . .	482
— Mikroskopische Untersuchung der Gesteine aus dem nördlichen Persien . . . . .	578
— On the petrology of the Voronezh Crystalline Block of the russian Plateau . . . . .	483
Loewinson-Lessing, F.: Qu'est ce que la dunité? . . . . .	471
Logan, J.: Raccoon Bend . . . . .	230
— South Louisiana has real future in newly found domes . . . . .	237
Lomakin, A.: Graduation of Apparatuses for Measurement of Radioactivity (L) . . . . .	386
Longest string of seven inch pipe landed at Santa Fe Springs	224
Longfellow, D. W.: Suggested Cause of Pleistocene Glaciation and its Termination . . . . .	718
Longwell, Ch. R.: Character and history of the „continental nuclei“ (L)	280
Lonsdale, J. T.: An underground placer cinnabar deposit . . . . .	146
— A Piedmont Magmatic Compl. . . . .	605
— Dipyrite and associated contact minerals from the Franklin Mountains of Texas (L) . . . . .	9
Lotze, Franz: Stratigraphie und Tektonik des Keltiberischen Grundgebirges (Spanien) (L) . . . . .	636
— Ueberschiebungs-, Abscherungs- und Zerrungstektonik bei der Osningfaltung . . . . .	635
Low, A. R.: Instability of viscous fluid motion (L) . . . . .	425
Ludwig, G.: Die Gliederung des Liegenden des Kupferschiefers in der Mansfelder Mulde . . . . .	147
Lüders, K.: Entstehung und Aufbau von Großrücken mit Schillbedeckung in Flut- bzw. Ebбетrichtern der Außenjade . . . . .	457
— Spülsaum aus Regenwürmern . . . . .	437
Lundbeck, Joh.: Studien über das Frische Haff. III. Die Strömungen und ihre Beziehungen zu Wasserhaushalt und Wasserbeschaffenheit im Frischen Haff (L) . . . . .	437
Lundmark, Knut: Das Leben auf anderen Sternen (L) . . . . .	625

	Seite
Lundquist, G. (Stockholm): Bodenablagerungen und Entwicklungstypen der Seen . . . . .	451
Lupton, Ch. T.: Frannie structure geology analysed . . . . .	224
MacCarthy, G. R.: Modification of the theory of magmatic cycles	310
McCorkindale, C. L.: Shell Oil Co. has worlds deepest well at Signal Hill . . . . .	239
Macedonescu, M. V.: Ceptura . . . . .	214
— Contributions à l'étude des régions pétrolifères du pays . . . . .	214
McFarlane, G. C.: Igneous metamorphism of coal beds . . . . .	161
Machatschki, Felix: Chemische Untersuchung der Devonkalke, Höhlenlehme und einiger Phosphaterden aus der Drachenhöhle bei Mixnitz (L) . . . . .	445
McIntyre, J.: 990,000,000 bbls. of crude oil produced in U.S. in 12 months . . . . .	219
— New field for scientist and engineer . . . . .	174
— Plan to deplete sands quickly . . . . .	176
Mackie, W.: Dumortierite in British Rocks (L) . . . . .	528
— The apatites in Sedimentary Rocks as Indicators of the Amount of Atmospheric Carbonic Acid in the Periods of Deposit (L) . . . . .	374
— The Heavy Minerals in the Torridon Sandstone and Metamorphic Rocks of Scotland, and their bearing on the Relative Ages of these Rocks (L) . . . . .	463
McQueen, H. S.: Insoluble residues as a guide in stratigraphic studies . . . . .	768
McWilliams, J. R.: Handling flowing wells in the Mid-Continent Fields (L) . . . . .	236
Mádai, L.: Hydrologische Studien über die Wasserergiebigkeitsmessungen bei dem artesischen Brunnen der St. Margarethen-Insel in Budapest (L) . . . . .	700
Mader, Karl: Erstmalige Messungsergebnisse (L) . . . . .	320
Mahadevan, C.: The chromite-bearing ultrabasic deposits of Singhbhum . . . . .	104
Maiwald, K.: Zur Bestimmung und Deutung des Puffervermögens carbonatarmer Böden (L) . . . . .	727
Malamphy, M. C.: The seismograph in the Gulf Coast . . . . .	191
Malychef, V.: Sur les sols podsoliques du nord-ouest de la Tunisie (L)	745
Mansfield, G. R.: Geography, geology and mineral resources of the Portneuf Quadrangle, Idaho . . . . .	150
Marbut, C. F.: A scheme for soil classification (L) . . . . .	768
Marc, Robert: Die physikalische Chemie in ihrer Anwendung auf Probleme der Mineralogie, Petrographie und Geologie (L) . . . . .	625
Marchet, A.: Der Chemismus der Eruptivgesteine von Gleichenberg	53
— IV. Die chemische Zusammensetzung des Diallagamphibolits vom mittleren Kämtal . . . . .	47
Marr, J. E.: Deposition of the sedimentary rocks (L) . . . . .	443
Marschall, F.: Chemische Untersuchung des Wassers der „Szent István“-Heilquelle bei Paráđ . . . . .	710
Marsh, H. H. and B. H. Robinson: Means of Controlling Gas—Oil Ratio . . . . .	185
Marsh, T. W.: Alongshore Drifting of Beach Material (L) . . . . .	437
Martens, J. H.: Sand and Gravel Deposits of Florida (L) . . . . .	465
Martinez, E.: Chokers used to hold back salt water in Mexican wells (L) . . . . .	244
Maschkowzew, S. T.: On a newly discovered Deposit of Radioactive Rocks and Minerals in the Uzbekistan (L) . . . . .	476
Matériaux concernant l'étude de la région salifère de la Kama (L)	152
Mather, K. F.: Old Mother Earth (L) . . . . .	273



	Seite
Mather, K. F., J. Gilluly und R. G. Lusk: Geology and oil and gas prospects of Northeastern Colorado . . . . .	223
Mathews, A. A. L.: Origin and Growth of the Great Salt Lake Oolites . . . . .	783
Matousek, O.: Geological Analysis of some Tectonic Phenomena on the Moon and their Relative Age . . . . .	633
Matwejew, A. K.: Ueber ein Eruptivgestein bei der Station Kuteinikowo (Südrußland) . . . . .	491
Matuzawa, Takeo: On the Occurrence of Pulsatory Motions on the Earth's Crust . . . . .	652
Maurer, E.: Ueber Mineralquellen . . . . .	409
May: Die Bodenwasserverhältnisse in bautechnischer, wirtschaftlicher und rechtlicher Beziehung im Sinne der Verdingungsordnung für Bauleistungen . . . . .	792
— Rhein und Grundwasser im Stadtgebiet Düsseldorf und ihre hydraulischen Beziehungen zueinander . . . . .	396
Meals, S. W.: Protect, not plug, old gas wells . . . . .	183
Meek, Ch. E.: Genesis of a sandstone dyke as indicated by heavy minerals . . . . .	297
Megathlin, G. R.: The pegmatite dikes of the Gilsum area, New Hampshire . . . . .	105
Meinardus, W.: Arktische Böden . . . . .	432
Meinzer, O. E.: Compressibility and Elasticity of Artesian Aquifers	406
Meinzer: Plants as Indicators of Ground Water . . . . .	387
Mennell, F. P.: Some Mesozoic and Tertiary Igneous Rocks from Portugese East Africa . . . . .	601
Merensky, E.: The discovery of the Namaqualand Diamonds . . . . .	147
Merkle, Eduard: Chemische Untersuchungen über die Sedimente des unteren und mittleren Lias . . . . .	754
Mertie, J. B.: Preliminary report on the Sheenjek River District, Alaska (L) . . . . .	265
Mezger: Versuche über den Einfluß der Grundluft auf das Entstehen von Grundwasser . . . . .	394
— Versuche über den Einfluß der Grundluft auf die Bewegung und Verteilung der Bodenfeuchtigkeit . . . . .	394
Meyer, Gerhard: Magnetische Messungen im östlichen Riesengebirge	328
Meyer, Oskar E.: Neue Moränenfunde im Riesengebirge . . . . .	724
Meyer, St.: Die radioaktiven Substanzen (L) . . . . .	476
Meyer, St. und E. v. Schweidler: Radioaktivität (L) . . . . .	476
Miller, H. C.: Factors and methods affecting back pressure control of wells . . . . .	181
Miller, W. J.: Anorthosite in Los Angeles County, California . . . . .	606
Mills, B.: Old methods still used . . . . .	240
— Ventura well action questions economics of pinching . . . . .	184
Mills, R. van A.: Dangers of Water Flooding explained . . . . .	180
— Field methods of controlling water . . . . .	180
— Gas pressure and the recovery of oil . . . . .	179
— Important improvement in gas lift . . . . .	185
— Water coning prevention and control . . . . .	177
Milner, H. B.: Microscope in the Petroleum Industry, etc. (Correlation of Oil-well samples and Petrographic Methods) (L) . . . . .	194
— Paraffin Dirt. Nature, Origin, etc. (Incl. Petrography) (L) . . . . .	195
— Research on Sediments by British Petrologists (L) . . . . .	443
— Sedimentary Petrography. With special reference to petrographic methods of correlation of strata and to subsurface oil geology (L)	443
Milon, Y.: Présence de la glauconie dans les sables pliocènes de Bretagne (L) . . . . .	777

	Seite
Mintrop, L.: Zur Geschichte des seismischen Verfahrens zur Erforschung von Gebirgsschichten und nutzbaren Lagerstätten (L)	648
Miser, Hugh D.: Structure of the Ouachita mountains of Oklahoma and Arkansas (L)	636
Mockler, A. E.: Russia may need all its oil at home (L)	217
Möckel, K.: Comunicare preliminară asupra studiilor petrografice din Poiana Ruscă	572
— Die petrographischen Verhältnisse der südlich Resinár (Răşinari) gelegenen Berggegend	571
— Die Poiana Ruscă	572
— Hornblendegesteine aus der Umgebung der „Hohen Rinne“	572
Möhl, R.: Zur technischen Analyse der Tone mit Hilfe des Mikroskops (L)	776
Möller, G.: Ueber Bleicherde- und Ortsteinböden im mittleren Holstein und ihre Kulturfähigkeit (L)	763
Moesta, Georg: Brüche und Porphyreffusionen im östl. Erzgebirge	91
Moltschanov, I.: Spuren einer alten Vergletscherung im Jenisseisker Gebirge (L)	431
Montgomery, R. J. and R. J. Watson: Fire Clay, Kaolin, and Silica Sand Deposits of the Mattagami and Missinaibi Rivers	774
Moore, E. S. and I. E. Maynard: Origin of the Precambrian Banded Iron Formations	464
— Solution, transportation and precipitation of iron and silica	142
Moore, G. P.: Oil possibilities of the Eastern Andean Region of South America	245
— Vast areas of promising oil lands await development in the Chaco Plains	246
Moore, R. C.: Environment of Pennsylvanian life in North America (L)	783
— Sedimentation Cycles in the Pennsylvanian of the Northern Mid-Continent Region	783
Moritz, H.: Eine Vorrichtung zum Ausbohren analysenreiner Mineralteilchen aus Anschliffen unter dem Erzmikroskop (L)	466
Morris, A. B.: Condensation effect in Gas-Oil-Ratio	185
Mortensen, H.: Die Wüstenböden	370
— Inselberglandschaften in Nordchile	381
— Ueber den Abfluß in abflußlosen Gebieten und das Klima der Eiszeit in der nordchilenischen Kordillere	434
— Ueber die klimatischen Verhältnisse des Eisfjordgebietes (L)	425
— Ueber Vorzeitbildungen und einige andere Fragen in der nordchilenischen Wüste	380
Morton: Der Hirschbrunn-Quellenbezirk	401
Mrazec, L.: Despre geneza serpentinelor. (Ueber den Ursprung der Serpentine)	570
Mühlen, L. v. zur: Ueber die Morphologie der Gebirge Turkestans (L)	639
Müllbauer: Die Pegmatite vom Schweiklberg bei Vilshofen a. D. (L)	14
— Mineralklüfte bei Passau (L)	14
Müller, Bruno und Ad. Winkler: Meßbare Geländebewegungen in Nordböhmen (L)	293
Müller, C.: Radioaktivitätsmessungen als geophysikalische Aufschlußmethode (L)	476
Müller, F.: Geophysikalische Untergrundforschung und Bauwesen	338
Müller, Heinrich: Ueber die quantitative Trennung feinsten Gemenge von Mineralien verschiedenen spezifischen Gewichtes mittels eines neuen Zentrifugenglases	443
Müller, K. O.: Intrusionstektonische Untersuchungen im Potzberg—Königsberg-Gebiet (Rheinpfalz)	314

	Seite
Müller, M.: Geophysikalische Feldmessungen mit niederfrequenten Wechselströmen (L) . . . . .	329
Müller, W.: Untersuchungen über das „Grundgebirge“ der Insel La Gomera (Canaren) . . . . .	613
Müllers, P.: Ueber die Dolomitisierung des Mitteldevons der Gerolsteiner Mulde in der Eifel . . . . .	439
Müllerried, K. G.: Geología petrolera de las zonas sur del Estado de Tamaulipas y norte del Estado de Veracruz . . . . .	243
— Informe preliminar acerca de la geología y zonas petrolíferas de una parte de la región carbonífera de Coahuila y Nuevo Leon (L) . . . . .	243
Münichsdorfer, F.: Bodenkarte Bayerns 1: 400 000 mit Erläuterungen (19 S.) (L) . . . . .	762
Murgoci, G.: Despre origina serpentinelor din Carpații românești. (Ueber den Ursprung der Serpentine in den rumänischen Karpathen) . . . . .	570
— Nomenclatura în Mineralogie și Petrografie. (Die mineralogische und petrographische Nomenklatur in der rumänischen Sprache) . . . . .	465
— Serpentina cu mică dela Firizu. (Der glimmerführende Serpentin von Firizu, Plateau von Mehedinți, Südkarpathen) . . . . .	571
— Terminologia românească în tectonică. (Die tektonische Nomenklatur im Rumänischen) . . . . .	294
Murayama, K.: The geology of the Murakami oil field, prefecture of Niigata . . . . .	251
Musper, K. A. F. R.: Over den ouderdom der intrusiefgesteenten van Flores. (Ueber das Alter der Intrusivgesteine von Flores) (L) . . . . .	586
Mylius, L. A.: Oil and gas development and possibilities in East-Central Illinois . . . . .	236
Nagao, T.: Palaeogene coal-bearing formations of the Island of Kyushu . . . . .	171
Nahnsen: Die Praxis der planmäßigen Entwässerung im Braunkohlenbergbau . . . . .	395
— Ein Verfahren zur zahlenmäßigen Bestimmung der Entwässerbarkeit von Sanden . . . . .	395
Narayana, L. A.: A study of the calc-gneisses, scapolite-gneisses, and cordierite-garnet-sillimanite-rocks of Coimbatore, Madras Presidency; with comparison to other similar occurrences in India . . . . .	578
Nash, James M. W.: Radiolarienhoudende Gesteenten van Sumatra. (Radiolarienführende Gesteine von Sumatra) (L) . . . . .	782
— Twee vliegtochten naar den Krakatau. (Zwei Flugreisen nach dem Krakatau) . . . . .	661
Nechoroschew, W. P.: Ueber das Alter der metamorphen Gesteine der Kalbin-Kette . . . . .	513
Nelson, W. A.: Thrust-faulting from the West in the Appalachians of Virginia . . . . .	637
Nennstiel, F.: Entstehung und Ausbreitung deutscher Erdbeben in ihrer Abhängigkeit von den geologischen Verhältnissen . . . . .	653
Neue Erdölvorkommen im Ural . . . . .	218
Neumann van Padang, M.: De Noordelijke doorbraak in den Papandajan kraterwand. (Der nördliche Durchbruch in der Papandajan-Kraterwand) . . . . .	358
— Goenoeng Papandajan . . . . .	355
— Lava-streams of the Goentoer Mountain and the hot springs of Tijpanas . . . . .	355
— Over jong-vulkanische afzettingen. (Ueber jungvulkanische Ablagerungen) . . . . .	657
— The obsidian of the Goenoeng Kiamis (L) . . . . .	586



	Seite
90% pressure method of gaging gas wells avoids waste . . .	177
Neustruev, S. S.: Genesis of Soils . . . . .	768
Neuwirth, Fr.: Ueber Gasentschwefelung unter Verwendung von Köflacher Lignitkohle . . . . .	164
Newhouse, W. H. and G. Zuloaga: Gold deposits of the Gua- yana Highlands, Venezuela. . . . .	113
Newly developed instrument measures and records inclination of hole . . . . .	175
Nickerson, C. M.: Effects of shutting in offset wells . . . . .	240
— Repressuring in depleted oil zones . . . . .	182
— The effect on producing wells of shutting in the offset (L) . . . . .	176
Nicklin, M. E.: Something about Gas Lift (L) . . . . .	178
Niggli, P.: W. HOMMEL's systematische Petrographie auf genetischer Grundlage . . . . .	1
— Uebersicht über die Entstehung technisch wichtiger Minerallager- stätten. . . . .	93
Nikiforow, P., S. Ghirin and D. Uspenski: Contribution to the Question of Zero-Point Displacement of the Torsion Balance in a Gravity Variometer. . . . .	337
— Gravimetrical Prospecting of Ferriferous Quarzites in the District of Krivoy Rog . . . . .	337
Nikolov, Naum und W. G. Radev: Hydrogeologische Unter- suchungen der Umgebung der Thermalquellen im Karlovo-Bezirk (Bulgarien) (L) . . . . .	411
Nippoldt, A.: Unsere heutige Kenntnis über die Verteilung des Erdmagnetismus . . . . .	645
— Verlegung der magnetischen Observatorien von Potsdam und Seddin wegen Elektrisierung der Vorortbahnen. . . . .	327
Nöcker, H.: Beiträge zur Petrographie von Südsumatra (Lampong- Distrikte). . . . .	588
Noll, W.: Zur Kenntnis des Nontronits (L) . . . . .	727
Normenentwurf des österreichischen Normenausschusses für Oele und Fette . . . . .	203
Noszky, E.: Der Pseudogeysir von Ránk-Herlány . . . . .	410
Noth, R. und K. Krejci-Graf: II. Tektonische Beobachtungen am Deckenrande der Moldau (L) . . . . .	298
Nowels, K. B.: Development and relation of oil accumulation to structure in the Shiprock district of the Navajo Indian Reservation, New Mexico . . . . .	232
Numerov, B.: Gravity Observations in the Solikamsk and Beres- niaky Districts in the Northern Urals in 1926 and 1927 . . . . .	334
— Results of the General Gravity Survey in the Embe District . . . . .	334
— Results of the Gravity Observations of 1928 near Lake Baskunchak . . . . .	334
Nutting, P. G.: Some geological consequences of the selective adsorp- tion of water and hydrocarbons by silica and silicates . . . . .	203
— Some physical problems in oil recovery . . . . .	198
Oetting, W.: Beobachtungen am Rande des Horsjökull und Lang- jökull in Zentralisland. . . . .	725
Ogura, T.: The Quartz-basalt of Taradake, Japan . . . . .	593
Oklahoma City presents difficult problems for geologists . . . . .	246
Oliveira, E. P. de: Primeiro Congresso Brasil. de Carvão e outros combustiveis nacionaes . . . . .	166
— Rochas petroliferas do Brasil.-Trabalhos relativos ao anno de 1918 . . . . .	166
Onorato, E.: Il giacimento di zolfo di Monte Solforoso presso Scrofano in provincia di Roma (L) . . . . .	351
Operators demanding straighter holes in Seminole district . . . . .	175

	Seite
Osborne, F. F.: A diabase contactmetamorphic mineral deposit in Ontario . . . . .	111
— Technique of the investigation of iron ores (L) . . . . .	466
Osmann, Ch. W.: The granites of the Scilly Isles and their relation to the Dartmoor granites (L) . . . . .	528
Ostadal, Rudolf: Petrographisches aus dem nordwestlichen Teil des niederösterreichischen Waldviertels . . . . .	45
Otis, H. C.: Proper casing and tubing of Gas wells (L) . . . . .	174
Oussoff, (Ussow), M. A.: L'aperçu industriel et géologique du bassin houiller de Kouznetzk (L) . . . . .	164
Pacák, O.: Basalte von Jeseník (Gesenke) und den angrenzenden Gebieten . . . . .	554
Pacher, W.: Die Rohölförderung mittels Druckgas oder Druckluft (L) . . . . .	177
Pack, Frederick J.: Structure of thermal springs on the Wasatch fault (L) . . . . .	413
Padalka, G.: Contactmetamorphic deposits of Samenbet in the Kirghiz steppes (L) . . . . .	511
Padang, M. Neumann van: Lava-streams of the Goentoer Mountains and the hot springs of Tijpanas (L) . . . . .	413
Paduroff, N.: Die kristallinen Schiefer des Irtysch-Gebirges (L) . . . . .	512
Paffenholz, K.: Daschkessan und Saglik. Magneteisenerze und Alunitlagerstätten im Kreise Gandsha, Azerbajdschan . . . . .	259
Palache, Charles: A comparison of the ore deposits of Langban, Sweden, with those of Franklin, New Jersey (L) . . . . .	131
— Paragenetic classification of the minerals of Franklin, New Jersey (L) . . . . .	131
Pálffy, M.: Daten zur Kenntnis der Hydrologie der Umgebung von Péees (Fünfkirchen). I. Die Hydrologie des Karstwassers . . . . .	697
— Schwankungen in der Wassermenge der Thermalquellen von Budapest . . . . .	710
Palmer, H. S.: Karrenbildung in den Basaltgesteinen der Hawaiischen Inseln (L) . . . . .	409
Papish, J.: New occurrences of germanium. II. The occurrence of germanium in silicate minerals . . . . .	365
Papp, F.: Hydrogeologische Beobachtungen im Börzsöny-Gebirge . . . . .	698
Paraffin removed without interrupting production (L) . . . . .	195
Pardee, J. T.: Platinum and black Sand in Washington . . . . .	147
Pardee, J. T. and E. S. Larsen: Deposits of vermiculite and other minerals in the Rainy Creek District, near Libby, Montana . . . . .	131
Parent, H.: Observations sur l'âge et le sens des mouvements orogéniques corses (L) . . . . .	636
Parsons, C. P.: A pressure-volume decline curve for measuring gas well volumes . . . . .	183
— Coordinated mechanical and geological data cut prospecting costs . . . . .	174
Passarge, S.: Die Wirkung des Windes (L) . . . . .	385
Patteisky, K. and J. Folprecht: Die Geologie des Ostrau-Karwiner Steinkohlenreviers (L) . . . . .	163
Pávai-Vajna, F.: Ueber die Geschichte und die geologischen Verhältnisse der Tiefbohrung von Lillafüred . . . . .	711
Peacock, Martin A. and Richard E. Fuller: Chlorophaeite, sideromelane and palagonite from the Columbia River plateau (L) . . . . .	439
Peinert, W.: Die Herkunft des Eisens, Phosphors und der Edelerden in der Amberger Erzformation und der Kieselsäure im Pfahlquarz des Bayerischen Waldes . . . . .	148
Pence, R. H.: Control of effective back pressure (L) . . . . .	178
— Effect of agitation with gas or air (L) . . . . .	178
— The problem of installing the gas lift (L) . . . . .	178

	Seite
Penck, Albrecht: Die Kluftsysteme im Basteigebiet (L) . . . . .	298
— Die Ursachen der Eiszeit . . . . .	717
— Salpausselkä in Oberbayern . . . . .	722
Pennington, H.: Hydraulics of salt dome waters . . . . .	177
— Practice of setting strainers in loose sands for controlling high pressures and large flows . . . . .	177
Petrascheck, W.: Die Ausschußverhandlungen über die Begrenzung der Begriffe Steinkohle, Braunkohle, Torf . . . . .	155
— Die Kohlenlager der dinarischen Gebirge Altösterreichs (L) . . . . .	164
— Kohlengologie der österreichischen Teilstaaten. II. Teil (L) . . . . .	163
— Richtlinien für die Entnahme von Proben bei Bohrungen zum Zwecke ihrer geologischen Auswertung . . . . .	173
— Steinkohlenfloren und Carbonfloren, Braunkohlenfloren und Terziärfloren . . . . .	159
Petrovsky, A.: An Artificial Electric Field with 21 Pair of Electrodes (L) . . . . .	336
— Isolines of a Natural Electric Field formed by a Spheric Ore-Bed . . . . .	335
— Magnetic Forces in an Artificial Electric Field . . . . .	335
Petrovsky, A., R. Skariatina and L. Kleiman: Electrometric Investigation of the upper Arshinsk Ore Bed accomplished 1927 . . . . .	335
Pfalz, Richard: Die Bedeutung der „Flammengneise“ für die Tektonik des mittleren Erzgebirges (L) . . . . .	87
— Die Erschließung der Bodenschätze SO-Bulgariens (L) . . . . .	256
Pfannenstiel, M.: Spuren von Eiskristallen im oberbadischen Wellenkalk (Mu <sub>3</sub> ) (L) . . . . .	414
Pferschy, Alfr.: Karte der nutzbaren Minerallagerstätten der Provinzen Bolzano (Bozen) und Trento . . . . .	255
Pflugshaupt, P.: Beiträge zur Petrographie des östlichen Aarmassivs. (Petrographisch-geologische Untersuchungen im Gebiet des Bristenstockes) . . . . .	38
Philipp, H.: Die Wirkungen des Eises (L) . . . . .	414
Philippson, Alfred: Grundzüge der allgemeinen Geographie. II. Bd. I. Halbband. Morphologie (erster Teil) (L) . . . . .	625
Philipsborn, H. v.: Ueber mylonitische Granitgneise in der nördlichen Randzone des sächsischen Granulitgebirges . . . . .	84
Picard, Leo: Spring and Ground Waters in Esdreton Valley and the Coastal Plaine (L) . . . . .	405
Pietzsch, Kurt: Der Bau des erzgebirgisch-lausitzer Grenzgebietes (L) . . . . .	298
— Die geologische Stellung des Gabbrogebietes von Siebenlehn . . . . .	86
— Grundwasserverhältnisse auf Blatt Hirschstein . . . . .	400
Piggot, C. S.: Radium in Rocks I, The Radium Content of Some Representative Granits of the Eastern Seabords of the United States . . . . .	9
Pilgrim, L. und W. Wundt: Die Berechnung der Eiszeiten auf astronomisch-physikalischer Grundlage (L) . . . . .	414
Pilz, R.: Der Kupfererzdistrikt von Tocopilla in Nordchile . . . . .	112
Pilz, R. und M. Donath: Betrachtungen über die Entstehung der Eruptivgesteine und Erzlagerstätten des andinen Boliviens . . . . .	268
Podbielniak, W. J.: Fractional analysis of natural gas (L) . . . . .	195
Pollack, V.: Ueber Bewegungen des anstehenden Bodens bei Erd- und Felsarbeiten (L) . . . . .	792
Polovinkina, J.: Zur Frage über die Struktur und Zusammensetzung des kristallinen Gebiets Südrußlands . . . . .	482
Pompeckj, J. F.: Is the Earth Growing Old? . . . . .	625
Porter, H. P.: Oil recovery by natural methods . . . . .	184



	Seite
Portmann, Waldemar: Tektonische Untersuchungen im nördlichen Bergsträßer Odenwald . . . . .	88
Power, H. H.: Relative efficiencies of air and gas in pressure drive	182
Powers, S.: Cap rocks of oil sands . . . . .	464
— History of the American Association of Petroleum Geologists . .	172
— Masjid-i-Suleimann oil field, Persia. Gypsum flowage in Persia	247
Prassolov, L. I.: Ueber Braunerde der Krim und des Kaukasus	765
Prát, Silvester: Studien über die Biolithogenese. Die Bedeutung der Kalkalgen und Cyanophyceen für die Bildung der Travertine	711
Preda, D. M.: Observations géologiques dans le champ pétrolifère d'Ochiuri. . . . .	214
Premik, Josef: Quelques remarques sur la glaciation quaternaire du Tonor en Albanie Méridionale (L). . . . .	725
Prenger: Die Wasserversorgung der Stadt Köln und das neue Wasserwerk bei Weiler . . . . .	396
Priehäusser, Georg: Die Eiszeit im Bayerischen Walde (L) . .	723
Production increased by gas lift on pumping wells (L) . . . .	183
Produktion . . . . .	218
Prokopenko, N.: Sur le filon de nakrite dans le massif éruptif principal de Totajkoi près de Simferopol (L) . . . . .	124
Pustowka, A.: Ueber rumänische Salztoneaufbrüche (L) . . . .	152
Quervain, F. de: Die Eruptivgesteine der Pannonischen Senke und ihrer Umrandung . . . . .	78
— Zur Petrographie und Geologie der Taveyannazsandsteine . .	36
Quiring, Heinrich: Eine Quartärisobasenkarte Westdeutschlands .	292
— NW—SO-Schub im Koblenzer Pressungsgelenk des Rheinischen Gebirges . . . . .	72
Radev, Jeko: La stara planina oriental et la vallée de Kamtchia (L)	298
— Sur la question de la glaciation diluviale de la Vitocha (L) . .	429
Rae, Colin C.: Big Sand Draw field, Fremont County, Wyoming .	233
Raehder, Lucie: Grundlagen und Versuch einer landschaftskundlichen Gliederung der nördlichen algerischen Sahara . . . . .	699
Raistrick, A.: The Petrology of some Yorkshire Boulder Clays .	436
Ramdohr, Paul: Mikroskopische Beobachtungen an Graphiten und Koksen . . . . .	157
Ramsay, Wilhelm: Niveauverschiebungen, eisgestaute Seen und Rezession des Inlandeises in Estland . . . . .	424
Ransome, F. L.: Directions of progress in economic geology . .	94
Rao, T. V. M.: A study of bauxite . . . . .	742
Rastall R. H.: The magmatic Origin of Ores . . . . .	102
Rathsburg, Alfred: Die angebliche Vereisung des Erzgebirges zur Eiszeit (L) . . . . .	424
— Die Gletscher des Böhmer Waldes zur Eiszeit (L) . . . . .	723
Rauschenbusch, C. Th. und F.: Neue Erfahrungen über Natur und Gewinnbarkeit des Eder-Goldes auf seiner Mutterlagerstätte am Waldecker Eisenberg . . . . .	252
Rawlins, E. L.: Determining open flow by pressure . . . . .	178
— Open flow by pressure methods . . . . .	178
Read, H. H.: On the Occurrence of Iron-rich Cordierite in Aberdeenshire. . . . .	530
Reck, Hans: Uebersicht über die Tätigkeit des Krakatau im Jahre 1928 . . . . .	353
Redaktion der Zeitschrift „Caliche“ (Dir.: B. DIAZ OSSA). Condiciones atmosféricas imperantes en la Pampa Central de Antofagasta. . . . .	366
Redepennig: Aufgaben und Ziele der Erdölgewinnung in Nordwestdeutschland. . . . .	204

	Seite
Redfield, A. H.: Petroleum resources of foreign countries and outlying possessions of the United States . . . . .	206
Redlich, K. A.: Das Wasserleitungsprojekt für Teplitz-Schönau und Umgebung. (Der Grundwasserträger in der Fley usw.) . . .	401
Redlich, K. A., K. v. Terzaghi und R. Kamppe: Ingenieur-geologie. Mit Beiträgen von H. APFELBECK, H. E. GRUNER, H. HLAUSCHECK, K. KÜHN, K. PRECLIK, L. RÜGER, K. SCHARER und A. SCHOKLITSCH (L) . . . . .	785
Reed, R. D. and J. P. Bailey: Subsurface Correlation by Means of Heavy Minerals (L) . . . . .	443
Reeds, Ch. A.: Varved Glacial Clays at Haverstraw, New York . .	416
— Weather and glaciation . . . . .	717
Reeside, John B., jr.: „Triassic-Jurassic Red Beds of the Rocky Mountain Region“: A Discussion . . . . .	377
Reeves, F.: The Carbon-Ratio Theorie in the light of Hilt's Law. — Thrust faulting and oil possibilities in the plains adjacent to the Highwood Mountains, Montana. . . . .	186
Reeves, J. R.: Possibility of fusing oil sands when shot . . . . .	235
Reich, H.: Einige Bemerkungen zur Frage der Ursachen der magnetischen Störungen in Ostpreußen . . . . .	176
Reich, H. und W. Wolff: Ueber das magnetische Verhalten verschiedener Harzgesteine (L) . . . . .	644
Reichel: Der Wasserhaushalt des Coloradogebiets . . . . .	327
Reichenbach, R.: Beiträge zur Kenntnis der Kohlen der Kolumbianischen Ostkordillere . . . . .	391
Reichert, Hans: Tektonik des Meißner Syenit-Granitmassivs . .	166
Reid, G.: Conserving gas in Texas Panhandle. Use of Miller Method (L) . . . . .	84
Reid, H. E.: Folding and Faulting of Strata . . . . .	231
Reinhard, A. L.: Die diluvialen Eiszeiten des Kaukasus und deren Beziehungen zu den alpinen und skandinavischen Eiszeiten (L) .	653
Reinhard, A. v.: Ueber die Eiszeit Spuren am Nordabhang des Kischik-Alai . . . . .	431
Reinhard, M.: Cercetări în Munții Făgăraşului. (Untersuchungen in den Fogarascher Bergen) . . . . .	431
— Cercetări în Munții Făgăraşului și în Valea Jiului . . . . .	568
— Cercetări în partea orientală a Munților Făgăraşului. (Geologische Beobachtungen aus dem östlichen Teile des Fogarascher Gebirges)	567
— Cercetări în regiunile sisturilor cristaline ale Carpaților Meridionali și Orientali. (Bericht über die geologischen Aufnahmen im Gebiete der kristallinen Schiefer der Süd- und Ostkarpathen) . .	569
— Rocce granitice granulare ale pânzei transilvanice din Carpații de Sud side Est. (Die granitisch-körnigen Gesteine der transylvanischen Decke der Süd- und Ostkarpathen) . . . . .	569
— Sîsturile cristaline din Munții Făgăraşului, cîna română. (Die kristallinen Schiefer des Fogarascher Gebirges in den rumänischen Karpathen) . . . . .	568
— Ueber die Dicke der Gesteinsdünnschliffe und der darin vorkommenden Mineral Komponenten . . . . .	3
Reinhold, Th.: Photographic log may be obtained with device used abroad . . . . .	174
Remisow, N. A.: Petrographische Untersuchung von zwei Handstücken der Alkaligranite aus Berg-Ossetien . . . . .	493
Renick, B. C.: Recently discovered salt domes in East Texas . .	231
Reנגarten, W. P.: Description géologique des environs des sources minérales de Matsesta et d'Agoura (L) . . . . .	411

	Seite
Renngarten, W. P.: Die tektonische Charakteristik der Faltungsgebiete des Kaukasus (L) . . . . .	639
— Les houilles de la région de Zélentchouk au Caucase du Nord (L)	164
Renngarten, V.: Les Nouvelles Données sur la Tectonique du Caucase (L) . . . . .	639
Reuning, E.: The discovery of the Namaqualand Diamonds . . . . .	147
Reynolds, Doris L.: Some New Occurences of Authigenic Potash Feldspar (L) . . . . .	774
Riba, J. Marcet: El Método Natural en Petrografia. Rocas eruptivas intrusivas de la serie calco-alkalina (L) . . . . .	5
— Estudio petrográfico de la zona metamórfica de los alrededores de Toledo (L) . . . . .	533
Rich, J. L.: Circular Structural Depression in Central Kansas . . . . .	712
Richardz, St.: Metamorphism of the Lake Superior Iron Formations	605
Richter, Konrad: Studien über fossile Gletscherstruktur . . . . .	719
Richter, M.: Ein neues Vorkommen von Diabasen im Karwendel	14
Richter, Rud.: „Sandkorallen“-Riffe in der Nordsee (L) . . . . .	777
Riece, T. D.: Should the various categories in a scheme of soil classification be based on soil characteristics or on the forces and conditions which have produced them (L) . . . . .	758
Riedel, Wolfgang: Das Aufquellen geologischer Schmelzmassen als plastischer Formveränderungsvorgang. Ein Beitrag zur Mechanik des Parallelgefüges (L) . . . . .	77
— Zur Mechanik geologischer Brucherscheinungen. Ein Beitrag zum Problem der „Fiederspalten“ (L) . . . . .	295
Rigotard, Laurent: Rôle du soufre dans la formation de la terre végétale . . . . .	759
Rinne, F.: Ueber die Auslösung tektonischer Spannungen in Ton- schiefer und Diabas an Hand von Beobachtungen bei Goslar am Harz . . . . .	74
Roberts, D. C. and St. Sweeney: Spacing of wells in Long Beach Field (L) . . . . .	224
Rocha, J. F. da: Carvão de pedra no Sul do Estado de Santa Catharina	167
— Carvão nac.; Estud. e experimentos efectuados na Europa no periodo de 1920—22 . . . . .	167
Röhrrer, F.: Das Untergrundwasser, seine Bildungsweise und seine Erscheinungsformen . . . . .	690
— Ueber ein neues, im Buntsandstein erbohrtes Mineralwasser und die Bedeutung solcher Wässer für die Paläogeographie des Buntsandsteins . . . . .	708
— Zur Hydrogeologie der Quellen von Bad Dürkheim . . . . .	706
Röpke, Walter: Der Faktor Toteis in der Oberflächenbildung Mecklenburgs beim Rückzuge der letzten Vereisung (L) . . . . .	723
Rohleder, Herbert P. T.: A system of Joints on the Surface of Basalt Columns at the Giants Causeway . . . . .	78
— Das Marmorvorkommen von Connemara, Freistaat Irland. . . . .	35
— Der tertiäre Vulkanismus in Nord-Irland . . . . .	658
— Ergebnisse geologisch-petrographischer Untersuchungen im Granitmassiv des Mourne-Gebirges (Grafschaft Down, Nordirland) (L)	14
— Further Evidence for the Contemporaneous Age of the Mourne Granite and the Rhyolithes of Tardree in Northern Ireland (L)	528
— Vergriesungserscheinungen an der nordirischen Küste (L) . . . . .	351
Rokkaku, H.: Geology of the northern part of the Opira-Shibegawa coal field in the province of Teshio. . . . .	171
Roothaan, H. Ph.: Geologische en petrografische schets der Talaud- en Nanoesa-eilanden. (Geologische und petrographische Skizze der Talaud- und Nanoesa-Inseln) (L) . . . . .	586



	Seite
Roothaan, H. Ph.: Notices omtrent eenige jonge Nederlandsch-Indische eruptiefgesteenten. (Notizen über einige junge niederländisch-indische Eruptivgesteine) . . . . .	586
Rosano w: Soll man in der russischen Ebene nach Erdöl suchen und wo besteht Aussicht, solches zu finden? . . . . .	218
Roslonski, R.: Ueber den Stand der Grundwasserforschung in Polen . . . . .	699
Ross, C. S.: Preparation of Sedimentary Materials for Study (L) . . . . .	443
— Sedimentary analcite (L) . . . . .	374
Roß, Clarence S. and William F. Fos hag: Anauxite, a mineral species, based on material from Bilin, Czechoslovakia (L) . . . . .	439
Roß, Clyde P.: Early pleistocene glaciation in Idaho . . . . .	726
— Is chromite always a magmatic segregation product? . . . . .	104
Rost, Martin: Geologie des kristallinen Grundgebirges am Erzgebirgsrand zwischen Keilberg und Klösterle. . . . .	87
Roth, K.: Die Verbreitung der transdanubischen Bauxitlagerstätten und die Schürfung auf dieselben . . . . .	145
Rothé, E. and A. Héé: Sur les propriétés magnétiques des zones stratigraphiques de la vallée du Rhin . . . . .	332
Rudolph, W. E.: The Rio Loa of northern Chile . . . . .	382
Ruedemann, R.: Alternating Oscillatory Movement in the Chazy and Levis Troughs of the Appalachian Geosyncline . . . . .	636
Rüger, L.: Die sog. trockene Abtragung (subaerische Massenbewegungen) (L) . . . . .	369
— Die Tätigkeit des fließenden Wassers (L) . . . . .	390
— Die Tätigkeit des Meeres und der Brandungswelle (L) . . . . .	437
— Einige Bemerkungen zur Darstellung tektonischer Elemente, insbesondere von Klüften und Harnischen . . . . .	88
— Ueber Blastomylonite im Grundgebirge des Odenwaldes . . . . .	90
Russell Lloyd, E.: Capitan limestone and associated formations of New Mexico and Texas . . . . .	464
Russell, J. H.: Heavy penalties of crooked hole (L) . . . . .	175
Russell, W. L.: Is geologic distillation of petroleum possible? . . . . .	199
Rutten, L.: Geologische Nomenklatur. Mitarbeiter: W. E. BOERMAN, G. VAN DIJK, B. G. ESCHER, H. F. GRONDIJS, J. A. GRUTTERINK, G. A. F. MOLENGRAAFF, P. KRUIZINGA, K. OESTREICH, L. RUTTEN, C. SCHOUDEN (L) . . . . .	273
Rzehulka, A.: Die Tone und ihre Verwendung im Hüttenbetrieb (L) . . . . .	814
Sachanen, A. und R. Wirablanz: Die chemische Zusammensetzung der Erdölle der U.d.S.S.R. . . . .	201
Salomon, Wilhelm: Arktische Bodenformen in den Alpen . . . . .	420
— Epeirophorese. I. Teil. . . . .	627
— Gletscherbeobachtungen am Vadret Lischanna (Unterengadin) . . . . .	417
Sampson, E.: May chromite crystallize late? . . . . .	104
Sandberg, C. G. S.: Recent Volcanic Eruptions in the Central Alpine, so-called „Hercynian“ Zone . . . . .	42
Sander, B.: Bericht über Ergebnisse von im mineralogisch-petrographischen Institut in Innsbruck ausgeführten Gefügeanalysen . . . . .	91
— Ueber Tektonite mit Gürtelgefüge . . . . .	75
— mit Beiträgen von O. Schmidegg und D. Korn: Ueber einige Glimmergefüge . . . . .	76
Sargent, H. C.: Further Studies in Chert I. . . . .	459
Sargent, R. H. and F. H. Moffit: Aerial photographic Surveys in southeastern Alaska (L) . . . . .	266
Saunders, W. L.: Compressed Air Data . . . . .	178
Sauramo, M.: Der Anteil der eustatischen Komponente an den Niveaushiftungen in Fennoskandia (L) . . . . .	293

	Seite
Savage, T. E. and J. R. Griffin: Significance of crystalline boulders in pennsylvanian limestone in Illinois. . . . .	436
Savul, M.: Studiu asupra sisturilor cristaline şia zăcămintelor de manganез din regiunea Şarul Dornei, jud. Câmpulung . . . . .	566
Sawdon, W. A.: Air lift adaptable to salt domes by use of automatic lift valves . . . . .	178
— Automatic pressure release for intermittent flow increased production in most cases (L) . . . . .	183
Sayles, R. W.: New Interpretation of the Permo-Carboniferous Varves at Squantum . . . . .	436
Schachtschabel, P.: Ueber Dehydratisierung und Rehydratisierung des Kaolins (L) . . . . .	727
Schaffer, Franz X.: Polynesian ist kein Orogen (L) . . . . .	306
Scharf, W.: Die geologischen Grundlagen des Küstenschutzes an der deutschen Nordseeküste (L) . . . . .	292
Schaufelberger, P.: Geologische und hydrologische Verhältnisse zwischen der Donauversickerung und der Aachquelle . . . . .	696
Schellenberg, G.: Die Pollenanalyse, ein Hilfsmittel zum Nachweis der Klimaverhältnisse der jüngsten Vorzeit und des Alters der Humusablagerungen (L) . . . . .	366
Schensky, Max: Die Braunkohlenablagerungen südlich des ehemaligen Salzigen Sees bei Oberröblingen. . . . .	161
Schiener, A.: Neue Beobachtungen im Gebiet des Waschbergzuges . . . . .	57
Schiller, W.: Ueberschiebungen in der Tandil-Gebirgsgruppe der argentinischen Provinz Buenos Aires . . . . .	306
Schmöle, Rudolf: Der Baumberger Sandstein und seine Verwitterung. . . . .	806
Schnabel, E.: Ueber den geologischen Bau des Karpathengebietes in der Gegend von Napajedl (C.S.R.) . . . . .	212
Schneider, G.: Die Gewinnung von Erdöl, mit besonderer Berücksichtigung der bergmännischen Gewinnung (L) . . . . .	173
Schneiderhöhn, H.: Das Otavi-Bergland und seine Erzlagerstätten. Ein Führer für die Exkursionen anlässlich des XV. Internationalen Geologen-Kongresses 1929 . . . . .	135
— Die Erzlagerstätten am Schauinsland im südwestlichen Schwarzwald. . . . .	117
Schoch, P. M.: Der russische Erdölbergbau auf Nordsachalin . . . . .	219
Schöndorf, Fr.: Die Erdölspringer von Nienhagen . . . . .	207
Schönmann, G.: Ueber den mongolisch-amurischen Faltungsgürtel (L) . . . . .	298
Schoklitsch, A.: Die Geschiebebewegung in Flüssen und an Stauwerken (L) . . . . .	392
Scholtz, Hermann: Tektonische Untersuchungen an Westerwälder Vulkanen. . . . .	79
— Zum Bewegungsmechanismus der Münchberger Gneissmasse (L) . . . . .	298
Schostakowitsch, W. B.: Der ewig gefrorene Boden Sibiriens	430
Schottler, W.: Ueber einige in zersetzten Basalten des Vogelsbergs auftretende Neubildungen. (Vorläufige Mitteilung) . . . . .	518
Schreiter, R.: Besuch der Erdölfelder bei Baku im August 1928	218
Schröder, Eckart: Ueber Aufbau und Alter des Blauenmassivs im südlichen Schwarzwald . . . . .	316
— Ueber die Extrusion der Quarzporphyre vom Auerberg im Unterharz (L) . . . . .	514
Schroeter, C.: Das Pflanzenleben der Alpen. Eine Schilderung der Hochgebirgsflora . . . . .	733
Schubert, J.: Das Klima der Bodenoberfläche und der unteren Luftschicht in Mitteleuropa (L) . . . . .	366

	Seite
Schuchert, Ch.: STILLE's analysis and synthesis of the mountain structure of the earth (L) . . . . .	295
— The Hypothesis of Continental Displacement . . . . .	274
— Unconformities as seen in disconformities and diastems . . . . .	450
Schuch, F.: Entstehung, Einteilung der Böden (L) . . . . .	759
Schuck, Fritz: Tektonisch-petrologische Studien am Mittweidaer Granitkörper . . . . .	85
Schürmann, H. M. E.: Ofioliten en abyssieten in Noord-Sumatra. (Ophiolite and Abyssite in Nordsumatra) (L) . . . . .	586
— Ueber die chemische Zusammensetzung einiger Alkaligesteine aus der östlichen Arabischen Wüste Aegyptens (L) . . . . .	597
Schütte, H.: Die Senkung der deutschen Nordseeküste und ihr Beweis durch das Oberahnesche Feld im Jadebusen . . . . .	291
— Ueber Sedimentbildung an der Küste des norddeutschen Wattenmeeres . . . . .	456
Schütte, K.: Karte der Schwereabweichungen von Süddeutschland . . . . .	643
Schultz, Arv.: Morphologische Beobachtungen in der östlichen Kara-kum-Wüste (Turkestan) 1927 (L) . . . . .	384
Schulz, W.: Das Erdölinstitut in Straßburg (L) . . . . .	207
Schumacher, F. und O. Eisentraut: Das Zinkblendevorkommen der Grube Luise bei Georgenthal-Untersachsenberg i. V. . . . .	126
Schumann, H.: Beiträge zur Frage der sogenannten „hohlen Geschiebe“ . . . . .	731
— Ueber moldanubische Paraschiefer aus dem niederösterreichischen Waldviertel zwischen Gföhler Gneis und Bittescher Gneis . . . . .	544
Schwackhöfer, F.: Die Kohlen Oesterreichs (L) . . . . .	164
Schwarz, Albert: Ein Verfahren zum Härten nicht verfestigter Sedimente . . . . .	444
— Untersuchungen über die Bildungsweise von sedimentären, festen Kieselsäuregesteinen nicht klastischen Ursprungs . . . . .	457
Schwarz, R.: Nomenklaturen für Erdöl und Mineralölprodukte in verschiedenen Ländern (L) . . . . .	194
Schweydar, W.: Die topographische Korrektur bei Schweremessungen mittels einer Torsionswaage (L) . . . . .	320
Schwinner, R.: Der Säuerling von Perbersdorf (Mittelsteiermark) (L) . . . . .	410
— Geophysikalische Zusammenhänge zwischen Ostalpen und Böhmischer Masse . . . . .	332
Scott, W. B.: Geological Climates . . . . .	681
Scott, W. W.: Completing wells under difficult conditions . . . . .	178
Scrivenor, J. B.: Radiolaria bearing rocks in the Malay Peninsula (L) . . . . .	782
— Laterite . . . . .	737
Scupin, Hans: Bodenbelastung und Grundwasserstand . . . . .	399
— Der Ursprung der altpaläozoischen Solquellen im Ostbaltikum . . . . .	152
Seblatnigg, H. und A. Graf: Zur Messung der horizontalen Störungskomponente des erdmagnetischen Feldes . . . . .	645
Seebach, Hanne: Die Dolinen der Fränkischen Schweiz (L) . . . . .	711
Seidnitz, W. v.: Der Einbruch der Aegäis und die Bruchbildungen im levantinischen Gebiet (L) . . . . .	340
— Die Vergitterung tektonischer Achsen im Bauplan Thüringens (L) . . . . .	297
— Tyrrhenis und Adriatis (L) . . . . .	636
— Variszische Wurzelzonen im Böhmer Wald und in den Vogesen (L) . . . . .	298
Seifert: Studien an Höhleneis . . . . .	408
Sellards, E. H. and W. Williams: Worlds deepest well . . . . .	319
Selesnew, A.: Ueberblick über deutsche Patente zur elektrischen Bodenforschung . . . . .	336



	Seite
Senstius, M. W.: Studies of Weathering and Soil-Formation in the Tropics. . . . .	727
Sermiagin, V.: Materials to the petrography of the sedimentary rocks of North Caucasus. . . . .	781
Sewell, R. B. S.: A study of recent changes of sea-level based largely on a study of coral-growths in Indian and Pacific seas (L)	294
Sezawa, Katsutada and Genrukuro Nishimura: Elastic Equilibrium of a Spherical Body under Surface Transactions of a certain Zonal and Azimuthal Distribution (L) . . . . .	339
Shalem, N.: Il recente terremoto in Palestina (Iuglio 1927) (L)	341
— Sopra alcuni basalti della Palestina (L) . . . . .	577
Shand, S. J.: The Classification of a Glassy Rock: The Pitchstone of Wormit, Fifeshire . . . . .	472
Shannon, E. V.: Sericite-lazulite pseudomorphs after orthoclase from Bolivia (L) . . . . .	727
Shaub, B. M.: A unique feldspar deposit near de Kalb Junction, New York . . . . .	105
Shead, A. C.: Chemical Analyses of Oklahoma Raw Materials . . . . .	692
Shepherd, E. P.: Origin of Continental abyssal slopes . . . . .	280
— Significance of submerged deltas in the interpretation of the continental shelves . . . . .	438
Sidwell, Carroll V.: Pressure control is vital in Mexico . . . . .	244
Silberstein, G.: Chemisch-geologische Wellen (L) . . . . .	449
Simon, L.: Der jungglaziale Lechbrucker See und die Geschichte seines Verschwindens (L) . . . . .	423
— Der Rückzug des würmeiszeitlichen Allgäuvorlandgletschers (I) . . . . .	423
Simpson, Edward S.: Contributions to the mineralogy of Western Australia (L) . . . . .	69
Singewald, J. T.: Discussion . . . . .	104
Singewald, J. T., jr.: The problem of supergene Cassiterite in Bolivian tin veins . . . . .	145
Singewald, J. T., jr. and Ch. Milton: Authigenic Feldspar in limestone at Glens Falls, New York . . . . .	444
— Greisen and associated mineralization at Silver Mine, Missouri . . . . .	109
Skariatin, R.: Calculation and Comparison of the Homogeneity of Fields of CHLUMBERGER, LUNDBERG and PETROWSKY (L) . . . . .	336
Slaucitais, L.: Magnetic Work on the Latvian Coast and the Baltic Sea, 1927—1928 (L) . . . . .	329
Slavík, Fr.: Metasomatische Eisen- und Manganerze aus den Kreidesedimenten bei Chvaltice . . . . .	134
Slessareff, P.: Einige besondere Fälle, beobachtet bei den vom geologischen Komitee im Kama-Kalibezirk unternommenen Bohrungen (L) . . . . .	152
Smit Sibinga, G. L.: De geologische ligging der boven-triadische olie en asfaltafzettingen in de Molukken. (Die geologische Stellung der obertriadischen Oel- und Asphaltlager in den Molukken) . . . . .	249
— WEGENER's theorie en het ontstaan van den oostelijken O. I. Archipel. (WEGENER's Theorie und die Entstehung des östlichen ostindischen Archipels) (L) . . . . .	273
Smith, P. S.: Mineral Industry of Alaska in 1927 and administrative report (L) . . . . .	266
— Surveys in northwestern Alaska in 1926 (L) . . . . .	266
Smith, W. C. and L. J. Chubb: The petrography of the Austral or Tubuai Islands (Southern Pacific) with chemical analysis by E. D. MOUNTAIN (L) . . . . .	621
Smitheringale, W. V.: Mineral association at the George gold-copper Mine, Stewart, B. C. . . . .	113

	Seite
Smithson, F.: Geological Studies in the Dublin District. I. The Heavy Minerals of the Granite and the Contiguous Rocks in the Ballycorus District . . . . .	28
— Geological Studies in the Dublin District. II. The Problem of Carrickgollogan . . . . .	31
Snow, D. R.: Cause and effect of crooked holes (L) . . . . .	176
Sobolew, M. N. und W. N. Tschernow: Anwendung des Wolchonskoits als ein Färbemittel . . . . .	814
Sommer: Die Dachschiefervorkommen in der Eifel . . . . .	811
Southern Howard County to be active . . . . .	223
Spinney, W. A.: An interesting Kansas cross section . . . . .	236
Sparagen, L.: Arkansas magnetometer study results . . . . .	236
— Magnetometer results in Mississippi . . . . .	338
— Magnetometer survey of Louisiana . . . . .	191
— Magnetometer study of Mississippi . . . . .	338
— Magnetometer study of state of Texas . . . . .	191
— Mississippi magnetometer reading . . . . .	338
Srbik, Robert R. v.: Bergbau in Tirol und Vorarlberg in Vergangenheit und Gegenwart . . . . .	253
Stach, E.: Kohlenpetrographie und Kohlenveredelung . . . . .	156
Stahl, A.: Gangstörungen und Gangzusammenhänge im westlichen Oberharz . . . . .	307
— Geländeaufnahmen als Hilfsmittel zur Bestimmung von Oellagern und Bohrpunkten (L) . . . . .	205
— Ozokerit, seine Stellung zum Erdöl und seine Vorkommen im Kaukasus und anderweitig . . . . .	195
— Zur Frage der bergmännischen Gewinnung von Erdöl . . . . .	217
Stang, F.: Die Entwicklung des Bergbaus im Fernen Osten . . . . .	262
Stappenbeck, R.: Geologie des Chicama-Tales in Nordperu und seiner Anthrazitlagerstätten . . . . .	166
Stark, J. T.: Agawa iron formation of northeastern Minnesota . . . . .	148
Stark, M.: Das Empordringen vulkanischer Massen. Mit vornehmlicher Bezugnahme auf die Euganeen . . . . .	655
Staub, A. W.: Die Flußspatlagerstätten des Thüringer Waldes . . . . .	10
Staub, R.: Südalpen und Dinariden (L) . . . . .	298
Stearn, N. H.: Hotchkiss superdip, a new Magnetometer (L) . . . . .	327
Stearns, H. T.: Craters of the Moon National Monument, Idaho — The „Craters of the Moon“ in Idaho . . . . .	662
	661
Stebutt, A.: Bodenkarte Juglaviens (L) . . . . .	763
Steggewentz: Beiträge zur Kenntnis des Einflusses der Gezeitenbewegung auf die Steighöhe gespannten Grundwassers . . . . .	395
Stehn, Ch. E.: De jongste uitbarsting van den Krakatau. (Der jüngste Ausbruch des Krakatau) (L) . . . . .	353
— Kawah Kamodjang . . . . .	356
— Keloet . . . . .	357
— Tangkoeban Prahoe . . . . .	356
— The geology and volcanism of the Krakatau group (L) . . . . .	358
— Volcanological work in the Dutch East Indies during 1923—1926 (L) . . . . .	353
Steiger, H. von: Petrografische beschrijving van eenige gesteenten uit de afdelingen Pannkadjene en Tanette van het Gouvernement Celebes en Onderhoorigheden. (Petrographische Beschreibung einiger Gesteine aus den Abteilungen Pangkadjene und Tanette des Gouvernements Celebes und der diesem unterstellten Gebiete) (L) . . . . .	586
Steinn, Emilsson: Beiträge zur Geologie Islands. Vorläufige Mitteilung (L) . . . . .	621

	Seite
Stejskal, J.: Ueber Rutschgebiete im Bereiche der Pollauer Berge (Pavlovské vrchy) . . . . .	792
Stenz, Edward: Der große Staubfall vom 26. bis 29. April 1928 in Südosteuropa . . . . .	386
Štěpánek, Jos.: Pyroxenquarzdiorit von Chleby in der Umgebung von Benešov . . . . .	557
Steuer, A.: Ueber die petrographische und technische Prüfung der im Straßenbau verwendeten Gesteine (L) . . . . .	794
Stewart, Duncan: Analyses and derivations of two beach sands from the Hoisteinborg District of Greenland. . . . .	622
Stille, H.: Bemerkungen zu G. SCHÖNMANN „Ueber den Mongolisch-amurischen Faltungsgürtel“ (L) . . . . .	298
— Das Einsetzen der „saxonischen“ Richtungen im westdeutschen Jungpaläozoicum . . . . .	633
— Der Stammbaum der Gebirge und Vorländer . . . . .	634
— Die subvariscische Vortiefe. . . . .	635
— Tektonische Formen in Mitteleuropa und Mittelasien (L) . . . . .	639
— Ueber europäisch-zentralasiatische Gebirgszusammenhänge (L) . . . . .	639
Stiny: Die Untersuchung von natürlichen Gesteinen für Bauzwecke und die Klüftigkeit der Felsarten (L) . . . . .	794
— Einige Folgeerscheinungen der Spiegelabsenkungen von Speicherbecken; Wege zu ihrer Voraussicht und Abschätzung. . . . .	786
— Faltungen und Ueberschiebungen durch Gleitung (Rutschung größten Maßstabes) (L) . . . . .	295
— Ingenieurgeologisches aus Sardinien . . . . .	802
— Richtungsbedingtheit der Gesteinsfestigkeit und der Bodeneigenschaften . . . . .	801
— Technische Gesteinskunde für Bauingenieure, Kulturtechniker, Land- und Forstwirte, sowie für Steinbruchbesitzer und Steinbruchtechniker. (2. Aufl. 560 S. 422 Abb. 1 mehrfarb. Taf. — Beiheft [23 S]: Kurze Anleitung zum Bestimmen der technisch wichtigsten gesteinsbildenden Mineralien und Felsarten. Wien, Jul. Springer. 1909. Preis geb. RM. 45.—) (L) . . . . .	794
— Ueber Stoßstauchung des Baugrundes. . . . .	788
— Versuch einer Einteilung der Böden im technischen Sinne . . . . .	788
— Zerrüttungstreifen und Steinbruchbetrieb . . . . .	787
— Zum Begriff „Festigkeit“ bei natürlichen Gesteinen . . . . .	802
— Zur Färbung von Zerrüttungstreifen . . . . .	803
— Zur Frage der Entwässerung tonreicher Schichten . . . . .	789
— Zur Frage der „Tiefenstufen“ bei der Gesteinsumprägung . . . . .	8
— Zur Schubfestigkeit der Böden . . . . .	787
Stoekman, L. P.: California deep sands yield richly (L) . . . . .	239
— Largest field found in California . . . . .	241
— New shallow oil field in California . . . . .	241
— Partial state control in California. . . . .	240
— Union storing oil in depleted sands . . . . .	200
Stolberg: Aktive Wasserhöhlen im Harz. Hermannshöhle und große Trogstehnhöhle . . . . .	406
Stoller, J.: Geologische Bemerkungen über die bis zum Jahre 1920 erfolgten Bohraufschlüsse im Erdölgebiete Horst-Wipshausen, Kreis Peine in Hannover (L) . . . . .	206
Stone, R. W.: Pennsylvania Caves . . . . .	712
Storz, M.: Gas-Flüssigkeitseinschlüsse im Dolomit und deren Uebernahme bei der Verrieselung durch Quarz (L) . . . . .	439
Streckeisen, A.: Geologie und Petrographie der Flüelagruppe (Graubünden). . . . .	39
— Geologische und petrographische Probleme in den Südkarpathen	572



	Seite
Stremme, H.: Das Verhalten des Sulfatschwefels in einigen Bodentypen . . . . .	759
— Die Bleicherdevaldböden oder podsolige Böden . . . . .	732
Stuart, A.: Micropetrology of S. Wales Anthracite (L) . . . . .	170
— Petrology of Dune Sands, S. Wales (L) . . . . .	444
Stuckey, Jasper L.: The mineralogy of some deposits of kaolinized volcanic ash from the Slate Belt of North Carolina . . . . .	747
Study limestones and dolomites as petroleum reservoir rock . . . . .	197
Sueß, F. E.: Les terrains cristallins des horsts hercyniens et leur signification pour la tectonique générale. . . . .	310
Suffel, G. G.: Dolomites of Western Oklahoma (L) . . . . .	782
Sulphur deposit is found in Lake Peigneur test . . . . .	237
Sumgin, M.: Die ewige Gefrornis des Bodens im Gebiete der USSR. (L) . . . . .	430
— Ueber die ewige Gefrornis des Bodens . . . . .	430
Sundberg, K., Lundberg, H. and F. Ecklund: Electrical prospecting in Sveden (L) . . . . .	330
Sundius, N.: On the spilitic rocks. . . . .	472
Supan, A.: Grundzüge der vergleichenden Erdkunde (L) . . . . .	625
Survey of gravities by states of domestic crude oils. . . . .	223
Suðmilch, C. A. and Wm. Clark: The Geology of Port Stephens, Part. I. Physiography and General Geology, Part II. Petrography, by C. A. SUÐMILCH, with Analyses by W. A. GREIG . . . . .	67
Suter, H.: Petrographische Notizen über Nordwestperu . . . . .	64
Swartzlow, C.: Oolitic Rock of Secondary Origin . . . . .	768
Sweeting, G. S.: The Petrology of the Malvern Quartzite, Hollybush Sandstone and Maybill Sandstone (L) . . . . .	463
Swinnerton, A. C.: Changes of baselevel indicated bei caves in Kentucky and Bermuda . . . . .	293
— The Caves of Bermuda . . . . .	409
Szádeczky-Kardos, E.: Beiträge zur Theorie der Kohlenbildung. Die Kohlenbildungsverhältnisse im siebenbürgischen Paläogen . . . . .	160
Szentpétery, S. v.: Eruptivserie im Savostale bei Lillafüred . . . . .	564
— Gesteinssystem aus der Umgebung von Lillafüred . . . . .	566
Szentpétery, S. v. und K. Emszt: Petrochemische Daten aus der Gegend von Szarvaskö. . . . .	563
Taber, St.: Chrysotile veins of southern Quebec . . . . .	442
— Experiments in soil freezing . . . . .	434
— Mechanics of Frost Heaving . . . . .	721
Takahasi, Ryutarō: A Graphical Determination of the Position of the Hypocentre of an Earthquake and the Velocity of the Propagation of Seismic Waves (L) . . . . .	339
— Tilting Motion of the Earth caused by Tidal Loading (L) . . . . .	339
Takahasthi, J. and T. Yagi: Peculiar mud-grains and their relation to the origin of glauconite . . . . .	445
Talmage, S. B.: The significance of „unsupported“ inclusions . . . . .	99
Tamm, O.: Experimentelle Studien über die Verwitterung und Tonbildung von Feldspäten (L) . . . . .	727
Tams, E.: Die Konstitution der Erdrinde . . . . .	642
Tan, H. C.: Geology of the Pa Tao Hao coal field in the Hei Shan district, W. Fengtien (L) . . . . .	171
— Geology of the Pei Piao Coal Field, Chao Yang district, Jekol (Summary) (L) . . . . .	171
— On the Existence of the cretaceous Coal Series in North China (L) . . . . .	171
Targa, C. Ferruccio: Mineiros e minas do Rio Grande do Sul, jazidas de estanho de Camaquan . . . . .	110

	Seite
Tarr, W. A.: The origin of the Zinc deposits at Franklin and Sterling Hill, New Jersey (L) . . . . .	131
Taylor, F. B.: Bearing of distribution of earthquakes and volcanoes on their origin . . . . .	282
— New Facts on the Niagara Gorge . . . . .	694
— North America and Asia a comparison in tertiary diastrophism . . . . .	283
Teall, J. J. H.: Petrological Notes on the Houston Marl (L) . . . . .	463
Teichert, C.: Ueber die Möglichkeit der syngenetischen Entstehung einiger Metallsulfide in Kalken durch die konzentrierende Tätigkeit der Organismen (L) . . . . .	449
Teilhard de Chardin, P.: La nature et la succession des éruptions postpaléozoïques en Chine septentrionale . . . . .	593
Teleky, L.: Die Gefahren des Thalliums (L) . . . . .	466
Terada Torahiko und Naomi Miyabe: Experimental Investigations of the Deformation of Sand Mass by Lateral Pressure . . . . .	296
Termier, Henri: Sur les Ankaratrites du Maroc Central . . . . .	595
Termier, P.: Argiles a leverrière dans le terrain houiller d'Epinaç. (L) . . . . .	463
— Sur la structure des Alpes orientales: rapports des Dinarides et des Alpes (L) . . . . .	636
Termier, Pierre und Eugène Maury: Nouvelles observations géologiques dans la Corse orientale: phénomènes d'écrasements et de laminage; Mylonites et brèches tectoniques . . . . .	533
Terzaghi, K. v.: Principles of final soil classification (L) . . . . .	758
The Loss of the Carnegie and the Death of Captain Ault . . . . .	319
Thiem, G.: Die Aufsuchung artesischer Grundwässer im Oybingebiet für die Wasserversorgung der Stadt Zittau . . . . .	400
Thom, W. T., jr.: Nature of the orogenic process . . . . .	295
— Synclinal oil occurrence and regional uplift . . . . .	205
Thompson, W. O.: Petrologic Study of Sandstone at the Nevada State Prison . . . . .	783
Thomson, S. A. and O. H. Eichelberger: Vinton salt dome, Calcasieu Parish, Louisiana . . . . .	238
Thurner, And.: Versuch einer Gliederung der kristallinen Paraschiefer an der Hand der kristallinen Gesteine von Innerkrems bei Gmünd in Kärnten (L) . . . . .	476
Thust, W.: Gesteinsnamen . . . . .	794
Tilley, C. E.: A Monticellite-Nepheline Basalt from Tasmania: a correction to mineral data . . . . .	67
— On Iarnite (calcium orthosilicate, a new mineral) and its associated minerals from the limestone contactzone of Scawt Hill, Co. Antrim (L) . . . . .	9
— On Melilite as a Product of Interaction of Limestone and Basaltic Liquids . . . . .	474
— The Facies Classification of Metamorphic Rocks . . . . .	8
Ting, V. K.: The Orogenic Movement in China (L) . . . . .	639
Toit, A. L. du: A geological comparison of South America with South Africa. Mit einem Anhang: F. R. COWPER REED: Upper carboniferous fossils from Argentina . . . . .	276
— The volcanic belt of the Lebombo — a region of tension . . . . .	317
Tokarski, J.: Beiträge zur Petrographie des Stucz- und Horyńc-Gebietes in Polen . . . . .	479
Tomita, P.: The geological history of the Dôgo Island, Okinawa . . . . .	594
Tomitch, J.: Sur une série de laves de la Serbie méridionale . . . . .	572
Tomkeieff, S. I.: A contribution to the petrology of the Whin Sill . . . . .	20



	Seite
Tornquist, A.: Das System der Blei-Zinkerz-Pyritvererzung im Grazer Gebirge . . . . .	127
— Die geologischen Probleme der Blei-Zinkvererzung in den Ostalpen . . . . .	126
— Die perimagnetische Blei-Kupfer-Silber-Zinkerz-Lagerstätte vom Offberg im Remschnigg . . . . .	129
— Die Vererzungsperioden in den Ostalpen . . . . .	253
Torrance, W.: Desintegration of rock and soil-forming minerals (L) . . . . .	727
Trask, P. D.: Limestones as a source of oil . . . . .	188
— The potential value of several recent american costal and inland deposits as future source beds of Petroleum . . . . .	188
Trask, P. D. and C. C. Wu: Free Sulfur in Recent Sediments . . . . .	768
Traub, G.: Die Wasserkraftanlage am Shannon in Irland . . . . .	408
Trax, D. L. and T. A. Hall: Repressuring in Mid Continent Field . . . . .	236
Trinkler, E.: Die Lobwüste und das Lobnor-Problem auf Grund der neuesten Forschungen (L) . . . . .	384
Trischka, C. O. N. Rove, D. M. Barringer: Boxwork siderite . . . . .	145
Tröger, E.: Alkaligesteine der Serra do Salitre im westlichen Minas Geraes, Brasilien (L) . . . . .	66
Tschirwinsky, Peter: Geologische und hydrogeologische Uebersicht der Becken der Flüsse Terek und Kuma . . . . .	387
— Hornblende-Banatit vom Flusse Tatarka, Gouv. Jenissey in Sibirien (L) . . . . .	512
— Petrographische Untersuchung eines Dolerits aus Achatala in Transkaukasien (L) . . . . .	511
— Quantitative mineralogische und chemische Zusammensetzung des Nephelinit von Löbauer Berg, Sachsen (L) . . . . .	514
— Quarzdiorit von Kedabek, Gouv. Elisawetpol im Kaukasus (L) . . . . .	499
Tschirwinsky, Peter und W. Tscherkas: Warum ist es so schwer, an der Erdoberfläche kosmischen Staub nachzuweisen? (L) . . . . .	364
Tsuboi, Chuji: An Interpretation of the Results of the Repeated Precise Levellings in the Tango-District after the Tango Earthquake in 1927 . . . . .	294
Tsuboi, Seitarô: The optical analysis of Volcanic Rocks as a means of studying their genetical relationship . . . . .	7
Tsuya, H.: On the geological structure of the Oku-Tango Peninsula . . . . .	594
Tučan, Fran: Eine Andesiteruption im herzegowinischen Karste . . . . .	57
Turner, H. W.: Review of the radioactive minerals of Madagascar (L) . . . . .	9
Twenhofel, W. H.: Inquiry into the Magnitude of the Deep Sea Deposits . . . . .	438
— Magnitude of the sediments beneath the deep sea . . . . .	772
Tyrrell, G. W.: On some dolerite-sills containing analcite-syenite in Central Ayrshire . . . . .	529
Ueber die Anwendbarkeit geophysikalischer Methoden (L) . . . . .	191
Ulrich, Fr.: Ueber einige Eruptivgesteine des Ordovicium und Silur im Barrandien . . . . .	557
— Ueber granophyrische Verwachsungen von Quarz und Feldspat in saueren Eruptivgesteinen, besonders von der Euler Zone und von Island . . . . .	553
Umbgrove, J. H. F.: De koraalriffen der Duizend-eilanden (Java-zee). (Die Korallenriffe der Tausend Inseln, Java-See) (L) . . . . .	782
— The coral reefs in the bay of Batavia. I. Geology (L) . . . . .	640
Uren, L. C., F. F. Davis, W. L. Jarvis: Advantage of large diameter wells in exploitation of oil fields . . . . .	173
Uren, L. C., P. P. Gregory, R. A. Hancock, G. V. Feskov: Flow resistance of gas-oil mixture . . . . .	196
Use of high explosives (L) . . . . .	176



	Seite
Uyemura, K.: Geology of the Haporo coal field in the province of Teshio. . . . .	171
Uzonyi, R.: Die petrographischen Verhältnisse des südlichen Teiles von Királyháza im Komitat Hont . . . . .	566
Vageler, P. W. E.: De Analysemethoden van het Agrogeologisch Laboratorium van het Proefstation voor Thee, te Buitenzorg . . . . .	758
— Kritische Betrachtungen zur Frage der „fossilen“ Böden und der tropischen Verwitterung . . . . .	748
Vajna, Fr. v. Pavai: Ueber die jüngsten tektonischen Bewegungen der Erdrinde . . . . .	293
Valls, Marcel: Nouvelle classification des eaux minérales d'après leur constitution et leurs propriétés physico-chimiques . . . . .	704
Vanderwilt, J. W.: Improvements in the polishing of ores (L) . . . . .	465
Vendl, A.: Das Grundwasser im Rutschgelände von Óbuda . . . . .	698
— Rutschungen in lössbedeckten Tongebieten im III. Bezirk von Budapest . . . . .	789
— Ueber die Sande in der Umgebung von Konia. . . . .	577
Vendl, Nikolaus (Miklós): Die Geologie der Umgebung von Sopron. I. Teil. Die kristallinen Schiefer . . . . .	561
Vernadskij, V. (W. Vernadsky): Sur les éléments de terres rares dans les roches massives. . . . .	365
Versluys, J.: An investigation of the problem of the estimation of gas reserves . . . . .	187
Vielmelter, U.: Untersuchung von Eruptivgesteinen und ihrer Kontaktgesteine aus der Kordillere von Bolivia und Peru (L) . . . . .	65
Vilensky, D.: Concerning the principles of a genetic soil classification (L) . . . . .	758
— Principal features of distribution of soils and vegetation in the United States. (Die Verteilung der Böden und der Vegetation in den Vereingten Staaten) . . . . .	767
Vivar, G.: El petroleo en Aragon, Guadalupe Hidalgo, D. F. . . . .	242
Vogt, Thorolf: Brevariasjoner ved Raudefjorden (Redbay) på Spitsbergen. (Gletschervariationen am Redbay, Spitzbergen) . . . . .	428
— Den norske fjellkjedes revolusjons-historie. (Revolutionsgeschichte der norwegischen Gebirgskette). . . . .	302
Voigt, E.: Die Ergebnisse einer neuen Tiefbohrung in Dessau (L) . . . . .	514
Voitesti, I. P.: Aperçu synthétique sur la structure des régions carpathiques (L) . . . . .	639
— Étude géologique sur les sources minérales des Bains d'Hercule . . . . .	411
— Tablou de numiri tectonice. (Tabelle tektonischer Begriffe) . . . . .	294
Voß, Reimar: Die paläogeographische Verbreitung des Rogensteins im deutschen Unteren Buntsandstein (L) . . . . .	777
Vulkanische verschijnselen en aardbevingen in den Oost-Indischen archipel waargenomen gedurende het jaar 1927. (Vulkanische Erscheinungen und Erdbeben im ostindischen Archipel, beobachtet während des Jahres 1927) (L) . . . . .	353
Vulkanische verschijnselen en aardbevingen in den Oost-Indischen Archipel, waargenomen gedurende het jaar 1928. (Vulkanische Erscheinungen und Erdbeben im Ostindischen Archipel, beobachtet während des Jahres 1928) . . . . .	658
Wagen, L.: Erdgas bei Sisak, S. H. S. . . . .	209
— Erdölhöfliche Gebiete in Oststeiermark und im Burgenlande . . . . .	209
Wachner, Heinrich: Die Eiszeitgletscher des Bucegi in den Südkarpathen (Rumänien). . . . .	429
Wäbmann, Sven: El hierro de Visvil (Provincia de Catamarca) (L) . . . . .	272
— El mineral de hierro de Lagunillas y su valor metallúrgico (Provincia de Salta) (L). . . . .	272

	Seite
Wäßmann, Sven: Informe metallurgico referente a algunas minas de Estaño, Wolfram y Bismuto en la Sierra de Velasco (Provincia de la Rioja) (L) . . . . .	272
— Las perspectivas de tratar metallurgicamente el mineral de Manganeso de la Quebrada San Pedro, Sierra de la Huerta, Provincia de San Juan (L) . . . . .	272
Wagner, L. R.: A metamorphed Nodular Shale previously described as a „Spotted“ metamorphic Rock . . . . .	34
— Metasomatism in the Whin Sill of the North of England. Part I: Metasomatism by Lead Vein Solutions . . . . .	440
— Metasomatism in the Whin Sill of the North of England. Part II: Hydrothermal Alteration by Juvenile Solutions . . . . .	440
Wagner, Georg: Junge Krustenbewegungen im Landschaftsbilde Süddeutschlands . . . . .	288
Wagner, Paul: Lehrbuch der Geologie und Mineralogie für höhere Schulen (L) . . . . .	273
— Erdgeschichtliche Natururkunden aus dem Sachsenlande (L) . . . . .	273
Wagner, Percy A.: The Platinum Deposits and Mines of South Africa . . . . .	371
Wakenight, D. S.: Amazing activity in Americas oldest oil producing fields (L) . . . . .	219
Waldmann, Leo: Umformung und Kristallisation in den moldanubischen Katagesteinen des nordwestlichen Waldviertels . . . . .	80
Walker, Frederic: The Plutonic Intrusion of the Southern Uplands East of the Nith Valley . . . . .	23
Walker, M.: Intermittent injection of gas in gaslift installation . . . . .	178
Wallace, R. C. and G. C. McCartney: Heavy Minerals in Sands in Manitoba, etc. (L) . . . . .	444
Walther, K.: Contribución al conocimiento de las rocas „basálticas“ de la formación de Gondwana en la América del Sud. (Zur Kenntnis der „basaltischen“ Gesteine der Gondwanaformation in Südamerika) . . . . .	66
Washington, H. S.: L'Eruzione di Santorini del 1925 . . . . .	351
— Present volcanic activity over the earth. (Abstract) (L) . . . . .	348
— Santorini Eruption of 1925 . . . . .	351
— The origin of the mid-atlantic ridge . . . . .	629
— The rock suites of the pacific and the atlantic basins . . . . .	628
Washington, H. S. and M. G. Keyes: Rocks of the Galápagos Island . . . . .	620
Wasiliewski, M. M. et P. I. Iwtschenko: Aperçu géol. des sources minérales du Psécoups (L) . . . . .	411
Wasmund, E.: Klimaschwankungen in jüngerer geologischer Zeit (L) . . . . .	366
— Seebälle als Scheingerölle. Hydrogeologische Bodenseeforschung. II. . . . .	455
Water encroachment in the Little River pool makes repressuring urgent . . . . .	226
Waterschoot van der Gracht, W. van: Sind jetzt Muttergesteine künftiger Erdöllagerstätten in Bildung begriffen? . . . . .	188
Watocki, W. I.: Der Granatsand von Hel am Baltischen Meer (L) . . . . .	444
Watson, E. H.: A diopside-bearing pegmatite in Dolomite . . . . .	106
Weaver, Ch. E.: Eocene Lavas in Western Washington (L) . . . . .	661
Wegemann, C. H., R. W. Howell and C. E. Dobbin: The Pumpkin Buttes Coal field, Wyoming. . . . .	165
Weidenbach, F.: Die Amphibolite des Kinzig- und Renchgebietes und ihre Beziehung zu den Schwarzwälder Gneisen (L) . . . . .	476
Weigelt, Horst: Die Kohlenaufpressungen in den Geiseltalgruben „Leonhardt“, „Pfännerhall“ und „Rheinland“ . . . . .	162
— Kartographische Darstellungen der Kohlenaufpressungen in den Geiseltalgruben „Leonhardt“, „Pfännerhall“ und „Rheinland“ . . . . .	162

	Seite
Weigelt, Joh.: Die regional-geologische Bedeutung des Granitmassivs von Dessau (L) . . . . .	514
Weikmann, L.: Der Umbau des Leipziger Seismographen und die in den Jahren 1925, 1926 und 1927 aufgezeichneten Erdbeben (L) . . . . .	340
Weinberg, A. v.: Natürliches und künstliches Petroleum . . . . .	190
Weinfeld, A.: Neue Theorien über die Bildung von Erdöllagerstätten in Verbindung mit der Unverwässerlichkeit derselben . . . . .	189
Weinzierl, J. F.: After deep domes — then what? . . . . .	226
Weiß, G.: Revision der Normen für die italienische Mineralölindustrie (L) . . . . .	204
Weißner, J.: Der Nachweis jüngster tektonischer Bodenbewegungen in Rheinland und Westfalen . . . . .	289
Wentworth, Chester K.: Method of computing mechanical composition types in sediments . . . . .	444
— Striated cobbles in Southern States . . . . .	418
Werdmüller, J. O.: Petrographische Untersuchung von Eruptivgesteinen des Pik von Maros in Südwest-Celebes. . . . .	589
Weszeleszky, Gy.: Ueber die Konsequenzen der Theorie von SUSS und GAUTHIER . . . . .	690
Wetzel, W.: Der Wüstenguano der hochariden Zone Nordchiles . . . . .	684
Weybergh, W. J.: The coalfields of the Eastern and South-Eastern Transvaal, Springbok Flats, Waterberg, Zoutpansberg, and of the Cape Province . . . . .	170
Weymouth, A. A.: Simple methods for making thin sections (L) . . . . .	465
Wherry, E. T.: Fractured Stalactite-Stalagmite . . . . .	637
Wiebe, W. A. Ver.: Tectonic classification of oil fields in the United States . . . . .	219
Wiegner, G.: Neuere Bodenuntersuchungen in der Schweiz (L) . . . . .	763
Wieseneder, H.: Studien an Sanden des niederösterreichischen Marchfeldes. . . . .	777
Wiesenthal: Untersuchungen über die Bedeutung der Wasserbewegung in einem Sandboden für seine Bewirtschaftung . . . . .	394
Wieslander, A.: Wat kan met een eenvoudige electriche bodemonderzoek in Nederlandsch-Indië gedaan worden? (Was kann mit einfacher elektrischer Bodenuntersuchung in Niederländisch-Indien getan werden?) . . . . .	646
Wilhelm, Johannes: Beitrag zur Frage der Bewertung der verschiedenen Schwererörlungen . . . . .	320
Wilke-Dörfurt, Ernst, Julius Beck und Gaston Plepp: Ueber das Vorkommen von Jod in Phosphatlagern (L) . . . . .	150
Wilkens, A.: Astronomische Prüfung der WEGENER'schen Verschiebungstheorie der Kontinente. . . . .	273
Wilkerson, Albert S.: A mineralogical examination of black sand from Nome Creek, Alaska . . . . .	606
Williams, H. E.: Minas de chumbo do Ribeirão da Prata . . . . .	120
Williams, M. Y.: Sandstone Dykes in Southeastern Alberta . . . . .	638
Williams, Neil: Remarkable success in exploration . . . . .	237
— Sour Lake Cave-in arouses curiosity . . . . .	187
Willis, B.: Continental Genesis (L) . . . . .	627
— Earthquake Conditions in Chile. Studies in Comparative Seismology . . . . .	344
— Metamorphic orogeny . . . . .	295
Willis, Robin: Data on Texas-New Mexico Permian . . . . .	228
— Regional structure in Texas Permian . . . . .	232
Wilsner, J. L.: Die Entwicklungsstadien des Oberrheinalgrabens (L) . . . . .	289
— Die geotektonische Stellung des Kaukasus und dessen Beziehungen zu Europa. (Geol. der Schwarzmeer-Umrandung u. Kaukasiens) (L) . . . . .	298



	Seite
Wilser, J. L.: Geologisches und Morphologisches zur Wasserkraft- nutzung in Deutschland (L) . . . . .	386
— Gesetzmäßigkeiten im spät- und postglazialen Bewegungsbild des nördlichen Europa (L) . . . . .	287
— Heutige Bewegungen der Erdkruste, erkennbar an Ingenieur- bauten im Oberrheintalgebiet. . . . .	288
— Heutige Bewegungen der Erdrinde im Oberrheintalgebiet . . . . .	288
Wilson, C. O.: Institute acts on world curtailment . . . . .	173
Windakiewicz, E.: Steinsalz, Kalisalz und Solen, ihre Eigen- schaften, Physiographie, Bergbau und Sudhüttenwesen (L) . . . . .	150
Winkler, A.: Der jungtertiäre Vulkanismus im steirischen Becken (L)	350
— Die Bodenbeweglichkeit und ihre Bedeutung für die Landwirtschaft, aufgezeigt an Beispielen aus der Oststeiermark (L) . . . . .	763
— Ueber Bodenverhältnisse in der Oststeiermark (L) . . . . .	763
— Ueber das Alter der Eruptivgesteine im Draurdurchbruch (L) . . . . .	57
Winter, A.: Ueber die Wasseraufnahme von Gesteinen . . . . .	800
— Zur Standfestigkeit der Böden . . . . .	791
Wippermann, H. O.: Das Erdölvorkommen auf Madagaskar . . . . .	247
Witkamp, H.: Het kratermeer Bawang Aso (Borneo). [Der Krater- see Bawang Aso (Borneo)] . . . . .	660
Wittig, H.: Seismometrische Messung der Verkehrserschütterungen an Gebäuden (L) . . . . .	340
Wittmann, Der Einfluß der Korrektion des Rheins zwischen Basel und Mannheim auf die Geschiebebewegung des Rheines (L)	391
Woldstedt, Paul: Ein bemerkenswertes Vorkommen von asphalt- führendem Tertiär nordwestlich von Braunschweig (L) . . . . .	207
— Tektonik und Diluvium in Norddeutschland . . . . .	632
Wolfard, N. E.: Native road materials and highway maintenance (L)	813
Wolff, F. v.: Der Vulkanismus. II. Bd.: Spezieller Teil. 1. Teil, 2. Hälfte: Die Antarktiden und der pazifische Rand Südamerikas. Die Vulkane Zentralamerikas. Die Vulkane Nordamerikas. Die innerpazifischen Vulkane (L) . . . . .	347
— Petrographische Untersuchung des Dessauer Granits (L) . . . . .	514
Wolff, W.: Junge Bodensenkungen an der deutschen Nordseeküste	291
— Technisch-Geologisches und Bodenkundliches von Bornholm . . . . .	817
— Ueber den Boden von Schleswig-Holstein (L) . . . . .	762
— Ueber die Bedeutung der Feinmessungen für die Erforschung der gegenwärtigen Erdkrustenbewegungen Nordwestdeutschlands insbesondere des Küstengebietes . . . . .	291
Wong, W. H.: The Mesozoic Orogenic Movement in Eastern China (L)	639
Woolnough, W. G.: Carbon ratios as an index of oil and gas. . . . .	203
Worlds deepest well increases production steadily . . . . .	182
Worobiew, A. L.: Nickel- und Kobalterze im Khalilowschen Rayon (L)	124
Wundt, W.: Niederschlag und Abfluß im Schwarzwald . . . . .	391
Wyszynski, O.: Die Entwicklung der Naphtha-Industrie in Peru	246
Yabe, H.: The Latest Land Connection of the Japanese Islands to the Asiatic Continent (L) . . . . .	627
Yabe, H. and R. T a y a m a: A Cartographical Study of the Subma- rine Relief of the Strait of Formosa (L) . . . . .	640
Yagovkin, J. S.: The Uspensky copper ore deposit in the govern- ment of Akmolinsk, Kazakstan, Aut. S. S. R. . . . .	131
Yih, L. F. and K. P. C h a o: Geology and Mineral Deposits of Yang Sin, Ta Yeh and O Cheng Districts, Hupeh Province (L) . . . . .	265
Zahn, G. W. von: Wüstenrinden am Rande der Gletscher . . . . .	373
Zartner, W. R.: Beitrag zur Kenntnis der Amphibolgesteine und Eklogite im Erzgebirge . . . . .	14

Zartner, W. R.: Geologisch-petrographische Studien im Egertal- gebiet zwischen Warta und Kaaden . . . . .	558
Zelter, W.: Petrographische Untersuchung über die Eignung von Graniten als Straßenbaumaterial . . . . .	808
Zerndt, J.: Mikroskopische Zirkone als Leitmineralien (L) . . .	445
— Petrographische Studien über Karpathen-Sandsteine der Umgegend von Cieszkowice (L) . . . . .	463
— Ueber mikroskopische Zirkone aus den Karpathensandsteinen der Umgegend von Cieszkowice (L) . . . . .	445
Ziegler, K. G. J.: Kort bericht over het voorkomen van een granit- gesteente in het strommgebied van de Tji Hara, District Tji Langkahan, Afdeeling Lebak. Residentie Bantam. (Kurzer Be- richt über das Vorkommen eines Granitgesteines im Stromgebiet des Tji Hara, Distrikt Tji Langkahan, Abteilung Lebak, Resi- dentschaft Bantam) (L) . . . . .	586
Zies, E. G.: The acid gases contributed to the sea during volcanic activity. Abstract (L) . . . . .	348
Zimmermann II, E.: Alluviale Senkungen am Niederrhein, ab- geleitet aus der Verbreitung der Flachmoore. . . . .	289
Zoubek, D. Andrusov-Vlad: Ueber das Vorkommen einer Andesitbreccie bei Štěpnice westlich von Púchov in der Klip- penzone des Waag- (Váh-) Tales . . . . .	560
Zsigmondy, R.: Kolloidchemie, ein Lehrbuch. Fünfte, vermehrte und vollständig umgearbeitete Auflage. I. Allgemeiner Teil. (L) . .	727
Zuschlag, W. & W. Koch: An Electromagnetic Survey in the Ducktown District . . . . .	647

## Sachverzeichnis.

- Aachener Steinkohlenvorkommen, Nebengesteine, sedimentpetrogr. Unters.** 463.
- Aachquelle und Donauversickerung, geol. und hydrolog. Verh.** 696.
- Aarmassiv, östliches, Gesteine** 38.
- Abessinien** siehe Afrika.
- Abfluß in abflußlosen Gebieten** 369.
- Abfluß und Niederschlag, Schwarzwald** 391.
- Absarokit, Celebes, Pik von Maros, Differentiation** 589.
- Absatz, Travertinbildung durch Kalkalgen und Cyanophyceen** 711.
- Absätze, Tiefsee, Menge, Zeiträume, Materialbestand** 773.
- Abscherungstektonik bei der Osningfaltung** 635.
- Absinken der Kontinente, Theorie** 275.
- Abtragung trockene** 369.
- Afrika (Süd- u. Südwest-)** 374.
- Achnanthes gibberula, Quartär, Chorillos-Calama, Atakama** 378.
- Ackererde**  
Rolle des Schwefels 760.  
siehe Böden
- Acklington-Typus des Tholeiit, Nordengland, Analysen** 18.
- Adamello- und Bergeller Intrusion, Altersbestimmung** 73.
- Adamellogruppe**  
Baitonegebiet, kontaktmetamorphe Gesteine, Granatanalysen 535.  
Mineralien 9.
- Adriatis und Tyrrhenis** 636.
- Ägäischer Eruptivbogen, Dacit, Andesit, Analysen** 574.
- Ägäisches Meer, Antiparos, Cycladen, Laven, Analysen** 577.
- Aegirinaugit**  
Jeseník, Gesenke, opt. Eigensch. 555.  
Spitzberg bei Brüx in Böhmen, Analyse 542.
- Aegyrineläolithsyenit, Schmelewa, Gouv. Wiatka, Rußland, Mineralkomp.** 493.
- Ägypten** siehe Afrika 597.
- Aenigmatit, Chibina- und Lujavr-Tundren, Kola, Analyse** 669.
- Aenigmatit-Pegmatit, Kola-Halbinsel, Analyse** 666.
- Aeolische Ablagerungen, Polen und Pariser Gegend** 385.
- Aeolischer Transport, Südwestafrika** 375.
- Aetnaausbruch 1928, Trachybasalt, Anal.** 351.
- Afrika**  
Ägypten, kristalline Schiefer der östl. Wüstengebiete, Analysen 597.  
(Äquatorial-), Mayembekette, Gneis, kristalline Schiefer 595.  
Algerische Sahara, nördl., Wasser- verhältnisse 699.  
Arabische Wüste Ägyptens, Alkali- gesteine, chem. Zus. 597.  
Klimatische Grenzen, Gewässer 367.  
Madagaskar, Itsindrit, Essexit, Analysen 603.  
— Erdölanzeichen an der West- küste 247.  
— lateritische Böden, Genesis 766.  
(Nord-), Abessinien, Nekanti-Addis- Abeba, Kenyit, Tokeit, Analysen 600.  
— Marokko, Ankaratrite, Arten, Mineralkomp. 595.  
(Portugiesisch-Ost-), mesozoische u. tertiäre Lupatagesteine, Dolerit, Karroobasalt 601.  
Sahara, Amphibolgesteine, Cipolin, Gneis, Glimmerschiefer, Granit- intrusion, auch Syenit und Diorit, Analysen. 597  
(Süd-), Kohlenlager, Vorräte 170.  
— Lebombokette, Ostgrenze Trans- vaals, Ergußgesteine 318.



## Afrika

- (Süd-), Namaqualand, Diamant, Vork. in Terrassen 147.  
 — und Südamerika, geolog. Vergleich 276.  
 (Süd-), Transvaal, Platinlagerstätten, Genesis, Verlagerung 371.  
 — Transvaal, Sandsteingang im Granit auf Farm Middeldrift 191 bei Lothair 296.  
 (Süd- u. Südwest-), junge terrestrische Sedimentation 374.  
 (Südwest-), Karruformation, Verbreitung, geol. Karte 600.  
 — Otavi-Bergland, geol. Aufbau, Tektonik, Erzlagerstätten 135.  
 Suezkanal, Wasseranalyse des Little Bitter Lake 695.  
 Afro-amerikanische Landmasse 278.  
 Agawa-Eisenformation, Vermilion-Bezirk, Nordost-Minnesota, Paragenesis 148.  
 Aegäische Pegmatite, Kola 664.  
 Agrogeologie 758.  
 Aguilarit, Simau in Res. Benkoelen, Paragenesis 125.  
 Akeritischer Granit, Ahaggar, Afrika, Anal. 597.  
 Akrobatholithische Lagerstätten 95.  
 Alabaster, Orenburg, Ukraine, Vork. 153.  
 Alaska  
 Faltenzüge, Umbiegung 306.  
 Vulkanismus 1926—1928 362.  
 Albestigranit, Cămpulung, Jud. Muscel, Rumänien, Vork. 570.  
 Albitisation, Gase in Magmen 5.  
 Albitisch-chloritische Schiefer, Valea Cerbului Bușteni 305.  
 Albitophyr, Zai-Dara, Transkaukasien, mit Einschlüssen von Oligoklas—Diabas 503.  
 Albulahelsinkit, Schweiz, Vork. 42.  
 Algonium Böhmen, Tejšovice, Profil 551.  
 Alkalifestes Ofenmaterial, finnländischer Topfstein, Analyse 816.  
 Alkaligranit, Berg-Ossetien, Rußland, Analyse 493.  
 Alkalimischgesteine, Aegäisches Meer, Grenze, Analyse 574.  
 Alkalinisierung, permocarbonische Lavas, bes. Trachybasalt, Port Kembla, Australien 69.  
 Alkalische Gesteine, Entstehung 5.  
 Allenrolfea occidentalis, Anzeiger für Grundwasser 387.  
 Allit, Tikhvin, Gouv. Cherepovetz, umgelagerte Laterite 750.

## Allophan

- in roten Triasmergeln 447. 754.  
 Alluvium, Böhmen, Egertal, Warta bis Kaaden, rez. Schwemmebenen 559.  
 Almandin, Baitonegebiet, Italien, Analyse 535.  
 Alpen  
 arktische Bodenformen 421, 725.  
 Pflanzenleben, Verwitterung 733.  
 Travertinbildung, Bedeutung hierfür 711.  
 Adamello- und Bergeller Intrusion 73  
 Albulamassiv, Helsinkit, Vork. 42.  
 bayrische und Tirol, Erdkrustenbewegungen 287.  
 Bündener, Karentstehung 420.  
 Diableretgruppe, Vulkanismus 43.  
 Flüelagruppe, Geol. und Petrogr. 39.  
 Höttinger Breccie, neue Aufschlüsse für die Eiszeitforschung 421.  
 Ost-, Adamellogruppe, Baitonegebiet, Granat- und Biotithornfelso (Skarn), Granatanalysen 536.  
 — und Böhmisches Masse, geophys. Zusammenhänge 332.  
 — Gleichenberg, Chemismus der Eruptivgesteine 53.  
 — Gleinalmkern, chem.-petrogr. Studien, Anal. von Granit, Diorit, Gneis 47.  
 — Grazer Gebirge, Blei-Zinkerze, Genesis 127.  
 — Hallstätter Salzberg, Tektonik, Ekzem 301.  
 — Karbildungsproblem 418.  
 — Karnische, orotektonische Linie 636.  
 — Koralpe, Eklogit, Amphibolit, Paragesteine, Anal., geol. Bau und Bez. zu den Nachbargebieten 51, 52.  
 — Marmore des Waldensteintales, Umwandlung in Spateisen, Ankerit und Eisenglimmer 49.  
 — Schladming, Nickelkobalterze, Vork. Zinkwand—Vöttern 123.  
 — Schobergruppe, Tektonik, Gest. 80.  
 — Strukturen 636.  
 — Stubalpe, Gesteine, Anal. 53.  
 — Verzungsperioden 253.  
 Waldviertel, nordwestlich, Umformung und Krist. in den moldanubischen Katagesteinen 80.  
 Waschbergzug, Hollingstein, Gesteine 57.  
 (Zentral-), Bodenbildung und Vegetationsentwicklung 763.  
 Zentralmassiv, Eruptivgesteine 42.  
 Alpische Vorländer 634.

- Alpin-dinarische Faltung, Vulkanismus auf den Euganeen 655.
- Alpine Gebirgstypen, Virginia, südwestl., Fenster 305.
- Alpine Salzlagerstätten, Hallstätter Salzberg, Ekzem 351.
- Alpines Glazial, Gliederung und Zeitrechnung 423, 721.
- Alsbacht, Bergsträßer, nördl. Odenwald Vork., Tektonik 89.
- Altai, Rußland, Kalbin-Kette, mikrosk. Beschreibung der Gesteine 512.
- Aluminiumphosphate, Kolumbien (Süd-), Kontakt von Andengranit mit Kreide 609.
- Aluminiumsilikate, Zersetzung, Lateritbildung 744.
- Alunit, Gandsha, Azerbajdschan, Transkaukasien, Lagerstätte 259.
- Amberger Erzformation, Eisen, Phosphor, Edelerze, Herkunft 148.
- Amerika  
(Mittel-), Böden, Entstehung, Einteilung 767.  
— Brit.-Dominica, Geologie 60.  
(Zentral-), Vulkanismus 347.
- Amesit im Tonschiefer, Teesdal, England, Gehalt 35.
- Amphibolgabbro, Szarvaskö, Ungarn, Analyse 564.
- Amphibolgesteine  
Böhmen, Pethřimov, Vork. 552.  
Wiesenthal i. Erzgeb. 14.
- Amphibolit  
(Diallag-), mittleres Kamptal 47.  
Erzgebirgsrand, Entstehung 87.  
(Feldspat-), Boxgrün, Egertal, Böhmen, Analyse 569.  
Flüelagebiet, Graubünden 41.  
geröllführender, Bez. zu Dabaschiefern 522.  
Hollingstein, Waschbergzug, Ostalpen, Vork. 57.  
Kinzig- und Renchgebiet, Bez. zu den Schwarzwälder Gneisen 476.  
Koralpe, Anal. 50.  
Ontario, Entstehung aus Quarzdiabas 111.  
Rumänien, Şarul Dornei, Analysen von Phyllitgneis, Epialbitgneis, Epidot- und schieferigem Amphibolit 567.
- Analcim-Syenit, Zentral-Ayrshire, Howford Bridge, Min.-Komp., Anal. 529.
- Analysen, Gesteine, graph. Darst. 2.
- Anatexis des Urgebirges, Temperatur, südl. Norwegen 476.
- Anden, Chile, Glazialgeologie 435.
- Andengesteine, Kolumbien und argentinisch-chilenische Cordillera 608.
- Andengranit, — Diorit, Corcovadit, Kolumbien, Mineralien darin 609.
- Andesin, Dary-dag, Transkaukasien, Brechung 501.
- Andesin-Amphibol-Hornfels, Gouv. Woronesch, Rußland 487.
- Andesinbasalt  
Galápagos, Eden-Insel, chem. Zus. 620.  
Insel Thera, Analyse 575.  
Marquesas Insel Nuku—Hiva, Analyse 168.
- Andesingesteine, Siebenbürgen, Anal. 58.
- Andesinophyr, Agglomerattuff desselben, Dyrnyss, Transkaukasien 504.
- Andesit  
(Pyroxen-), Sumatra, Lampong-Distr. Vork. 588.  
Čorsnica-Gebirge bei Vrata, herzegowinischer Karst, Analyse 57.  
Gondwanaformation Südamerikas 66.  
Gümür, Transkaukasien, Vork. 508.  
Indochina, Südannam, Analyse 591.  
Japan, Oku-Tango-Halbinsel, Arten 594.  
Niederl.-Indien, Sumatra und Java, chem. Zus. 587.  
Oxylithos, ägäischer Bogen, Anal. 574.  
Persien, Erzlagerstätten darin 262.  
Peru (Nordwest-), Vork. 64.  
Port Stephens, Nelson's Bay, Australien, Anal. 68.  
Ungarn, Királyháza im Komitat Hont, Analysen verschiedener Typen 566.  
Vludeasastock, Siebenbürgen, Analyse 58.
- Andesitbasalt  
Armenien, Analysen 500.  
Soz. Inseln, Sous-le-Vent, Anal. 616.
- Andesitbreccie, Štěpnice bei Púchov, Böhmen 560.
- Andesitphrit, Sumaco in Ecuador, Anal. 65.
- Andine Erzlagerstätten und Eruptivgesteine, Bolivien, Entstehung 268.
- Anhydrit, Zechstein, Halle, Merseburg, Auflösung 151.
- Ankaramit, Terre Tenro, Mataura, Anal. 620.
- Ankaramitischer Basalt, Have, Marquesas Insel, Analyse 620.
- Ankaratrit, Marokko (Zentral-), Arten; Mineralkomp. 595.  
Sozietsätsinsel Mehetia, Analyse 617.

- Ankerit, Waldensteintal, Koralpe, Genesis 49.
- Annam, basaltische und andesitische tertiäre und rezente Vulkanlaven, Analysen 591.
- Anorthit-Nephelein-Orthoklas-SiO<sub>2</sub> System 2.
- Anorthosit  
Kalifornien, Los Angeles Co. 606.  
New York, Outlier near Wells 605.
- Antarktiden, Vulkanismus 347.
- Antarktis, diluviale Vereisung 684.
- Antarktisch-indisches Grenzgebiet, Insel Heard, Gesteine 624.
- Antarktische Eiskappe, Abschmelzung 632.
- Anthrazit, Wealden, Chicama-Tal, Nordperu 166.
- Antiklinalen, Erdölführung in Verein. Staaten 224.
- Antillen, Geologie 63.
- Antimonit, Acora, Südperu, Lagerstätte 119.
- Antiparos, Cycladen, Laven, Anal. 576.
- Apatit  
(Cerhaltiger Fluor-), Chibina- und Lujavr-Tundren, Krist., Anal. 668.  
Vork. in Sedimenten 374.  
Cardiff, England, im Old Red, Vork. mit dunklem Kern 27.  
Kolumbien, Vork. in Andengesteinen 609.  
Noraschen, Transkaukasien, Pleochroismus 511.  
Proseč, Tschechoslowakei, Pseudopleochroismus 551.
- Aplit  
Blauenmassiv, südl. Schwarzwald 317.  
Klesów, Polen, Analyse 480.  
Kreuzsattel—Lammalpe, Ostalpen, Anal. 48.  
Rußland, Gouv. Woronesch, Dorf Bassowka, Vork. 488.  
Tsumeb-Mine, Otavi, Vererzung 139.
- Aplitgneis, Meiersch, niederösterreich. Waldviertel, Dichte 546.
- Appalachen  
Strukturelemente 280.  
Tröge, Druck, epirogenetische Kräfteauswirkung 637.  
Tropfsteinhöhlen, Artefakte darin 773.  
West—Ost-Ueberschiebungen, Virginia 637.
- Appalachische Erdölprovinz 220.
- Apparate, Bleikästchen zur Behandlung von Gesteinen mit Flußsäure 2.
- Apparate  
Bodenprobenentnahme, kegelförmige 791.  
Eisbewegung, Abscherungen 720.  
Elektromagnetische Schürfung, Meßmethoden 647.  
Erdmagnetismus, Instrumentenbau 644.  
Erdölgewinnung durch Druck aus Benton-Schiefer 198.  
Filterbrunnen zur Grundwassersenkung 793.  
Geysirdemonstration 410.  
Jamin-Röhren, Erdöl-Produktions- und Druckabfallsbestimmung 196.  
Korngröße und Porosität in Erdölgesteinen, Bestimmung 195.  
Magnetometer, neues 327.  
Pendel, Hohlzylinder zur Abweichungsbestimmung in Bohrlöchern 175.  
Radioaktivitätsmessung 336.  
Rambbar zur Erforschung des Stauchungsgrades 788.  
Trommelmühle zur Untersuchung der Gesteinsfestigkeit 801.  
Schlammapparat von WIEGNER, prakt. Anwendung 758.  
Wage von HUGHES, Magnetisierungs-koeffizientbestimmung 326.
- Appennin, Erdbeben 1927, 1928 340.
- Aragonit  
amorph und kristallin, Oolithe des Großen Salzsees 783.  
Otice und andere Orte, Gesenke, Vork. 555.
- Aramydit, Chocaya, andines Bolivien, Paragenesis 272.
- Argentinien, Erzlagerstätten, 272.  
— (West-), Paganzo-System, Äquivalent der Karrooformation 276.
- Argentinische Sierra de la Ventana, Infra-Tillit-Serie, Analogie mit dem Aufbau des Kapegebirges Südafrikas 276.
- Argyrodit, Coquechaca, Bolivien, Paragenesis 268.
- Aride Landschaft, Utah, Navajo Twins 688.
- Arides Klima  
Sedimentation 369, 374.  
Otavi-Bergland 688.  
Palästina 368.
- Arktis  
Grönland, Holsteinsborg-Distrikt, Sand, Bestandteile 622.  
Südost Island, Granit, Diorit, Gabbro, Granophyr, Analysen 621.



- Arktische Bodenformen in den Alpen 420, 725.
- Arktische Böden, Strukturformen 425, 432.
- Armenien, tuffartige Laven, Trachyt, Andesit-Basalt, Analysen 500.
- Artefakte, pennsylvanische Tropfsteinhöhlen 712.
- Artesische Brunnen,  
Memel und Bad Oeynhausen, größte Ueberlaufsmenge 405.  
Persischer Golf, Bahreininseln 406.  
St. Margareten-Insel in Budapest, Hydrogeologie 700.  
Ungarn, Kapuvár und Csorna im Kom. Sopron, Hydrogeologie 405.
- Artesisches gespanntes Wasser, Kies-schicht unter Löß 399, unter Eis 430.
- Artesisches Grundwasser, Oybingebiet, Wasserversorgung von Zittau 400.
- Artesisches Oberflächen- und Quellwasser, chem. Unters. 692.
- Artesisches Wasser  
Kompressibilität und Elastizität der Träger 406.  
Südostnorwegen, Anal. 403.
- Asbest, Persien, Vork. 262.
- Aschen  
Erdölgesteine, Radioaktivität 337.  
Lapilli-, Bimsstein-, Schlacken-Bänke 657.  
Vulkan Keloet, Lahar Badak, Java, chem. Zus. 358.  
vulkanische, Kansas 362.
- Asien  
tektonische und morphologische Geologie, Lit. 639.  
Alai, Nordabhang, Eiszeitspuren 431.  
Cochinchina, Böden, Analysen 745.  
Indochina, Basalt, Andesitlaven, Analysen 591.  
Karakumy-Wüste, Schwefelhügel, Geochemie 680, morphologische Beob. 384.  
Mandschurei, Kohle u. Eisenerze 265.  
Palästina, Klima, Verwitterung, Sedimentation 368.  
Persien, Erzlagerstätten, Stand, Gewinnung, Verhüttung 261.  
Persien, nördliches, Gesteine 578.  
Persien und Mesopotamien, Erdölvork. 247.  
Turkestan, Uran-Vanadium-Grube Tuja-Mujun 676.  
und Japan, Landverbindung 627.  
und Nordamerika, Vergleich 283.
- Asphalt, Molluken, Boeton-Insel, Niederländ.-Indien, Vork. 247.
- Asphalt  
Normierung 204.  
Tertiär, nordwestl. Braunschweig 207.
- Asphaltekalk und Asphaltdolomit, Orljänko und Petschersky im Sysraner Kreis, unt. Wolgagebiet 260.
- Asthenolith, Asthenosphäre (Fließzone), Metamorphismus 641.
- Astrachanit, Eltonsee, Astrachangebiet, Vork. 261.
- Astronomische Prüfung der WEGENERschen Verschiebungstheorie der Kontinente 273.
- Astrophyllit, Chibina- und Lujavrtundren, Kola, Analyse 669.
- Asturische Faltung, Spitzbergen 304.
- Atakama-Region, Erdbeben, Wirkung und Ursache 345.
- Atlantik, Indik und Pazifik, Bodenkonfiguration, Anordnung ihrer Inseln 629.
- Atlantische und pazifische Gesteine, Grenzen (?) 628.
- Atlant. Ozean  
Boden, Basalt, Zersetzungsrinde, Analyse 776.  
5 Kerne darumgelagert 635.
- Auflösung, Dolinenbildung 711.
- Augengneis, Bedford, Feldspat-Augen, ihre Analysen 475.
- Augit, Vrata, Herzegowina, Brech. 57.
- Augitandesit, Gunung Api-Vulkan bei Bima, Niederl.-Indien 354.
- Augitit  
Kaaden, Egertal, Vork. 559.  
Sozietaetsinsel Mehetia, Mineralbestand 617.
- Augitminette - Kersantit-Gang, Heppenheim a. d. Bergstr., Analyse 521.
- Australien  
permische Vereisung 726.  
Polynesien, Marquesas-Inseln, Trachyt, Latit, Basalt, Analysen 618.
- Port Stephens, Andesit, Toscanit, Rhyolith, Anal. 68.
- Queensland (Süd-), westl. Brisbane, Boden- und Lateritprofil 757.
- Tasmanien, Shannonit, Anal. 67.  
(West-), Beitr. zur Mineralogie 69.
- Austrocknungswert, klimatischer Faktor 686.
- Baden, ländliche Wasserversorgung 697.
- Badener Granit 522.
- Bänderstruktur, präcambrische Eisenformation, Entstehung, Experimente 464.

- Bändertorn**  
 Kanada, Alter 416.  
 Schichtkrümmungen 781.
- Bäreninsel**, köcherbauende Würmer  
 im Sandstein des ob. Carbons 449.
- Baikal** bis Kultuk, Gabbro mit Kon-  
 takthof, Mineralkomp. 513.
- Baikalsee**, Glazialbildungen 432.
- Baitonegebiet** in der Adamellogruppe,  
 Italien, kontaktmetamorphe Ge-  
 steine, Analysen von Granaten 535.
- Baja californica**, Mexiko, Gesteins-  
 chemismus 64.
- Bakelitmethode** zur Anfertigung von  
 Dünnschliffen 2.
- Balkan**, herzegowinischer Karst, An-  
 deseruption 57.
- Baltikum (Ost-)**, Solquellen, altpaläo-  
 zoische, Ursprung 152.
- Baltische See**, magnetische Messungen  
 328.
- Banat**, Gesteine 572.
- Banatit** (Hornblende), Tatarakafluß,  
 Gouv. Jenissey in Sibirien 512.
- Bandstruktur**, Pyrit, Zinkblende, Vila  
 Apacheta, andines Bolivien 271.
- Barrierenriffe** und Lagunen, Ent-  
 stehung 784.
- Basalt**  
 (Analcim-), Sous-le-Vent, Soc. In-  
 seln, Analyse 615.  
 Gondwanaformation Südamerikas 66.  
 und sein Pegmatoid, Analysen,  
 469.  
 (Quarz-), Taradake, Japan 593.  
 (Shannonit), Shannon Tier, Tas-  
 manien, Anal. 67.  
 Afrika, Portugiesisch-Ost, Zambesi-  
 gebiet 601.  
 — (Süd-), Lebombokette, Vork. 318.  
 Armenien, Analysen 500.  
 Atlantischer Ozeanboden, Zer-  
 setzungsrinde, Analyse 775.  
 Big Pen Peak, Insel Heard, Vork.  
 624.  
 Brüxer Gegend, Zersetzung 538.  
 Cochinchina, Analysen, Lateritbil-  
 dung, Bienhoa 746.  
 Gesenke, Arten 556.  
 Giants Causeway-Gebiet, Nordirland,  
 Klüftung 78.  
 Indien, lateritische Umwandlung 744.  
 Indochina, Annam, Analyse 591.  
 Irland, Co. Antrim, Giants Cause-  
 way, Analysen, Behandlung mit  
 Säuren, Alkalicarbonaten und  
 Kohlendioxyd 743.  
 Japan, Dôgo-Insel, Vork. 595
- Basalt**  
 Jesenk i. Gesenke, Mineralbest. 555.  
 Kaaden, Egertal, Vork. 559.  
 Kanarische Inseln, Chehere auf  
 Gomera, Analyse 614.  
 Kola, Njuerpachk und Kaskasjun,  
 Analyse 666.  
 Mahlberg bei Orschweier i. Breis-  
 gau, Analyse 522.  
 Marquesas-Insel Nuku-Hiva, Anal.  
 618.  
 Messel b. Darmstadt, Durchbruch 520.  
 Michigan, Kupfererzlagertstätten 114.  
 Nederl.-Indien, Celebes, chem. Zus.  
 587.  
 — Flores, Arten, Umwandlung des  
 Olivins in Iddingsit 590.  
 Noraschen, Transkaukasien, Mineral-  
 bestand 511.  
 Ostritz i. Sa., Einschlüsse fossiler  
 Baumstämme 514.  
 Rhön, techn. Unters. und Ver-  
 wendbarkeit, Druckfestigkeit 803.  
 Rout Co., Colorado, Einfluß auf  
 Kohlenflöze 161.  
 Santorin, in Caldera, Anal. 575.  
 Sozietsinsel Mehetia, Analyse 617.  
 Stöffel, Westerwald, Differentiate,  
 Analysen 515.  
 Vogelsberg, Hammer bei Laubach.  
 Neubildungen in zersetztem Basalt,  
 Pseudobrookit 518.  
 Wei-tchangmassiv, Tchéli nördlich  
 der Großen Mauer 593.
- Basaltbreccie**, Kreide—Tertiär, West-  
 grönland 623.
- Basaltdecken**, Basalttuffe, Brüxer  
 Gegend, Vork. 540.
- Basaltgläser**, Wormit, Fifeshire, chem.  
 Zus. 473.
- Basalthöhlen**, Karlsbad 407.
- Basaltisches Magma**, Assimilation von  
 Kalkstein, Melilithbildung 475.
- Basaltlavabombe**, Tangkoeban Prahoe,  
 Java, Analyse 357.
- Basaltmagmen**, Temperaturen 5.
- Basalttuff**, Berestowice, Polen, Ana-  
 lyse 480
- Basaltzersetzung** unter Grundwasser-  
 einwirkung, Brüxer Gegend, Ana-  
 lyse 538; am Boden des atlant.  
 Ozeans 776.
- Basanit**, Cochinchina, Annam und  
 Cambodge, Analysen 592.
- Basanitischer Basalt**, Marquesas-Insel  
 Terre Taupata, Analyse 620.
- Basit**, Pseudomorphosen nach Bron-  
 zit, Kácov, Böhmen 560.

- Batholith**  
 Bezieh. zu Erzlagerstätten 95.  
 Minnesota—Ontario-Grenze, Ver-  
 geneisung 363.
- Batholithenzone Nordamerikas** 281.
- Bau und Bewegung der Gebirge, Nord-  
 amerika, Skandinavien und Mittel-  
 europa** 312.
- Baugrund, Stoßtauchung, Verform-  
 barkeit** 788.
- Baugrundgeologie, Sammlung der  
 Techn. Hochschule in Wien** 785.
- Bauleistungen, Bodenwasserverhält-  
 nisse in bautechnischer, wirt-  
 schaftlicher und rechtlicher Be-  
 ziehung** 793.
- Baumberger Sandstein, Senon bei  
 Münster i. W., Verwitterung** 806.
- Baumstämme, Ostritz i. Sa., Einschlüsse  
 im Basalt** 514.
- Bausteine**  
 Cincinnati, Gewinnung 815.  
 petrogr. Charakterisierung, Korn-  
 gröÙe und Form 795.  
 Verwitterung 729, 805, 806.
- Bautechnik, Bodenarten, Klassifi-  
 zierung und einheitliche Bezeich-  
 nung** 790.
- Bauwesen und Geophysik, Untergrund-  
 forschung** 338.
- Bauxit**  
 Dalmatien, geophys. Schürfung 334.  
 Gánt, Westungarn, Lagerstätte, Ge-  
 nesis 737.
- Jugoslawien, geophysikalische Unters.**  
 334.
- Rußland, Tikhvin im Gouv. Chere-  
 povetz, Moskauer Becken, Genesis**  
 751.
- Triasdolomit, Transdanubien, Ver-  
 breitung und Schürfung** 145.  
 siehe auch unter Laterit.
- Bayern**  
 Bodenkarte 1 : 400 000, Erläut. 762.  
 erdmagnetische Landesaufnahme 327.  
 Glazialgeologisches 418, 419, 423,  
 721, 722.
- Bayrischer Wald**  
 Eiszeit 723.  
 Mineralklüfte 526.  
 Pfahlquarz, Herkunft der Kiesel-  
 säure 149.
- Bentonit, Erdölfiltrierung** 203.
- Bergbau**  
 Tirol und Vorarlberg in Vergan-  
 genheit und Gegenwart 253.  
 und Wasserversorgung, mitteldeut-  
 scher Industriebezirk 399.
- Bergbaugebiet Janjevo am Amselfeld  
 in Nordmazedonien, Manganerze,  
 Pb-, Zn-, Au-, Ag-Sulfide** 123.
- Bergeller Intrusion, Altersbestimm.** 73.
- BergsträÙer Odenwald, nördlicher, tek-  
 tonische Unters.** 88.
- Bergsturz, Diableretgruppe** 43.
- Beryll**  
 Bayrisch-böhmisches Waldgebirge,  
 Vork. 149.
- Bolivien, Genesis** 101.
- Bibliographie, Sandbewegung, Strand,  
 Barren, Ströme, Buchten, Erosion,  
 Aestuaren, Gezeiten, Wogen** 627.
- Bienhoa (Eisenkonkretionen von piso-  
 lithischer Struktur), Cochinchina,  
 chem. Zus.** 746.
- Bimsstein, Kahlenberg oberhalb Burg-  
 brohl, Analyse** 515.
- Bimssteinbänke und -asche** 657.
- Bindemittel, Baumberger Sandstein,  
 Unters. bei frischem und ver-  
 wittertem Material** 807.
- Biolithogenesis, Kalkalgen und Cyano-  
 phyceen, Travertinbildung** 711.
- Biologische Schichtung, Kalkausschei-  
 dung** 453.
- Biotit**  
 Internregelung 81.  
 (Quer-), Regelung 77.  
 Korzec und Oánick, Polen, Analyse  
 480.
- Biotit-Hornblende-Dacit und -Andesit,  
 Siebenbürgen, Analysen** 58.
- Birbir, Birbir in Abessinien, Ana-  
 lyse** 105.
- Bitterbrunnen, Laa a. d. Th., Oester-  
 reich, Analysen** 703.
- Bitumen**  
 in Gesteinen, Rumänien, Erdöl-  
 bildung 213.  
 Gesteinsbindung, mit Diabas 804.  
 Kolumbien, Vork. in untertertiären  
 Guadas-Schichten 611.  
 Molukken, Asphalt, Erdöl, Geologie  
 von SO-Celebes, Bitumina, Erdöl  
 248.
- Bitumengesteine, Norddeutschland,  
 chem.-petr. Studien** 200.
- Bitumenmergel**  
 Seefeld, Tirol 208.
- Turon, Lüneburg, chem. Unters.** 200.
- Bituminöse Kohle, Umwandlung in  
 Anthrazit bei hoher Temp.** 161.
- Blastomylonit**  
 Grundgebirge des Odenwalds 90.  
 Odenwald, Vork. bes. im Melibokus-  
 gebiet 520.



- Blauengranit, Schwarzwald, Aufbau, Alter, Analysen von 3 Arten 523.
- Blauenmassiv, südl. Schwarzwald, Aufbau und Alter, Granit, Eruptivgänge 316.
- Blauquarzdiorit, Stafford Co., Virginia, Piedmont magm. Komplex, Analyse 605.
- Blei—Kupfer—Silber—Zinkerz-Lagerstätte, Offberg in Remschnigg 129.
- Bleicherdewaldböden, podsolige Böden 732.
- Bleichsand, Rönnegebiet, Bornholm, Vork. in Podsolprofilen 817.
- Bleichungsvorgänge, Verarmung an Tonerde durch saure Reagentien 730.
- Bleiglanz  
Persien, Vork. 262.  
Ribeirão da Prata, Brasilien, silberhaltig, Lagerstätte 120.  
Schauninsland i. bad. Schwarzwald, Lagerstätte, Genesis 117.  
Schönstein bei Cilli, Jugoslawien 132.  
Simau, Res. Benkoelen, Vork. 125.
- Blei-Zinkerze  
Deutsch-Bleischarleygrube, Oberschlesien 126.  
Mississippi-Missourigebiet, Genesis 118.
- Blei—Zinkerzlagerstätte, Schönstein (Šoštan) bei Cilli (Celje), Jugoslawien, Genesis 132.
- Boden  
Oisans, Frankreich, Analyse 759.  
Sibirien, ewig gefrorener 430.  
Spitzbergen, Brodelerscheinungen 425.
- Bodenablagerungen, Seen, Entwicklungstypen 451.
- Bodenanalyse, mechanische, Beitr. zur Theorie und Praxis 759.
- Bodenanzeigende Pflanzen 759.
- Bodenarten, lose, Klassifikation und einheitliche Bezeichnung in der Bautechnik 790.
- Bodenbelastung und Grundwasserstand 399.
- Bodenbeschaffenheit, Bornholm, Kaolin, Podsol 817.
- Bodenbeweglichkeit, Oststeiermark, Bedeutung für die Landwirtschaft 763.
- Bodenbewegungen  
Erd- und Felsarbeiten 792.  
Niederrhein, Rheinland und Westfalen 289.  
Wesergebiet, Fuß des Sollings 290.
- Bodenbildung  
Faktoren, Typen in Rußland 768. und Verwitterung 727.
- Bodendichte, Neigung zum Fließen und Rutschen der Böden 792.
- Bodeneigenschaften, Richtungsbedingtheit 801.
- Bodenfeuchtigkeit, Bewegung und Verteilung durch Grundluft 394.
- Bodenformen, arktische, Alpen 420, 725.
- Bodenfrost, Wachstum der Eiskristalle, Druckeffekt 434.
- Bodenhumus und Klima, gesetzm. Bezieh. 762.
- Bodenkarte  
Bayerns 1 : 400 000 mit Erläut. 762.  
Jugoslawiens 762.
- Bodenkolloide, Methode der Unters. und Eigenschaften 758.
- Bodenkunde  
Einführung (N. M. COMBER) 758.  
Literatur 726.
- Bodenmelioration, Torfmoore, elektrometrische Experimente 336.
- Bodenoberfläche, phys. Beschaffenheit 727.
- Bodenproben, Bezeichnung für die Bautechnik 791.
- Bodenschichten, obere, elektr. Leitfähigkeit 335.
- Bodensenkungen, junge, 287—294, 632.
- Bodentopographie der Wash, England 780.
- Bodentypen  
Bulgarien, Spanien, europ. Türkei 763.  
Verhalten des Sulfatschwefels darin 759.
- Bodenunruhe, Japan, Luftdruckverh. 652.
- Bodenuntersuchung, elektr. in Niederl.-Indien 646.
- Bodenwasserverhältnisse in bautechn., wirtschaftl. und rechtlicher Beziehung 792.
- Böden  
arktische, Verwitterung 432.  
carbonatarme, Puffervermögen 727.  
Einteilung im technischen Sinne, Korngröße 788.  
— und Entstehung 759.  
Klassifikation, Schema 758.  
physikalische Grundkonstanten, Bestimmungsmethoden 758.  
(Podsol-), Bleicherdewaldböden 732.  
Schubfestigkeit, Rutschungen, Fließgrenze 787.

- Böden**  
 Standfestigkeit, Entnahme kegelförmiger Probestücke 791.  
 Stickstoffgehalt 761.  
 tropische Verwitterung, hydrolytische 748.  
 Wasserbewegung im Sand 394.  
 Amerika (Mittel-), Entstehung 767.  
 Cochinchina, chem. Zus. 745.  
 hessisches Ried, Uebersichtskarte 762.  
 Hochgebirge, Eigenschaften, Kartierung 434.  
 Holstein, Bleicherde und Ortstein, Kulturfähigkeit 763.  
 Jenaer Gegend, Muschelkalk, Verwitterung 745.  
 Kaukasus und Krim, Braunerde 765.  
 Madagaskar, Lateritisierung 766.  
 Montenegro, chem. Bestand 735.  
 — 10 Vork. mit Analysen 763.  
 Niederl.-Indien, Profile, klimatische Daten, Ergeb. physik. und chem. Unters. 765.  
 Otavi-Bergland, Entstehung 136.  
 Tunis, (Nordwest-), Podsol 745.  
 Vereinigte Staaten, Typen, Klima 760.  
 — — Verteilung, Orographie, Klima und Vegetation 767.  
 Wüste, Entstehung 370.
- Böhmen**  
 Boxgrün, Feldspatamphibolit, Analyse 559.  
 Chlebuy bei Benešov, Pyroxenquarzdiorit, Granitit, Aplit, Pegmatit 557.  
 Egertalgebiet zwischen Warta und Kaaden, Basalt, Phonolith, Tephrit, Feldspatamphibolit, Analyse 559.  
 Kácov a. d. Sázava, Serpentin, Vork. 560.  
 Mala Chuchle, Karlické údolí bei Prag und in Südmähren, Travertinbildung 711.  
 (Nord-), Quarz und Granitporphyr, Analysen 543.  
 Poučnik bei Beraun, Eruptivgesteine des Ordovicium und Silur im Barrandium 557.  
 Proseč, Kreideuntergrund, petrogr. Verh., Diorit, Gabbrodiorit, Mineralbestand, Analysen 550.  
 Štěpnice westl. Púchov, Andesitbreccie, Quarzin, Teschenit-Pikrit 560.  
 Tejšovice, Algonkium und Cambrium, neue Profile, Spilit, Felsophyrit, Analyse 552.
- Böhmer Wald, Gletscher zur Eiszeit** 723.  
**Böhmische Masse und Ostalpen, geophys. Zusammenhänge** 332.  
**Böhmische Masse**  
 und ihre Randgebiete, Brüxer Umgebung, geol. Karte, Erläut. 536.  
 und ihre Randgebirge, Petr. 43.  
**Böhmischer Braunkohlenletten**, Anal. 445.  
**Böhmit, Gánt, Westungarn**, chem. Zus. 737.  
**Böschungsrutschungen, Rosengartener Einschnitt, Bahnlinie Berlin—Frankfurt a. O.** 792.  
**Bohnerze, Otavi-Bergland, kupfer- und vanadiumführend** 146.  
**Bohrbeschreibungen, Schichtenbezeichnung** 791.  
**Bohrkerne**  
 fossilführend, stratigr. Verwertung 769.  
 und Erdölgehalt einer Lagerstätte 184.  
**Bohrloch**  
 Erdölgewinnung 173.  
 Tiefstes der Welt 239, 319.  
**Bohrungen**  
 Bodenwasserverhältnisse 793.  
 nach Wasser 714.  
**Bolivianische Hochsteppe, nordchilienische Wüste, Salar** 378.  
**Bolivien**  
 andines, Eruptivgesteine und Erzlagerstätten, Entstehung 268.  
 Erdöl im Devon im Süden, Stratigr., Tektonik 246.  
 Metallprovinz der Ostanden, Kupfererze, Zinnerz 266.  
**Bornholm, Technisch-geologisches und Bodenkundliches** 817.  
**Bowlingit, Cochinchina, Entstehung** 745.  
**Boxworksiderit, Bisbee, Arizona, Paragenesis von Carbonaten und Sulfiden** 145.  
**Bozener Gebiet, Ueberetsch, Geolog., glaziale Fragen** 422.  
**Brackwasser der Flußmündungen, Heimat und Vernichter des Lebens** 458.  
**Brandungswelle, Tätigkeit** 437.  
**Brasilien**  
 Kohlenlagerstätte im Staat Santa Catharina 167.  
 Staat Maranhao bei Codó, Kreidekalk mit Oel Spuren 247.

- Brauneisen, zelliges, Eiserner Hut 145.  
 Brauneisenerz, Amberg, Phosphorgehalt 149.  
 Braunerde, Krim und Kaukasus, Vork. 765.  
 Braunkohle  
   Brüxer Gegend, Flözbeschreibung 538.  
   Missourigebiet, Vorräte 166.  
   Oberröblingen, südl. des Salzigen Sees, Bildung 161.  
   Steinkohle, Torf, Begriffsbegrenzung 155.  
 Braunkohlenbergbau, Praxis der planmäßigen Entwässerung 395.  
 Braunkohlenflora 160.  
 Braunkohlengbiet Altenburg—Meuselwitz, Grundwasserverhältnisse 399.  
 Breccie, Höttinger, neue Aufschlüsse 421.  
 Breisgau, Mahlberg bei Orschweier, Basalt, Analyse 523.  
 Brennschiefer, Saratower Gouv., Vork. 260.  
 Breunerit, Grazer Gebirge, Paragenesis 128.  
 Britische Inseln  
   Ayrshire, Zentral, Analcim-Syenit, Crinit, Dolerit, Analysen 529.  
   Dumortierit, Vork., Grünstein und Rhyolith bei Falmouth, Granit der Scilly-Inseln, Mourne-Granit und Rhyolith von Tardree in Nordirland 528.  
   Woolley, Eruptivkonglomerate 529.  
   siehe England, Irland, Schottland.  
 Brodelerscheinungen, Spitzbergen 425.  
 Bronzit, Kácov, Böhmen, Brechung 560.  
 Bruchfaltentektonik, Kreidedruckgebirge, rheinisch-westfäl. Steinkohlenbecken 299.  
 Bruchschieferung 70.  
 Brüche, Entstehung durch Zug im schwindenden Asphalt 296.  
 Brunnen, artesische, Hydrogeologie 405.  
 Brunton-Typus des Tholeiits, Nordengland, Analysen 16.  
 Brutplätze, fossile, Wüste Nordchiles 685.  
 Budapest lößbedecktes Tongebiet, Bezirk III, Rutschungen 789.  
 Bulgarien  
   Bodentypen, Verteilung 763.  
   Erdbeben 1928 340.  
   — Forschungsergebn. 653.  
 Buntkupferkies, S. Leiro, Insel Huglo, Westnorwegen, Genesis 477.
- Buntsandstein  
   Enztal, Mineralwasser 709.  
   Odenwald, Gemengteile und Typen 461.  
   Queidersbach, Rheinpfalz, Schleifstein, Gewinnung aus einer Zone des mittleren 814.  
 Burgstädter faule Ruschel, westl. Oberharz, Tektonik 308.  
 Calcioancylit, Kola-Halbinsel, Krist., Analyse 668.  
 Calcit  
   Baikalgebiet, Verwachsung mit Plagioklas 514.  
   Gleithomboeder 75.  
 Calciumcarbonat, Ausfällung, Kalktuffe 455.  
 Caldera  
   Santorin, Traß, Andesindacit, Laven, Analysen 575.  
   Tenggergebirge, Ostjava, Entstehung 359.  
 Calderaproblem, Explosion, Einsturz, Erosion 349.  
 Calderenbildung, Krakatagruppe 660.  
 Cambrium  
   Böhmen, Tejřovice, neues Profil 551.  
   Irland, Dublin und Wicklow, Gesteine, Quarzit 30.  
   — Carrickgollogan, Gesteine 31, 33.  
 Canada (West-), Erdöl und Gas, Anwendung der Carbon-Ratio-Theorie 242.  
   westl., Wealden, Verbreitung und Ausbildung, Flözführung, Kootenay-Schichten 164.  
 Canaren siehe Kanarische Inseln.  
 Cancrinit, Bildung 5.  
 Canfieldit, Colquechaca, Machacamarca, Bolivien, Vork. 268.  
 Carbon  
   Afrika (Süd-) und Südamerika, Aequivalente 276.  
   Australien, eingeschaltete Andesite, Toscanite, Rhyolithe, Anal. 68.  
   Mährisch-Ostrauer Grubenrevier, Ganggesteine, Teschenit-Pikrite 556.  
   Niederlande, Limburg, Steinkohlen 163.  
   Nordamerika, Stratigr., Erdölführung 225.  
   Rußland, Tikhvin im Gouv. Cherepovetz, Gesteine, Pflanzen 751.  
 Carbon-Ratio-Theorie, Kohlenumwandlung 186.  
 Carbonatarme Böden, Puffervermögen 727.



- Carbonatgefügeregelung, Analysen 91.  
 Carbonatgesteine, Geschiebe und Gerölle in Konglomeraten 731.  
 Carrickgollogan, Irland, präcambrische Gesteine, Ordovicium, Cambrium 31.  
 Celebes  
 Pangkadjene und Tanette, Gesteine 586.  
 siehe Niederl.-Indien.  
 Cerhaltiger Fluorapatit, Chibina- und Lujavr-Tundren, Krist., Analyse 668.  
 Ceylon, Geologie, Charnockitgesteinsanalysen 579.  
 Chalcidon  
 Frankreich, Bildung 779.  
 Karakumy-Wüste, Mittelasien, Bildung 680.  
 Chalkopyrit siehe Kupferkies.  
 Charnockit, Ceylon, und verwandte Gesteine, Analysen 581.  
 Chemische Gleichgewichtslehre (R. MARC) 625.  
 Chert (Hornstein), Derbyshire, New Bridge, Vork. mit Lavastrom 460.  
 — Frankreich, Bildung 778.  
 Chibinit, Chibina-Tundren, Rabot-Spitze, Analyse. 666.  
 Chile  
 Erdbeben, Wirkungen, Ursachen, Epizentrum 345.  
 Niederschlagskarte 367.  
 Atacama, Salz, Kieselgur, Wüste, Stratigr. 378.  
 Grutas-Höhlen, Wüstenguano, Genesis 685.  
 (Nord-), Inselberglandschaften 381.  
 — Kordillere, Abfluß und Klima der Eiszeit 434.  
 — Rio Loa, Flußgebiet, Versalzung 383.  
 Wüstenbildung 380.  
 Chilenische Anden, Glazialgeologie 435.  
 Chilenische Küste, Karte 368.  
 China  
 Kohlenfelder, Eisenerze, Bergbauentwicklung 263.  
 Kohlenfelder im Norden 171.  
 Löß, lößähnliche Formationen, Analysen 770.  
 Chlorit, Berg-Ossetien, Rußland 496.  
 Chlorit-Quarz-Erzgestein, Gansa, Transkaukasien, Vork. 507.  
 Chloritalbitgneise, Sopron, Ungarn 562.  
 Chloritpidotglimmerschiefer, Mayombekette, Aequatorialafrika, Analyse 596.  
 Chloritschiefer, Aegypten, Wadi El Diagbag, Analyse 598.  
 Chromit  
 Bildung von Lagerstätten 103.  
 Fteri in Nordgriechenland, Vork. im Pyroxenit-Serpentin 104.  
 Singhhum, Nordindien, Vork. in ultrabasischen Gesteinen 104.  
 Tschernov und Kostohor, Nordgriechenland, Vork. im Serpentin 255.  
 Chrysothanus graveolens, Anzeiger für Grundwasser 387.  
 Chrysotil, Südquebec, Serpentinisierung des Peridotit 442.  
 Clausthaler Revier, Gangstörungen und Gangzusammenhänge 307.  
 Cleveland-Typus des Tholeiits, Nordengland 18.  
 Coloradogebiet, Wasserhaushalt, Sedimentführung des Coloradoflusses 391.  
 Columbit, bayer. böhm. Waldgebirge, Vork. 149.  
 Connemara-Marmor, Irland 35.  
 Corcovadit, Kolumbien (Süd-), petrogr. Beschr. 608.  
 Cordierit, Aberdeenshire, eisenreich, Analysen 530.  
 Cordierit-Granat-Sillimanit-Schiefer, Madras, Indien 578.  
 Cordierit-Spinell-Hornfels, Glen Zednock, Perthshire u. Aberdeenshire, chem. Zus. 531.  
 Cordillerenstruktur und Appalachen 281.  
 Costa Rica, Geographie und Geologie 661.  
 Crinanit, Zentralayrshire, Analyse 529.  
 Cuprodescloizit, Otavi, Paragenesis 141.  
 Cyanophyceen, Bedeutung für Travertinbildung 711.  
 Cycladen, Laven von Antiparos, Analysen 576.  
 Dachschiefer  
 Eifel, Koblenz-Mayen-Kaisersesch-Gerolstein, Eigensch., Tektonik 811.  
 phys. Unters., mechanisch-technologische Prüfung 798.  
 Lehesten, Thüringen, Analyse 810.  
 Dachsteinhöhlen, Alter 407.  
 Dacit  
 Pyroxen-Hyalodacit, Santorin, Eruption 1925, Anal. 352.  
 Bolivien, Oruroberg, Anal. 266.  
 Bologa, Bihorgebirge, Anal. 58.  
 Dary-Dag, Transkaukasien, Mineralkomp. 501.

- Dacit**  
 Kalaky, Transkaukasien, Mineralkomp. 504.  
 Skyros und Oxyolithos, Analysen 574.  
 Taradake, Japan, Vork. 593.  
**Dacituff**, Rumänien, Govora und Ocnița, Analysen 571.  
 Danzig, magnetische Messungen 329.  
 Deckenüberschiebung, Ostrand der Südkarpathen bei Pucegi, krist. Schiefer 305.  
 Deflation, Südwestafrika 375.  
 Deformation von Erzmineraleien und Gestein 99.  
 Delta, Schelftypen, Mississippi 438.  
**Denudation**  
 Erdfließen, Java 746.  
 Sedimentführung, Coloradofluß 392.  
 Descloizit, Otavi, Paragenesis 141.  
**Dessau**  
 Ergebnisse einer Tiefbohrung und petr. Unters. des Granits 514.  
 huminsäurereiches Wasser aus einer Tiefbohrung 709.  
 Destillation, geologische, Erdöl 199.  
 Deszendente Mineralbildungen, andines Bolivien 271.  
 Deutsch-Bleischarleygrube, Oberschlesien, Bleizinkerze 126.  
 Deutsche Bucht, Südküste, Großbrücken mit Schillbedeckung, Entstehung 457.  
**Deutschland**  
 Boden und Trockenjahre, drohende Austrocknung 692.  
 Bodenaustrocknung, drohende 692.  
 Erdbeben, Entstehung u. Abhängigkeit von geol. Verh. 653.  
 (Nord-), Vereisung, Ausdehnung, Einordnung in die Strahlungskurve 723.  
 Quellen, Bez. zum jungen Vulkanismus 704.  
 (Süd-), Karte der Schwereabweichungen 643.  
 Talsperren, geolog. Voraussetzung für die Errichtung 785.  
 Wasserkraftnutzung 386.  
 (West-), Einsetzen der saxonischen Richtungen im Jungpaläoz. 633.  
**Devon**  
 Brasilien, Uruguay, Stratigr. 277.  
 Eifel, Gerolsteiner Mulde, Dolomitierung 439.  
 Russisch-galizische Insel, Westrand, Mineralquellen 708.  
 Rußland, Tikhvin im Gouv. Cherepovetz, Gesteine 751.  
 Devon, Sauerland, Briloner Roteisen-erzlager 149.  
**Diabas**  
 (Gabbro), Böllsteiner Höhe, Bez. zu schiefri gen Amphiboliten, Schollenbildung 522.  
 Kompressibilität der Einzelmineraleien; Bedeutung für Erdbebenkunde 650.  
 (Tholeiit), Kirchheimbolanden, Rheinpfalz, techn. Verwendung 809.  
 Anzielina, Polen, Analyse 481.  
 Flüelagebiet, Graubünden 42.  
 Goslar, Auslösung tekton. Spannungen 74.  
 Karwendel, neues Vork. 14.  
 Lillafüred, Létras-Berg, Ungarn, Analyse 566.  
 Poučnik bei Beraun, magmatische Differentiation, Zeolithisierung 557.  
 Thüringen (Ost-), techn. Unters. u. Verwendbarkeit, Druckfestigkeit 803.  
 Whin Sill, Nordengland, Anal. 442.  
 Diabasmagma, Spilite vom Segosero nordöstl. vom Omega-See 493.  
 Diabasporphyr, Bobritz, Polen, Analyse 481.  
 Diableretgruppe, jung. Vulkanismus 43.  
 Diagenese, Metasomatose 439.  
 Diallag, Connemara, Irland, Vork. 36.  
 Diallagamphibolit, mittl. Kampal, Anal. 47.  
 Diallageklogit, Hollbauer, Wiefresen, Koralpe, Anal. 51.  
**Diamant**  
 Gewinnung 103.  
 Minas Geraes, Genesis 100.  
 Namaqualand, Vork. in Terrassen 147.  
 Diaphthorese, nordwestl. Waldviertel 81.  
 Diastemen, Lücken im Sediment 450.  
**Diatomeen**  
 Atacama, Kieselgurhorizonte, Arten 378.  
 Chile (Nord-), Vork. im Wüsten-guano 685.  
 Kalifornien, Muttergestein für Erdöl 239.  
 und Bitumengehalt, Dysodil 190.  
 Dicke von Dünnschliffen 3.  
 Differentiate, Basalt von Stöffel im Westerwald 515.  
**Differentiation**  
 Gesteinstypen 2.  
 von Magmen, Erzlagerstättenbildg., andines Bolivien 269.

- Differentiationsprozesse, magmat. 466.  
 Differentiationstypen postmesozoischer  
 Vulkangebiete, kritische Zusammenfassung 6.  
 Diluviale Vergletscherung, Bucegi in  
 Südkarpathen 429.  
 Diluvialgeschiebe, Stauolithglimmerschiefer, Aegirinläolithsyenit, Gouvern. Wiatka, Rußland 493.  
 Diluvium  
 Bodenstruktur, Eisbewegung und Eisbelastung 719.  
 Eisvorstöße und Meeresspiegelschwankungen 632.  
 Klimagebiete, Verschiebung 683.  
 Bayrischer Wald, letzte Eiszeit 723.  
 Böhmen, Egertal, lose Gesteine 559.  
 Böhmer Wald, Gletscher zur Eiszeit 723.  
 Chilenische Anden, Glazialgeologie 435.  
 Deutschland (Nord-), Ausdehnung der Vereisungen und Einordnung in die Strahlungskurve 723.  
 — — Einfluß auf die Oberflächengestaltung 632.  
 Laacher Seegebiet, Differentiation der Magmen, leucitführend 515.  
 Lech-Illerplatte, Ablagerungen, Gliederung und Zeitrechnung 721.  
 siehe auch Eiszeit, Quartär, Glazial.  
 Dinarisches Gebirge Altösterreichs, Kohlenlager 164.  
 Diopsid  
 Auskristallisation 1.  
 Dary-dag, Transkaukasien, optische Eigensch. 501.  
 Maryland, im Pegmatit 106.  
 Diorit  
 (Hypersthen-), Sahara, oued Ahali, Ahaggar, Analyse 597.  
 (Quarz-), Böhmen, Proseč, Analyse 550.  
 (Quarz-Biotit-), Oberösterreich, Zersetzung 755.  
 andines Bolivien, cretacisch 269.  
 Arktis, Südostisland, Analyse 621.  
 Kedabek, Gouv. Elisawetpol, Kaukasus 499.  
 Lammkogel, Lainsach, Gleinalmkern, Anal. 48.  
 Peru, Alter 64.  
 Stafford Co., Virginia, Analyse 605.  
 Spango Water, Südostschottland, Anal. 26.  
 Dioritähnliche Gesteine, Ceylon, Pusselawa, Analyse 583.  
 Dioritaplit und -pegmatit, Szarvaskö, Analysen 564.  
 Dioritmagma, Vulkan Keloet, Java, chem. Zus. 357.  
 Dioritporphyr, Loja, niederösterreich. Waldviertel, Anal. 44.  
 Dirschenit, Hauptdolomit von Seefeld, Vork. 208.  
 Dislokationen und Verzerung 99.  
 Distichlis spicata, Anzeiger für Grundwasser 387.  
 Dolerit  
 Achtala, Transkaukasien, petrograph. Unters. 511.  
 Afrika (Südwest-), Karroo, Decken, Gänge, Stöcke 601.  
 — (Süd) 318, 601.  
 Gondwanaformation, Südamerika 66.  
 Scawt Hill, Co. Antrim, Irland, Kontakt gegen Kalkstein 474.  
 Sozietätsinsel Mehetia, Analyse 617.  
 — Sous-le-Vent, Analyse 615.  
 Whin Sill in Nordengland, Anal. 442.  
 Doleritischer Basalt, Yabak, Südanam, Analyse 591.  
 Doleritischer Ankaramit, Insel Heard, Vork. 624.  
 Dolinen  
 Fränkische Schweiz 711.  
 Mississippian von Kansas, Bild. 712.  
 Dolomit, Oklahoma (West-), Vork. 783.  
 Dolomitisation, Nordkaukasus 781.  
 Blei-Zinkerzlagerstätten, Oberschlesien 126.  
 Devon, Gerolsteiner Mulde 439.  
 Dolomitknollen, Flora, Verbreitung 159.  
 Dominika, Mittelamerika, Geologie 59.  
 Donautal, Bildung im Schwarzwald 694.  
 Donauversickerung und Aachquelle, geol. und hydrolog. Verh. 695.  
 Doreit, Sozietätsinsel Sous-le-vent, andesitische Fazies mit glomerophyrischem Andesin, Analyse 615.  
 Doreitischer Basalt, Marquesas-Insel Ua—Pu, Vork. 619.  
 Drehwaage, Eötvöschs, Eignung für prakt. Geologie 320.  
 gravimetrische Messungen in versch. Gegenden 334.  
 Druck, Erdkruste in verschiedenen Tiefen 642.  
 Druck und Druckentlastung bei Massenbewegungen 296.  
 Druckfestigkeit, Basalt, Limburgit, Nephelinbasanit, Diabas 803.  
 Druckgas zur Rohölförderung 177.  
 Druckleitungsformen, Gesteinsauflösung in Höhlen 408.



- Druckschieferung, variskischer Gebirgskörper 70.
- Drumlins, Entstehung 721.
- Dublin-Distrikt, Irland, Geologie 31.
- Dünensand, Petrologie 444.
- Dünnschliffe aus leichtzerbrechlichem Material, Bakelitmethode 2.
- Dürkheim, Quellen, Hydrogeologie 706.
- Düsseldorf, Rhein und Grundwasser, Bez. 396.
- Dumortierit  
Britische Gesteine, Vork. 528.  
Cornish-Granit, England, Vork. 19.
- Dunit  
Definition, Mineralkomponenten 471.  
plutonischer, St. Pauls-Felsen, metamorphosiert durch Pressung 629.
- Ebbe- und Flutrichter, Außenjade, Aufbau von Großbrücken mit Schillbedeckung 457.
- Ecca-Serie, Kalahari, Südafrika und Paganzo in Uruguay, Aequivalente 277.
- Ecuador, Sumaco, andesitischer Te-phrit, Anal. 65.
- Edelsteine, Ceylon, Vork. 584.
- Eder-Gold, Waldecker Eisenberg bei Corbach, Rhein, Schiefergebirge, Natur und Gewinnbarkeit 252.
- Egertalgebiet zwischen Warta und Kaaden, Gesteine, Feldspatamphibolit, Analyse, Tertiär, Diluvium, Alluvium 559.
- Eifel  
Dachschieferlagerstätten, Eigensch., Entstehung, Tektonik 811.  
Gerolsteiner Mulde, Dolomitisierung des Mitteldevon 439.
- Eine und Hakel, geolog. Bau des dazwischen gelegenen Gebietes 300.
- Einkieselung, Quarzitbildung, Brüxer Gegend 537.
- Einsickerung, Grundluftspannung, Wirkung auf Grundwasser 393.
- Einsturzalcaldera, Sandsee, Tengger, Entstehung 350.
- Eis  
Eisformen, Gliederung 718.  
Ewige Gefornis Sibiriens 430.  
Spitzbergen, Bewegung 425, 426, 427.  
Wirkungen 725.  
Eisbewegung, Apparatur hierzu 720.  
Eisdickenmessungen von Gletschern, Wellengeschwindigkeiten von See-Eis 720.  
Eisen, Transport in Seewasser 143.  
Eisen-Kupfersulfide, Hydrolyse und Oxydation 113.
- Eisen- und Manganerze, Chvaletice, Mittelböhmen, metasomatisch 134.
- Eisenerze  
Amberg, Herkunft des Eisens, Phosphors und der Edelerden 148.  
Celebes, Südwestarm, Paragenesis 108.  
Ceylon, nördl. Trincomalce, Vork. 584.  
China, Liautung-Massiv, Hsurantung, Taihan, Hunan 263.  
Sibirien, Abakan, Uspensky 131.
- Eisenerzkonzentration, Vermilion-Distrikt von Ontario und Minnesota 148.
- Eisenfamilie, Naturgeschichte 364.
- Eisenformation, Lake Superior, Metamorphismus, Grünerit, Vork. 605.
- Eisengehalte im Seewasser, Quebec u. Ontario, Best. 142.
- Eisenkonkretionen, Bienhoa, Cochinchina, chem. Zus. 746.
- Eisenocker, Uljanow und Kostly, unt. Wolga, Vork., chem. Zus. 260.
- Eisenoxyde, Lösungsversuche in organischen Säuren 142.
- Eisenquarzit, Krivoy Rog, gravimetrisches Prospektieren 337.
- Eisenquellen, Deutschland, Schüttung 706.
- Eisensilikate in Böden bei tropischer Verwitterung 749.
- Eisenspat  
Amberg, Entstehung 149.  
Bisbee, Arizona, Paragenesis 145.
- Eisen- und Manganverwitterungslagerstätten 146.
- Eiserner Hut, zelliges Brauneisen 145.
- Eisgestaute Seen und Rezession des Inlandeises in Estland, Niveaushiftungen 424.
- Eishöhlen, statische und dynamische, Tinnengebirge, Eiskrist. 408.
- Eiskristalle, Wachstum in Böden bei Frost 434.
- Eisschuberge, Rigaischer Meerbusen, Südrand 720.
- Eiswirkungen, Klimaschwankungen 414.
- Eiszeit  
Abschmelzen des Eises 632.  
Klima in der nordchilenischen Kor-dillere 434.  
letzte, klimatische Hauptfaktoren, Bänderton-Vork. 415.  
Perm, Australien, Bändertone und Gletscherschliffe 726.  
Stand des Meeresspiegels vorher 416.  
Ursachen 717.

- Eiszeit  
 Verschiebung der Klimagebiete 683.  
 Alpen, Höttinger Breccie, neue Aufschlüsse 421.  
 Asien (Zentral-), Nordabhang des Kitschik-Alai, Spuren 431.  
 Bornholm, Bildungen und Eintauchen im baltischen Eissee 818.  
 Karpathen (Ost- und Süd-), Spuren 429.  
 Sudetenrand, Inlandeis 724.  
 — siehe auch unter Diluvium.  
 Eiszeitgletscher, Bucegi in Südkarpathen, Rumänien 429.  
 Eiszeitstudien, Serra da Estrela, Portugal 428.
- Eklogit  
 Koralpe, Ostalpen, Anal. 50.  
 Silden, Nordfjord, Kompressibilität seiner Mineralien 651.  
 Wiesental i. Erzgeb., Vork. 14.  
 Ekne-Orogenese, Norwegen 303.  
 Ekzem, Hallstätter Salzberg 302.  
 Eläolith, Brasilien, Sta. Catharina, Differentiation mit Kalk zu Pyroxenolith 612.
- Elbegebiet, Hamburg, Grundwasserträger 398.  
 Elektrische Bodenforschung 336.  
 Elektr. Bodenuntersuchung, Nieder-Indien 646.  
 Elektrische Leitfähigkeit der oberen Bodenschichten 335.  
 Elektrische Untergrundforschung, verschiedene Anwendungsgebiete 329.  
 Elektrische Untersuchungsmethoden für Erze 645.  
 Elektrische Verfahren zur direkten Auffindung von Erdöllagerstätten 191, 330.  
 Elektrum, Simau in Res. Benkoelen, Vork. 125.
- Elemente  
 geochemische Migration, Bedeutung 663.  
 Häufigkeit in der Erdkruste 365.  
 Elliptizität des Erdäquators 320.
- Elsaß  
 Oligocän, zwischen Ohlungen und Steinsalz, variskisch streichendes Senkungsgebiet 289.  
 Pechelbronn, geothermische Tiefenstufe, Radioaktivität, Erdölgebiet 330.  
 Embatholithische Lagerstätten, Genesis 96.
- Enargit, Laurani, andines Bolivien, Lagerstätte 270.  
 Endobatholithische Lagerstätten 96.
- England  
 Cardiff-Gebiet, Old Red-Sandstein, Mineralvork., bes. dunkler Apatit 27.  
 (Nord-), Tholeiit, Typen, Anal. 16.  
 — Whin Sill, Metasomatose, Analysen von Silikaten 440.  
 Wash, Sedimentation 780.  
 siehe Britische Inseln.
- Enstatit-Dunit, Mineralkomp. 471.  
 Entglasung, Sonnenbrenner, mechanischer Zerfall 526.  
 Entwässerbarkeit von Sanden, Verfahren 395.
- Entwässerung  
 Moore, Großbeeren 387.  
 planmäßige, im Braunkohlenbergbau 395.  
 tonreicher Schichtstöße 789.
- Eocän, Napajedl, Karpathen, Falte, Erdölvork. 212.
- Epeirophorese, seitliche Kontinentbewegung 627.
- Epiatholithische Lagerstätten 95.
- Epidot  
 Alfta in Mittelschweden, opt. Eigenschaften, Vork. im Helsinkit 478.  
 Dary-dag, Transkaukasien, Vork. im Skarn 502.  
 Epidot-Amphibolit, Rumänien, Şarul Domei, Jud. Câmpulung, Analyse 567.
- Epidotit, Mayombekette, Aequatorialafrika, Analyse 596.
- Erdäquator, Elliptizität 320.
- Erdbeugeologie, Stoßstauchung des Baugrundes, Rutschungen, Entwässerung, Bodenwasserverhältnisse 788.
- Erdbeben  
 Fernbebendiagramme 343.  
 Laufzeitkurven 652.  
 Literaturverzeichnis 339.  
 Verteilung 282.  
 Appennin 1927 und 1928 340.  
 Bulgarien 1928 340.  
 — Forschungsergebnisse 653.  
 Chile, Wirkungen, tektonischer Charakter 345.  
 Deutschland, Entstehung und Ausbreitung in Abhängigkeit von den geolog. Verh. 653.  
 Japan, Tokyo, Ursache 654.  
 Jerusalem, neue 341.  
 Kii-Halbinsel bei Osaka, Japan 342.

- Erdbeben**  
 Kwantó-Distr., Japan, Mareogramme der Küstenstationen 343.  
 Neuseeland 344.  
 — 16. 6. 1929 343.  
 Nederl.-Indien, Vulkanismus 658.  
 Nordamerika, westl. Ver. St., Ursache 651.  
 Pazifischer Ozean, im Lichte physikalischer Erdgeschichte 648.  
 Rheinland 13. 12. 1928, Herdtiefen 340.  
 Sagami-Bay, Japan 1. 8. 1923 341.  
 Tango, Verwerfungsbildung 294.  
 Vereinigte Staaten 1925—1927 344.  
**Erdbebenepizentren, fraglicher Zusammenhang mit jungen Gebirgsketten** 283.  
**Erdbebenkunde, Einführung** 648.  
**Erdbebenwellen, Theorie** 339.  
**Erde**  
 Eisenfamilie, Verteilung darin 364.  
 Entwicklung, Hypothesen 319.  
 Klimafaktoren und Zonen 366.  
 Kontinentalverschiebungstheorie 273 bis 284, 627.  
 gegenwärtige vulkanische Tätigkeit 348.  
**Erdentwicklung, Panzerung mit Kontinenten** 285.  
**Erdfarbe Wolchonskoit als Färbemittel, Anwendung** 814.  
**Erdfarben, Uljanow und Kotjakow, unt. Wolgagebiet, Vork.** 260.  
**Erd- und Felsarbeiten, Bewegungen des anstehenden Bodens** 792.  
**Erdfließen, Java, Bandjamegara** 746.  
**Erdgas**  
 Heliumgehalt, Genesis 190.  
 Sisak, Oesterreich, Bohrprofil eines Brunnens 209.  
**Erdgeschichte, afro-amerikanische Landmasse** 278.  
**Erdgestalt, gravimetrische Bestimmung** 320.  
**Erdinneres**  
 Asthenosphäre (Fließzone) 640.  
 geotherm. Tiefenstufe, Oklahama, Texas 324.  
 Massen-Verteilung 321.  
**Erdkruste**  
 Gliederung, Gebirgsbildung, Grenze gasflüssig-kristallinisch 643.  
 Häufigkeit der Elemente 365.  
**Erdkrustenbewegungen**  
 Nordwestdeutschland und Küstengebiet, Feinmessungen 291.  
 oberes Lechtal und Flexengebiet 287.
- Erdkunde, Grundzüge der vergleichenden (A. SUPAN-OBST)** 625.  
**Erdmagnetisch** siehe auch magnetisch.  
**Erdmagnetische Landesaufnahme in Bayern** 327.  
**Erdmagnetische Messungen**  
 Freistaat Danzig 329.  
 Lichtenwörther Gegend und am Steinfeld, Niederösterreich 328.  
**Erdmagnetische Störungen in Ostpreußen** 644.  
**Erdmagnetisches Feld, Messung der horizontalen Störungskomponente** 645.  
**Erdmagnetismus, Vereinigte Staaten, Geschichte und Instrumentenbau** 644.  
**Erdoberfläche, geol. Bedeutung von Regen, Tau** 625.  
**Erdöl**  
 Entstehung aus Faulschlamm 187.  
 Entstehung aus Kohlenflözen (?) 190.  
 Filtrierung durch  $\text{SiO}_2$ -Filter 203.  
 Geländeaufnahmen, Methoden zur Feststellung 205.  
 und Salzstöcke, Texas 231.  
 geologische Destillation 199.  
 geothermische Tiefenstufe 192.  
 Gewinnung und Aufsuchen, Bohrung 173.  
 Nomenklaturen 194.  
 tektonische Geburt 633.  
 Theorien über Bildung, neue 189.  
 Verwässerung von Lagerstätten 189.  
 Baku, Schlammkegel 218.  
 Bolivien (Süd-), Industrie 246.  
 Brasilien, Staaten Maranhao bei Codó, São Paulo, Santa Catharina 169, 247.  
 Cap rocks of Oil sands, Proben gesucht 464.  
 Golfküste, Gewinnung 173.  
 Griechenland, Vork. 215.  
 Hannover, Erdtemperaturen 192.  
 Hausham, Spuren in Kohle 206.  
 Horst—Wipshausen und Nienhagen 206.  
 Jabtonica am Prutec-Bach, Vork. 211.  
 Japan, Murakami, Oishida, Noshiror, Shinjo, Daishaka, Ogashima, Tutsui-Felder, Geologie 250.  
 Kalifornien, versch. Gebiete 241.  
 Madagaskar, Westküste bei Bemo-langa, Anzeichen 247.  
 Mexiko, Panuco, Kreide, Stratigr., Tektonik 243.  
 Molukken, Bitumen, Asphalt 248.



## Erdöl

- Oberg, Hannover, Vork. im Dogger-sandstein 206.  
 Oesterreich, Vork. im Wiener Becken und Alpenvorland 208.  
 Oklahoma u. Texas, geotherm. Tiefenstufe 323.  
 Pechelbronn i. Elsaß, geotherm. Tiefenstufe 330.  
 Peru, Vork. im Tertiär 246.  
 Polen, Boryslawer Gegend, Pionierbohrungen 211.  
 — Mraznica, Oligocän, Stratigr. 211.  
 Rumänien, Geol., Tektonik, Bildung, Wanderung 213.  
 Rußland, chem. Zus. 201.  
 — Stand der wissenschaftl.-technolog. Kenntnis; Aufsuchen 215, 217.  
 Sachalin (Nord-), russischer Erdölbergbau 219.  
 Ural, neue Vork. 218.  
 Utah, San Rafael Swell, Carbon bis Kreide 234.  
 Vereinigte Staaten, Dichtebest. 223.  
 — Vork., Produktion 219.  
 — siehe auch Gas.  
 Erdöl und Salzstock, Nordwestdeutschland, Zusammenhang 204.  
 Erdöl und Wasser 177, 180.  
 Erdölförderung mit Druckgas oder Druckluft 177.  
 Erdöl-gase und andere Gase, Unterscheidung 199.  
 Erdölgeologie (E. R. LILLEY) 172.  
 Erdölgeologische Karten, Streichen u. Fallen, Zeichen 309.  
 Erdölhoffige Gebiete, Oststeiermark 209.  
 Erdöllagererschöpfung 200.  
 Erdöllagersäten  
 elektr. Verfahren zur Auffindung 330. der Welt, Ueberblick 206.  
 Erdölproduktion, Methoden 178.  
 Erdölsande, Trinidad, Tertiär—Kreide 245.  
 Erdölschurfböhrungen, Rußland 217.  
 Erdrinde  
 Konstitution, Erforschung der ersten 100 km 642.  
 tektonische Bewegungen, jüngste 287—294, 632.  
 Erd- und Sonnenmagnetismus, Ursache 644.  
 Ergußgesteine  
 Brüxer Umgebung, Vork., Mineralbestand, Analysen 540.  
 Japan, Dôgo-Insel, Vork. 594.  
 zeitliche Eruptionsfolge 7.  
 Erosion, Calderaproblem 349.

## Erosion

- glaziale, Alaska, Talweitung 417.  
 Grundwasserspiegelveränderung 373.  
 Küstenveränderungen, Gezeiten 627.  
 Lagunen, Barrierenriffe, Bildung durch Auslaugung 784.  
 Erratischer Block, Natron-Quarz-Hel-sinkit, Alfta in Mittelschweden, Analyse, Mineralkomp. 478.  
 Erstarrungsverlauf eines Magmas 2.  
 Eruptionen siehe Vulkanismus und Vulkan.  
 Eruptive Lagerstätten, Bildungs-umstände 96.  
 Eruptivgesteine  
 Differentiation, Temperaturen 4.  
 glasilige, Klassifikation 473.  
 und kristalline Schiefer, Racovät, Jud. Mehedinti, Südkarpathen 571.  
 magmatische Differentiationspro-zesse 466.  
 Perm, Thüringer Wald, provinzielle Stellung 10.  
 mit Zeolithen 474.  
 Aegäisches Meer, Dacit, Andesit, Analysen 574.  
 Alpen-Zentralmassiv, Tertiäralter 42.  
 Draudurchbruch 57.  
 Euler Zone in Mittelböhmen und Is-land, granophyrische Verwach-sungen, Quarz und Feldspat 553.  
 Gleichenberg, Ostalpen, Chemismus 53.  
 Gondwanaformation, Südamerika 66.  
 Pannonische Senke 78.  
 Poučnik bei Beraun, magmatisch differenziert im Komplex der ordo-vizischen und silurischen Diabase 557.  
 Rußland, Gouv. Woronesch 489.  
 Ungarn, Savóstal bei Lillafüred, Ana-lysen 564.  
 Ural, Mugodschargebirge, Vork. 512.  
 Wei-tchangmassiv, Tchéli nördl. der Großen Mauer im Distr. Jehol 593.  
 Eruptivgesteinstypen 1.  
 Eruptivkonglomerat, Randzone des Dartmoor-Granites 528.  
 Erz- und Mineralbildung 94.  
 Erz- und Mineralgänge, Entstehung, Bez. zu Magmen 97.  
 Erz-anreicherung, Hauptrolle des Was-sers 103.  
 Erzfälle in azendenten hydrothermalen Erzgängen, Entstehungsbedin-gungen 98.  
 Erzgänge, Harz, oberer, Gangstörungen und Zusammenhänge 307.

**Erzgangbildende Lösungen**, Natur 98.

**Erzgebirge**  
angebliche eiszeitliche Vergletscherung 723.  
östl., Brüche und Porphyreffusionen 91.  
Wiesenthaler Gegend, Amphibolgesteine, Eklogite 14.

**Erzgebirgsrand** zwischen Keilberg und Klösterle, Geologie des kristallinen Grundgebirges 87.

**Erzkörper**, sphärischer, Bilder der Isolinien des elektrischen Feldes 335.

**Erzlagerstätten**  
Allgemein.  
Bezieh. zu Batholithen 95.  
Einführung (F. X. HATCH) 93.  
Entstehung 93.  
Erforschung durch Potentialmethode 645.  
Geochemische Migration der Elemente, Turkestan, Uran-Vanadium-Grube, Tuja-Mujun 672.  
magmatische Emanation 96.  
— Entstehung 102.  
magmat. und sedim. Erze (G. FREBOLD) 93.  
Tektonik, Verknüpfung damit in Südamerika 100.  
Nach Metallen geordnet  
Antimonit, Acora, Südpeteru 119.  
Blei-Kupfer-Silber-Zinkerzlagerstätte Offberg i. Remschnigg, Genesis 129.  
Blei-Kupfer-Zink, Vanadium-Erze, Otavi-Bergland, Paragenesis 138.  
Blei-Zink-Kupfererze, Sudbury, hydrothermal 604.  
Blei-Zink-Manganerze, Janjevo am Amselfeld, Nordmazedonien 123.  
Blei-Zinkerze, Grazer Gebirge, Genesis 127.  
— Mississippi-Missouri-Gebiet, Genesis 118.  
— Oberschlesien, Deutschscharleygrube 126.  
— Schauinsland i. bad. Schwarzwald, Genesis 117.  
— Schönstein bei Cilli, Jugoslawien, Paragenesis 132.  
Blei-Zinkerzgänge, Bolivien, Ostanden 268.  
Bleiglanz, Ribeirão da Prata, Brasilien, Paragenesis 120.  
Buntkupferkies, Pyrit, Huglo-Insel, Westnorwegen, Genesis 477.  
Chromit, Entstehung 103.  
— Griechenland, Fteri, nördlich des Olymp 104.

**Erzlagerstätten**  
Chromit, Singhbhu, Nordindien, Vork. in ultrabasischen Gesteinen 104.  
— Tschernovo, Kostohor, Nordgriechenland, Vork. im Peridotit 256.  
Eisen-Kupfererze, Celebes, Südwestarm, Paragenesis 108.  
Eisen- und Manganerze, Chvalteice, Mittelböhmen, Genesis 134.  
Eisenerze, Amberg, Herkunft des Eisens, Phosphors und der Edelerden 148.  
— China, Liautung-Massiv, Präcambrium der Berge Hsuanhua, Taihan 263.  
— Daschkessan, Transkaukasien 259.  
— Hämatitjaspilit, Agawa-Eisenformation im Vermilion-Bezirk 148.  
— Rußland, Abakan in Sibirien und Uspensky in Kazakstan 131.  
Gold, Eisenberg bei Corbach, Ost- rand des Rhein. Schiefergebirges, Natur und Gewinnbarkeit 252.  
— Venezuela, Guayana Hochland, in Quarzgängen 113.  
— Gold-Kupfer-Mine, Stewart, B. C. 113.  
Gold-Silbererze, Simau, in Benkoelen 124.  
Hämatit, Wabana, Neufundland 149.  
Kupfererze, Akmolinsk, Kazakstan, Uspenskygrube, Paragenesis 131.  
— Bolivien, Corocoro 101.  
— Chile, Tocopilla, Paragenesis 112.  
— Jawornitza, Nordgriechenland, Vork. im Serpentin, Anal. 255.  
— Michigan, Lake Superior, Genesis 114.  
— Ural, südl., Bork-Usiak. 256.  
Kupferglanz, Otavi, Paragenesen 139.  
Kupferschiefer, Mansfelder Mulde, Gliederung des Liegenden, Genesis 146.  
Magnetit, Caribou, Colo., Ver. Staaten 338.  
Magnetit, Cornwall in Pennsylvanien, Genesis 107.  
— Daschkessan, Transkaukasien 259.  
— Persien 262.  
Manganerze, Rumänien, Şarul Dornei, Jud. Câmpulung 567.  
Nickel-Magnetkies, Sudbury, magmatisch 604.  
Nickelkobalterze, Zinkwand-Vöottern in den Niederen Tauern bei Schladming 123.

- Erzlagerstätten  
 Platin, Birbir, Abessinien, Vork. im Dunit 105.  
 — Transvaal, Entstehung, Verlagerung 371.  
 — Washington, Vork. im Küstensand 147.  
 Quecksilbererze, Terlingua, Brewster Co., Texas, Zinnober im Ton 146.  
 Roteisenerz, Brilon, Mitteldevon, Genesis 149.  
 Silbererze, Kolumbien, Mineralien 611.  
 Stannin, Bolivien, Vila Apacheta 267.  
 Uran-Vanadium-Grube, Tuja-Mujun in Turkestan, geochemische Migration 676, Geologie 476.  
 Vanadiumerze, Otavi, Paragenesis 141.  
 Wolframit-Zinnerz, Encruzilhada, Brasilien 110.  
 Zink-Bleierze, Grazer Gebirge, Ostalpen 127.  
 — Mississippi-Tal 119.  
 Zink-Blei-Silbererze, Bolivien, Ostanden 268.  
 Zinkblende, andines Bolivien, Porvenir de Huanuni 270.  
 — Georgenthal-Untersachsenberg i. Vogtland 126.  
 Zinnerz, Bolivien, Ostanden, Paragenesis 267.  
 — — Uncia-Llallagua bei Oruro, Genesis 111.  
 — Eibenstock i. Sa., Paragenesis 109.  
 — Siam, Vork. und Bergbau 108.  
 Zinnkies siehe bei Stannin.  
 Zinnoberführende Tone in Schloten, Texas, Terlingua, Brewster Co. 146.  
 Zinnstein, andines Bolivien 271.
- Regional
- Mazedonien (Nord-), Janjevo am Amselfeld, Blei-Zink-Manganerze 123.  
 Nordamerika, Alaska, Skwentna-Region und Sheenjek River-Distr., Aniakchak-Distr. 265.  
 — Nevada, Vork. und Bergbau 265.  
 Persien, Uebersicht, Stand von Gewinnung und Verhüttung 261.  
 Siegerland, Silber, Revier bei Müsen, Stratigr. und Tektonik 121.  
 Südamerika, Andines Bolivien, Zinnstein, Kupferkies, Zinkblende, Franckheit, Fahlerz, Sulfosalze 270.  
 — Kolumbien, Gold, Eisen- und Kupferkies, Sulfosalze, Antimonit, Wolfsbergit u. a. 611.
- Erzlagerstätten  
 Südamerika Verknüpfung mit den großtektonischen Einheiten 100.  
 Otavi, Exkursionsführer 135.  
 Tirol und Vorarlberg, Bergbau, Minerallagerstättenkarte Südtirols 253, 255.  
 Erzlagerstättenkunde (G. FREBOLD) 93.  
 Erzmagneten 96.  
 Erzmarmor, Uran-Vanadium-Grube Tuja-Mujun, Turkestan, geochemische Migration 676.  
 Erzpölierung 465.  
 Estland, eisgestaute Seen und Rezession des Inlandeises 424.  
 Essexit  
 Gomera, Weg Agula nach Valle Hermoso, Analyse 614.  
 Madagaskar, Tal des Voandrozo und Sandrakoto, Mineralbestand, Analysen 603.  
 Essexit-theralithische Differentiate im Basalt von Stöffel, Westerwald, Analysen 515.  
 Essexitbasalt und -porphyr, Stöffel, Westerwald, Analysen 516.  
 Etschgebiet, Bozen—Kalterer See, Glazialbildungen 422.  
 Endialyt  
 Chibina- und Lujavr-Tundren, Vork. 669.  
 Kola-Halbinsel, Analyse 107.  
 Euganeen, Vulkanismus und alpin-dinarische Faltung 655.  
 Eukolit-Albitgang, Chibina- und Lujavr-Tundren, Kola, Analysen 666, 673.  
 Europa, Mitte, Bau und Bewegungen von Gebirgen 312.  
 Exkursionsführer XV. Intern. Geol. Kongreß 1929, Südafrika, Otavi-Bergland und seine Erzlagerstätten 135.  
 Experimente, Mechanik der Massenbewegungen 296.  
 Explosion und Einsturz, Calderaproblem 349.  
 Färbemethoden in der Gesteinsuntersuchung 799.  
 Färbung  
 Gesteinszerrüttungsstreifen 803.  
 von Gesteinen mit Fluoreszeinlösung oder Mineralölen, Betrachtung mit der Ultralampe 796.  
 Fahlerz, Chocaya, andines Bolivien, Paragenesis 272.  
 Falcon-Insel, Tonga-Gruppe, Vulkanismus 1927 363.



- Fallen und Streichen, Zeichen auf  
erdölgeol. Karten 309.
- Falten, Fiederspalten, Schleppungen,  
Skandinavien, Nordamerika, Mit-  
teleuropa 314.
- Faltung  
Dachschiefer, Eifel 811.  
jüngste, Süd- und Mitteleuropa 293.  
Alaska bis Mexiko 281.  
Appalachen 637.  
mittelrheinische Masse 299.  
Norwegen, Phasen 302.  
Osning, Überschiebungs-, Absche-  
rungs- und Zerrungstektonik 635.  
Ozeanboden, Balboa-Tahiti 307.  
Südamerika, Bez. zu den magma-  
togenen Lagerstätten 100.
- Faltungs- und Verwerfungsmechani-  
smus 633.
- Fanglomerat, Südwestafrika 375.
- Farbeständigkeit von Gesteinen für  
bautechnische Zwecke 797.
- Faulschlamm  
Alluvium, Kaiser-Wilhelm-Kanal,  
Ostseemündung, chem. Unters. 200.  
Erdölentstehung 188.
- Felsophyrit, Obercambrium, Tejšovice  
i. Böhmen, Analyse 552.
- Feldspat  
im Augengneis, Analysen 476.  
authigen, im krist. Kalk, Ordo-  
vicium, Glens Falls, New York 444.  
— Vork. 774.  
Erkennung durch Anätzen mit HF  
und Behandlung mit Natrium-  
kobaltinitrit 2.  
Magmenaukristallisation 4.  
Quarz, granophyrische Verwachsung,  
Euler Zone in Mittelböhmen und  
Island, Analyse 553.
- Quarz, vorteilhaftestes Mengenver-  
hältnis im Granit als Straßenbau-  
material 809.
- Ton- und Kaolinbildung 728.
- Baikalgebiet, Bildung aus Skapolith  
514.
- Berg-Ossetien, Rußland, Plagioklas-  
Analyse 495.
- Cheeby, Böhmen, Zwillingsgesetze;  
13. Gesetz 558.
- Kalb Junction, New York, Lager-  
stätte 105.
- Penig i. Sa., Zersetzung 728.
- Feldspat-Amphibolgneis, Altenhof,  
niederösterreich. Waldviertel 549.
- Fennoskandia, Niveaushiftungen,  
Anteil der eustatischen Kom-  
ponente 293.
- Fenster, Virginia, südwestl., im paläoz.  
Gebirge 305.
- Ferberit, Bolivien, Colquiri, Vork. 267.
- Ferghanit, Tuja-Mujun, Turkestan,  
chem. Zus. 677.
- Fernbendiagramme, Einsätze 343.
- Ferner Osten, Entwicklung des Berg-  
baus, Kohle und Eisenerze in  
versch. Gegenden 262.
- Festigkeit, Mörtelzusatz Traß und  
Sandmehl 815.
- Festigkeitsbegriff bei natürlichen Ge-  
steinen 801.
- Festland siehe Kontinent.
- Feuerstein, Bildung und Verbreitung  
460.
- Fichtelgebirge, Mineralklüfte 526.
- Filterbrunnen, Grundwassersenkung  
793.
- Finnland  
große Randmoräne, Salpausselkä  
722.  
Juuka-Kirchspiel, Nunnanlahi, Topf-  
stein, Vork., Analyse 816.
- Flexengebiet, Erdkrustenbewegungen  
287.
- Fließen und Brechen, Wechsel und  
Bewegung der Gebirge 313.
- Fließen und Rutschen, Bodendichte  
792.
- Fließgrenze, Wassergehalt 787.
- Fließschichten, Potzberg—Königsberg-  
Gebiet, Rheinpfalz 315.
- Fließzone, Asthenosphäre, metamorphe  
Orogenese 640.
- Flint, Karakumy-Wüste, Mittelasien,  
Bildung am Schwefelhügel 680.
- Flintton, Brüxer Gegend, degradiertes  
Laterit, Analyse 541.
- Flözasche, Brüx—Wteln, Analyse 542.
- Floßberggang, Steinbach—Atterode,  
Thüringer Wald, Mineralgehalt 12.
- Flüelagruppe, Graubünden, Geologie  
und Petrographie 39.
- Flugsand  
Bornholm, Gebiet von Rönne, Vork.  
mit Podsol, Bleichsand 817.  
roter, Otavi-Bergland, Genesis 136.  
Südwestafrika, Zus. 376.
- Fluorit  
Böhmen, Pelhřimov, Vork. im  
Granitporphyr 553.  
Kentucky, südl. Illinois, Lager-  
stätten 815.
- Flüsse  
Geschiebewegung 392.  
Schwarzwald, Abfluß und Nieder-  
schlag 391.

- Flüsse, Transport und Ablagerung, Süd- und Südwestafrika 374.
- Flußbecken Terek und Kuma im Nordkaukasus, geol. und hydrogeol. Uebersicht 387.
- Flußeis, Entstehung gekritzter Geschiebe 418.
- Flußgefälle, Triberg, Schwarzwald, Ursache der gesetzmäßig-abnormen 693.
- Flußkies höherer Terrassen, Rekonstruktion des Flußzustandes 694.
- Flußsäure, Anätzen von Gesteinen 2.
- Flußspat  
Dwina-Fluß, nördlich, Lagerstätten 112.  
Thüringer Wald, Lagerstätten 10.
- Fluviatiler Transport perennierender Flüsse, Südwestafrika 374.
- Fogarascher Bogen und Jutal, krist. Kalke, Glimmerschiefer, eingefaltete Sedimente 568.
- Fortunit, Murcia Prov., Spanien, Vork. 534.
- Foyait, Kola, Tschafnatschorr, Analyse 666.
- Fränkische Schweiz, Dolinen 711.
- Franckeit, Chocaya, Bolivien, Paragenesis 271.
- Franken  
Höhlen, Druckleitungsformen durch Gesteinsauflösung 408.  
Muschelkalkstratigraphie 777.
- Frankenberger Zwischengebirge, Sachsen 86.
- Frankreich  
Böden, Oisans, Rolle des Schwefels 760, 763.  
Kieselgesteine, Entstehung 778.  
Boulogne-sur-Mer, Hydrogeologie 403.  
Paris, Wasserversorgung 402.  
Pyrenäen und Cevennen, Gesteine 531.  
Rhone, Wasserhaushalt 391.  
St. Étienne, Granit, Granulit, tektonische Rolle 317.  
Wegebaumaterialien, wesentliche Eigensch. 813.  
siehe auch Elsaß.
- Frösche, Lettland, Schwimmspuren 781.
- Fusit, Phosphorgehalt, Bildung 159.
- G**abbro  
(Olivin-), Sous-le-Vent, Soz.-Inseln, Pointe Rae, Analyse 615.  
Arktis, Südost-Inland, Analyse 621.
- Gabbro  
Piedmontkomplex, Stafford Co., Virginia 605.  
Siebenlehn i. Sa., geol. Stellung 86.
- Gabbrodiabas und -pegmatit, Szarvaskö, Ungarn, Analyse 564.
- Gabbroiorit  
Proseč, Tschecho-Slowakei 550.  
Szarvaskö, Ungarn, Analyse 564.  
Vulkan Goentoer, Westjava, chem. Zus. 356.
- Gabbroide Gesteine, Whin Sill, England, Analysen 20.
- Ganggesteine, Persenbeug, Loja und Ispertal, niederösterreich. Waldviertel, Anal. 43.
- Gangstörungen und Gangzusammenhänge, westl. Oberharz 307.
- Gas  
Absorption, Bedeutung für die Verwitterung 750.  
Erdöl, Wasser, Produktionsmethoden 181.  
im Magma, Bedeutung 5.  
Bush Dome, Poller Co., Texas, Analyse, Heliumgehalt 226.  
Rattle snake-Feld, Shiprock-Distr., New Mexiko, Analyse 233.  
Reval, chem. Anal., Heliumgehalt; Entstehung aus Kuckersit 210.  
Texas, Panhandle-Feld, H<sub>2</sub>S-führend 230.  
und Erdölgas, chem. Unterscheidung 199.
- Gas-Erdöl, Dichte und Viskosität 196.
- Gasbohrungen, Transsylvanien, Rumänien 214.
- Gasentschwefelung mit Lignitkohle, Köflach in Oesterreich 164.
- Gassonden, Lieferungskapazitätbestimmung 178.
- Gasstrahl, Erosion, Calderaproblem 349.
- Gebirge  
Entwicklungsgeschichte 631.  
(Hoch-), Böden 434.  
künstliche 295.  
und Vorländer, Stammbaum 634.
- Gebirgsbau  
Otavi-Bergland 137.  
und Bewegungen, Nordamerika, Skandinavien, Mitteleuropa 312.
- Gebirgsbildung  
Schieferungsproblem 70—72.  
Synthese unserer Kenntnisse 295.  
Appalachen 636.  
mittelrheinische Masse 299.  
Nordamerika, Symmetrie 280.

Gebirgsbildung  
 Norwegen, Phasen 302.  
 Pazifikumrandung 641.  
 Virginia, Fenster im südwestl. 305.  
 Gebirgsbildungsmöglichkeiten, Diskussion 295.  
 Gebirgskette, Norwegen, Bildungsphasen 302.  
 Gebirgskörper, variskischer, Druckschieferung 70, 72.  
 Gefornis, ewige, Sibirien 430.  
 Gefügeanalyse von Bausteinen, mit Universaldrehtisch 795.  
 Gefügeanalysen von Carbonaten 91.  
 Gefügeeigenschaften, Ermittlung durch Färbeversuche 799.  
 Geiseltalgruben, Kohlenaufpressung 162.  
 Geländebewegungen, Nordböhmen, meßbare 293.  
 Gele, Zinnerz, Zinkblende, Pyrit, Chocaya, andines Bolivien, Genesis 271.  
 Geochemie, allgemeines 364, 662.  
 Kohlenstoff und Kohle, allgemeine Probleme 662.  
 Karakumy - Wüste, Mittelasien, Schwefel 680.  
 Kola-Halbinsel, Chibina- und Lujavr-Tundren 664.  
 Turkestan, Uran-Vanadium-Grube, Tuja-Mujun 677.  
 Geochemische Migration der Elemente, Bedeutung 663.  
 Geochronologie, Archäologie 715.  
 Geoelektrische Unters. mit Wechselstrom nach der Sondenmethode 330.  
 Geographie, Grundzüge der allgemeinen (A. PHILIPPSON) 625.  
 Geoid, Niveausphäroid, Abweichungen 322.  
 Geologie  
 allgemein, Diagenese 439.  
 angewandte, Allgemeines, Tunnelgeologie, Erd- und Grundbau, technische Gesteinsuntersuchung, Mineralstoffe 785.  
 Eis und seine Wirkungen 414 bis 437, 715—726.  
 Erdbeben 339—346, 648—655.  
 Geochemie 364—366, 662—681.  
 Geophysik 319—333, 642—655.  
 Klima und geol. Vorgänge 366—384, 681—690.  
 Kontinente und Ozeane 273—287, 627—632.  
 Meer und seine Wirkungen 437.  
 Niveauperänderungen 287—294, 632.

Geologie  
 Sedimentgesteine 443-464, 768-784.  
 seismische Verfahren 648.  
 technisch-hydrologische Fragen 713.  
 technische, Sammlung der Techn. Hochschule in Wien, Aufstellung 785.  
 Tektonik 294—309, 633—640.  
 Verwitterungslehre, einschließlich Bodenkunde 726—768.  
 Vulkanismus 347—363, 655—662.  
 Vulkantektonik 310—319, 640—641.  
 Wasser und seine Wirkungen 386 bis 413, 690—715.  
 Wind und seine Wirkungen 385.  
 Geologie und Mineralogie, Lehrbuch für höhere Schulen (P. WAGNER) 273.  
 Geologische Destillation von Erdöl 199.  
 Geologische Klimaveränderungen, Ursachen 681.  
 Geologische Zeiten 450.  
 Geomechanischer Typus der mittelh rheinischen Masse und orogener Zyklus 299.  
 Geomorphologie, allgemeine (SUPAN-OBST) 625.  
 Geophysik 319—338, 642—655.  
 angewandte, Entwicklung in Deutschland 319.  
 Erdmagnetismus, Verteilung, Messung, Störungen in Ostpreußen, Erzerforschung usw. 644.  
 Erdrinde, Konstitution, Schwere-messungen 642.  
 Geophysikalische Aufschlußmethode, Radioaktivität 476.  
 Geophysikalische Energiequellen, radioaktive Vorgänge 476.  
 Geophysikalische Erzerforschung, Potentialmethode 645.  
 Geophysikalische Feldmessungen mit niederfrequenten Wechselströmen 329.  
 Geophysikalische Untergrundforschung und Bauwesen 338.  
 Geophysikalische Untersuchung von Erdöllagerstätten, Salzdomen 191.  
 Geophysikal. Untersuchung, Magnetit-lagerstätte, Caribou, Colo. 647.  
 Geophysikalische Zusammenhänge zwischen Ostalpen und Böhmischer Masse 332.  
 Geosynklinale Gebirge, Entwicklungsgeschichte 631.  
 Geotechnische Unters. der in Schweizer Kantonen verwendeten Straßenschotter 813.



- Geothermische Tiefenstufe, Erdöllagerstätten 192.
- Geothermische Tiefenstufe, Oklahoma, Texas, Bestimmung in Erdölgebieten 323.
- Geröllager in Fanglomeraten, Südwestafrika 376.
- Gerolsteiner Mulde, Dolomitisierung des Mitteldevon 439.
- Germanit, Otavi, Vork. 139.
- Germanium, Vork. in Silikaten 365.
- Geschiebe  
fazettiert und gekritz im pliocänen Schlammstrom bei San Francisco 721.  
gekritzte, Entstehung durch Flußeis 418.  
hohle, Carbonatgesteine, Entstehung 731.  
Rhombenporphyr 474.
- Geschiebebewegung in Flüssen und an Stauwerken 392.
- Gesteine  
nutzbare, technische Untersuchung, Verwitterung, Bewertung 794.  
seltene Elemente darin 365.  
Wegebaumaterialien, Frankreich, Schweiz 813.
- Gesteinsanalysen, graphische Darstellung 2.
- Gesteinsauflösung, Druckleitungsformen, Höhlen in Franken 408.
- Gesteinsbestimmung, quantitative, mittels Zentrifuge 443.
- Gesteinsbewertung für bautechnische Zwecke 796.
- Gesteinsbildende Mineralien, Kompressibilität; Bedeutung für Erdbebenforschung 650.
- Gesteinsbildung, Kieselgesteine, Frankreich 779.
- Gesteinsdeformation, Erzbildung 99.
- Gesteinsdünnschliffe, Dicke 3.
- Gesteinsfestigkeit, Richtungsbedingtheit, Regelung 801.
- Gesteinsklüfte, Harzvorland, östl. 301.
- Gesteinsnamen, Mißstände und Verwirrung 794.
- Gesteinsradioaktivität 476.
- Gesteinstoffe, mechanisch-technologische Prüfung 797.
- Gesteintextur und Porosität, Bezieh. 734.
- Gesteinsumprägung, Tiefenstufe, Metamorphose, Begriffserklärung 8.
- Gesteinsverwitterung, Bodenbildung 727.
- Gesteinswasseraufnahme, Sättigung 800.
- Gesteins- u. Mineralkomplex, Chibina- und Lujavr-Tundren, Kola, geochemische Deutung 675.
- Geysir  
(Pseudo-), Ránk-Herlany, Entstehung, Prüfung durch Apparat 410.  
Yellowstone-Park, Einteilung und Genesis 348.
- Gezeiten, Wogen, Küstenlinien 627.
- Gezeitenbewegung, Einfluß auf Steigehöhe gespannten Grundwassers, Westerschelde bei Vlissingen 395.
- Gezeitschichtung und Schlickfall 457.
- Gföhler Gneis, niederösterreich. Waldviertel, Alter 549.
- Gibbsit, Cochinchina, Entstehung in Lateriten 744.
- Gips  
Astrachangebiet, Vork. 260.  
Irkutsk, Ostsibirien, Vork. 154.  
Rußland, Lagerstätten von Alabaster bei Orenburg 153.
- Gipspulver zum Erhalten von Tierespuren 384.
- Gitterdurchbewegung, deformierte Mylonite des Odenwaldes 91.
- Giufsyenit, Aarmassiv, Alter 39.
- Glasgesteine, Wormit, Fifeshire, Normklassifikation 472.
- Glasiige Laven, Antiparos, Cycladen, Analysen 577.
- Glassand, Rußland, chem. Zus., Anwendung für Glasfabrikation 818.
- Glaszone in Basalten des Westwaldes, Zeolithbildung 526.
- Glattschieferung 70.
- Glatzer Gebirge, Tektonik 45.
- Glaubersalz, Astrachan, Vork. in der Salzsole 261.
- Glaukonit  
(Koproglaukonit), Japanisches Meer, Vork. 445.  
Michigan, Hermansville-Formation von Alger Co., Analysen 784.
- Glazial, Carbon, Südamerika, Südafrika 279.
- Glazialablagerungen und Erosion 682.
- Glazialbildungen, Baikalsee 432.  
Ostalpen 419.
- Glaziale Erosion, Alaska, Talweitung 417.
- Glaziale Seen, Ost- und Westkarpathen 429.
- Glaziale Verwitterung, Illinois 747.
- Glazialerosion, Geschiebe, San Francisco 721.
- Glazialgeologie, chilenische Anden 435.

- Glazialgerölle, Illinois, Carbon 436.  
 Glazialgeschichte, südwestl. Grönland 424.  
 Glazialzeit, Eisvorstöße, Schwankungen des Meeresspiegels dadurch 632.  
 Glaziologische und geol. Ergebnisse der Hamburgischen Spitzbergen-Expedition 1927 426.  
 Gleinalmkern, Ostalpen, chem.-petrogr. Studien; Anal. von Graniten, Dioriten und Gneisen 47.  
 Gleitflächen  
 Druckzunahme, künstliche Gebirgsbildung 296.  
 Ton, Rutschungen 792.  
 Gleithomboeder, Calcit 75.  
 Gletscher  
 Diluvium, Karpathen 429.  
 Eisdickenmessungen 720.  
 (Hänge-), Vadret Lischanna im Unterengadin 417.  
 Spaltenbildung, Spannungen 416. im Sommer 1928 416.  
 Tiefe, Zähigkeit des Gletschereises 719.  
 Alaska, Talweitung 417.  
 Isar, Glazialgeologisches 721.  
 Island (Zentral-), Rand des Hofsjökull und Langjökull 725.  
 Sierra Nevada, Windwirkung auf die Moränen 385.  
 Spitzbergen, Phasen 426.  
 Ural, nördl. rezent 725.  
 Gletscherbildung durch Rauhreif, Norwegen, Horungsmassiv, Berg Fanaråken 414.  
 Gletschereis, Zähigkeit, Tiefe der Gletscher 719.  
 Gletscherlehm, Yorkshire 436.  
 Gletscherschliffe, Permische Vereisung, Australien 726.  
 Gletscherstruktur, glazialdiluvial, orogenetische und epirogenet. Vorgänge 719.  
 Gletscherwand, Wüstenrinden 373.  
 Glimmer, Translation, Porphyroblasten 77.  
 Glimmergefüge, Quenobiotite 76.  
 Glimmerminerale, Kristallphysik 76.  
 Glimmerschiefer  
 Ordovicium, Carrickgollogan, Irland 32.  
 Aegypten, Sikait, Analyse, Beryllvork. 598.  
 niederösterreich. Waldviertel, Analyse 547.  
 Rappoldgipfel, Stubalpe, Steiermark, Analyse 56.
- Gneis  
 (Augen-), Feldspatanalysen 475. und Granit, genetischer Zusammenhang 475.  
 Vergneisung, Batholith, Minnesota—Ontario 363.  
 Afrika, äquatoriales, Mayombekette, Analyse 596.  
 Carcaliu, nördl. Dobrogea, Anal. 59.  
 Erzgebirgsrand, Keilberg—Klösterle, geol. Stellung, Tektonik 87.  
 Frankenberg i. Sa., Vork. 86.  
 (Gföhler), nordwestl. Waldviertel 80.  
 — und Bittescher, moldanubische Paraschiefer darin 544.  
 Hohe Tatra, Ungarn, genetischer Zusammenhang mit Graniten 564.  
 Madras, Indien, Mineralbestand 578.  
 Pouyardière, Cevennen 532.  
 Rumänien, Sarul Dornei, Jud. Câmpulung, Analyse von Epi-Albit- und phyllitischem Gneis 567.  
 Rußland (Süd-), Varietäten 482.  
 Soproner Gebirge, Ungarn, Analysen 562.  
 Stubalpe, Steiermark, Anal. 56.  
 Sumatra, Lampong-Distr., Vork. 588.  
 Gneisgranit, Norwegen, Utrøndelag, Verwendung an der Domkirche von Trondhjem 807.  
 Weidental, Gleinalmkern, Ostalpen, Anal. 48.
- Gold  
 Alpen (Ost-), Gefälle des Goldfeldes, zur Frage der Gewinnung 255.  
 Eisenberg bei Corbach, Natur- und Gewinnbarkeit des Eder-Goldes 252.  
 Kolumbien, Vork. in Quarzgängen eines Propylits 610.  
 Nevada, Vork. in Gängen 265.  
 Venezuela, Guayana-Hochland, in Quarzgängen 113.  
 Gold-Kupfer-Mine, Stewart, B. C., Mineralassoziation 113.  
 Gold-Silbererze, Simau, Res. Benkoelen 124.  
 Gondwana-Bildungen, Südamerika, östl. 277.  
 Gondwanaformation, Südamerika, basaltische Gesteine 66.  
 González-Quelle im Amurgebiet, Sibirien, chem. Bestand 411.  
 Grahamit- und andere bituminöse Gänge 638.  
 Granat, Baitonegebiet in der Adammellogruppe, Italien, Analysen 535.

- Granatariegit, Prades, Magnetisierungs-  
koeffizient 327.
- Granatführender Schiefer, Akasha,  
Nordsudan, Analyse 600.
- Granatsand, Hel am Baltischen Meer  
444.
- Granit  
Bezeichnung, petrogr. und technische  
Prüfung 794.  
(Hypersthen-), (Charnockite), Cey-  
lon, Analysen 581.  
(Mikroklin-), Fensteralpen-Humpel-  
graben und Weitental, Gleinalm-  
kern, Ostalpen, Anal. 48.  
Schmelzpunkt 474.  
Straßenbaumaterial, petrogr. Unters.  
zur Eignung 808.  
Afrika (Südwest-), junge Plateau-  
granite 601.  
Anden, bes. Südkolumbien, Mine-  
ralien darin 609.  
Ballycorus-Distr., Dublin-Bucht,  
Irland, Mineralkomp. 28.  
Blauen, südl. Schwarzwald, Arten,  
schalenförmige Anordnung, Auf-  
bau und Alter 316.  
— im südl. Schwarzwald, Klemm-  
bach-, Blauen- und Malsburger  
Granit, Alter, Analysen 524.  
Brasilien, Sta. Catharina und Annita-  
polis, Vork. 611.  
Cizeron, Gampille und St. Just im  
Kohlenbecken von St. Etienne,  
tektonische Rolle 317.  
Hohe Tatra, Ungarn, genetischer  
Zusammenhang mit Gneisen 564.  
Korzec und Ośnick, Polen, Analysen  
480.  
Meißen, Tektonik 85.  
Mittweida, Tektonik 85.  
Mont' Orfano, Oberitalien, Kontakt-  
verhältnisse 78.  
Mourne-Gebirge, Nordirland, geol.-  
petr. Unters. 14.  
östl. Vereinigte Staaten, Radio-  
aktivität 9.  
Persien, nördl. 578.  
Rönne, Bornholm 818.  
Rußland, Berg-Ossetien, Analyse  
494, 497.  
— Gouv. Woronesch bei Pawlowsk,  
chem. Zus. 483.  
— (Süd-), Vork. im Gneis 482.  
Sahara, Tinggormassiv, Analyse 597.  
Schlesien, Strehlen, geol.-petrogr.  
Unters. der Baustoffe 805.  
Schrems, niederösterreich. Wald-  
viertel, Anal. 45.
- Granit  
und Anorthosit als Differentiate  
von Diabas, Sill on Pigeon Point,  
Minnesota 605.  
und Gneis, genetischer Zusammen-  
hang 475.  
Granit-Granophyr, Kvosafoss, Südost-  
Island, Struktur 473.  
Granitaplit, Pasmary, Transkaukasien,  
Vork., mit Schlieren 505.  
Granitgneis  
Flüela—Weißhorn—Sentishorn 40.  
niederösterreich. Waldviertel 548.  
sächs. Granulitgebirge, nördl. Rand-  
zone 84.  
Stoanmoar-Alm, Stubalpe, Anal. 56.  
Granitintrusion und Klüftmineralien,  
Alpen 38.  
Granitintrusionen, Harz, Alter 72.  
Granitisches Magma, Kristallisations-  
phasen 5.  
Granitit, Chleby bei Benešov, Böhmen,  
Vork., begleitet von Aplit und  
Pegmatit 558.  
Granitmassiv, Dessau, Petrogr. 514.  
Granitpegmatit, Schriftstruktur 8.  
Granitporphyr  
Böhmen, Pelhřimov, Mineralbestand  
552.  
Eichwald bei Teplitz, Analysen 543.  
Neubrückl bei Eichwald, Böhmen,  
Anal. 46.  
Granittektonik  
strukturelle Analogien 314.  
Sachsen 84.  
Granodiorit  
Caracoles, Bolivien, Anal. 266.  
Lainsach, Gleinalmkern, Ostalpen.  
Anal. 48.  
Südostschottland, Anal. 24.  
Granophyr, Südost-Island, Mosfell,  
Analyse 621.  
Granophyrische Verwachsung von  
Quarz und Feldspat, Euler Zone  
in Mittelböhmen und Island, Ana-  
lysen 553.  
Granulit  
Becken von St. Étienne, Tektonik 317.  
— Ceylon, Vork., Mineralbestand 583.  
Granulitgebirge, sächsisches, myloni-  
tische Granitgneise der Randzone  
84.  
Granulitischer Gneis, Pyfara und Saint-  
Marcel, nördl. Cevennen 532.  
Graphische Darstellung von Gesteins-  
analysen 2.  
Graphit, Koks, mikroskop. Beobach-  
tungen 157.



- Graphit  
Ceylon, Vork. 584.  
Louisa, Quebec, Vork. in Pegmatit-  
gängen 110.
- Graphitschiefer, Magnetisierungskoeffi-  
zient 397.
- Gravimetrische Bestimmung der Erd-  
gestalt 320.
- Gravimetrische Messungen, Erdöldistr.,  
Nordostküste des Kaspisee 334.
- Gravimetrische Messungen siehe auch  
Schweremessungen und Geo-  
physik.
- Gravitation in der metam. Orogenese  
641.
- Green River-Formation in Nord-Sweet-  
water Co., Wyoming, Oelschiefer  
darin 234.
- Greisen, Silver Mine in Missouri,  
Mineralinhalt 109.
- Griechenland  
Aegäische Inseln, Dacit, Andesit,  
Analysen 574.  
(Nord-), Kupfer- und Chromvor-  
vorkommen im Serpentin 255.  
siehe auch unter Aegäisch.
- Grönland  
Holsteinsborgdistrikt, Sand, Mineral-  
bestand 622.  
südwestl., Glazialgeschichte 424.  
West, Kreide—Tertiär, Basaltbreccie  
623.
- Großbrücken mit Schillbedeckung in  
Fluttrichtern der Außenjade 457.
- Grundbaugeologie, Spiegelabsenkungen  
von Speicherbecken, Schubfestig-  
keit der Böden, Stoßstauchung des  
Baugrundes 787.
- Grundgebirge  
Krist., Erzgebirgsrand zwischen Keil-  
berg und Klösterle 87.  
Odenwald, Blastomylonite 90.
- Grundluft, Einfluß auf Bodenfeuchtig-  
keit und Grundwasserbildung 394.
- Grundwasser  
Basaltzersetzung, Brüxer Gegend  
538.  
Bildung, Erscheinungsformen 690.  
in Bodenarten, bautechnische Charak-  
terisierung 790.  
gespanntes, Einfluß der Gezeiten-  
bewegung auf Steighöhe, Wester-  
schelde bei Vlissingen 395.
- Gewinnung und künstl. Erzeugung  
713.  
künstliches, Schierstein a. Rh., Wies-  
badener Wassergewinnungsanlagen  
695.
- Grundwasser  
Deutschland, künstliche Eingriffe  
und drohende Austrocknung 692.  
Dürkheim, Einfluß auf die Solquelle  
707.  
Hirschstein i. Sa., Wasserversorgung  
von Zittau, Oybingebiet 400.  
mitteldeutsches Industriegebiet, Bez.  
zu Wasserversorgung und Berg-  
bau 399.  
Norwegen, Südost, Sörum, Analyse  
403.  
Riesa—Strehla, Sachsen 399.  
und Quellen, Wirkung von Ein-  
sickerung, unterirdische Kondensa-  
tion und Grundluftspannung  
393.  
und Rhein, Düsseldorf, hydraulische  
Beziehungen 396.
- Grundwasserbewegung  
nach isothermischen Kurvenscharen  
393.  
Theorie und Anwendung auf voll-  
kommene Brunnen 393.
- Grundwasserforschung in Polen, Stand  
699.
- Grundwasserhöhen-schichtenplan 713.
- Grundwasserpflanzen als Anzeiger  
387.
- Grundwasserspiegel  
Änderung der Vegetation bei Ver-  
tiefung 373.  
Feststellung 793.
- Grundwasserstand und Bodenbelastung  
399.
- Grundwasserströme, Wasserführung  
aus Pumpversuchsergebnissen 396.
- Grundwasserträger, Niederelbegebiet  
398.
- Grünerit, Lake Superior, Vork. 605.
- Grünstein  
biotitführend, metamorphe Aureole  
des Falmouth-Granits 528.  
Kirunagebiet, Kissenstruktur 472.  
Rumänien, Circcaci, Straßenpflaster  
813.
- Grünschiefer, Schobergruppe 80.  
— siehe Glaukonit.
- Guadas-Schichten, unt. Tertiär, Ko-  
lumbien 611.
- Gürtelgefuge, Tektonik 75.
- Gürtelregelung 75.
- Gyttja, Tamnotsee, Ostjakutien 431.
- Hackmannit, Lujavr-Urt, Vork. 668.
- Hämatit  
Hsuantang in China, Lagerstätte 263.  
Wabana, Neufundland 149.

- Hämatitjaspilit, Agawa-Eisenformation, Vermilion-Bezirk, Nordost-Minnesota, Paragenesis 148.
- Härten nicht verfestigter Sedimente, Verfahren 444.
- Härteprüfer (MARTENS), Ritzverfahren 797.
- Halle, Tiefbohrungen im Zechstein 151.
- Höllstätter Salzberg  
prähist. Bergbau 151.  
Tektonik, Ekzem 301.
- Hannoversche Erdölfelder, Erdtemperaturen 192.
- Harmotom, Jesenik, Gesenke, Brechung 555.
- Harnisch, Darstellung, tekt. Elemente 88.
- Hartton, Brüxer Gegend, zersetzter Phonolith, Analyse 542.
- Harz  
Gesteine des Steinbruchbetriebes 10.  
Goslarer Gegend, Auslösung tektonischer Spannungen im Ton-  
schiefer und Diabas 74.  
(Ober-), westlicher, Gangstörungen  
und Gangzusammenhänge 307.  
Wasserhöhlen, aktive, Hermanns-  
höhle und große Tropsteinhöhle,  
Bildung 406.
- Harzvorland, östl., Gesteinsklüfte 301.
- Hauynnephelin-Ankaratrit, Zentralma-  
rokko, Mineralbestand 595.
- Hawaiische Inseln, Vulkanismus, 1926  
bis 1928, Mauivulkan 363.
- Hebungs- und Senkungsgebiete, Rhein-  
land und Westfalen 290.
- Heidelberger Gegend, Rotliegendes,  
Porphyrvorkommen 13.
- Helium  
in Erdgasen 190.  
Reval, Vork. in Gasquellen 210.  
Texas, Bush Dome, Potter Co., Vork.  
im Gas 226.
- Helium-Gasfelder, Oklahoma, geo-  
therm. Tiefenstufe 324.
- Helsinkit, Albulamassiv, Vork., Aus-  
bildung 42.
- Helsinkitische erratische Blöcke, Kirchs-  
piel Alta, Mittelschweden, Ana-  
lyse, Mineralkomp. 478.
- Herdtiefe, Rheinlandbeben 13. XII.  
1928 340.
- Herkulesbad, Rumänien, genetische  
Verbindung mit tertiären Erup-  
tionen in Siebenbürgen und Banat  
411.
- Herzegowinischer Karst, Andesittuff,  
Anal. 57.
- Hessen, Vogelsberg-Basalt, Phonolith;  
Messel-Basalt, Heppenheim, Ker-  
santitvork., Böllsteiner Höhe,  
Diabas 518.
- Hessisches Ried, geol. bodenkundl.  
Verh., Uebersichtskarte 762.
- Hipparion-Schichten, China, Jung-Mio-  
cän 771.
- Hirschbrunn-Quellenbezirk bei Hall-  
stadt 401.
- Hirschstein, Sachsen, Grundwasserver-  
hältnisse 400.
- Hochgebirgsböden, Gebirgsklima und  
Verwitterung 434.
- Höhlen  
(Wasser-), aktive, im Harz 406.  
Bermuda, Walsingham-Kalk 409.  
Dachstein, Wasserbewegung 408.  
Franken, chem. Auflösung, Druck-  
leitungsformen 408.  
Karst 408.  
Kentucky und Bermuda, Entstehung,  
Absinkung 293.  
Pennsylvanien, Entstehung 712.  
Schwäbische Alb bei Urach, Elsach-  
durchfluß 408.
- Höhleneis, Tennengebirge, Krist. 408.
- Höhlenforscher, deutscher Hauptver-  
band 408.
- Höttinger Breccie, neue Aufschlüsse  
421.
- Holland, Westerschelde, Gezeitenbewe-  
gung, Einfluß auf Steighöhe ge-  
spannten Grundwassers 395.
- Holoblasten von Mikroklin im Fürsten-  
steindiorit 81.
- Holstein, Böden, Bleicherde, Ortstein,  
Kulturfähigkeit 763.
- Holzkohle, fossil, Brüxer Gegend,  
Grube Hrabák, Vork. im Braun-  
kohlenflöz 539.
- Honda-Schichten, Tertiär, Südkolum-  
bien 610.
- Hornblende  
Near Libby, Montana, Vork. 132.  
Rußland, See Segosero, Doppel-  
brechung 492.
- Hornblendeandesit, Gümür, Transkau-  
kasien 507.
- Hornblendedacit, Insel Thera, Analyse  
575.
- Hornblendedioritporphyrit (Nadeldio-  
rit), Ispertal, niederösterreich. Wald-  
viertel, Anal. 44.
- Hornblendegesteine, Hermannstadt,  
Südkarpathen, Vork. 572.
- Hornblendemonzonit, Wry, Polen,  
Analyse 480.

- Hornfels, Gallowhill Brae, Arnage, Aberdeenshire, Analyse 530.
- Hornstein (Cherts), Entstehung 459.
- Hornsteingänge, Gaggenau im bad. Murgtal 753.
- Hübnerit, Bolivien, Ancoraimes, Vork. im Quarzit mit Baryt 267.
- Huminsäurereiches Wasser aus einer Tiefbohrung 709.
- Humus-Kohlensäure-Verwitterung, Bodenbildung 760.
- Hyalodiscus Schmidti, Quartär, Chorillos-Calama, Chile 378.
- Hybrider Amphibol-Omphacit-Syenit, Rußland, Gouv. Woronesch 485.
- Hydraulische Eigenschaften des Traß, Ries und Brohltal, Vergleich 528.
- Hydrogeologie  
Boulogne-sur-Mère 403.  
Kaukasus (Nord-), Becken der Flüsse Terek und Kuma 387.
- Hydrographie, Otavi-Bergland, Südwestafrika 137.
- Hydrologie  
Donauversickerung und Aachquelle 696.  
Dürkheim, Quellen 706.  
Grundwasser 386.  
Karstwasser, Fünfkirchen 697.  
Untergrundwasser, Bildungsweise u. Erscheinungsformen 690.
- Hydrologisch-technische Fragen 713.
- Hydromagnetit, Ceylon, Vork. 584.
- Hydrostatische Messungen in norwegischen Lehmablagerungen 405.
- Hydrothermale Experimentaluntersuchungen, Bildung von Sulfiden, Oxyden oder Hydroxyden 113.
- Hydrothermale Gänge mit Kiesen, Quarz, Magnetit, George Gold-Kupfer Mine, Stewart, B. C. 113.
- Hydrothermale Lagerstätten, Chromit 103.
- Hydrothermale Wirkungen, Börzsöny-Gebirge, Ungarn 698.
- Hypersthen - Diallag - Gabbro, Szarvaskö, Ungarn, Analyse 564.
- Hypersthen-Granit (Charnockit), Ceylon, Analysen 583.
- Hypobatholithische Lagerstätten 96.
- Hydrostatischer Druck des Ozeanwassers, Tragen der Kontinente 286.
- Hypozenrum, Erdbeben, graphische Bestimmung 339.
- Iberische Halbinseln. Portugal, Spanien.
- Iddingsit, Chehere, Gomera, Kanaren, Einsprenglinge in basaltischem Gestein, Anal. 614.
- Ijolith, Kola, Kalijock und Tachtarwum, Analyse 666.
- Ilnenit, Aetnaausbruch 1928, Vork. in Basaltlava 351.
- Indischer Archipel, magmatische Differentiation 586.
- Indischer Ozean, Atlantik und Pazifik, Bodenkongfiguration, Anordnung ihrer Inseln 629.
- Indischer Schild, Madras, Kalkgneise, Skapolith-, Cordierit- und Sillimanitgesteine 578.
- Infiltrations- und Kondensationstheorie für Bildung des Grundwassers 690.
- Ingenieurbaufach, einheitliches Schichtenverzeichnis 791.
- Ingenieurgeologie. (K. A. REDLICH u. Mitarbeiter) 785.  
Sammlung der Techn. Hochschule in Wien, Aufstellung 785.
- Ingenieurgeologisches über Sardinien, Gesteine, Verwitterung 802.
- Ingenieurtechnische Geologie und Wünschelrute 785.
- Inlandeis, Grönland 424.
- Inselberglandschaften, Nordchile 381.
- Inseln, Anordnung und Art in den drei Ozeanbecken 629.
- Interglazialzeiten, Höttinger Breccie, neue Aufschlüsse 421.
- Internregelung, Biotit 81.
- Intertidal-Zone des Wash, England, Aequivalent des Jadebusens 780.
- Intrusion basischer Massengesteine, nordwestl. Waldviertel 80.
- Intrusionen, Ursachen seismischer Wellen 339.
- Intrusionstektonische Unters.; Potzberg—Königsberg-Gebiet, Rheinpfalz 314.
- Irdische Schwere 320.
- Irland  
Ballycorus Distr., Dublin, Granite 28.  
Connemara, Marmor, Vork. 35.  
Laterit, Anal. 757.  
(Nord-), tertiärer Vulkanismus 658.  
Scaw Hill, Co. Antrim, Larnit-Melilith, Vork. 9, 475.  
Wasserkraftanlage am Shannon 403.  
siehe Britische Inseln.
- Irtysch-Gebirge, krist. Schiefer 512.
- Isargletscherzeit 721.
- Island  
Geologie, Intrusionen 621.  
(Zentral-), Hofsjökull und Langjökull, Gletscher 725.
- Isobarenkarte, Quartär, Westdeutschlands 292.



- Isograde Metamorphose f. Tiefenstufe 8.  
 Isolinien, natürliches elektrisches Feld  
 im sphärischen Erzkörper 335.
- Isostasie  
 Begründung der Lehre 322.  
 Erdkrustenbewegungen im oberen  
 Lechtal und Flexengebiet 287.
- Italien, Isonzogegebiet, Bansizza, Schacht  
 von Verco, Wasserverhältnisse 409.
- Itsindrit, Madagaskar, Tal der Itsindra,  
 Analyse 603.
- Jacupirangit, Brasilien, Sta. Catharina,  
 stockwerkartig, Imprägnationen 613.
- Jamesonit, Bolivien, Potosi, Vork. 267.
- Japan  
 Bodenunruhe und Luftdruckverhältnisse 652.  
 Erdöl in verschiedenen Präfekturen  
 im Tertiär 250.  
 Dōgo-Insel, Andesit, Basalt, Liparit,  
 Trachyt, Comendit, Gneis, Neogensedimente 594.  
 Kii-Halbinsel bei Osaka, Nivellement,  
 chronische und akute Erdbeben 342.  
 Kwantō-Distr., seismische Aktivität 343.  
 Kyushu, Teshio und Korea, Kohlenlager 171.  
 Oku-Tango-Halbinsel, geolog. Struktur 594.  
 Sagami-Beben 1. 8. 1923 341.  
 Taradake, Quarz-Basalt, Vork. 593.  
 Tokyo, Erdbeben, geolog. Grundlagen 654.
- Java siehe unter Niederl. Indien.
- Jenaer Gegend, Strontium im unter.  
 Muschelkalk u. Röt, Herkunft 448.
- Jod in Phosphatlagern, Vork. 150.
- Jugoslawien  
 Bodenkarte 763.  
 Dalmatien, Bauxit, geophys. Methode zur Schürfung 334.  
 Schönstein bei Cilli, Blei-Zinkerze 133.
- Juksporit, Chibina- u. Lujavr-Tundren,  
 Kola, Paragenesis 669.
- Jumillitähnliches Gestein, Calasparra,  
 Prov. Murcia, Analyse 534.
- Jura, Oesterreich (Ober-), Verwitterungsprofil 755.  
 Sedimente des Unt. und Mittl. Lias,  
 chem. Unters. 754.
- Kaiserstuhl**  
 geol.-tektonischer Körper 640.  
 Oberschaffhausen, Phonolith, Einschlüsse und Neubildungen von Mineralien darin 525.
- Kajanit, shoshonitischer, Koural, Südserbien, Analyse 573.
- Kalbin-Kette, russischer Altai, Gesteine, Alter der metamorphen 512.
- Kaldera siehe Caldera.
- Kaledonische Orogenese, Norwegen 304.
- Kaledonische Vorländer, Stammbaum 634.
- Kalifornien, Erdöl, Diatomeen in miocänen Monterey-Schiefern 239.
- Kalisalz  
 Sarstedter Salzpfeiler, Querprofil 151.  
 Solikamsk, Bohrungen 152.
- Kalk  
 in basaltischen Schmelzen 6.  
 kristallin, Ceylon, Vork. 584.  
 org. Tiefseesedimentation 773.
- Kalkabsatz, Ontario- und Huron-See,  
 Temperaturmessungen 455.
- Kalkkalkigesteine, Andesit, Dacit, Basalt, Insel Flores 590.
- Kalkkalkalimagma, Kristallisationsdifferenziation 7.
- Kalkkali-Prov., Nordwestperu 64.
- Kalkkalkalische Gesteine, Aegäisches Meer 574.
- Kalkkalkalotypen, Auskristallisieren 1.
- Kalkausscheidung in Seen, Algen-gyttjebildung 453.
- Kalkepidotglimmerschiefer, Aequatorial-Afrika, Mayombekette, Analyse 596.
- Kalkgänge, fossilführende 638.
- Kalkgesteine, Erkennung 195.
- Kalksandsteine, Widerstandsfähigkeit als Baumaterialien 805.
- Kalkstein  
 Höhlen, Entstehung 293, 406.  
 Porosität, Entstehung 197.  
 Säulenbildung 450.  
 Verwitterung in SO<sub>2</sub>-reicher Atmosphäre 729.  
 Wyoming, Säulenbildung 733.
- Kalktuff, Kalkabsatz im Wasser 455.
- Kanarische Inseln, Gomera, Gesteine des Grundgebirges 613.
- Kansas, vulkanische Aschen 362.
- Kaolin, De- und Rehydratisierung 727.  
 Bornholm, Vork. 818.  
 Missinaibi River, Vork. 774.
- Sachsen (Nordwest-), Bergbau im Porphyrgelände 741.
- Slate Belt, Carolina, Analyse 747.  
 und Tone, röntgenogr. Studien 728.
- Karbildung, Ostalpen, Problem 418.

- Karc, Bündener Alpen, Entstehung durch Lawinen 420.
- Karpathen  
 granitische Gesteine der transsylvanischen Decke 569.  
 Olddurchbruch und Eisernes Tor, Gesteine 572.  
 (Ost- und Süd-), Bauelemente 636.  
 Poiana Ruscă, geolog.-petrogr. Untersuchung 572.  
 Rumänien, Struktur 639.  
 Şarul Dornei, kristalline Schiefer, Manganerzlagerstätten 566.  
 Siebenbürgen, Hermannstadt, Gesteine 572.  
 (Süd-), Bucegi-Massiv, Eiszeitgletscher 429.  
 — (Süd-), Bucegi, Rumänien, kristalline Schiefer, Vork., Deckenüberschiebung 305.  
 — Lotruptal, Morphologie 725.
- Karpathen-Sandstein, Cieszkowice, petrogr. Unters. 463.
- Karpathengebiet, Napajedl, geol. Bau, Salzquellen, Erdöl, Gas 212.
- Karrenbildung, Basaltgesteine, Hawaii 409.
- Karoo-Laven, Portugiesisch-Ostafrika, Vork. 601.
- Karoo-System, Paganzo-System (Westargentinien), Santa Catharina-System (Paraná), gleichwertige Aequivalente 276.
- Karooformation Deutsch-Südwestafrikas. Verbreitung und geol. Karte 600.
- Karst, Herzegow., Andesittuff, Anal. 57.
- Karsterscheinungen, Otavi-Bergland, SW-Afrika 137.
- Karstforschung 408.
- Karstriesenquelle Hirschbrunn bei Hallstadt 401.
- Karstwasser, Hydrologie, Gegend von Fünfkirchen 697.
- Karte  
 Bodenkarte Bayerns 1 : 400 000, Erläut. 762.  
 — hessisches Ried 762.  
 — Jugoslaviens 763.  
 Deutschland (Süd-), Schwereabweichungen 643.  
 erdölgeolog., Zeichen für Streichen und Fallen 309.  
 Flözübersichtskarte des oberschlesischen Steinkohlenbeckens 163.  
 geol., Böhmen, Brüx, Erläut. 536.  
 — Sachsen, Riesa-Strala, Erl., Grundwasserverhältnisse 399.
- Karte  
 Minerallagerstätten Südtirols, Bozen, Trient 255.  
 morpholog., chilenische Küste 368.
- Karwendel, Ladizjöchel, neues Diabasvorkommen 14.
- Katagesteine, moldanubische, nordwestl. Waldviertel, Umformung und Kristallisation 80.
- Kaukasus  
 Braunerde, Vork. 765.  
 (Nord-), Sedimentgesteine, Petrogr. 781.  
 — Terek- und Kuma-Flußbecken, Hydrogeologie 387.
- Keloet-Vulkan, Java, Dioritmagma 357.
- Kenyit, Quela Bilo, Abessynisches Hochplateau, Analyse 600.
- Keratophyr (Quarz-), kiesführend, S. Leiro, Westnorwegen, Analyse 478.
- Kersantit  
 (Pilit-), Loja, niederösterreichisches Waldviertel, Anal. 44.  
 Heppenheim a. d. Bergstr., Analyse 521.
- Kieselgesteine Frankreichs, Entstehung 778.
- Kieselgur, Diluvium, Chorillos, Nordchile 378.
- Kieseloolithe, Typen, Bedeutung für Stratigraphie 769.
- Kieselsäure  
 Gehalt in Wasser, Bestimmung 143.  
 geochemische Migration, Wüste Karakumy, am Schwefelhügel 680.  
 Pfahlquarz des Bayrischen Waldes, Herkunft 148.  
 Quarzbildung, Brüxer Gegend 537.  
 reaktionsfähige, hydraulische Eigenschaft 527.
- Kieselsäuregesteine nicht klastischen Ursprungs, Bildungsweise 458.
- Kissenstruktur, Grünstein, Kiruna-gebiet 472.
- Klemmbachgranit, Blauenmassiv im südl. Schwarzwald, aplitischer Granitgneis 316.
- Klima  
 und geol. Vorg. 366—384, 681—690.  
 arides, Otavibergland 688.  
 Austrocknungsfaktor 686.  
 Bodenbildung und Verwitterung 748.  
 geologisches, Ursachen, Erdbahn 681.  
 Kohlenbildung 160.  
 Patagonien, und Flora im Wandel der Zeit 688.  
 Torfverbreitung, Bez. 690.

- Klima**  
 der Vorzeit, Indikatoren hierfür 682.  
 und Bodenhumus, gesetzm. Bez. 762.  
 und Böden, Stickstoffgehalt 760.  
**Klimafaktoren und Zonen der Erde**  
 366.  
**Klimaschwankungen in jüngerer geolog.**  
**Zeit** 414.  
**Klimatische Hauptfaktoren der letzten**  
**Eiszeit** 415.  
**Klimaveränderungen, Glazialzeit, Eis-**  
**vorstöße** 632.  
**Klimazonen, Perioden der Vergletsche-**  
**rung** 684.  
**Klüfte und Bruch, Entstehung durch**  
**Zug in schwindendem Asphalt**  
**und Mörtel** 296.  
**Klüfte und Harnische, Darstellung** 88.  
**Klüftung**  
 cambrische Gest., Carrickgollogan 33.  
 Gesteinskörper 801.  
**Kluftmineralien und Granitintrusion,**  
**Alpen** 38.  
**Kluftsysteme**  
 nördl. Bergsträßer Odenwald 89.  
 im sächsischen Quadergebirge, tek-  
 tonische Deutung 83.  
**Knopfreihen und Perlschnüre auf**  
**Sandstrand, Entstehung durch**  
**Wind** 457.  
**Knotenschiefer, Sinai (Südost-), Ana-**  
**lyse** 600.  
**Kobalterze, Gandsha, Azerbajdschan,**  
**Vork.** 259.  
**Kobaltkies, Noraschen, Transbaikali-**  
**en, Vork.** 511.  
**Koblenzer Pressungsgelenk, Ent-**  
**stehung** 73.  
**Köcherbauende Würmer, Bäreninsel,**  
**im Sandstein des oberen Carbons**  
 449.  
**Köln, Wasserversorgung durch Wasser-**  
**werke Hochkirchen u. Weiler** 396.  
**Königsberg, Pregelwasserwerk** 697.  
**Kohle**  
 (Anthrazit), Chicama-Tal, Nord-  
 peru 166.  
 Entstehung 187.  
 Fusitbildung, Bedeutung des Phos-  
 phorgehalts 159.  
 tektonische Geburt 633.  
 Afrika (Süd-), Vork., Vorräte 170.  
 Brasilien, Santa Catharina, Vork.  
 167.  
 China, Fushun, Yentai, Penchiu  
 und Saimachi in Südmandschurei,  
 Shansi, Peking-Bassin, Shantung  
 262.
- Kohle**  
 China, Vork. 171.  
 dinarisches Gebirge Altösterreichs  
 164.  
 Hausham, Schliersee, Erdölsuren  
 darin 206.  
 Japan, Kyushu, Teshio und Korea,  
 Vork. 171.  
 Kolumbianische Ostkordillere, Ent-  
 stehung 166.  
 Kolumbien, Vork. in untertertiären  
 Guadasschichten 611.  
 Montana, subbituminös 165.  
 Nordamerika, versch. Gegenden,  
 Vork. 165.  
 Ungarn, Selbstentzündung 158.  
 Wealden, Alberta und Brit.-Kolum-  
 bien, paralische Bildung, Tektonik  
 164.  
 Zélentchouk im Nordkavkasus 164.  
**Kohlen**  
 Begriffsbegrenzung von Stein-,  
 Braunkohle und Torf 155.  
 Bildung durch Pflanzen 159.  
 Einwirkung von Schmelzflüssen 161.  
**Kohlenaufpressungen, Geiseltalgruben**  
 162.  
**Kohlenbaustoffe** 156.  
**Kohlenbildung**  
 Klima, Pflanzenanhäufung 160.  
 Siebenbürgisches Paläogen 160.  
**Kohlenbrandgesteine, Brüxer Gegend,**  
**Vork.** 539.  
**Kohleisenstein, Brüxer Braunkohlen-**  
**flöße, Vork.** 539.  
**Kohlengologie, österreichische Teil-**  
**staaten** 163.  
**Kohlenpetrographie und Kohlenver-**  
**edelung** 156.  
**Kohlensäure, Thermalsprudel, Bad**  
**Kolberg i. Thüringen** 707.  
**Kohlensäuregürtel, Deutschland,**  
**Mineralquellen** 704, 705.  
**Kohlensäurewassereinbrüche, Fried-**  
**rich-Schacht bei Zabreh a. d.**  
**Oder** 410.  
**Kohlenstoff und Kohle, allgem. Pro-**  
**bleme** 662.  
**Kohlenumwandlung, Carbon-Ratio-**  
**Theorie** 186.  
**Kohlenverkokung, Koks, mikroskop.**  
**Beob.** 157.  
**Kohlenwasserstoffe**  
 Erdöl und Verwandte, Entstehung  
 187.  
 natürliche, Griechenland 215.  
 siehe auch unter Erdöl.  
 Koks, Graphit, mikrosk. Unters. 157.



- Kolovratit, Turkestan, Mineralparagenesis 678.
- Kolumbianische Gegenden, petrogr.-stratigr. Uebersichtstafel 609.
- Kolumbien  
Tektite, vulkanische Gesteine, Gesteinsbildner 608.  
siehe Südamerika.
- Kompressibilität gesteinsbildender Mineralien 649.
- Konglomerat (Eruptiv-), Devon, Woolley, Brit. Inseln 528.
- Konglomerate mit Geröllen und Gesechieben von Carbonatgesteinen 731.
- Konglomeratlager in Fanglomeraten, Südwestafrika 376.
- Kontaktbildungen, Bewegungen der Gebirge 313.
- Kontaktmetamorphismus, Blue Hill, Maine, Paragenesis 108.
- Kontaktmetamorphose, Adamello- und Bergeller Intrusion 73.
- Kontaktmineralien, Kolumbien (Süd-), Vork. 608.
- Kontaktpneumatolyse 97.
- Kontaktpneumatolytische Lagerstätten von Magnetit, Magnetkies, Kupferkies, Pyrit, Persien 262.
- Kontaktsilikate am Diabas von Cornwall in Pennsylvanien 107.
- Kontinent, Nordamerika, Symmetrie, Strukturelemente 280.
- Kontinente  
Absinken, Permanenz und Nicht-Permanenz 275.  
Bewegungen, Zusammenhang mit Erdbebenepizentren (?) 282.  
Epeirophorese, Kontraktions- und Strömungstheorie 628.  
Faltungsränder 281.  
Verschiebungstheorie von WEGENER, astronomische Prüfung 273.  
Wachstum nach d. Zyklustheorie 285. und Ozeane, Entstehung 273—287, 627—631.
- Kontinentschelfe, Hügel, Verwerfungen 280.
- Kontinentwachstum nach der Zyklustheorie 630.
- Kontraktionsklüfte, Potzberg—Königsberg-Gebiet, Rheinpfalz 315.
- Konzentrationslagerstätten in ariden Becken 146.
- Kootenay-Schichten, Alberta und Brit.-Kolumbien, flözführend 164.
- Koproglaukonit, Japanisches Meer in Aestuarien u. der Litoralregion 445.
- Koralleninseln, Seebodenhebung, Indischer und Pazifischer Ozean 294.
- Korallenriffe  
Theorie 632.  
Java-See, Tausend Inseln 782.  
Perm, Capitan Point, Guadalupe Mts. bis Neu-Mexiko 464.
- Koralpe  
Eklogit und Amphibolitgesteine, Anal. 50.  
Paragesteine, Umwandlung 51.
- Kordilleren, westliche, Eruptivgesteine und Erzlagerstätten 269.
- Korngröße, Bödeneinteilung in technischem Sinne 788.
- Korngrößen, lockere Sedimente, Verteilung, Indexpzahlen 444.
- Koronit, Chibina- und Lujavr-Tundren, Kola, Paragenesis 669.
- Korsika  
orogenetische Bewegungen 636.  
östl., Dynamometamorphose, Gesteine 533.
- Korund, Gänt, Westungarn, Vork. 738.
- Kränzelgreis, Almhaus-Wegteilung, Stubalpe, Anal. 56.
- Krakatau  
Eruptionen 1928 353.  
Flugreisen, Ausbruchspunkte 661.
- Krakataugruppe, Calderenbildung 660.
- Krater (Mond-), Idaho, neues Naturschutzgebiet 662.
- Kraterkare, Bündener Alpen, Entstehung 420.
- Kraurit, Amberg, Paragenesis 149.
- Kreide  
Asien, Kaukasus, Gliederung, Gesteine 782.  
Baumberge, westl. Münster, Sandstein, Verwitterung 806.  
Japan, Hokkaido, Kohle 172.  
Nordamerika, Castlegate, Wellington, Sunnyside, Quadrangles, Carbon Co., Utah, bituminöse Schwarzkohle 165.  
Südamerika, Kolumbien, Gesteine 610.  
— Patagonien, Flora und Fauna 689.  
Veracruz, Erdölanzeichen 243.  
Wyoming, Fremont Co., Sand Draw Field, Kohle und Erdöl 233.  
und Kalkstein, Bogorodsker und Sukewer Berge, unt. Wolgagebiet 259.
- Kreide-Sandstein, Sachsen, Kluftsysteme 83.
- Kreidedeckgebirge, rhein.-westfälisches Steinkohlenbecken, Bruchfaltentektonik 299.

- Kreideuntergrund, Proseč, Tschechoslowakei, Quarzdiorit, Gabbrodiorit, Analysen 550.
- Kreuzschichtung, Typen, Bildung 450.
- Krim, Braunerde, Vork. 765.
- Kristalline Paraschiefer, Gliederung 476.
- Kristalline Schiefer
- Aegypten, östl. Wüstengebiete, Analysen 598.
- Afrika, äquatoriales, Mayombekette, Vork., Analysen 596.
- Racová, Südkarpathen 571.
- Soproner Gebirge, Ungarn, Analysen, Genesis 562.
- Kristallisationsdifferentiation, Magmenstarrung 1.
- Krustenbewegungen, Süddeutschland, Oberrheintal 288.
- Krustenbildungen, klimatisch und edaphisch bedingt 729.
- Krustenzerrung, Afrika (Süd-), Lebombokette, während der Extrusionszeit 318.
- Kryptobatholithische Lagerstätten 95.
- Kryptovulkane in Ohio, Kentucky und Tennessee 362.
- Kuckersit, Reval, Gas und Heliumbildung daraus 210.
- Künstliche Gebirge 295.
- Küste, Schelfbildung 438.
- Küstengebiet, Nordwestdeutschland, Erdkrustenbewegungen, Feinmessungen 291.
- Küstensenkungsmessungen 291.
- Nordwestdeutschland 291.
- Küstenveränderungen, Ströme, Erosion 627.
- Kunzit, Germaniumgehalt 365.
- Kupfer- und Chromerze, Jawornitza in Nordgriechenland, Vork. im Serpentin 255.
- Kupfer- und Zinnkiesentmischung, Colquiri, Bolivien 271.
- Kupfererzdistrikt Tocopilla in Nordchile, Paragenesis 112.
- Kupfererze
- Akmolinsk, Kazakstan, Uspenskygrube, Paragenesis 131.
- Bork-Usiaksche Lagerstätte im südl. Ural, chem. Zus. 256.
- Ellsworth beim Blue Hill, Maine, sulfidische, Paragenesis 108.
- Michigan, Genesis 114.
- Serbien, Tilvaberg bei Bor in Serbien, Entdeckung durch Potential-Methoden 645.
- Kupferglanz, Otavi, Paragenesis 139.
- Kupferkies
- auf Gängen der Blei-Zinkerzformation, Vork. 120.
- Jawornitza, Nordgriechenland, Vork. 256.
- Kolumbien, Vork. im Andengranit 610.
- Simau, Res. Benkoelen, Paragenesis 125.
- Kupferschiefer, Mansfelder Mulde, Genesis 146.
- Kylindrit, Chocaya, Bolivien, Paragenesis 271.
- Laacher Seegebiet, Phonolith und Trachyt, Bimsstein, Analyse 515.
- Labradorporphyrit, Dyrnyss, Transkaukasien 504.
- Labrador-Andesit, Tambo, Annam 592.
- Lagergänge, Potzberg—Königsberg, Rheinpfalz 314.
- Lagerstätten
- des äußeren Kreislaufs, Allgemeines 142—144.
- Bez. zu Batholithen, Tiefenzonen 95.
- hydrothermal und Verdrängung 113—141.
- kontaktmetamorphe 107.
- liquidmagmatisch 103—107.
- magmatisch bedingt, allgemeines 95—103.
- magmatogene, Südamerika, Verknüpfung mit den großtektonischen Einheiten 100.
- pneumatolytische 108—110.
- pneumatolytisch-hydrothermale 111.
- sedimentär, Seifen, andere mechanische Bildungen, marine 146—150.
- sedimentäre und Verwitterungs-, Gruppierung 142.
- seismische Verfahren zur Erforschung 648.
- Verwitterung, Oxydationszone 146.
- Tonerde- und Silikatlager 145.
- Alunit, Saglyk, Kreis Gandsha, Azerbajdschan 259.
- Asphalt, Boeton-Insel und Molukken, Asien, Vork. 248.
- Bauxit, Gánt, Westungarn, Genesis 737.
- Rußland, Moskauer Becken, Genesis 751.
- transdanubische Vork., Verbreitung im Triasdolomit, Schürfung 145.
- Braunkohle, Brüxer Gegend 539.
- Dachschieferindustrie, Eifel und Thüringen 810.

## Lagerstätten

- Edelsteine, Ceylon 584.  
 Erze siehe Erzlagerstätten.  
 Feldspat, Kalb Junction, New York, im Pegmatit 105.  
 Flußspat, Dwinafuß, nördl., Genesis 112.  
 — Kentucky u. südl. Illinois 815.  
 — Thüringer Wald 11.  
 Gesteine, Baustoffe, verschiedene Vork. 794.  
 — für bautechnische Zwecke, Untersuchung 796.  
 Gips, Rußland 152.  
 Graphit, Ceylon 584.  
 — Louisa, Quebec, Vork. in Pegmatitgängen 110.  
 Kaustobiolithe, Erdöl, bituminöse Gesteine, Allgemeines, Entstehung, geophysik. Unters., chem. und regional 161—252.  
 Kohle siehe unter Kohle, Stein-, Braunkohle.  
 Phosphate, Idaho, Vork. in Permkalken 150.  
 — Portneuf Quadrangle, Idaho 150.  
 Smaragdgruben, Ural, Geochemie 672.  
 Talk, Rußland, Anal. 257.  
 technisch wichtige Mineralien, Entstehung 93.  
 Topfstein, Finnland, Munnanlahi im Kirchspiel Juuka, Vork., Analyse 816.  
 Torf, Braunkohle, Steinkohle, Allgemeines 155—161.  
 Zirkon, Ural und Kola-Halbinsel 106.  
 Wolgagebiet, Nichterze 259.  
 Lagerstättenkunde, Erze (G. FIEBOLD) 93.  
 Lagerstättenlehre, Allgemeines 93—94.  
 Lagunen und Barrierenriffe, Entstehung 784.  
 Lahars, kalt und warm, Begriffsdefinition, Vulkane, Java 357.  
 Lamprophyllit, Chibina-Tundren, Kola, Analyse 672.  
 Lamprophyllit-Pegmatit, Kola-Halbinsel, Analyse 666.  
 Lamprophyr, Blauenmassiv im südl. Schwarzwald 317.  
 Lapilli, Definition 657.  
 Larnit, Scawt Hill, Co. Antrim, Irland, neues Mineral 9.  
 Laterit  
 Entstehung 735.  
 tropische Verwitterung, Bödenbildung 749.

## Laterit

- umgelagerter (Allit), Rußland, Tikhvin im Gouv. Cherepovetz, Genesis, chem. Zus. 750.  
 Britisch-Guinea, Frankreich, Goldküste, Irland, Indien, Analysen 743.  
 Süd-Queensland, westl. Brisbane, Profil 757.  
 Lateritentstehung, Klima 740.  
 Lateritisation, Lösungsproblem 742.  
 Lateritisierung Madagaskar 766.  
 Latit  
 Marquesas-Insel Nuku-Hiva, Anal. 618.  
 Sozietätsinseln Sous-le-Vent, zwischen Tiva und Opu One, Analyse 615.  
 Venaz, Südbosnien, Analysen 573.  
 Laufzeitenkurven, Erdbeben 652.  
 Lava  
 Aetna-Ausbruch 1928, Anal. 351.  
 Afrika (Süd-), Lebombokette, Ostgrenze Transvaals 318.  
 Antiparos, Cycladen, Analysen 576.  
 Australien, Port Stephens, Andesit, Toscanit, Rhyolith, Anal. 68.  
 Dominica, Mittelamerika 62.  
 Flores-Vulkane 361.  
 kugelige, See Segosero, Rußland, Spilit 493.  
 Niederl.-Indien, Westjava, Ströme des Papandajan 355.  
 pazifisches Gebiet, Sozietätsinseln, Marquesas und Galapagos, Analysen 614—621.  
 Santorin, Eruption 1925, Anal. 352.  
 Sumaco in Ecuador, Analysen 65.  
 Temperaturmessungen 4.  
 tuffartig, Alagez, Armenien, Analysen 499.  
 Washington, westl., Eocän 661.  
 Lawinen als Karbildner 420.  
 Leben  
 Aufbau und Vernichtung im Brackwasser der Flußmündungen 458.  
 auf anderen Sternen 625.  
 Lebombokette, Afrika-Süd, Ostgrenze von Transvaal, Kreide-Tertiär, Basalt, Rhyolith, Diabas, Laven 317.  
 Lechtal, oberes, Erdkrustenbewegung. 287.  
 Lehm  
 Norwegen, Grottes und Braa, Fäälle und Wasserwirkung 404.  
 Schwindung, Plastizität 799.  
 Lehr- und Forschungsanstalt für Gartenbau in Berlin-Dahlem, Moorversuchsfelder, Entwässerung 387.



- Leithakalk  
 Krustenbildung 805.  
 Lauretta-Geschiebe, chem. Zus. 731.  
 Letten, Böhmen, Anal. 445.  
 Leuchtenbergitschiefer, Soproner Gebirge, Ungarn, Analyse 562.  
 Leucitphonolith in Kalkauswürflingen, Merapi, Java, Entstehung 589.  
 Leukogranit, Südost-Island, Skeggil, Analyse 621.  
 Leukokrate Gesteine, Dublin-Distr., Irland 32.  
 Leukophyllit, Soproner Gebirge, Ung., Mineralbestand 561.  
 Levantisches Gebiet, Bruchbildungen, Einbruch der Aegäis 340.  
 Liassedimente, chem. Unters. 754.  
 Ligninreaktion, Kohleunterscheidung 155.  
 Lignitkohle, Köflach, Gasentschwefelung 164.  
 Limburg, Carbon, Steinkohlenlager 163.  
 Limburgit, Indochina, Pailing, West-cambodge, Analyse 592.  
 Rhön, Druckfestigkeit 803.  
 Limonit, Lösungsvers. in organ. Säuren 142.  
 Lineare Faser am Kontakt 313.  
 Liparit  
 Gleichenberg, chem. Zus. 53.  
 Japan, Oku-Tango-Halbinsel 594.  
 Sumatra, Vork. 588.  
 Liquidmagmatische Chromitbildung 104.  
 Löß  
 Kalkgehalt im ariden Klima 750.  
 China, Entstehung, Analysen, Mineralbestand 770.  
 Krakauer Gegend, Mineralien 386.  
 Lößanalysen, versch. Vork. 771.  
 Lößbedeckte Tongebiete, Budapest, Rutschungen 789.  
 Lösungen  
 aufsteigende, Gangausfüllung 102.  
 erzgangbildende, Natur 98.  
 Lösungsmittel für Eisen und Kieselsäure aus Gesteinen 143.  
 Lösungsrückstand mariner Kalksteine, Roterde 734.  
 Lötschbergtunnelbau, Schweiz, Ursachen und Folgen der Katastrophen am 24. 7. 1908 786.  
 Loparit, Chibina-Tundren, Kola, Analyse 669.  
 Lovtschorrit, Chibina- und Lujavr-Tundren, Vork., Analyse 671.  
 Luftdruckverh. und Bodenunruhe, Japan 652.  
 Lugischer Bau des Adler- und Habelschwerter Gebirges 45.  
 Lujavrit, Lujavr-Tundren, Kola, Analyse 666.  
 Lupatagesteine, Portug.-Ostafrika, Linsenporphyre, Mineralkomp. 601.  
 Luscladit, Mehetia, Soz.-Inseln, doleritisch, Analyse 617.  
 Lybische Wüste, Probleme 688.  
 Lydit, Entstehung 458.  
 Madagaskar siehe Afrika.  
 Mährisch-Osttrauer Grubenrevier, Ganggesteine im Carbon, Teschenit-Pikrite 556.  
 Mäot, Rumänien, Erdölführung 214.  
 Mafische Komponenten in vulkanischen Gesteinen 7.  
 Magma  
 basaltisches, Reaktion mit Kalkstein 5.  
 Differentialbewegungen, Granit und Gneis, Zusammenhang 475.  
 Einwirkung auf Kohlenflöze 161.  
 Erstarrungsverlauf 2.  
 Erzlagerstätten, Kontaktpneumatolyse 97.  
 Erzlagerstättenbildung 95.  
 Kontinentalverschiebungstheorie 275  
 Metamorphose, Zentralalpen 43.  
 Temperaturen 4.  
 Toba-See, Sumatra, Entstehung 354.  
 Magmatische Differentiation  
 Indischer Archipel 586.  
 Oberschaffhausen i. Kaiserstuhl, Aegirinaugit, Melanit, Hauyn, Apatit als Einschlüsse im Phonolith 525.  
 Magmatische Differentiationsprozesse 466.  
 Magmatische Erzlagerstättenbildung 102.  
 Magmatische Lagerstätten Persiens 261.  
 Magmatogene Lagerstätten Südamerikas, Verknüpfung mit den großtektonischen Einheiten 100.  
 Magmenbassins, genetische Zusammenhänge von Ergußgesteinen mit zeitlicher Eruptionsfolge 7.  
 Magmendifferentiation  
 Erzlagerstättenbildung, andines Bolivien 269.  
 Stöffel, Westerwald 516.  
 Magmenentwicklung, Wachstum der Kontinente 285.  
 Magmenerstarrung, Kristallisations-Differentiation 1.  
 Magmenfaltung, Pannonische Senke und ihre Umrandung 79.

- Magmeninjektion, Erdbeben 339.  
 Magmenintrusion, Adamello- und Bergeller Massiv 74.  
 Magmenunterströmungen 312.  
 Magnesit  
   Ceylon, Vork. 584.  
   Finnland, Nunnanlahi, Vork. im Topfstein 816.  
 Magnetische Kräfte im elektrischen Feld 335.  
 Magnetische Messungen  
   Baltische See, Südquarken und Nordküste 328.  
   im östl. Riesengebirge 328.  
 Magnetische Methode zur Bestimmung von Verwerfungen im Oligocän, Elsaß und im Rheingraben 331.  
 Magnetische Störungen, Ostseegrund, beiderseits Bornholm 817.  
 Magnetische Vermessung der Ozeane, Schiffsfahrten 319.  
 Magnetische Wirkung, Ursache des Erd- und Sonnenmagnetismus 644.  
 Magnetisierungskoeffizient, Phyllit, Ardennen, Granatariegit, Olivinbombe, Graphitschiefer, Feldspat-Hornblendit, Best. mit Waage von HUGHES 327.  
 Magnetismus siehe auch bei Erdmagnetismus.  
 Magnetit  
   geophys. Wirkung auf die Lagerstätte 338.  
   Caribou, Colo., geophysikalische Untersuchung 647.  
   Celebes, Südwestarm, Paragenesis 108.  
   Cornwall, Pennsylvania, im Diabasstock, kontaktpneumatolytische Bildung 107.  
   Daschkessan, Transkaukasien, Lagerstätte 259.  
   Persien, Lagerstätte im kristallinen Kalk der Oberen Kreide 262.  
 Magnetkies, Sudbury, Vork. in Noriten, magmatisch 604.  
 Magnetometer, Erdölauffinden, Texas 191.  
 Magnetometrische und geologische Profile, Mississippi 338.  
 Mahlberg bei Orschweier i. Breisgau, Basalt, Analyse, Genesis 523.  
 Malsburger Granit im Blauenmassiv, Alter 316.  
 Mammut- und Nashornleichen, Gefronnis, Sibirien 431.  
 Mandelsteinspilit, See Segosero, nordöstlich Omega-See, Verbreitung, Mineralien der Mandeln 492.  
 Mandschurei, Kohle und Eisenerze, Lagerstätten 265.  
 Mangan- und Eisenerze, Chvaletice, Mittelböhmen, metasomatisch 134.  
 Manganerze  
   Janjevo am Amselfeld in Nordmazedonien 123.  
   Karpathen, Šarul Dornei, chem. Zus. 567.  
 Mansfelder Kupferschiefer, Problem, Gliederung des Liegenden 147.  
 Mare Imbrium, Verwerfungssyst. 633.  
 Marine Kalkgesteine, Roterde (Terra rossa) als Lösungsrückstand 734.  
 Marmor  
   Festigkeitsverhalten 91.  
   Connemara, Irland, Vork. 35.  
   Deutschlandsberg—Wolfsberg, Waldensteintal, Mineralgehalt; Umwandlung in Spateisen und Eisenglimmer 49.  
 Marmorisierte Kalke, Barousse, franz. Pyrenäen 531.  
 Marosit, Celebes (Südwest-), Mineralbestand 589.  
 Massenbewegungen, Mechanik 296.  
 Massenverteilung im Erdinnern, Theorem von CLAIRAUT 321.  
 Maui-Vulkan, Hawai 363.  
 Mazedonien (Nord-), Janjevo am Amselfeld, Bleiglanz, Zinkblende, Pyrit, Manganerze 123.  
 Mechanik der Massenbewegungen 296.  
 Mechanisch-technologische Gesteinsprüfung 797.  
 Mecklenburg, Faktor Toteis in der Oberflächenbildung 723.  
 Meer, Brandungswelle, Tätigkeit 437.  
 Meere und Kontinente, Entstehung 273 bis 286, 627—632.  
 Meißner Syenit-Granitmassiv, Tektonik 84.  
 Melaphyr, Tejšovice, Böhmen, Vork. 552.  
 Melilith, Scawt Hill, Assimilationsprodukt von Kalkstein durch basaltisches Magma 475.  
 Melilith-Hauyn-Nephelinbasalt, Pohor, Gesenke, Vork. 556.  
 Melilithankaratrit, Zentralmarokko, Mineralbestand 595.  
 Mendel und Ueberetsch, Felsterrassen, Vergletscherung 422.  
 Menilit, Frankreich, Entstehung 779.  
 Mergel  
   Flyschkarpathen, chem. Zus. 449.  
   Keuper und Rotliegendes, Württemberg, Anal. 447.

- Mergel, Trias, Analysen, Mineralbestand 753.
- Merseburg, Tiefbohrungen im Zechstein 151.
- Mesothorium, Ookhta-Oelgebiet, Vork. in Salzsole 336.
- Messel bei Darmstadt, Basaltdurchbruch 520.
- Metallanreicherung, Bez. zu Intrusivgesteinen 95.
- Metallprovinz, Bolivien, Ostanden 266.
- Metamorphe Gesteine  
Schottland, schwere Mineralien darin 463.  
Kalbin-Kette, Alter 513.
- Metamorphismus, Lake Superior-Eisen-Formation 605.
- Metamorphose  
Gebirgsbildung, Schobergruppe, Osttirol 80.  
isograde, für Tiefenstufe 8.  
Tongesteine, Schieferung 70.  
Zentralpyrenäen, Ophite und hydrothermale Tätigkeit als Ursache 531.
- Metamorphosierte Magmages Steine, Dublin-Distrikt, Irland 30.
- Metasomatische Eisen- und Manganerze aus Kreidesedimenten bei Chvaletice, Mittelböhmen 134.
- Metasomatose, Whin Sill, Nordengland. Anal. von Silikaten 440.
- Methan-Naphten, aromatische Mischöle, Rußland, chem. Zus. 202.
- Mexiko  
Baja California, Gesteinschemismus 64.  
Cerro Mercado Durango, Geol. 65.  
Sinaloa, Erdölvork. (?) 242.
- Migration  
Erdöl 190.  
geochemische, der Elemente, Bedeutung 663.  
Uran-Vanadium, Grube Tuja-Mujun, Turkestan 679.
- Mikrofosilanalyse, ökologische Verhältnisse 452.
- Mikroklingranitgneis, Stüblergraben, Stubalpe, Anal. 56.
- Mikroklinoholblasten mit Grundgewebs einschüssen, Internregelung von Biotit 81.
- Mikroperthitische Verwachsungen von Feldspat und Quarz 8.
- Mikroskop in der Petroleumindustrie, Verwendung 194.
- Mikrotaxitische Gesteine, Whin Sill, Großbritannien, Anal. 21.
- Mineralabsatz in Erzgängen 98.
- Mineralgemengteile in Gesteinen, Auszählen, Anätzen mit HF 2.
- Mineralien  
neue, Fersmannit, Ramsayit, Chibina-Tundren, Kola, Analysen 669.  
— Larit, Scawt Hill, Irland 9.  
Trennungsmethoden 3.
- Mineralisatoren, Bedeutung in Eruptivgesteinen 4.
- Mineralklüfte, Bayrischer Wald und Fichtelgebirge 526.
- Mineralkörner-Dickenbestimmung im Dünnschliff 3.
- Minerallagerstätten, technisch wichtige, Entstehung 93.
- Mineralogie und Petrographie, Nomenklatur in rumänischer Sprache 465.
- Mineralquellen  
Quellenauslauf 409.  
siehe Quellen, Thermalquellen, Thermen, Wasser.
- Mineralstoffe, technologisch wichtige 814.
- Minette (Augit-), Heppenheim a. d. Bergstr., Ausscheidungen u. Zersetzung, Analyse 521.
- Missinaibi-River, Ton, Kaolin u. Quarzsande 774.
- Mississippi, magnetometrische Messungen 338.
- Mittelamerika, Brit. - Dominica, Geologie 59.
- Mittelh rheinische Masse, geomechanischer Typus und orogener Zyklus 299.
- Mörtelzusatz Traß und Sandmehl, Festigkeit 815.
- Moldanubische Katage Steine, nordwestl. Waldviertel, Umformung u. Kristallisation 476.
- Moldanubische Paraschiefer, niederöst. Waldviertel, zwischen Gföhler Gneis und Bittescher Gneis 544.
- Molukken, Asphalt u. Erdöl, Vork. 249.
- Mondkrater, Idaho, neue Naturschutzgebiete 661.
- Montenegro, Bodenarten, Karstgebiete, 10 Analysen 735. 763.
- Montmorillonit, Erdölfiltrierung 203.
- Monzonitgranit, Sahara, Isediye n, Analyse 597.
- Monzonitmikrogranit, Klesów, Polen, Analyse 479.
- Moor, Angerburg und Darkehnen, Unters. 163.
- Moore (Flach-), alluviale Senkungen am Niederrhein 289.



- Moorversuchsfelder, Großbeeren, Entwässerungsversuche 387.
- Moräne (End-), Green Bay-Gletscher, Spitzbergen 425.
- Moräne, Sierra Nevada, Ausblasen d. Wind 385.
- Moränen  
Gletscherschliffe, Karpathen (Ost- und Süd-) 429.  
Finnland, Salpausselkä 722.  
Riesengebirge, neue Funde 724.
- Morphologie der Erde (A. PHILIPPSON) 625.
- Mraznica-Decke, Polen, Erdölführung 212.
- Murmanit, Chibina-Tundren, Kola, Analyse 669.
- Muschelkalk  
Jenaer Gegend, Bodenbildung des Unt., Verwitterung 745.  
— Jenaer Gegend, Strontiumgehalt, Herkunft 448.
- Muscovit, Soproner Gebirge, Ungarn, Brechung 561.
- Muscovitleuchtenbergit-Schiefer, Nándormagaslat bei Sopron, Ungarn, Analyse 562.
- Mylonit  
(Blasto-), Odenwald, Durchbewegung im Grundgebirge 90.  
Korsika, östl., Vork., Entstehung 533.  
Melibokusgebiet, Odenwald, Vork. 520.
- Mylonitische Granitgneise, nördl. Randzone des sächs. Granulitgebirges 84.
- Nadeldiorit, Ispertal, niederösterreich. Waldviertel, Anal. 44.
- Naphtha siehe Erdöl.
- Natriumkobaltinitritlösung, Behandlung mit HF angeätzter Gesteine zur Erkennung der Feldspäte 2.
- Natronrhyolith, Wormit, Fifeshire, Analysen 473.
- Navit, Poučnick bei Beraun, Rand der Graptolithenschiefer 557.
- Nebengesteinseinschlüsse in Mineralgängen 99.
- Nephelinankaratrit, Zentralmarokko, Mineralkomp. 595.
- Nephelin-Eläolithgehalt in Basalten, Westerwald, Flecken- und Glassubstanz, chem. Unters. 526.
- Nephelin-Eudialyt-Basalt (Shannonit), Shannon Tier, Tasmanien, Anal. 67.
- Nephelinit, Löbauer Berg, Sachsen, min. u. chem. Zus. 514.
- Nephelinphonolith, Brüxer Schloßberg und Breitenberg, mit Nephelinkrist., Mineralbestand, Analyse 540.
- Nephelinsyenit  
Kola, Tuljabucht und Putelitschorr, Analyse 666.  
Madagaskar, Anosikely, Nepheligneis 603.
- Neuseeland, Erdbeben 16. 6. 1929 343.
- Niagarafall, Entstehungszeit der Fälle und Schlucht 694.
- Nichterze siehe Lagerstätten.
- Nickelkobalterz vork. Zinkwand-Vötern in den Niederen Tauern bei Schladming 123.
- Niederl.-Indien  
Asphalt, Boeton-Insel, Vork., wirtschaftl. Bed. 247.  
Bodenprofile, klimatische Daten, phys. u. chem. Unters. 765.  
elektr. Bodenuntersuchung 646.  
Erdbebenforschung 654.  
Eruptivgesteine, versch. Inseln 589.  
Minerwesen, Bericht 586.  
Benkoelen, Simau, Gold-Silbererze 124.  
Borneo, Kratersee, Bawang Aso 660.  
Borneo und Java, Korallenriffe, Tektonik 640.  
— — — Radiolariengesteine 782.  
Celebes, Pangkadjene und Tanette, Gesteine 586.  
— (Südwest-), Pik von Maros, Marosit, Shonkinit, Absarokit, Basanit 589.  
Flores, Eruptivgesteine 590.  
— Intrusivgesteine, Alter 586.  
— Vulkane, Aktivitätsstadien, Kalderabildung Lobetobi Laki-Laki-vulkan, 361.  
Java, Alkaligesteine, Verbreitung 588.  
— Bandjarnegara, Erdfließen 746.  
— Vulkane Goentoer, Kawah Kamodjang-Ruine, Tangkoeban Prahoe 356.  
Keloet (Klut) 357.  
— — — Papandjankrater, Tenggerkalderaproblem 359.  
Molukken, Asphalt, Erdöl, Vork. 249.  
Penangoengan bei Soerabaia 660.  
Soembawa (Mittel- u. Nord-), Eruptivgesteine 590.  
Sumatra, Celebes und Java, Pyroxen-Andesit und Olivinbasalt, NIGGLI-Werte 587.

## Niederl.-Indien

- Sumatra (Nord-), Toba-See, Entstehung durch Vulkanismus 354.  
 — Roterden, Kaolinlager 750.  
 — (Süd-), Gesteine 588.  
 Sundainseln, Vulkanismus und Erdbeben 658.  
 Talaud- und Nanoesa-Inseln, Geol. und Petrogr. 586.  
 Vulkane des Gunung Api bei Sumbawa 354.  
 Niederländisches Steinkohlengebiet, Geologie 163.  
 Niederrhein, jüng. Bodenbewegungen, Moorverbreitung, Abhängigkeit von tektonischen Linien 289.  
 Niederschlag  
 erster, auf der Erdoberfläche, geol. Bedeutung 626.  
 und Abfluß im Schwarzwald 391.  
 Niveaueverschiebungen, Fennoskandia, eisgestaute Seen und Rezession des Inlandeises 293.  
 Nördlinger Ries, Tuffe, Traß verglichen mit den übrigen deutschen Traßvork. 527.  
 Nomenklatur, geologische 273.  
 Mineralogie und Petrographie in rumänischer Sprache 465.  
 tektonische, im Rumänischen 294.  
 Nontronit, Kenntnis 727.  
 Nordamerika  
 Bau und Bewegung der Gebirge 312.  
 Gebirgsbildung, Ueberschiebungen 306.  
 Klima und Bodentypen 760.  
 Vulkanismus 347.  
 — Alaska, Kalifornien, Kansas, Kryptovulkane in Ohio, Kentucky und Tennessee 362.  
 Alaska, Nome Creek, Mineralien der schwarzen Sande 606.  
 — Skwentna-Region und Sheenjek River-Distr., Erzlagerstätten 265.  
 Appalachen, Gebirgsbildung 636.  
 Arkansas, Erdöl und Gas, magnetometrische Profile 236.  
 Bonneville-See, Lake Lahontan, Eiszeit 717.  
 Canada, Prov. Alberta, Sandsteingänge 638.  
 Cincinnati, Bodenschätze 815.  
 Coloradogebiet, Wasserhaushalt 391.  
 Gretnes, Braa, Trondhjem-Gebiet, Lehmfälle, hydrostatische Messungen 404.  
 Großer Salzsee, Oolithe, zonares Wachstum, Entstehung 783.

## Nordamerika

- Howard Co., Erdölhorizonte 223.  
 Idaho, Mondkrater, neues Naturschutzgebiet 661.  
 — pleistocäne Vereisung 726.  
 Illinois, Carbon, Glazialgerölle 436.  
 — und Carolina, Slate Belt, Kaolinisierung vulkanischer Gesteine 747.  
 Kalifornien, Erdöl, Diatomeenschiefer 239.  
 Kansas, Oklahoma, Nebraska, Sedimentationszyklen im Pennsylvanian 783.  
 Louisiana, Oelfelder, Dome 237.  
 Michigan, Alger Co., Glaukonit, Analysen 784.  
 — ob. See, Kupfererzlagerstätten 116.  
 Mississippi, magnetometrische Messungen 338.  
 Mississippi—Missouri-Gebiet, Blei-Zinkerzlagerstätten 119.  
 Montana, Highwood-Berge, Tektonik, Vulkanismus, Erdölvork. 235.  
 Nevada, Erzlagerstätten 265.  
 Niagarafälle, Entstehungszeit 694.  
 Oklahoma und Arkansas, Ouachita Mts., Struktur 636.  
 — Oelhorizonte 235.  
 — Texas, geotherm. Tiefenstufe in Erdöl- und Heliumgasgebieten 323.  
 Ontario- und Huron-See, Sedimentation 456.  
 Pennsylvanische Tropfsteinhöhlen 712.  
 Rocky Mts., Trias—Jura, Red Beds 377.  
 — Wald und Wasserhaushalt 390.  
 Sudbury, magnetkiesführende Norite, Analyse 604.  
 Texas, geotherm. Tiefenstufe in Erdölfeldern 192.  
 Texas—New Mexiko, Perm, Stratigr. 228.  
 Vereinigte Staaten, Erdöllagerstätten, Geol., Produktion 219.  
 Virginia, Stafford Co., Piedmont, magmatischer Komplex, Diorit, Gabbro, Pyroxenit, Analysen 605.  
 westl. Ver. Staaten, Erdbeben, Ursache 651.  
 Yellowstone-Park, heiße Quellen, Einteilung und Entstehung 348.  
 und Asien, Vergleich 284.  
 Nordamerikanischer Kontinent, Strukturelemente, Symmetrie 280.

- Norddeutschland**  
 Bitumengesteine verschied. Alters, chem.-petr. Studien 200.  
 Diluvium und Tektonik 632.  
 geol. Bau des Gebiets zwischen Eide und Havel 300.  
 Küste des Wattenmeeres, Sedimentbildung 456.
- Nordfriesland, Bodensenkung** 291.
- Nordische Vereisung am Sudetenrand** 724.
- Nordseeküste**  
 Bodensenkungen 291.  
 geolog. Grundlagen des Küstenschutzes 292.
- Nordwestdeutschland**  
 Erdkrustenbewegungen, Feinmessungen 291.  
 Erdöl und Salzstock, Zusammenhang, Aufgaben und Ziele der Erdölgewinnung 204.
- Norit**  
 Analysen (24) der Erde 605.  
 Canada, Sudbury, Analyse 605.  
 Ceylon, Analysen, Abarten 583.
- Normentwurf für Oele und Fette** 203.
- Norwegen**  
 Temperatur der Anatexis des Urgebirges 476.  
 Horungmassiv, Berg Fanaråken, Rauhreifbildung, Gletscherbildung 414.  
 Huglo-Insel, kiesführender Quarzkeratophyr, Analyse 478.  
 Sörum, Hof Hönsen, Wasser aus artesischem Brunnen, Anal. 403.  
 Trondhjemer Domkirche, Marmor, Basalt und Gneisgranit, Verwendung 807.
- Norwegische Gebirgskette, Revolutionsgeschichte, Trysil-Hebung, Trondhjems-Orogenese**, 302.
- Noseanphonolith, Schellkopf bei Brenk, Analyse** 515.
- Oberflächenbildungen, Otavi-Bergland** 136.
- Oberflächenwässer, Gehalte an organ. Substanz, Lösung und Transport** 143.
- Ochiuri, Rumänien, Salzstock u. Erdöl** 214.
- Odenwald**  
 Bergsträßer, tekton. Unters. 88.  
 Blastomylonite im Grundgebirge 90, 520.  
 Buntsandstein, Typen und Komponenten 461.
- Oelschiefer**  
 Kalifornien, Bildung 239.  
 Tirol, Trias, Seefeld und Cenoman von Mollaro im Nonstale 207.  
 Wyoming, Green River-Formation in Nord Sweetwater Co. 234.
- Oesterreich**  
 Erdölvorkommen 208.  
 (Nieder-), Lichtenwörther Gegend und am Steinfelde, erdmagnetische Messungen 328.  
 — Limberg, Granitsteinbruch, Zerrüttungsstreifen 787.  
 — Marchfeld, Sande, Mineralbestand 777.  
 — Waldviertel, Ganggesteine 43.  
 — — moldanubische Katag. 80.  
 — — moldanubische Paraschiefer 544.  
 Reifnitz am Wörther See, Therme, Geol. 709.  
 Tirol und Vorarlberg, Bergbau. 253.
- Oesterreichische Teilstaaten, Kohlengeologie** 163.
- Oesterreichisches Bäderbuch** 701.
- Offberg in Remschnigg, Blei-Kupfer-Zinkerz-Lagerstätte, Genesis** 129.
- Oligoklasporphyrit, Csavarószberg, Savóstal, Ungarn, Analyse** 565.
- Oligophyrischer Biotit-Trachyt, Gümür, Transkaukasien, Mineralkomp.** 508.
- Olivin**  
 Flores, Umwandlung in Iddingsit u. chloritähnliche Substanzen 590.  
 Jeseník, Gesenke, Krist., Umwandlung in Serpentin, Villarsit, Iddingsit 555.
- Olivin-Anorthit-Diopsid-SiO<sub>2</sub>**, 2.
- Olivinbasalt, Weit'chang, Mineralkomp.** 469.
- Olivinbombe, Haute-Loire** 327.
- Olivingabbro, Maupiti, Soz.-Inseln, Analyse** 615.
- Oolith**  
 rezent, Bahama-Inseln 783.  
 sandig, Genesis 768.  
 Wabana, Neufundland, Genesis 149.
- Oolithe, Großer Salzsee, zonares Wachstum** 783.
- Opal, Opalite, Frankreich, Bildung** 779.
- Opalgallerte, Karakumy-Wüste, Bildung bei Silifizierung** 681.
- Opicalcit, Connemara, Irland, Vork.** 35.
- Optische Analyse vulkanischer Gesteine für genetische Verwandtschaft** 7.



- Ordovicium**  
 Carnarvonshire, seltene Mineralien in den Gesteinen 528.  
 Wicklow, England, Schiefer, Andesit, Mineralkomp. 30.
- Organismen**, kieselsäurehaltige, Gesteinsbildung 779.
- Orogener Zyklus** und geomechanischer Typus der Mittelrheinischen Masse 299.
- Orogenese**  
 Gravitation, Molekularkräfte (Radioaktivität), Hitze 640.  
 Wachstum der Kontinente 285.  
 Norwegen 303.
- Orogen-Sedimente**, tektonische Geburt von Erdöl und Kohle 633.
- Orthit**, Radiumgehalt 336.
- Orthogneis**, Stubalpe, Anal. 53.
- Orthoklas**, Berg-Össetien, Rußland, Analyse 496.
- Orthophyr**, Wola Suchaja, Polen, Anal. 481.
- Orthotektit**, Chibina- und Lujavr-Tundren, Restpegmatit 674.
- Osage Co.**, Oelgebiet 230.
- Osningfaltung**, Ueberschiebungs-, Abscherungs- und Zerrungstektonik 635.
- Ostindischer Archipel**, vulkanische Erscheinungen und Erdbeben 658.
- Ostpreußen**, erdmagnetische Störungen 644.
- Ostrau-Karwiner Steinkohlenrevier**, Geologie, Relief 163.
- Ostsee**  
 Entwicklungsgeschichte, Ancyclus-Zeit 776.  
 magnetische Messungen 328.
- Ostseegrund**, magnetische Störungen beiderseits Bornholm 817.
- Otavi-Bergland**, Südwestafrika, Erzlagerstätten, geol. Aufbau, Tektonik, Hydrographie und Karsterscheinungen 135.
- Oxydationszone** v. Erzlagerstätten 145.
- Ozeanbecken**, Bodenkonfiguration, Anordnung und Art ihrer Inseln 629.
- Ozeane**, magnetische Vermessung 319.
- Ozeane** u. Kontinente, Entstehung 273 bis 287, 627—631.
- Ozokerit**  
 Rußland, Vork., Bez. zum Erdöl 195.  
 Turkmenistan und Usbekistan, Vorkommen 218.
- Paganzo-System**, Westargentinien, Aequivalent der Karroo-Formation 276.
- Palaeogeographie**, Buntsandstein, Mineralwasserbohrung im Enztal 708.
- Palaeozoicum**, Deutschland (West-), saxonische Richtungen 632.
- Palästina**  
 Basalte, Vork. 377.  
 Verwitterung, Sedimentation 368.
- Palagonittuff**  
 Galápagos-Inseln, chem. Zus. 621.  
 Westgrönland, Vork. 623.
- Palmen**, wilde, Kalifornien, Anzeiger für Grundwasser 387.
- Pannonische Senke**, Eruptivgesteine 78.
- Panuco-Oelfeld**, Mexiko, Oligocän, Kreide, Stratigr. 243.
- Paragesteine**, Koralpe, Metamorph. 51.
- Paragneis**, Flüelabach, Graubünden 40.
- Paraschiefer**, moldanubische, österreich. Waldviertel zwischen Gföhler und Bittescher Gneis 544.
- Paris**, Wasserversorgung 402.
- Pariser Gegend**, äolische Ablagerung 386.
- Patagonien** siehe Südamerika.
- Pazifik**, Indik und Atlantik, Bodenkonfiguration, Anordnung ihrer Inseln 629.
- Pazifische Kernmagmenentwicklung**, Gleinalm, Anal. 49.
- Pazifischer Ozean**, Bodenhebung, Korallenwachstum 294.
- Pazifischer Rand** Südamerikas, Vulkanismus 347.
- Pazifisches Gebiet**  
 Galápagos-Inseln, Palagonittuff und Andesinbasalt, chem. Zus. 620.  
 Polynesien siehe Australien.  
 Sozietäts-Inseln, Latit, Basalt, Gabbro, Analysen 615.  
 Sozietätsinseln, Insel Mehetia, Dolerit, Basalt, Ankaratrit, Luscladit, Analysen 617.
- Pearceit**, Simau in Res. Benkoelen, Vork. 125.
- Pechelbronn**, geotherm. Tiefenstufe u. Radioaktivität des Oelgebietes 330.
- Pechstein**  
 Spechthausen im östl. Erzgebirge, Vork. 91.  
 Wormit, Fifeshire, Mineralkomponenten 473.
- Pegmatit**  
 Mineralausscheidung, Schriftstruktur 8.  
 Rohstoffträger, versch. Vork. von Feldspat, Zirkon, Glimmer 105.  
 Bolivien, Cordillera Real, Zinnerzparagenese darin 267.

## Pegmatit

- Bornholm, Gänge im Granit 817.  
 Chibina- und Lujavr-Tundren, Analysen 666.  
 Gilsun Area, New Hampshire, Paragenesis der Gangmineralien 105.  
 Maryland, Paragenese 106.  
 Vordere Stagg, Gleinalmkern, Ostalpen, Anal. 48.

## Pegmatoide, Bora-Bora, Sozietätsarchipel, Analysen 469.

## Pektolith, Chibina- und Lujavr-Tundren, Kola, Paragenesis, Analyse 668.

Pennsylvanische Tropfsteinhöhlen 712.  
 Peridotit, Chalupky, Berounka-Ufer, Tschechoslowakei, Vork. 557.

## Perlitisches Gestein, Antiparos, Cycladen, Analyse 577.

## Perlschnüre und Knopfreiher am Sandstrand, Entstehung durch Wind 457.

## Perm

## Australien, Vereisung, Gletscherschliffe 726.

## Neu-Mexiko bis Guadalupe Mts., Korallenriff 464.

## Nordamerika, Howard Co., Erdölhorizonte 223.

## Texas-New Mexiko, Stratigr. 228.

## Perm-Carbon, Squantum, Varven 437.

## Permische Eruptivgesteine, Thüringer Wald, provinzielle Stellung 10.

## Persien

## Erzlagerstätten, Uebersicht, Stand von Gewinnung und Verhüttung 261.

## nördliches, Eruptivgesteine, Sedimente, metamorphe Gesteine, Vork. 578.

## und Mesopotamien, Erdölvorkommen 247.

## Perthit im Diorit, Oberösterreich 755.

## Peru

## Acora, Antimonitlagerstätte 119.

## (Nord-), Chicama-Tal, Anthrazit 166.

(Nordwest-), petrograph. Notizen 64.  
 Tertiär, Erdöl 246.

## Peruvianische Wüste, Entstehung 384.

## Petrographie

## allgemein 1—10.

## Allgemeines, Eruptivgesteine 465 bis 474.

## Metamorphose, Kristalline Schiefer 474—476.

## und Mineralogie, Nomenklatur, rumänisch 465.

## Radioaktivität der Gesteine 476.

## Petrographie

## regional 10—69, 477—624.

## systematische, von W. HOMMEL, genetische Grundlage 1.

## Whin Sill, Analysen basaltischer und gabbroider Gesteine 20.

## Petrographisch-tektonisches Grenzgebiet 70—92.

## Petrographische Provinzen, atlantische und pazifische Gesteine 628.

## Petrologie, kristalline Gesteine im Gouv. Woronesch, Rußland 490.

## Pfehlquarz, Herkunft der Kieselsäure 149.

## Pflanzen, bodenanzeigende 759.

## Pflanzengesellschaften, Kohlenbildung 159.

## Grundwasseranpassung, Anzeiger 387.

## Pflanzenleben der Alpen, Verwitterung 733.

## Pflanzen- und Tiergeographie (A. SUPAN) 625.

## Pfeilerbildung im Vulkanschlot, New Mexiko 733.

## Phonolith

## Brücker Umgebung, Staukuppen, Arten, Analysen 540.

## Gomera, Barranco de la Rosa, Analyse 614.

## Kaaften, Egertal, Vork. 560.

## Kahlenberg oberhalb Burgbrohl, Analyse 515.

## Kaiserstuhl, Oberschaffhausen, Einschlüsse und Neubildungen von Mineralien 525.

## Marquesas-Insel Haave, Analyse 620.

## Rhön, Rinden desselben, Analyse 519.

## Vogelsberg, Herchenhainer Höhe, Analyse 518.

## Phosphat, Portneuf Quadrangle, Idaho, Vork. in Permkalken 150.

## Phosphate im Wüstenguano Nordchiles 685.

## Phosphophyllit, Amberg, Paragenesis 149.

## Phosphor, Amberg, Vork. in Eisenerzen, Herkunft 148.

## Phosphorgehalt, Bedeutung für Fusitbildung 159.

## Phosphorit

## Wolgagebiet, unteres, bes. im Gault im Gouv. Saratow, Anal. 260.

## Ural, Vork. 150.

## Phreatophyten und Xerophyten, Bez. zu Grundwasser 387.

## Phyllit, Ardennen, Magnetisierungskoeffizient 327.

- Phyllit, Soproner Gebirge, Ungarn, Analysen 562.
- Phyllitischer Gneis, Câmpulung, Șarul Dornei, Analyse 567.
- Physikalische Verwitterung 370.
- Pickeringit, Thüringer Dachschiefer, Vork. 810.
- Pigeonit, Mg-reicher Augit, Indochina, Vork. im Basalt 591.
- Pilitkersantit, Loja, niederösterreich. Waldviertel, Anal. 44.
- Plagioklas  
chem. Zus., Optik, Bedeutung für Eruptionsfolge 7.  
im Diorit, Kaolinisierung 755.
- Baikalgebiet, Verwachsung mit Calcit 514.
- Gondwanaformation Südamerikas, in basaltischen Gesteinen 66.
- Persien, Zwillingsgesetze, Zusammenhang mit Gesteinstypen 578.
- Rußland, Berg-Ossetien, Analyse 495.
- Siebenbürgen, Brechung 58.
- Stubalpe, chem. Zus. 54.
- Taveyannazsandstein, Schweiz 36.
- Plagioklasporphyrit, Kuteiniko, Südrußland, Vork. 492.
- Plankton, Tiefseesedimentation 774.
- Platin  
Afrika (Süd-), Transvaal, Lagerstätten 371.  
Birbir, Abessynien, Vork. im Dunit 104.  
Washington, Vork. im Küstensand 147.
- Pleistocäne Vereisung, Idaho, Nordamerika 726.
- Pleochroitische Höfe, Apatit, Proseč, Tschechoslowakei 551.
- Plutonisches Gesteinsmassiv, Südostschottland, Analysen 26.
- Pneumatolytische Erzgänge, Bolivien 270.
- Pneumatolytisch-hydrothermale Mineralbildung 111.
- Podsolböden  
Tunis (Nordwest-) 745.  
siehe auch unter Böden.
- Podsolige Böden, Bleicherdewaldböden 732.
- Podsolprofile mit Bleichsandschicht, Rönnegebiet, Bornholm 817.
- Polen  
Grundwasserforschung, Stand 699.  
Slucz- und Horyń-Gebiet, Granit, Monzonit, Basalt, Sanidinit, Biotitanalysen 479.  
(Süd-), Staubfall April 1928 585.
- Pollenanalyse, Nachweis der Klimaverhältnisse und des Alters der Humusablagerungen 366.
- Polnische Erdölgebiete, Pionierbohrungen 210.
- Polverschiebungen und Strahlungskurve, Erklärung für letzte Vereisung 716.
- Polynesien siehe Australien.
- Poren, Erdöl, Sandeigenschaften 199.
- Porosität  
Kalkstein, Entstehung 197.  
und Textur von Gesteinen, Bezieh. 734.
- Porphyr, Bolivien, Machacamarca do Potosi, cretacisches Alter 269.  
Teplitzer Gegend, Anal. 46, 543.  
Tharandter Wald, Effusionen und Brüche 91.
- Porphyrgbiet, Nordwestsachsen, Kaolinbergbau 741.  
Hermannsberg und Königsberg i. Rheinpfalz, lakkolithische Intrusion 316.
- Porphyrit  
Dundee Law, Südostschottland, Anal. 26.  
Gondwanaformation, Südamerika, 66.  
Nordwestperu, Alter 64.  
Reith, Loja, niederösterreich. Waldviertel, Anal. 43.  
Szavaskö, Ungarn, Analyse 564.  
Zai-Dara, Transkaukasien, Mineralkomp. 503.
- Porphyritoid, Lillafüred, Szentistván-Berg, Ungarn, Analyse 566.
- Porphyroblasten, Translationen bei Glimmern 77.
- Porphyroid, Szakadásberg, Savóstal, Ungarn, Analyse 565.
- Porphyrvorkommen, Heidelberger Gegend, Bergstraße 13.
- Portugal, quartäre Vereisung, Serra da Estrela 428.
- Poßbrückantiklinale, Offberg, Blei-Kupfer-Silber-Zinkerzlagstätte 129.
- Postmesozoische Vulkangebiete, Differentiationstypen 6.
- Potential-Methode, geophysik. Erzforschung 645.
- Potsdamer magnetisches Observatorium, Verlegung 327.
- Potzberg-Königsberg-Gebiet, Rheinpfalz, intrusionstekton. Unters. 314.
- Präcambrium, Amerika, Eisenformation, Bänderstruktur, Entstehung 464.



- Prähistorischer Bergbau, Hallstädter Salzberg 151.
- Prager Gegend, Travertin, Bildung 711.
- Pregelwasserwerk, Königsberg i. Pr. 697.
- Propylitisierter Porphyrit, Gansa, Transkaukasien, Mineralkomp. 506.
- Proterobas, Sohland a. d. Spree, Erzausscheidung 468.
- Prüfung, mechanisch-technologische und physikalische, natürliche Gesteine 797.
- Pseudobrookit, Hammer bei Laubach, Vogelsberg, i. zersetztem Basalt 518.
- Pseudogeysir, Ránk-Herlány, Prüfung durch Apparat 410.
- Pseudomorphosen  
 Bastit nach Bronzit, Kácov, Böhmen 560.  
 nach Magnetit, im zersetzten Basalt des Vogelsberges 518.
- Ptychigene Gruppe, rumänische Karpathen, Fogarascher Gebirge 569.
- Pukaformation, andines Bolivien, Gesteine 269.
- Puzzolan, Syrigo bei Phira auf Santorin, Anal. 352.
- Pyrenäen, franz., metamorphe Kalke, Vork. 531.
- Pyrit, Grazer Gebirge, Paragenesis 127.
- Pyroxeni. Andesiten, Brechungsindex 7.
- Pyroxen, Baitonegebiet, Italien, opt. Eigensch. 535.
- Pyroxenandesit  
 und -Basalt, Niederl.-Indien, Java, Celebes, Sumatra 586.  
 Papandajanvulkan, Westjava, chem. Zus. 355.
- Pyroxen-Hyalodacit, Fouqué Kameni 1925, Santorin, Anal. 352.
- Pyroxenit, Piedmont-Komplex, Stafford Co. in Virginia 605.
- Pyroxenquarzdiorit, Chleby bei Benešov, Böhmen, Bestandteile, Analyse 558.
- Quantitative Trennung von Mineralgemengen mittels Zentrifugenglas 443.
- Quartär,  
 Sonnenstrahlungsdiagramm 721.  
 Chile, Chorrillos, Diatomeen, Kieselerde 378.  
 Portugal, Serra da Estrela, Vereisung 428.  
 Schweden, Seestratigraphie 776.  
 Transbaikalien, Bargusin und ob. Angara, Glazialbildungen 432.
- Quartärisobasenkarte Westdeutschlands 292.
- Quarz  
 $\alpha$ - und  $\beta$ -, Umwandlung, Phenokristalle 4.  
 und Feldspat, granophyrische Verwachsung, Euler Zone in Mittelböhmen und Island, Analysen 553.  
 — mikroperthitische Verwachsungen 8.  
 Gürtelgefüge 75.  
 Böhmen, Pelhřimov, Gänge, Mineralparagenese 552.  
 Stafford Co., Virginia, blaue Farbe 606.
- Quarzbasalt, Taradake, Japan, Vork. 593.
- Quarzin, Štěpniče bei Púchov, Böhmen, Pseudomorphose nach Foraminiferen 561.
- Quarzit  
 Brüxer Gegend, Mitteloligocän, Entstehung durch Einkieselung, Analyse 537—542.  
 Carrickgollogan, Mineralien darin 32.  
 Hollybush- und Maybill-Sandstein 463.
- Quarzkeratophyr, kiesführend, S. Leiro, Westnorwegen, Analyse 477.
- Quarzolith, Quarzin, Frankreich, Entstehung 779.
- Quarzporphyr  
 Auerberg, im Unterharz, Extrusion 514.  
 Bergstraße, Dossenheim, Schriesheim, Weinheim, Entstehung und Ausbildungsweise 13.  
 Teplitz-Schönau, Ostseite des Sandberges, Anal. 46.
- Quarzporphyrgänge im Blauengebiet, südl. Schwarzwald, Alter 317.
- Quarz- und Granitporphyr, Teplitz, Analysen 543.
- Quarz-Syenitporphyr, aus der Loja, niederöstr. Waldviertel, Analyse 44.
- Quarzsand  
 Anwendung bei Glasfabrikation in Rußland 818.  
 Ermatschischa unterhalb Samara und Woljsk, Saratow, in den Blauen Bergen, bei Posad-Duhowka und Stalingrad, Vork. 261.
- Quellbildung und Abfluß 369.
- Quelle  
 Gonza in Sibirien, chem. Zus. 411.  
 Herkulesbad, Rumänien, Stratigr. und Tektonik 411.  
 Hirschbrunn bei Hallstadt 401.  
 Reifnitz am Wörther See, Geol. 710

- Quelle, Tettye, Fünfkirchener Gegend, Karstwasserhydrologie 697.
- Quellen**  
 artesische, Ungarn, Szolnok, Hydrogeologie, chem. Zus. 700.  
 — siehe Artesische Brunnen.  
 Bewegungsrichtung des Wassers 691.  
 (Heil-), Schweiz, klimatische Kurorte und Sanatorien 701.  
 Deutschland, Bez. zum jungen Vulkanismus 704.  
 Dürkheim, Hydrogeologie 706.  
 Oesterreichs Bäder, Klassifikation 701.  
 Russisch-galizische Tafel im Mitteldevon 708.  
 Ungarn, Budapest, Lillafüred, Parad und Dunaalmás 710.
- Quellenschutzbezirke, Abgrenzung, geologische Bedingungen** 409.
- Querbiotit, Problem, Regelung** 76.
- Querbrüche, Gebirgsbildung, Alter in bezug auf Druckschieferung** 72.
- Radioaktive Gesteine und Mineralien, Uzbekistan** 476.
- Radioaktive Substanzen (St. MEYER)** 476.
- Radioaktive Vorgänge als geologische Uhren und geophysikalische Energiequellen** 476.
- Radioaktivität (St. MEYER und E. v. SCHWEIDLER)** 476.  
 Messung mit graduierten Apparaten 336.  
 Mineralien von Madagaskar 9.  
 Aarmassiv, Intrusivgesteine 10.  
 Kuzgun im Dscharkent-Distr. 477.  
 Therme von Tjipanas, Westjava 356.
- Radioaktivitätsmessungen als geophysikalische Aufschlußmethode** 476.
- Radiolarien, Java, Lo Oelo, Prätertiär** 782.
- Radium**  
 in Gesteinen, bes. Granit 9.  
 Ookhta-Oelgebiet, Vork. in der Salzsole 336.
- Ramsayit, Chibina-Tundren, Kola, neues Titanosilikat, Analyse** 669.
- Ramsayit-Pegmatit, Kola-Halbinsel, Analyse** 666.
- Randaufschiebungen, Magmenströmungen** 313.
- Randdelta, Bredakra, Blekinge** 424.
- Ranit, Chibina- und Lujavr-Tundren, Kola, Analyse** 671.
- Rauhreif, Rolle bei Gletscherbildung** 414.
- Rauh-schieferung** 70.
- Reduktion von Schwerewerten, Abweichung des Niveausphäroids v. Geoid** 322.
- Regelung, Querbiotit** 77.
- Regen, Erdoberfläche, Bedeutung** 625.
- Reifnitz am Wörther See, Therme, Geol.** 709.
- Reliefschliffanalyse auf Kohlen** 157.
- Repressuring in Erdöllagerstätten** 182.
- Rhein und Grundwasser, Düsseldorf, hydraulische Bez.** 396.
- Rhein- und Donautal, Rückwärts-erosion, des Rheins** 693.
- Rheingebiet**  
 Bodenbewegungen 289.  
 Erdbeben, Entstehung und Ursachen, Abhängigkeit von geol. Verhältn. 653.
- Rheinisch-westfälisches Steinkohlenbecken, Bruchfaltentektonik des Kreidedeckgebirges** 299.
- Rheinische Masse (Mittel-), geomechanischer Typus und orogener Zyklus** 299.
- Rheinischer Traß, Entstehung, Vergleich mit dem Riestraß** 527.
- Rheinisches Schiefergebirge**  
 Grade der Schieferung 71.  
 NW—SO-Schub im Koblenzer Presungsgelenk, Transversalschieferung 72.
- Rheinland und Westfalen, junge tektonische Bodenbewegungen** 289.
- Rheinlandbeben 13. XII. 1928, Herdtiefe** 340.
- Rheinpfalz**  
 Diabas (Tholeiit), Kirchheimbolanden, Schleifstein, mittl. Buntsandstein, Gewinnung 809, 814.  
 Potzberg—Königsberg-Gebiet, intrusionstekton. Unters. 314.
- Rheintal, Bewegungen zwischen Lauter und Bruche** 331.
- Rheintalgraben, Bewegungen** 288.
- Rheinwasser, Schierstein a. Rh., künstl. Speisung des Grundwasserträgers zur Wasserversorgung von Wiesbaden** 696.
- Rhön, Gesteine und Mineralien darin, Analysen** 518.
- Rhombenporphyr als Gesteinstypus u. Geschiebe** 474.
- Rhone, Wasserhaushalt** 391.
- Rhyolith**  
 Schmelztemp. 4.  
 Afrika (Süd-), Lebombokette, Vork. 318.

- Rhyolith  
 Afrika, unt. Zambesi, Analyse 601.  
 Fingal Head und Morna Point, Australien, Anal. 68.  
 Weichangmassiv, Tchéli nördlich der Großen Mauer 593.
- Rhyolithischer Dacit, Ciceu-Rețeg, Siebenbürgen, Anal. 58.
- Richtungsbedingtheit der Gesteinsfestigkeit und Bodeneigenschaften 801.
- Ried, hessisches, geol. bodenkundliche Verh. 762.
- Ries, Nördlingen, Traß, Vergleich mit anderen deutschen Vork. 527.
- Riesengebirge  
 Moränenfunde, neue 724.  
 östliches, magnetische Messungen 328.
- Riffkalk, Hawai-Inseln 438.
- Rinden, Schutz- und Wüstenrinden, Granit und kristalline Schiefer als Träger 373.
- Rio Loa-Fluß, Nordchile, Wasserlauf Vulkan Míño, Flußgebiet 382.
- Rippelmarken  
 Ebbestand der Wash, England 780.  
 Vulkan Tangkoeban Prahoe, Java 357.
- Röt, Jenaer Gegend, Strontiumgehalt 448.
- Rogenstein, deutscher, unter Buntsandstein, Verbreitung 777.
- Rohstoffgeologie, Sammlung Techn. Geologie, Wien, Aufstellung 785.
- Rohstoffgewinnung, Hauptlagerstättentypen 94.
- Roseau-Tuffe, Brit.-Dominica, Schichtung 61.
- Rosengartener Bahneinschnitt, Berlin-Frankfurt a. Oder, Böschungsrutschungen 792.
- Rote Böden, Cochinchina, Analysen 745.
- Roteisenerz, Brilon, Genesis, Abbaumöglichkeit 149.
- Roterde  
 Entstehung, chem. Zersetzung des Bodens 735.  
 als Lösungsrückstand mariner Kalksteine, Mittelmeergebiete 734.  
 Tušnad, Siebenbürgen, Analyse 765.  
 und Liasgesteine, Vergleich 755.
- Roterdeartige Verwitterungsprodukte in roten Triasmergeln, chem. Zus. 448.
- Rotnickelkies, Kolumbien, Vork. am Kontakt 608.
- Rumänien  
 Eiszeitgletscher des Bucegi in den Südkarpathen 429.  
 Erdöllagerstätten, Stratigr., Tektonik, Erdölbildung, Wanderung 212.  
 Bucegi, Deckenüberschiebung am Ostrand der Südkarpathen, krist. Schiefer, Vork. 305.  
 Circeaci, Grünstein, Sandstein, Konglomerate, Grauwacken, Verwendung zum Straßenbau 813.  
 Fogarascher Bogen und Jiutal, Gesteine, Tektonik 568.  
 Govora und Ocnița, Dacittuff, Analysen 571.  
 Herkulesbad, Stratigr. und Tektonik 411.  
 nördl. Dobrudscha, Carcaliu, Gneis, Anal. 59.  
 Șarul Dornei, Jud. Cămpulung, Amphibolit, Gneis, Analysen 567.  
 siehe auch Karpathen.
- Rumänische Karpathen, Serpentin, Entstehung 570.
- Rumänische Namengebung für Mineralien und Gesteine, Prinzipien 465.
- Rumänische tektonische Nomenklatur 294.
- Runzelschieferung 70.
- Ruscheln, faule, westl. Oberharz, Gangstörungen u. Zusammenhänge 307.
- Russisch-galizische Tafel, Westrand, Mineralquellen im Mitteldevon 708.
- Russischer Tarbagatai, Gesteine 483.
- Rußland  
 Bauxitlagerstätten, Genesis 750.  
 Bodenbildung, Bodentypen 768.  
 Erdöl, chem. Zus. 201.  
 Erdöllagerstätten, Stand der wissenschaftl.-technolog. Kenntnis; Aufsuchen 215.  
 Gipslagerstätten 152.  
 Baikal bis Kultuk, Gabbro mit Kontaktgesteinen, Mineralkomp. 514.  
 Gouv. Wiatka, Dorf Schmelewa, Diluvialgeschiebe, Aegyrineläolith-syenit, Mineralien darin 493.  
 Kaukasus, nördl., Hydrogeologie, Terek- und Kuma-Becken 388.  
 Kola, Chibina- und Lujavr-Tundren, Geochemie, Mineral- und Gesteinsanalysen 663.  
 Omega-See, nordöstl. See Segosero, Spilite, Analyse 492.  
 Ostjakutien, Sapropel im Tamtotsee 431.  
 (Süd-), kristalline Gebiete, Struktur und Zusammenhang 482.



- Rußland  
 (Süd-), Kuteiniko, Plagioklasporphyrit 492.  
 Ural, Smaragdgruben, Geochemie 676.  
 Zentralgebiet und Ukraine, Glassande, chem. Zus. 818.  
 Rutschgebiete, Pollauer Berge, Südmähren, in vier Gemeinden 792.  
 Rutschgelände von Obuda, Ungarn, Grundwasser 698.  
 Rutschungen  
 (Böschungs-), Rosengartener Einschnitte, Bahn Berlin—Frankfurt a. O. 792.  
 lößbedeckte Tongebiete, Budapest 789.  
 Spiegelabsenkungen von Speicherbecken 786.
- Sachalin (Nord-), russischer Erdölbergbau 219.
- Sachsen  
 Eibenstock, Zinnerzvorkommen 109.  
 Erzgebirge zwischen Keilberg und Klösterle, Geol. des kristallinen Grundgebirges 87.  
 Frankenbergler Zwischengebirge 86.  
 Meißner Syenit-Granitmassiv, Tektonik 84.  
 Mittweidaer Granitkörper, tektonisch-petrolog. Studien 85.  
 (Nordwest-), Kaolinbergbau im Porphyrgbiet 741.  
 Ostritz, fossile Baumstämme im Basalt 514.  
 Riesa-Strehla, geol. Karte, Grundwasserverhältnisse in der Erläuterung 399.  
 Tharandter Wald, Brüche und Porphyreffusionen 91.  
 Vogtland, Georgental—Untersachsenberg, Zinkblende, Vork. der Grube Luise 126.  
 Sächsisches Granulitgebirge, mylonitische Granitgneise der nördl. Randzone 84.  
 Sächsisches Quadergebirge, Kluffsysteme 83.  
 Säulenbildung  
 bei Kalkstein 733.  
 in Kalken, Pfeilerstruktur 450.  
 Sagami-Beben, geodynamische Vorgänge 341.  
 Sagvandit, Norwegen, Entstehung 470.  
 Sahara  
 Algerien, Grund- und Tiefenwasserverhältnisse 700.  
 Sande, Unters. 374.
- Salar, Nordchile, Bolivien, Uyuni 378.  
 Saline, Andino und Desaguadero, Argentinien 154.  
 Salische Kontinente, Verschiebungen 285.  
 Salpausselkä, große Randmoräne Finnlands 722, in Oberbayern 722.  
 Salpeter, Antofagasta, Klima 367.  
 Salse Kēsāngā, Java 660.  
 Salz  
 Astrachangebiet, Eltonsee, Baskuntschack-See 261.  
 Ostbaltikum, Solquellen 152.  
 Rotes Meer 377.  
 Solikamsk und Beresniaky-Distr. im nördl. Ural, Schwereanomalie 334.  
 Salzdom  
 Auffinden mit Seismographen 191.  
 Erdölgewinnung, Emulsionsbehandlung 178.  
 Südhannover, Kärtchen mit Erdölvork. 206.  
 Texas, östl., Tertiär 231.  
 Salzformation, Rumänien, Erdöllagerstätten 213.  
 Salzlagerstätten  
 Deutschland, Zechstein, Entstehung 150.  
 Polen, Physiographie, Bergbau, Südhüttenwesens 150.  
 Salzpflanzen, arides Nordchile 378.  
 Salzsole, Oookhta-Oelgebiet, Radium u. Mesothorium darin 336.  
 Salzstock  
 Hallstatt, Tektonik, Ekzem 301.  
 und Erdöl, Nordwestdeutschland, Zusammenhang 204.  
 — — Ochiuri, Rumänien 214.  
 Salzwasser und Erdöl 189.
- Sand  
 Entwässerbarkeit, Verfahren 395.  
 Erdölgehalt, Küstenbildung 205.  
 Erdölgewinnung 178.  
 Kornanalyse, mechanisch-technol. Prüfung 798.  
 Tertiär, Campine, Belgien, schwere Mineralien darin 780.  
 Alaska, Nome Creek, schwarze, Mineralbestandteile 606.  
 Grönland, Holsteinsborg-Distrikt, Analyse 622.  
 Konia, Asien, Vork., Mineralien darin 577.  
 Marchfeld, Niederösterreich, Mineralbestand 777.  
 Sahara, Unters. 374.

- Sand  
 Rußland, Anwendung in der Glasfabrikation 818.  
 Wash, England, schwarz 780.  
 und Gerölle, Florida, Ablagerung 463.  
 Sandbewegung, Erosion, Küstenveränderungen, Gezeiten, Ströme 627.  
 Sandboden, Wasserbewegung 394.  
 Sandgebläse, Windwirkung in der Glazialzeit, Sierra Nevada 385.  
 Sandige Oolithe, Charakter 768.  
 Sandmehl als Mörtelzusatz, Festigkeitserhöhung 815.
- Sandstein  
 Eisenformation, Amberg 140.  
 ob. Carbon, Bäreninseln, köcherbauende Würmer vom Sabellaria-Typus 449.  
 Senon, Baumberge, westl. Münster Verwitterung, Bindemittel 806.  
 Stilbit als Bindemittel 783.  
 Aachener Steinkohlenvorkommen, sedimentpetrogr. Unters. 463.  
 Old Red, Anglesey, Entstehung 377.  
 Queidersbach, Rheinpfalz, Schleifsteingewinnung aus mittl. Buntsandsteinzone 814.  
 Schweiz (Taveyannaz-), Tertiär, Mineralkomp., Genesis 36.  
 Torridon, Schottland, schwere Mineralien darin 463.
- Sandsteingang  
 im Granit, Transvaal, Farm Middeldrift bei Lothair-Station im Ermelo-Distr. 296.  
 in miocänen Tonen, Newport Beach-Feld, Orange Co., Kalifornien 297.
- Sandsteingänge, Kanada, Prov. Alberta 638.
- Sanidin, Rhön, Vork. im Phonolith 518.
- Sanidinit, Berestowiec, Polen, Analyse 480.
- Santorin  
 Alkalilaven 574.  
 Caldera, Traß, Andesindacit, Laven, Analysen 575.  
 Eruption 1925, Puzzolan, Anal. 351.
- Sapropel- (Gyttja-) Fund im Rayon der ewigen Gefronnis in Ostjakutien 431.
- Sardinien, technisch wichtige Gesteine, Verwitterung 802.
- Savóstal bei Lillafüred, Ungarn, Eruptivserie, Analysen 565.
- Saxonische Richtungen im westdeutschen Jungpaläozoicum 633.
- Schalenblende, Ostalpen, auf jungtertiären Lagerstätten 127.
- Schauinsland, Schwarzwald, Blei-Zinkerze, Genesis 117.
- Schelftypen, Untertauchen des Deltas, Mississippigebiet 438.
- Scherbewegungen, St. Pauls-Inseln, Seismizität 629.
- Scherzone, experimentelle Unters. 296.
- Schicht- und Bandstruktur, Pyrit und Zinnstein, Vila Apacheta, andines Bolivien 271.
- Schichtkrümmungen, Bändertone und Tonbänke, Entstehung 781.
- Schichtenverzeichnis im Ingenieurbau-fach, Einheitlichkeit 791.
- Schichtung, Konkordanz, Diskordanz, Kreuzschichtung, Schlickfall, Gezeiten 450, 457.
- Schiefer  
 krist., Karpathen, südl., Ostrand; Deckenüberschiebung 305.  
 Atiri, Nordsudan und Wadi Shalul, Analyse 600.
- Schiefergneis  
 Hirschegger, Bundscheck- und Teigtisch-Sch., Stubalpe, Anal. 56.  
 Meiersch und Zitternberg, niederösterr. Waldviertel, Dichte, Vork. 546.
- Schieferton, Ostkarpathen, Eocän, roter und grüner mineralog. Komp. 449.
- Schieferung, Dachschiefer der Eifel, Entstehung 811.
- Schieferungsarten 70.
- Schieferungsproblem, variskischer Gebirgskörper, als Metamorphose der Tongesteine 70.
- Schillbedeckung in Flut- bzw. Ebberichtern der Außenjade, Entstehung 457.
- Schizolith, Lujavr-Urt, Vork. im Us-singit 668.
- Schladming, Niedere Tauern, Nickelkobalterze, Zinkwand-Vöttern 123.
- Schlammapparat von WIEGENER, prakt. Anwendung 758.
- Schlammströme, Utah und Nevada, Bildungsbedingungen 369.
- Schleifstein, Buntsandstein, mittlerer, Queidersbach, Rheinpfalz, unterird. Gewinnung 814.
- Schlesien  
 Granit, geol.-petrogr. Unters. an Baustoffen 805.  
 (Ober-), Bleischarleygrube, Erze 126.  
 Schlickfall und Gezeitenschichtung 457.  
 Schlißflächen, Schleifphasen, Oberflächenwellung 3.

- Schlottenerze, kupferführende, Bobos, Guchab und Groß-Otavi, SW-Afrika, Entstehung 141.
- Schlottraß, Ries, Nördlingen, Einschlüsse 527.
- Schmelzvorgänge, Magmenerstarrung 1.
- Schneefeldkare, Ostalpen 419.
- Schneegrenze, wärmezeitliche, Portugal, Serra da Estrela 428.
- Schobergruppe, Osttirol, Grünschiefer- und Kalkphyllitfazies 80.
- Schörl, Quarz und Feldspat, Verwachsung, Budislav bei Litomyšl in Ostböhmen 554.
- Schollen, Entstehung der Kontinente und Ozeane 286.
- Schotter, petrogr. Unters., Kornanalyse, mech.-technologische Prüfung 798.
- Schottermaterialien, Klassifikation, verwendet in Schweizer Kantonen 813.
- Schotterterrassensysteme Mitteldeutschlands 723.
- Schottland (Südost-), plutonische Massive, Diorit, Granit, Andesit, Porphyrit, Analysen 25.
- Schriftgranit, Natur 474.
- Schriftstruktur, Granitpegmatit 8.
- Schubfestigkeit der Böden, Rutschungen 787.
- Schürfmethode, elektrische, Anwendung 329.
- Schuttwanderung, Südwestafrika 376.
- Schutzrinden, Bestandteile 372.
- Schwarzwald  
Bodenverhältnisse für Viehweiden 762.
- Blauengranite, Aufbau und Alter, Analysen von 3 Arten 523.
- Krustenbewegungen 288.
- Mineralquellen, Bez. zum jungen Vulkanismus 704.
- Blauenmassiv, Granit, Eruptivgänge 316.
- Elz bei Emmendingen, Niederschlag und Abfluß 391.
- Murgtal, Hornsteingänge bei Gaggenau 753.
- Schauinsland, Blei-Zinkerze, Genesis 117.
- Triberger Gegend, Flußgefälle, Ursachen 693.
- Schweden, Alfta-Kirchspiel, Natron-Quarz-Helsinkit, Analyse, Mineral-komp. 478.
- Schwedische Städte, Wasserführung 392.
- Schwefel  
in Sedimenten 768.  
Rolle bei Bodenbildung 759.  
Karakumy-Wüste in Mittelasien, geochemische Prozesse 680.  
Louisiana, Sonde Lake Peigneur, Vork. 237.  
Papandajan-Kraterwand, Java, Absatz 358.  
Sulphur-Dom, Calcasieu Parish, Louisiana 187.
- Schwefelthermen, Brasilien, Schüttung 410.
- Schwefelwasserstoffführendes Gas, Penhandle, Texas 230.
- Schweiz  
Bodenuntersuchungen, Bildung in den Alpen und Vegetationsentwicklung 763.  
Heilquellen, klimatische Kurorte und Sanatorien 701.  
Aarmassiv, östl., Gesteine 39.  
Blümlisalp, junger Vulkanismus 43.  
Lötschbergtunnelbau, Ursachen und Folgen der Katastrophe am 24. 7. 1908 786.  
Taveyannazsandstein, Petrogr. 36.  
Vadret Lischanna, Unterengadin, Gletscherbeobachtungen 417.
- Schweizer Alpen, Petrographie 38.
- Schwereabweichungen, Süddeutschland, Karte 643.
- Schweremessungen  
Astrachan, Solikamsk und nördl. Ural 334.  
Reduktion von BRUNS-BOWIE 322.  
Schwerestörungen, Bewertung 320.  
Schwereverteilung auf der Erde 320.  
Schwerkraftstörung, scheinbare, Wirkung der Undulationen 323.
- Schwimmwandwasserhorizont, nieder-rheinisch-westfäl. Steinkohlenbezirk 397.
- Schwimmspuren im Sediment, Lettland 181.
- Sedimentäre Kieselsäuregesteine nicht klastischen Ursprungs, Bildungsweise 459.
- Sedimentäre und Verwitterungslagerstätten, System 142.
- Sedimentation  
marine, Wash in England 780.  
Seen, Entwicklungstypen 451.  
selektive gravitative 144.  
Schichtkrümmungen, Bänder-ton und Tonbänke 781.  
Tiefsee, Zeiträume, Menge, org. und anorg. Bestand 773.



- Sedimentation  
 Afrika (Süd- und Südwest-), junge  
 terrestre 374.  
 Bahama-Inseln, Bildung von Kalk-  
 stein und Dolomit 784.  
 Ontario- und Huron-See 455.  
 Oklahoma, Anadarko 783.  
 Oklahoma, Kansas, Nebraska, Zyklen  
 783.  
 Palästina 368.  
 Pico-Formation, Ventura Qua-  
 drangle, Kalifornien 463.  
 Wash, England 780.  
 Sedimentbildung an der Küste des  
 norddeutschen Wattenmeeres 456.  
 Sedimente  
 alte, schwere Mineralien darin 780.  
 Bildung 443.  
 Erdölgehalt 188.  
 Lias, chem. Unters. 754.  
 Lücken darin, Diastemen 450.  
 nicht verfestigte, Härten 444.  
 Radioaktivitätsbestimmung 477.  
 Schwefel, freier, darin 768.  
 Schwimm- und Kratzspuren, Lett-  
 land, von Fröschen 781.  
 Aachener Steinkohlenvorkommen,  
 petrogr. Unters. 463.  
 Frankreich, Kieselgesteine, Ent-  
 stehung 778.  
 Nordkaukasus, Petrogr. 781.  
 Sedimentfarben, Anzeichen für Klima  
 683.  
 Sedimentführung  
 Coloradofluß, Denudationstätigkeit  
 392.  
 des Mississippi 783.  
 Seebälle als Scheingerölle 455.  
 See-Eis, Profile, Beob. 720.  
 Seen  
 Bodenablagerung und Entwicklun-  
 gstypen 451.  
 eisgestaute, Estland, Niveauver-  
 schiebungen 424.  
 — und Rezession des Inlandeises 293.  
 Seestratigraphie, Schweden, Pollen-  
 und Diatomeenanalyse, Entwick-  
 lungsgeschichte der Ostsee 776.  
 Seifen, Zinnerz, Eibenstocker Gegend  
 110.  
 Seismische Tätigkeit  
 Japan, Kwantô-Distr. 294.  
 siehe Erdbeben.  
 Seismische Verfahren zur Erforschung  
 von Gebirgsschichten und nutz-  
 baren Lagerstätten 648.  
 Seismische Wellen, Ursache bei In-  
 trusionsvorgängen 339.  
 Seismizität, Atlantischer Ozean, St.  
 Pauls-Inseln 629.  
 Seismograph, Erdölfinden 191.  
 Seismologie, Bibliographie 339.  
 Selbstentzündung, Kohle 158.  
 Senkung  
 Jadebusen 291.  
 Kentucky und Bermuda 293.  
 Senkungen am Niederrhein 289.  
 Senkungstempo, Obercarbon, subvaris-  
 kische Vortiefe 635.  
 Separationsmethoden für feinkörnige  
 Mischungen 3.  
 Serbien  
 (Süd-), Venaz, Vis, Gradisté und  
 Kourel, Latit, shoshonitischer Bas-  
 salt und Kajanit, Analysen 573.  
 (West-), Zlatibor-Massiv, Tektonik  
 und Morphologie 636.  
 Sericit-Chloritphyllit, Kolostori eoelo,  
 südl. Bánfalva, Ungarn, Analyse  
 562.  
 Sericitgneis, Aaremassiv, Zonen 39.  
 Serpentin  
 Connemara, Irland, Analyse 36.  
 Firizu, Südkarpathen, glimmer-  
 führend 571.  
 Kácov a. d. Sázava, Böhmen, Vork.  
 560.  
 rumänische Karpathen, Ursprung  
 570.  
 Serpentinisierung, Chrysotilbildung,  
 Südquebec 442.  
 Shannonit, Shannon Tier, Tasmanien,  
 Anal. 67.  
 Shonkinit  
 Celebes, Pik von Maros, Vork. 589.  
 Chibina- und Lujavr-Tundren, Ana-  
 lyse 666.  
 Sial-Sima-Grenzschicht, Tiefenlage-  
 bestimmung 333.  
 Siallitbildung im mediterranen Gebirgs-  
 klima 734.  
 Siallitisches Verwitterungsprofil, Jura,  
 Oberösterreich 755.  
 Sibirien  
 ewig gefrorener Boden 430.  
 Gonža-Quelle, Anal. 412.  
 (Zentral-), Abakan, Eisenerze 131.  
 Siebenbürgen, Hermannstadt, Hohe  
 Rinne und Resinar, Gesteine 572.  
 Siebenlehner Gabbrogebiet, geol. Stel-  
 lung 86.  
 Siegerland, Silberger Revier bei Müsen,  
 Stratigr. und Tektonik 121.  
 Sierrapluton, Bewegungsspuren 312.  
 Silber-Golderze, Simau, Res. Benkoelen,  
 Paragenesis 124.

- Silifizierung, Karakumy-Wüste, Mittel-asien, am Schwefelhügel, Bildung von Opalgallerte 681.
- Silikasteine, Strukturerscheinungen der Rohstoffe 776.
- Sillimanitgneis, Tautendorf, niederösterreich. Waldviertel 549.
- Sillimanit-Granatfels, Ceylon, Analyse 583.
- Silur  
Bornholm, Fauna, Gesteine 817.  
Sahara—Bolivien, Ozean mit borealer Fauna 278.
- Silvrettkristallin, Flüelagruppe, Graubünden 40.
- Skandinavien, Bau und Bewegung der Gebirge 312.
- Skapolith, Baikar, Umwandlung in Feldspat 514.
- Skapolithgneis, Madras, Indien, Mineralbestand 578.
- Skarn  
Darydag, Transkaukasien, metamorphes Granat-Quarz-Calcit-Epidot-Gestein 502.  
(Granat-, Pyroxen- oder Biotitkarn), Baitonegebiet, Adamellogruppe, Italien 536.
- Smaragd  
Bolivien, Lagerstätten, Genesis 101.  
Ural, Desilifikation der Pegmatite; Geochemie 675.
- Sodalith, Bildung 5.
- Sodalithtephrit, Brüxer Umgebung, Vork. 540.
- Solfatarentätigkeit  
Papandajan-Kraterwand, Java 358.  
Vulkane von Flores 361.
- Soliflux siehe Erdfließen.
- Solikamsk, Bohrungen, Kalisalze 152.
- Solling, Bodenbewegungen im Bereich der Weser 290.
- Solquellen  
Halle, Tiefbohrungen im Zechstein 151.  
Ostbaltikum, Silur und Devon 152.  
Sonde, Texas, Big Lake Field, Regan Co., Tiefen und Temp. 227.
- Sonnenbrand, Basalt, Unters. 804.
- Sonnenbrenner  
Gesenke, Ursache 557.  
mechanischer Zerfall bei Entglasung 526.
- Soproner Gebirge, Ungarn, Gneis, Phyllit, Leukophyllit, Quarzit 561.
- Soziätsinseln siehe Pazifisches Gebiet.
- Spalten  
Magma, Erzlagerstätten 97.  
Oberharz, westl. 308.
- Spaltenbildung in Gletschern, Verteilung von Spalten 417.
- Spanien  
Bodentypen 763.  
keltiberisches Gebirge, Stratigr. und Tektonik 636.  
Murcia-Prov., Calasparra, jumillitähnliches Gestein, Verit und Fortunit, Analyse 534.  
Toledo, Petrographie der metamorphen Zone 533.
- Spannungen, tektonische, Auslösung im Tonschiefer und Diabas, Goslarer Gegend 74.
- Spateisen, Waldensteintal, Koralpe, Genesis aus Marmor 49.
- Speicherbecken, Spiegelsenkungen 786.
- Spessartin, russischer Tarbagatai, Vork. 483.
- Spessart  
Pasmory, Transkaukasien, Vork. 505.  
Tejfovice, Böhmen, Vork. 552.
- Spiegelabsenkung von Speicherbecken, Folgeerscheinungen 786.
- Spiegglitzer und Glatzer Schneegebirge, moldanubische Deckscholle 45.
- Spilit  
Böhmen, Tejfovice, Ergüsse im Algonkium 551.  
Kirunadistrikt, Valkeasiipivaara, Analyse 472.  
See Segosero, nordöstl. Omega-See, Analyse, Strukturvarietäten 492.
- Spilitporphyrit, Szarvaskö, Ungarn, Analyse 564.
- Spitzbergen  
asturische Faltung 305.  
Beiträge zur Geologie, Brodelerscheinungen 425.  
Green Bay-Gletscher, Endmoräne 425.
- Spitzbergen-Expedition 1927, glaziologische und geolog. Ergebnisse 426.
- Sporobolus airoides, Anzeigen für Grundwasser 387.
- Sporogelit, Gánt, Westungarn, Vork. 737.
- Spreustein, Westerwald, im Sonnenbrenner, Analyse 526.
- Spülsaum aus Regenwürmern 437.
- Stabilmetabiten in jungtertiärem Bitumenton Norddeutschlands 201.

- Städte, Schweden, Wasserführung 392.  
 Stalagmit, zerschnitten durch eine Verwerfung 637.  
 Stammbaum der Gebirge und Vordländer, geotektonische Großgliederung der Erdkruste 634.  
 Standfestigkeit, Böden, Neigung zum Fließen und Rutschen 791.  
 Stannin, Bolivien, Vila Apacheta, Haupterz 267.  
 Staub-Reliefschliff von Kohlen 156.  
 Staubaufwirblung, Südosteuropa, April 1928, Ukraine bis Pommern, chem. und mikrosk. Anal., sedimentärer Ursprung 386.  
 Staubfall, Südpolen, April 1928 385.  
 Stauchmoränen, Norddeutschland 427.  
 Steiermark, Stubalpe, chem.-petrogr. Unters. 53.  
 Steinbruchbetrieb, Anfahren von Zerrüttungstreifen 787.  
 Steinkohle  
 Floren 159.  
 Braunkohle und Torf, Begriffsbegrenzung 155.  
 Bäreninsel, Vork. 164.  
 Holland, Geologie 163.  
 Kouznetz, Sibirien, Vork. 164.  
 Ostrau-Karwiner Gebirge, Neukonstruktion des Reliefs 163.  
 Steppen, China, Lößbildung 772.  
 Sterne, Leben 625.  
 Stereornithes, Kreide, Patagonien 689.  
 Stickstoffgehalt in Böden 760.  
 Stilbit als Bindemittel von Sandstein 783.  
 Stringocephalenschichten, Mitteldevon, Eifel 439.  
 Störungszonen, westl. Oberharz 309.  
 Stoßstauchung, Baugrund, Verformbarkeit 788.  
 Strahlungskurve  
 Einordnung, Vereisungen Norddeutschlands 723.  
 und Polverschiebungen, letzte Vereisung 716.  
 Strand, Barren, Sandbewegung 627.  
 Strandmarken eines Salzsees im Granit, Wichita Mts. 380.  
 Straßenbaugesteine, petrogr. und technische Prüfung 794.  
 Straßenbaugranite, petrogr. Unters. 808.  
 Straßenbaumaterialien, Klassifikation, Eigenschaften 813.  
 Straßenpflaster Gesteine, Verwendung, in Frankreich, Schweiz, Rumänien 813.  
 Stratigraphie  
 Verwertung fossilführender Bohrkern 769.  
 Schweden, Ostsee 776.  
 Südafrika und Südastralien 276.  
 Streichen und Fallen, Zeichen auf erdölgeolog. Karten 309.  
 Strengit, Amberg, Paragenesis 149.  
 Striemung, Blastomylonite im Grundgebirge des Odenwaldes 90.  
 Strömungstheorie und Epeirophorese 628.  
 Strontium, Jenaer Gegend, im Röt und unt. Muschelkalk, Herkunft 448.  
 Stubalpe, Steiermark, Kränzelgneis, Paragestein, chem. Zus. 54.  
 Stückfestigkeit, neue Bezeichnung für technische Festigkeit 801.  
 Subkrustale Erkaltung, Entstehung der Kontinente und Ozeane 286.  
 Sudeten, Tektonik des Grenzgebiets zwischen West- und Ost-Sudeten 45.  
 Sudetenrand, nordische Vereisung, Erscheinungen 724.  
 Südamerika  
 magmatogene Lagerstätten, Verknüpfung mit den großtektonischen Einheiten 100.  
 Anden (Ost-), Erdölmöglichkeiten, Vork. im Tertiär von Peru 245.  
 Argentinien, Erzlagerstätten, Lit. 272.  
 Bolivien, andines, Eruptivgesteine und Erzlagerstätten 269.  
 — Ostanden, Erzlagerstätten, Caracoles und Oruro 266.  
 — Uncia-Llallagua, Zinnerzlagerrstätte 111.  
 Brasilien, Erdölspuren in Maranhao bei Codo, São Paulo und Santa Catharina 247.  
 — Santa Catharina, Kohlenvork. Erdöl 167.  
 — — — Ribeirão da Prata, silberhaltiger Bleiglanz 120.  
 — Thermen von Caldas da Imperatriz 413.  
 — — — und Annitapolis, Gesteine 611.  
 Chile (Nord-), Eiszeit 434.  
 — — Rio Loa, Flußgebiet, Gesteine, Versalzung 382.  
 — tektonische Erdbeben 345.  
 — Wüstenbildung, Salare, Kieselerde, Inselberge 377, 380.  
 Ecuador (Ost-), Sumaco, andesitischer Tephrit 65.



- Südamerika  
 Gondwanaformation, basaltische Gesteine 66.  
 Kolumbien, Kohlenlager in der Ostkordillere 166.  
 — (Süd-), vulkanische Gesteine, Tektonite, Diorit-Monzonit-Syenit-Granit, Andesit, Basalt, Dolerit 607.  
 Patagonien, Klima und Flora im Wandel der Zeit 688.  
 Peru (Nord-), Anthrazitlagerstätten 166.  
 — (Nordwest-), Petrographie 64.  
 — (Süd-), Acora, Antimonitlagerstätte 119.  
 Trinidad, Tertiär, Oelsande 245.  
 Venezuela, Guayana-Hochland, hydrothermale Goldquarzgänge 113.  
 und Südafrika, geolog. Vergleich 276.  
 Süddeutschland, Erdkrustenbewegungen 288.  
 Süßwassersedimente, Miocän, Brüxer Umgebung 538.  
 Sulfantimoniate, andines Bolivien, Paragenesis 272.  
 Sulfarschwefel in Böden, Verhalten 759.  
 Sulfidische Erze  
 im Mississippi-Tal, Entstehung 118.  
 Tsumeb-Mine, Otavi 139.  
 Sulfosalze, Kolumbien, Minerallagerstätten 611.  
 Sumatra siehe unter Niederl.-Indien 588.  
 Surirella chilensis, S. sela, Quartär, Chorrillos 378.  
 Suszeptibilität, Gesteine, Rheingraben 332.  
 Svalbard-Orogenese, Norwegen 304.  
 Syenit  
 (Hudsonit), Sahara, Gara Dehin, Analyse 597.  
 Brasilien, Sta. Catharina, Entstehung 613.  
 Rhode Island, Vork. seltener Mineralien darin 605.  
 Zentral-Ayresshire, Arten, Anal. 529.  
 Syenit-Granit, Rußland, Builowka, Gouv. Woronesch, Analyse, melanokrate Einschlüsse 484.  
 Syenit-Granitmassiv, Meißen, Tekt. 84.  
 Synklinalen, Erdölvorkommen 205.  
 Syntexe von Dolomitgesteinen, Entstehung der Sagvandite, Norwegen, Finnland und Neu-Seeland 470.  
 Systematische Petrographie W. HOMMEL's auf genetischer Grundlage 1.  
 Systeme, Magmendifferentiation 1.  
 Tabelle tektonischer Begriffe 294.  
 Talaidh-Typus des Tholeiits, Nordengland, Analysen 17.  
 Talk, Russische Sowjetrepublik, Lagerstätten, Anal. 257.  
 Talsperren, Deutschland, geol. Voraussetzungen für die Errichtung und Durchführung geolog. Vorarbeiten bei ihrer Planung 785.  
 Talweitung durch Gletscher, Alaska 417.  
 Tandil-Gebirgsgruppe Argentinien, Ueberschiebung 306.  
 Tangeit, Tuja-Mujun in Turkestan, Geochemie 677.  
 Tangobeben, Verwerfungsbildung 294.  
 Tatragebirge, Quellen 699.  
 Taveyannazsandstein, Tertiär, Schweiz Mineralkomp., chem. Zus., Entstehung 36.  
 Teallit, andines Bolivien, Paragenesis auf Lagerstätten 272.  
 Technisch-Geologisches und Bodenkundliches von Bornholm 817.  
 Technische Geologie  
 Baugrund, Stoßstauchung, Verformbarkeit 788.  
 Böschungsrutschungen, Rosengartener Bahneinschnitt Berlin-Frankfurt a. O. 792.  
 Gesteinsuntersuchung, Gesteinsnamen, petrographische Charakterisierung von Bausteinen, Gesteinsbewertung 795.  
 Rutschungen, Schubfestigkeit der Böden 787.  
 Sammlung Techn. Hochschule in Wien 785.  
 Steinbruchbetrieb, Zerrüttungsstreifen, Granitbruch, Limberg, Niederösterreich 787.  
 Talsperren, Wasserwirtschaft, Deutschland 785.  
 Tunnelbau, Lötschberg, Schweiz, Ursachen und Folgen der Katastrophen am 24. 7. 08 786.  
 Technische Gesteinsprüfungsmethoden 798, 801.  
 Technische Gesteinsuntersuchung 794.  
 Technisch-hydrologische Fragen 713.  
 Technologisch wichtige Mineralstoffe 814.  
 Tektit, Kolumbien (Süd-), Ursprung 608.  
 Tektonik  
 Wachstum der Kontinente 285.  
 nördlich. Bergsträßer Odenwald 88.

## Tektonik

- Deutschland (West-), Einsetzen der saxonischen Richtungen im Jungpaläozoicum 633.  
 Eifel, Dachschieferindustrie 812.  
 Erzgebirgsrand zwischen Keilberg u. Klösterle 87.  
 Flüelagebiet, Graubünden 40.  
 Frankreich, Becken von St. Étienne, Granit und Granulit 317.  
 Harz, oberer, Gangstörungen 307.  
 Koralpe, Bez. zu den Nachbargebieten 52.  
 Mittweidaer Granitkörper 85.  
 Osningfaltung, Ueberschiebung 635.  
 Otavi-Bergland 137.  
 Potzberg-Königsberg-Gebiet, Rheinpfalz 315.  
 Rheingebiet, oberes und unteres 290.  
 Rheinisches Schiefergebirge, Transversalschieferung 72.  
 Rumänien, Bucegi, Deckenüberschiebung am Ostrand der Südkarpathen 305.  
 Rumänische Karpathen 569.  
 Sächsisches Quadergebirge, Kluftsysteme 83.  
 Schwarzwald, Blauengranite 524.  
 Siegerland, Silberger Revier bei Müsen 121.  
 Südamerika, Bez. zu den magmatogenen Lagerstätten 100.  
 Süddeutschland, junge Krustenbewegungen 288.  
 Thüringen, Vergitterung tektonischer Achsen im Bauplan 297.  
 Westerwälder Vulkane 79.  
 und geothermische Tiefenstufe, Texas, Zusammenhang 325.  
 Tektonische Begriffe, Tabelle 294.  
 Tektonische Bewegungen der Erdkrinde, jüngste 293.  
 Tektonische Elemente, Darstellung 88.  
 Tektonische Erdbeben, Chile 345.  
 Tektonische Geburt, Erdöl u. Kohle 633.  
 Tektonische Nomenklatur im Rumänischen 294.  
 Tektonische Phänomene 633.  
 Tektonische Spannungen, Auslösung in Tonschiefer u. Diabas an Hand von Beobachtungen b. Goslar a. Harz 74.  
 Tektonische Uebersicht der Erde (A. PHILIPPSON) 625.  
 Tektonit mit Gürtelgefüge 75.  
 Temperatur, geotherm. Tiefenstufe, Oklahoma, Texas, Kalifornien 324.  
 Rheingraben, Erdölgebiet von Pechelbronn 331.

## Temperaturen

- von Magmen 4.  
 hannoverscher Erdölfelder 192.  
 Tenggerkalderaproblem, Ostjava 359.  
 Tennengebirge, Höhleneiskristalle 408.  
 Tephrit, andesitischer, Sumaco, Ost-Ecuador, Anal. 65.  
 Kaaden, Egertal, Vork. 559.  
 Teplitz-Schönau, Wasserleitungsprojekt 401.  
 Terra rossa  
 Annam, Cochinchina, Entstehung 591.  
 siehe Roterde.  
 Terrassen, glaziale, Ueberetsch 422.  
 Terrestre Sedimentation, Süd- und Südwestafrika 374.  
 Tertiär  
 alpine Orogenese, Eruptivgesteine der Zentralmassive der Alpen 42.  
 Böhmen, Kaaden, Braunkohlensandstein, Tuffe, Augitit, Basalte 559.  
 Brasilien, Santa Catharina, Kohle, Erdöl 169.  
 Chile, Atacama, Syenit, Trachyt, Rhyolith 378.  
 Costa Rica, Schichten 661.  
 Elsaß, Verwerfungen; Erdölgebiet von Pechelbronn 331.  
 Japan, Akita, Aomori und andere Präfekturen, Erdölvork. 250.  
 — Dôgo-Insel, Sedimente und Ergußgesteine 594.  
 Kalifornien, geotherm. Tiefenstufe in Erdölgebieten 326.  
 Nordamerika, Gebirgsbildung, Cordilleren und Appalachen 282.  
 Polen, Mraznica, Stratigr., Erdölgehalt 211.  
 Südamerika, Kolumbien, Honda-Schichten, Guaduas-Horizont 610.  
 — Patagonien 688.  
 Tschecho-Slowakei, Brüxer Umgebung, Gesteine 536.  
 Teschenit-Pikrit, Štěpnice, Böhmen, Eruptivbreccie 561.  
 Tetraedrit, Kolumbien, Paragenesis 611.  
 Texas, tiefstes Bohrloch der Welt, durchfahrene Formationen 319.  
 Texas-New Mexiko, Perm, Stratigr. 228.  
 Textur und Porosität von Gesteinen, Bezieh. 734.  
 Thallium, Gefahren 466.  
 Tharandter Wald, Brüche und Porphyreffusionen 91.  
 Thenardit, Astrachangebiet, Vork. 261.  
 Theorien von CLAIRAUT u. Massenverteilung im Erdinnern 321.

- Theralith, Kola-Halbinsel, Analysen 666.
- Thermalquellen, Ungarn, Budapest, Paráđ, Lillafüred und Dunaalmás 710.
- Thermalsprudel, Bad Kolberg in Thüringen 707.
- Therme  
Herkulesbad, Rumänien, Stratigr., Tektonik 411.  
Reifnitz am Wörther See, Geol. 710.  
Tjipanas, Westjava, Anal. 356.
- Thermen, radioaktive, Caldas da Imperatriz, Santa Catharina, Brasilien. Entstehung 413.
- Tholeiit,  
Kirchheimbolanden, Rheinpfalz, Vork. 809.  
Nordengland, Gänge, Typen, Anal. 15.  
Potzberg-Königsberg, Rheinpfalz, Vork. 314.
- Thormineral aus Lithiumpegmatit, Camb Harding bei Empudo, Neu-Mexiko 8.
- Thüringen  
Dachschieferindustrie 810.  
Diabas im Schiefergebirge, techn. Unters. und Verwendung 803.  
Thermalsprudel, Bad Kolberg 707.
- Thüringer Wald  
Flußspatlagerstätten, Genesis 10.  
permische Eruptivgesteine, provinzielle Stellung 10.
- Tiefenstufe  
geothermische, Oklahoma, Texas, Bestimmung in Erdölgebieten 323.  
Umprägungsstufe, isograde Metamorphose dafür 8.
- Tiefseeablagerungen, Menge 438.
- Tiefseesedimentation, Dicke, Zeiträume, anorg. und org. Bestand. 772.
- Tierspuren, Mittel zum Festhalten 384.
- Tillit, Permcarbon, Squantum 436.
- Tinguaitähnlicher Phonolith, Kahlenberg oberhalb Burgbrohl, Anal. 515.
- Tirol  
Oelschiefer, phys. und chem. Eigenschaften, Technologie 268.  
(Süd-), Bozen und Trient, Mineral-lagerstättenkarte 255.  
und Vorarlberg, Bergbau 253.
- Titan und Eisen in Gesteinen, Bestimmung 466.
- Titanit  
Chleby bei Benešov, Böhmen, Pleochroismus 558.  
Kukiswumtschor, Kola-Halbinsel, Analyse 671.
- Titanmagnetit, Jacupiranga, Brasilien, Genesis 100.
- Toba-See, Nord-Sumatra, Entstehung durch Vulkanismus 354.
- Tokéit, Abessinien, Nekameti nach Addis-Abeba, Analyse 600.
- Ton  
Dispersität, Beeinflussung durch Elektrolyte 774.  
Entwässerung in Schichtstößen 789.  
feuerfest, Analyse durch  $H_2SO_4$ -Aufschluß 774.  
— Sokolki im Gouv. Saratow, Vork. 261.  
Flyschkarpathen, chem. Zus. 449.  
Gleitflächen bei Rutschungen 792.  
Roter, Tiefseesedimentation 773.  
Schichtkrümmungen, Entstehung durch Wasserdurchtränkung und Austrocknung 781.  
Schwindungs-, Ausroll-, Plastizitätsgrenze 799.  
techn. Analyse mit Mikroskop 776.  
Verwendung im Hüttenbetrieb 814.  
Carolina, Slate Belt, Entstehung 747.  
Landsberg a. d. W., chem. Anal. 446.  
und Kaolin, röntgenograph. Studien 728.
- Tonalit, Riesenferner, Aehnlichkeit mit Quarzdiorit, Proseč, Tschechoslowakei 550.
- Tonerdehydrate, Gánt, Ungarn, Bauxitlagerstätte 737.
- Tongebiete, lößbedeckte, im III. Bezirk von Budapest, Rutschungen 789.
- Tongesteine, Metamorphose, Schieferung 70.
- Tonschiefer  
Goslar, Auslösung tekton. Spannungen 74.  
Whin Sill, Teesdal, England, Anal. 35.
- Topas-Greisen-Zone im Granit, Silvermine in Missouri, Paragenesis 109.
- Topfstein, Finnland, Nunnanlahi im Kirchspiel Juuka, Anal., Schmelzpunkt 816.
- Torf, Braunkohle, Steinkohle, Begriffsbegrenzung 155.
- Torf- und Brennschiefer, Saratower Gouv., Vork. 260.
- Torfvorräte der Welt, Vork. in Gegenden kühlgemäßigten Klimas 690.
- Torpedieren, Erdölgewinnung, Amerika 176.
- Toscanit, Fly Point, Australien, Anal. 68.
- Toteis, Zentralisland 726.



- Trachybasalt**  
 Aetnaeruption 1928, Anal. 351.  
 Port Kembla, Australien, Alkalinisierung 69.
- Trachydolerit**, Aegäische Inseln 574.
- Trachyt**  
 Alagez, Armenien, magmatische Formel 500.  
 arktisch-indisches Grenzgebiet, Insel Heard, Vork. 624.  
 Gleichenberg, chem. Zus. 53.  
 Gomera, Dorf Tamargada, Analyse 614.  
 Hülsberg, Westerwald 79.  
 Laacher Seegebiet, chem. Zus. 514.  
 Polynesian, Marquesas-Insel Nukuhiva, Analysen, Abarten 618.
- Trachytische und Nephelinphonolithe**, Brücker Umgebung, Mineralbestand 540.
- Trachytoider Phonolith**, Kahlenberg, Burgbrohl, Analyse 515.
- Transgressionen**, Afrika (Süd-) und Südamerika 279.
- Translation**, Glimmer 77.
- Transversalschieferung**, Genesis 73.
- Transversalstrukturen**, Kalifornien und Mexiko 306.
- Trapp**, Bad Nauheim, Zersetzungsprodukt, Pseudomorphosen nach Magnetit 518.
- Traß**  
 Acrotiri, Insel Thera, Lava 576.  
 Nördlinger Ries, Vergleich mit anderen deutschen Vork. 527.
- Traßmehl**, Zementmörtelbildung, Festigkeit 815.
- Travertin**, Bildung durch Kalkalgen und Cyanophyceen 711.
- Trias**  
 Deutschland, Buntsandstein und Muschelkalk in Franken 777.  
 Frankreich, Basses-Pyrenäen bei Rébenacq, Gesteine, Eruptiva darin 531.  
 Jenaer Gegend, Strontium im unt. Muschelkalk u. Röt, Herkunft 448.  
 Südwestdeutschland, Enztal, Wasser im Buntsandstein 709.
- Molukken, Asphalt, Erdöl, Bitumen 249.
- Odenwald, Buntsandstein, Typen u. Komponenten 461.
- Trias-Jura**, Rocky Mts., Red Beds 377.
- Triasmergel**  
 rote, chem. Analysen 753.  
 — Degerloch, Endersbach, Kappelberg, Anal. 447.
- Triberg**, Schwarzwald, Flußgefälle, Ursachen 693.
- Trinidad**, Erdölsand, Tertiär, Kreide, Stratigr. 245.
- Trinidad-Asphalt**, Mineralgehalte 203.
- Tripel**, Wolks, unt. Wolgagebiet, Vork. 260.
- Triploidit**, Amberg, Paragenesis 149.
- Trockenrisse**, Klimaanzeichen 683.
- Trondhjems-Orogenese**, Norwegen 303.
- Tropfsteinhöhlen**, Pennsylvanien, Entstehung 712.
- Tropische Gebiete**, Verwitterung, Bodenbildung 758.
- Tropische Verwitterung**, Bodenbildung 750.
- Trysil-Hebung**, Norwegen 302.
- Tschechoslowakei**, Südmähren, Pollauer Berge, Rutschgebiete 792.
- Tsumeb-Mine**, Otavi, Erzlagerstätten 138.
- Tuffartige Laven**, Alagez, Armenien, Analysen 499.
- Tuffe**  
 vulkanisch, Einteilung 657.  
 Kaaden, Egertal, Vork. 559.  
 Laacher Seegebiet, Leitauswürflinge darin 514.  
 Sumatra, Liparit, agglomeratischer und dichter Andesittuff 588.
- Tuffit**, Rudelsdorf bei Brüx in Böhmen, Analyse 542.
- Tuffporphyroid**, Csavarószberg, Savósztal, Ungarn 565.
- Tuffstrom**, Definition 658.
- Tuja-mujun-Gebiet**, Ferghana, Geologie 476, Geochemie 676.
- Tujamunit**, Turkestan, Paragenesis, Analyse 677.
- Tunnel**, Lötschberg, Schweiz, Ursachen und Folgen der Katastrophen am 24. 7. 1908 786.
- Turanit**, Tuja-Mujun in Turkestan, chem. Zus. 677.
- Turkestan**, Tuja-Mujun, Uran-Vanadium-Grube, Geochemie 676.
- Turmalinfels**, Volešná, Böhmen 553.
- Tyrrhenis und Adriatis** 636.
- Überschiebung**  
 Appalachen 306.  
 argentinische Provinz Buenos Aires, Tandil-Gebirgsgruppe 306.  
 Siegerland, Silberger Revier bei Müsen 122.
- Überschiebungstektonik** bei der Osningfaltung 635.
- Ukraine und Woronesch**, Identität der Gesteine 491.

- Ultramylonit, Korsika, östl., Entstehung 533.  
 Umprägungsstufe für Tiefenstufe 8.  
 Umptek, Chibina- und Lujavr-Tundren, Gesteine 664.  
 Undulationen von Schwerewerten 323.  
 Ungarn  
   Börzsöny-Gebirge, Hydrogeologie 698.  
   Budapest, Rutschungen in lößbedeckten Tongebieten 789.  
   — Schwankungen in der Wassermenge der Thermalquellen 710.  
   Dunaalmás, Schwefelquellen 710.  
   Fünfkirchen, Hydrologie des Karstwassers 697.  
   Gánt, Bauxitlagerstätte 737.  
   Királyháza, Kom. Hont, Andesite, Vork. 566.  
   Óbuda, Rutschgelände, Grundwasser 698.  
   Savóstal bei Lillafüred, Porphyroide, Porphyrit, Analysen 564.  
   Soprongebirge und Umgebung von Medgye, kristalline Schiefer 561.  
   Sopron-Kom., artesische Brunnen bei Kapuvás und Csorna 405.  
   Szarvaskő, Gabbrodiorit, Diorit, Diabas, Spilit, Gabbrodiabas, Analysen 563.  
 Unterirdische Wasser, Kondensation, Einsickerung, Wirkung auf Grundwasser 393.  
 Ural  
   Mugodschar-Gebirge, Granit, Syenit, Diorit, Gabbro, Malchit, Andesite Porphyrite, Diabase 512.  
   (Nord-), rezente Gletscher 725.  
   Phosphoritlagerstätte 150.  
   Smaragdgruben, Geochemie 675.  
   Talklagerstätten, Anal. 257.  
 Uran, Migration auf Grube Tuja-Mujun in Turkestan 679.  
 Uran-Vanadium-Grube Tuja-Mujun in Turkestan, Geochemie 676.  
 Uranoxyde, Kuzgun im Dscharkent-Distr. 477.  
 Urozeane, Untergrund, Salsima 630.  
 Usbekit, Turkestan, Karatschagy, Minussinsk, Analysen 678.  
 Usingit, Lujavr-Urt, Analyse 668.  
 Valdres-Sparagmit, Norwegen 303.  
 Vanadate, Tuja-Mujun in Turkestan, chem. Zus. 677.  
 Vanadium-Uran-Grube, Tuja-Mujun, Turkestan, Geochemie 676.  
 Vanadiumerze, Otavi, SW-Afrika, Lagerstätten, Paragenesis 141.  
 Variskische Vorländer 634.  
 Variskischer Gebirgskörper, Druckschieferung 70.  
 Varster Schichten, Siegerland, Silberberger Revier, Schichtfolge 122.  
 Varven, Haverstraw, New York 416.  
 Vegetationsänderung und Grundwasserspiegelvertiefung 373.  
 Vegetationsentwicklung und Bodenbildung in der alpinen Stufe der Zentralalpen 763.  
 Verdrängung von Erzen, Otavi, SW-Afrika 139.  
 Verdrängungslagerstätten, Genesis 99.  
 Vererzungsperioden, Ostalpen 253.  
 Vergletscherung  
   Karpathen 429.  
   Perioden 684.  
 Vergletscherungszeiten, Polverschiebungen und Strahlungskurve 716.  
 Verit, Calasparra, Prov. Murcia, Vork. 534.  
 Verkehrerschütterungen an Gebäuden, seismometrische Messungen 340.  
 Vermikulit (Zonolith), Libby, Montana, Genesis 132.  
 Verschiebungstheorie der Kontinente von WEGENER, astronomische Prüfung 273.  
 Versickerung, Donau, geol. u. hydrolog. Verh. 696.  
 Vertikalintensitätsmessung, Danzig, Riesengebirge, Ostsee 328.  
 Verwerfungen  
   Appalachen 280.  
   Oligocän, Elsaß, Best. mit magnetischer Methode 331.  
   Tangobeben 1927, Entstehung 294.  
   Triburger Gegend, am Kesselberg, Wasserfälle und Talstörungen 693.  
 Verwerfungs- und Faltungsmechanismus 633.  
 Verwitterung  
   Bodenbildung, Muschelkalk der Jenaer Gegend 745.  
   chem., Bausteine 729.  
   chemische, der Bausteine, Vergleich mit der an freier Luft 805.  
   hydrolytische, Bodenbildung 748.  
   Laterit, Roterde, Bauxit, Bildung 737.  
   — Süd-Queensland 757.  
   Lateritbildung, Cochinchina 745.  
   Phonolith, Basalt, Brüxer Gegend 538.  
   Quarz-Biotit-Diorit, Jura, Oberösterreich 755.  
   Sandstein, Senon, Baumberge bei Münster i. W. 806.

- Verwitterung  
Siallit, Jurazeit, Oberösterreich 755.  
arktische Böden 432.  
Java, Bandjarnegara, Erdfließen 746.  
Palästina 368.  
Sardinien, Kircheninneres 802.  
Slate Belt, Carolina, Kaolinbildung 747.  
Tropen, Bodenbildung 758.  
und Bodenbildung 727.  
und Pflanzenleben der Alpen 733.  
und Tonbildung 727.  
Verwitterungserscheinungen, Wiener Monumentalbauten, Färbemethoden 799, 805.  
Verwitterungsformen, Säulenbildung bei Kalkstein und Pfeilerbildung im Vulkanschlot 733.  
Verwitterungslagerstätten 145.  
Verwitterungs- und sedimentäre Lagerstätten, System 142.
- Vesuv  
Eruption 1906, Gasausströmung 349.  
Geschichte 351.  
Vitrischer Latit, Venaz, Südserbien, Analyse 573.  
Vleyboden, Otavi-Bergland, Genesis 136.  
Vogelnumien, Sturmschwalben, Wüstenguano der hochariden Zone Nordchiles 685.  
Vogelsberg, Basalt und Phonolith, chem. Zus., Neubildungen darin 518.  
Volumetrische Phasenanalyse mittels Zentrifuge, quantitative Gesteinsbestimmung 443.  
Vorarlberg und Tirol, Bergbau 253.  
Vorländer und Gebirge, Stammbaum 634.  
Vortiefe, subvariskische, devonischer Nordtrog 635.
- Vulkan  
Goentoe, Westjava, Lava, Thermen von Tjiapanas, chem. Zus. 355.  
Gunung Api bei Bima, Niederl.-Indien, tätig 354.  
Kawah Kamodjang, Westjava, juvenile Wasser 356.  
Keloet (Klut), Java, Dioritmagma, Asche, chem. Zus. 357.  
— — — Eruptions- und Katakstrophenotypus 359.  
Lobetobi Laki-Laki, Flores, Aktivität 361.  
Maui, Hawaii 363.  
Papandajan, Westjava, Pyroxenandesit 355.
- Vulkan  
Tangkoeban Prahoe, Java, Kaldera, Rippelmarken, Basaltlava, chem. Zus. 357.  
Taradake, südwestliches Kyushu, Japan, Dacit, Quarzbasalt 593.  
Vulkane, tätige, 1928—1929, Niederl.-Indien 659.  
Vulkangebiete, postmesozoische, Differentiationstypen 6.  
Vulkanische Ablagerungen, junge, Einteilung, Benennung 657.  
Vulkanische Tätigkeit auf der Erde, Gegenwart 348.
- Vulkanismus  
Ursachen, Ablagerungen 657.  
Aegäischer Eruptivbogen, Dacit, Andesit, Analysen 572.  
Aetnaausbruch 1928, Anal. von Trachydolerit 351.  
Afrika (Süd-), Lebombokette, Ergußgesteine 318.  
Antarktis und pazifischer Rand Südamerikas, Vulkane Nord- und Zentralamerikas (F. v. WOLFF) 347.  
Antiparos, Cycladen, Analysen von Laven 577.  
Atlantischer Ozean, Zerreißungsvorgänge 629.  
Deutschland, Bez. zu Mineralquellen 704.  
Dominica, Mittelamerika, rezente Phänomene 62.  
Euganeen, Zusammenhänge mit alpin-dinarischer Faltung 655.  
Falcon-Insel, Tonga-Gruppe, Aufbau 363.  
Flores, Niederl.-Indien 360.  
Java, Merapi-Vulkan, Trachyt und Leucitphonolith 588.  
Kilauea, Temp. u. Gasuntersuchung 656.  
Krackataugruppe 353.  
Montana, Highwood-Berge 235.  
Niederl.-Indien, Celebes, Pik von Maros 589.  
Niederl.-Indien, Gunung Api, Sangean bei Bima 354.  
— Papandajan-Vulkan, Pyroxenandesit 355, 358.  
— Sumatra, Toba-See, Entstehung 354.  
— tätige Vulkane 1928—1929 659.  
Ohio, Kentucky, Tennessee (Krypto-) 362.  
Santorin, Eruption 1925, Puzzolan, Pyroxen-Hyalodacit, Analyse 351.



## Vulkanismus

- Schweiz, Blümlialp, Diablerets, Cirque de Luan, Mont Catogne (rezent?) 43.  
 Westerwald, Tektonik 79.  
 Vulkanologische Publikationen 348.  
 Vulkanschlot, Pfeilerbildung, New Mexiko 733.  
 Vulkansen Jänisveri und Lappajärvi, Finnland 424.  
 Vulkantektonik  
 Magmenverhalten, Gebirgsbau 310.  
 orogenetische Vorgänge 640.  
 Nordamerika, Skandinavien, Mitteleuropa 312.  
**Wabana, Eisenerze, Neufundland, Entstehung** 149.  
 Wachstum  
 Eiskristalle bei Bodenfrost, Druckeffekte 434.  
 der Kontinente 285.  
 Kontinente nach der Zyklustheorie 630.  
 Wachstumsringe bei Bäumen, klimatische Indikatoren 683.  
 Wald und Wasserhaushalt, Schweiz und Rocky Mts. 390.  
 Waldbäume, Anzeiger von Grundwasser 387.  
 Waldviertel  
 Niederösterreich, Ganggesteine 43.  
 niederösterreichisches, moldanubische Paraschiefer 544.  
 nordwestl., moldanubische Katakgesteine, Umformung u. Krist. 80.  
 Walkerde, Stalingrad-Gouv., unt. Wolgagebiet 261.  
 Wanderdünen, Lüderitzbucht-Swakopmund 375.  
 Wannentraß und Schlottraß, Nördlinger Ries 527.  
 Waschbergzug, Hollingstein, Amphibolit, Gneis, Aplit, Glimmerschiefer, Marmor, Vork. 57.  
 Wash, englisches Aequivalent des Jadebusens, Sedimentation 780.  
 Wasser  
 in Erdöllagerstätten 177.  
 fließendes, Tätigkeit 390.  
 (Grund-), Bildungsweise und Erscheinungsformen 690.  
 — Schierstein a. Rh., künstliche Erzeugung, Wasserversorgung von Wiesbaden 695.  
 (Kraft-), Hydrologie, Fünfkirchen, Mecsekgebirge 697.  
 Kohlensäure darin, Lösungsmittel 143.

## Wasser

- kohlensäurehaltig, Einbruch beim Teufen des Friedrich-Schachtes in Zabreh a. d. Oder 410.  
 in verschiedenen geol. Formationen, chem. Zus. 692.  
 Wirkung 690.  
 — der Ausdehnung beim Gefrieren im Boden 721.  
 Afrika, Little Bitter Lake, Suezkanal, Analyse 695.  
 algerische Sahara, Herkommen 700.  
 Dessau, huminsäurereich 709.  
 Donau, Grund des Standes, Niederschlagsmengen 692.  
 Enztal, Buntsandstein, Bedeutung für die Paläogeographie 708.  
 Pregel, Königsberg 697.  
 Rolle bei Erzanreicherung 103.  
 Sörum, SO-Norwegen, Hof Hönsen, artesisch, Anal. 403.  
 Sormitz und Loquitz, thüringisches Dachschiefergebiet, Gletscherfarbe, Ursache 810.  
 Szent Istvan-Heilquelle bei Pará, chem. Unters. 710.  
 Wilcox-Sand, Vordringen im Oelgebiet 226.  
 und Bodenauftrieb, Bautechnik 791.  
 Wasseraufnahme von Gesteinen 800.  
 Wasserbecken, techn. Ausnützung, Absenkung des Wasserspiegels, Begleiterscheinungen 786.  
 Wasserbewegung in Sandboden 394.  
 Wasserbohrungen, Winke für Gemeinden und Städte 714.  
 Wasserergiebigkeitsmessungen artesischer Brunnen, hydrologische Studien 700.  
 Wasserfälle  
 Niagara, Entstehungszeit 694.  
 Triberg, Ursache 693.  
 Wasserformen im Baugrund, Feststellung 793.  
 Wassergehalt des Magmas 468.  
 Wassergewinnung in heißen Ländern 386.  
 Wasserhaushalt  
 Coloradogebiet 391.  
 Rhône 391.  
 und Wald, Schweiz und Rocky Mts. 390.  
 Wasserhöhlen, aktive, im Harz 406.  
 Wasserkraftanlage am Shannon in Irland 403.  
 Wasserkraftnutzung, Deutschland, Geologisches und Morphologisches 386.

- Wasserrläufe, unterirdische, Geschwindigkeiten 691.
- Wasserleitungsprojekt Teplitz-Schönau und Umgebung 401.
- Wasserproblem in Erdöllagerstätten 180.
- Wasserstandsschwankungen i. Seen 454.
- Wasserhältnisse, Deckgebirge im niederrheinisch-westfälischenSteinkohlenbezirk 397.
- Wasserversorgung  
Grundwasserbecken, Brunnengalerien 395.
- Frisches Haff, Bez. zu den Strömungen 437.
- Köln, Wasserwerk bei Weiler 396.
- ländliche, Baden und Württemberg 697.
- Paris aus der Seine und Vals de Loire 402.
- Wladikawkas, Terek- und Kuma-Becken 389.
- Zittau, artes. Grundwasser im Oybin-gebiet 400.
- und Bergbau, mitteldeutscher Industriebezirk, Grundwasserhältnisse, Bez. 399.
- Wasserwerk, Baku, Wasserbeschaffung 715.
- Wasserwerke, schwedische Städte 392.
- Wasserwirtschaft  
Ausland 386.
- Talsperren, Deutschland, geolog. Voraussetzung für ihre Errichtung 785.
- Wattenmeer. Küste Norddeutschlands, Sedimentbildung 456.
- Wealden, Canada, westl., Verbreitung, Ausbildung, Tektonik 164.
- Wegebaumaterialien, wesentl. Eigenschaften.
- Wesergebiet, Sollingfuß, jugendliche Bodenbewegungen 290.
- Westdeutschland, Quartärisobasenkarte 292.
- Westerwald, Stöffel, Basalt und seine Differentiate 515.
- Westerwälder Vulkane, tekt. Unters. 79.
- Westfälisch-niederrheinischer Steinkohlenbezirk, Wasserhältnisse des Deckgebirges 397.
- Wetter, Bez. zur Vereisung 717.
- Wetterau, Mineralquellen 705.
- Wetterbeständigkeit, Baumaterial  
Wiener Monumentalbauten 805.
- Whin Sill, Groß-Britannien, mikrotaxitische Gesteine bis zu granophyren Adern, Analysen 21.
- Wiener Monumentalbauten, Verwitterungserscheinungen 805.
- Wiesbadener Wassergewinnungsanlagen in Schierstein a. Rh., Erzeugung künstl. Grundwassers 695.
- Windbewegter Sand, arides Klima 682.
- Windwirkung, Perlschnüre und Knopfreihen als Oberflächenformen eines Sandstrandes 457.
- Windwirkungen 385.
- Ausblasen der Moränen, Sierra Nevada 385.
- Wolchonskoit als Färbemittel, Lasureigenschaft 814.
- Wolframit, Alaska, Nome Creek, Vork. in schwarzen Sanden, Abstammung 606.
- Bolivien, Colquiri, Paragenesis 267.
- Cordoba, Genesis 101.
- Encruzilhada, Brasilien, Vork. 110.
- Wolgagebiet, unt., Uljanowsk-Astrachan, Lagerstätten von Kreide, Gips, Tripel, Phosphorit, Torf, Asphalt, Salz, Ton, Eisenocker, Bausteinen 259.
- Wollastonitphonolith, Oberschaffhausen im Kaiserstuhl, Einschlüsse, Zeolithbildung 525.
- Woronesch Gouv., Rußland, Intrusionen, Struktur und Alter 489.
- Wünschelrute, Frage der Wassererschließung und ingenieurtechnische Geologie 785.
- Würmer, köcherbauend, im ob. Carbon sandstein der Bäreninsel 449.
- Wurmvereisung, iberische Halbinsel, Nordhälfte 429.
- Württemberg, ländliche Wasserversorgung 697.
- Wüste  
Antofagasta, Klima, Salpeter 367.
- Chile (Nord-), Vorzeitbildungen 380.
- Kara-kum, Turkestan, morpholog. Betr. 384.
- Karakumy, Mittelasien, Schwefelhügel, geochem. Migration der Kieselsäure 680.
- Lobwüste und Lobnor-Problem 384.
- Lybien, Probleme 384, 688.
- Nevada, Entstehung 384.
- Peru, Entstehung 384.
- Wüstenböden, physik. und chem. Vorgänge an der Oberfläche 370.
- Wüstenguano, Chile (Nord-), hocharide Zone, Analyse 685.
- Wüstenrinden, Gletscherrand, mineralogische Unters. 373.

**Xenolith**

Kalkxenolith 6.

Zai-Dara, Transkaukasien. Mineralgehalt 503.

**Zabern-Kraichgau**senke, alttertiäres Senkungsgebiet 289.

Zechstein, Halle und Merseburg, Tiefbohrergebnisse, Solquellen 151.

Zeiten, geologische 450.

Zellerfelder Gangzug, Störungen 308.

Zelliges Brauneisen, Eiserner Hut, Hohlraumgestalt 145.

Zementationserze, Tsumeb-Mine, Otavi 139.

Zementgewinnung, Cincinnati 815.

Zentrifuge, quantitative Gesteinsbestimmung 443.

Zentrifuge, volumetrische Phasenanalyse damit 466.

Zentrifugenglas mit Clericischer Lösung, quantitative Trennung von Mineralgemengen 443.

**Zeolith**

in Eruptivgesteinen 474.

— — Analyse 525.

Zeolithe, Jesenk und Umgebung, Gesenke, Vork. 555.

Zeolithisierung, Phonolith, Oberschaffhausen im Kaiserstuhl 525.

Zerrüttungsstreifen, Anfahren im Steinbruchbetrieb 787.

Zerrüttungstektonik bei der Osningfaltung 635.

**Zinkblende**

strahlige, Veta del Cuadro, Chocaya, Bolivien, Entstehung aus Gelen 271.

Georgental—Untersachsenberg im Vogtlande, Vork. der Grube Luise 126.

**Zinkblende**

Otavi, Erzlagerstätten-Paragenese 138.

Ostalpen, Genesis 127.

Schauinsland, Genesis 118.

Simau, Res. Benkoelen, Paragenese 125.

Zinkerze, Franklin und Sterling Hill, Genesis 131.

**Zinnerz**

Alaska, Nome Creek, Vork. in schwarzen Sanden, Abstammung 606.

Bolivien, deszendente Anreicherung (?) 145.

— Grube Uncia-Llallagua OSO von Oruro, Genesis 111.

Eibenstocker Granitmassiv i. Sa., Lagerstätten, Paragenese 109.

Encruzilhada, Brasilien, Lagerstätten 110.

Siam, Vork. und Bergbau 108.

Zinnerzlagertstätten, Bolivien, deszendente Bildungen 271.

Zinnkies, andines Bolivien 267, 270.

Zinnober, Terlingua, Brewster Co., Texas, Vork. in Tonschlotten 146.

Zinnstein, Bolivien, Genesis 101.

**Zirkon**Karpathensandstein, Cieszkowice 445.  
Ural und Kolahalbinsel, Vork., Gewinnung 106.

Zittau, Wasserversorgung, artesisches Grundwasser im Oybingebiet 400.

Zonolith siehe Vermiculit.

Zwillingsgesetze, Plagioklas, Zusammenhang mit Gesteinstypen 578.

**Zyklustheorie**

Kontinentwachstum 630.

Wachstum der Kontinente 285.